ESTUDIO DE MECÁNICA DE SUELOS  PARA EL EDIFICIO PROYECTADO EN AV. CHAPULTEPEC No. 156, COLONIA ROMA NORTE, ALACALDÍA CUAUHTÉMOC, CIUDAD DE MÉXICO							
Elaborado para:							
Mayo, 2022							

Ш

# CONTENIDO

R	RESU	UMI	EN EJECUTIVO	6
11	NTR	OD	UCCIÓN	9
1	A	ANT	FECEDENTES	10
2	. (	COI	NDICIONES GENERALES DEL SITIO	13
	2.1		Zonificación geotécnica	15
	2.2		Periodo dominante de vibración del suelo y aceleración espectral	16
	2.3		Hundimiento regional	18
	2.4		Inspección de la zona de proyecto	19
	2.5		Fracturas indicadas en el atlas de riesgo de la Ciudad de México	23
3	E	EXF	PLORACIÓN GEOTÉCNICA Y ENSAYES DE LABORATORIO	25
	3.1		Sondeos Exploratorios	26
	3.2		Muestreo Inalterado Selectivo	26
	3.3		Monitoreo del nivel freático	29
	3.3	.1	Piezómetros abiertos tipo Casagrande (PZ)	30
	3.3	.2	Tubos de Observación (TO)	31
	3.4		Ensayes de Laboratorio	32
4	. (	CAI	RACTERIZACIÓN ESTRATIGRÁFICA	35
4	4.1		RACTERIZACIÓN ESTRATIGRÁFICAInterpretación estratigráfica SE-1	
4				35
4	4.1		Interpretación estratigráfica SE-1	35
4	4.1 4.2		Interpretación estratigráfica SE-1	
4	4.1 4.2 4.3		Interpretación estratigráfica SE-1 Interpretación estratigráfica SE-2 Modelo estratigráfico del sitio	
4	4.1 4.2 4.3 4.4 4.5		Interpretación estratigráfica SE-1 Interpretación estratigráfica SE-2 Modelo estratigráfico del sitio Propiedades mecánicas	
	4.1 4.2 4.3 4.4 4.5	SIS	Interpretación estratigráfica SE-1 Interpretación estratigráfica SE-2 Modelo estratigráfico del sitio Propiedades mecánicas Condiciones hidrodinámicas.  TEMA DE CIMENTACIÓN Solución de cimentación	
	4.1 4.2 4.3 4.4 4.5	SIS	Interpretación estratigráfica SE-1 Interpretación estratigráfica SE-2 Modelo estratigráfico del sitio Propiedades mecánicas Condiciones hidrodinámicas TEMA DE CIMENTACIÓN	
	4.1 4.2 4.3 4.4 4.5 5.1	SIS	Interpretación estratigráfica SE-1 Interpretación estratigráfica SE-2 Modelo estratigráfico del sitio Propiedades mecánicas Condiciones hidrodinámicas.  TEMA DE CIMENTACIÓN Solución de cimentación	
	4.1 4.2 4.3 4.4 4.5 5.1 5.2	SIS	Interpretación estratigráfica SE-1 Interpretación estratigráfica SE-2 Modelo estratigráfico del sitio Propiedades mecánicas Condiciones hidrodinámicas.  TEMA DE CIMENTACIÓN Solución de cimentación Condiciones de cargas y excentricidad	
	4.1 4.2 4.3 4.4 4.5 5.1 5.2 5.3	SIS	Interpretación estratigráfica SE-1 Interpretación estratigráfica SE-2 Modelo estratigráfico del sitio Propiedades mecánicas Condiciones hidrodinámicas  TEMA DE CIMENTACIÓN  Solución de cimentación  Condiciones de cargas y excentricidad  Capacidad de carga admisible en pilas	
	4.1 4.2 4.3 4.4 4.5 5.1 5.2 5.3 5.4	SIS	Interpretación estratigráfica SE-1 Interpretación estratigráfica SE-2 Modelo estratigráfico del sitio Propiedades mecánicas Condiciones hidrodinámicas  TEMA DE CIMENTACIÓN  Solución de cimentación Condiciones de cargas y excentricidad  Capacidad de carga admisible en pilas  Distribución y geometría de pilas	
	4.1 4.2 4.3 4.4 4.5 5.1 5.2 5.3 5.4 5.5	SIS	Interpretación estratigráfica SE-1 Interpretación estratigráfica SE-2 Modelo estratigráfico del sitio Propiedades mecánicas Condiciones hidrodinámicas.  TEMA DE CIMENTACIÓN  Solución de cimentación  Condiciones de cargas y excentricidad  Capacidad de carga admisible en pilas  Distribución y geometría de pilas  Capacidad de carga reducida en pilas	
	4.1 4.2 4.3 4.4 4.5 5.1 5.2 5.3 5.4 5.5 5.6	SIS	Interpretación estratigráfica SE-1 Interpretación estratigráfica SE-2 Modelo estratigráfico del sitio Propiedades mecánicas Condiciones hidrodinámicas.  TEMA DE CIMENTACIÓN  Solución de cimentación  Condiciones de cargas y excentricidad  Capacidad de carga admisible en pilas  Distribución y geometría de pilas  Capacidad de carga reducida en pilas  Fricción negativa en pilas  Asentamientos	
	4.1 4.2 4.3 4.4 4.5 5.1 5.2 5.3 5.4 5.5 5.6 5.7	SIS	Interpretación estratigráfica SE-1 Interpretación estratigráfica SE-2 Modelo estratigráfico del sitio Propiedades mecánicas Condiciones hidrodinámicas  TEMA DE CIMENTACIÓN  Solución de cimentación  Condiciones de cargas y excentricidad  Capacidad de carga admisible en pilas  Distribución y geometría de pilas  Capacidad de carga reducida en pilas  Fricción negativa en pilas  Asentamientos  Módulo de reacción vertical en pilas y muro Milán	

	5.11	Análisis de la cimentación con el Método de Elemento Finito	70
	5.11	Estado límite de servicio.	73
6	EX	CAVACIÓN Y SISTEMA DE CONTENCIÓN	74
	6.1	Procedimiento de excavación	75
	6.2	Esfuerzos y empujes laterales para el diseño del Muro Milán	75
	6.3	Revisión ante falla de fondo	
	6.4	Estado límite ante falla de fondo	82
	6.5	Falla por subpresión	83
	6.6	Estado límite ante falla por subpresión	84
	6.7	Falla por pateo	
	6.8	Falla por flotación	
	6.9	Sistema de troquelamiento	88
	6.10	Análisis de la excavación con el Método de Elemento Finito	89
7	PR	OCESO CONSTRUCTIVO	93
	7.1	Trabajos previos a la excavación	
	7.2	Construcción del muro Milán	
	7.3	Construcción de pilas de cimentación	
	7.4	Lodo bentonítico	101
	7.5	Instalación del sistema de bombeo	
	7.6	Excavación y construcción de los sótanos	
	7.7	Suspensión del bombeo y deshabilitado del sistema	
	7.8	Comentarios finales	
8	СО	NCLUSIONES Y RECOMENDACIONES	109
9		FERENCIAS	
		1	
		The state of the s	
Al	NEXO	2	

# Relación de Figuras

Figura 1. Ubicación del sitio de estudio	10
Figura 2. Características generales del proyecto	11
Figura 3. La cuenca de México (TGC, 2005)	13
Figura 4. Mapa geológico de la Ciudad de México (Atlas de Riesgos CDMX, 2017)	14
Figura 5. Ubicación del sitio en la zonificación geotécnica de la CDMX (NTC-DCC, 2017)	15
Figura 6. Curvas de igual profundidad de los depósitos profundos (NTC-DCC, 2004)	16
Figura 7. Cocientes espectrales obtenidos de los registros de Vibración Ambiental	17
Figura 8. Espectro de diseño transparente para = 250 años y espectro de diseño con ISE Cinemática.	17
Figura 9. Ubicación de bancos de nivel en un radio de 1 km a partir del sitio de proyecto	19
Figura 10. Vista general de la zona de estudio (Google Earth, 2021)	20
Figura 11. Vista general del predio	20
Figura 12. Condiciones de las colindancias del predio en el sitio de proyecto	21
Figura 13. Condiciones de algunas estructuras en la zona de proyecto	22
Figura 14. Fracturas en el suelo (Atlas de Riesgos CDMX, 2021)	23
Figura 15. Fracturas cercanas al sitio de estudio	24
Figura 16. Ubicación de los sondeos exploratorios en la zona de estudio	25
Figura 17. Trabajos realizados durante la ejecución de los sondeos	27
Figura 18. Muestras alteradas obtenidas de los sondeos SPT	28
Figura 19. Ubicación de las estaciones de monitoreo	29
Figura 20. Piezómetro abierto tipo Casagrande	30
Figura 21. Tubo de observación	31
Figura 22 Muestras analizadas en el laboratorio	33
Figura 23. Muestras para la obtención de límites de consistencia	34
Figura 24. Muestras y ensayes realizados en el laboratorio	34
Figura 25. Perfil estratigráfico obtenido del Sondeo Exploratorio SE-1	37
Figura 26. Perfil estratigráfico obtenido del Sondeo Exploratorio SE-2	41
Figura 27. Sección estratigráfica en el sitio de proyecto	46
Figura 28. Registros de mediciones del NAF en el sitio (TO-1)	48
Figura 29. Registros de alturas piezométrica (PZ-1 y PZ-2)	49
Figura 30. Registros de alturas piezométrica (PZ-3)	50
Figura 31. Diagramas de distribución de esfuerzos verticales	51
Figura 32. Solución de cimentación y sistema de contención	53
Figura 33. Planta de cimentación	54
Figura 34. Capacidad de carga admisible a compresión	57
Figura 35. Distribución en planta y diámetros de pilas de cimentación	58
Figura 36. Malla de elementos finitos al concluir la construcción de los sótanos.	70
Figura 37. Nodos y puntos de esfuerzos en un elemento viga de tres nodos (Plaxis, 2020)	71
Figura 38. Desplazamientos verticales máximos en el terreno	72
Figura 39. Distribución de paneles de muro Milán	74
Figura 40. Esfuerzo y empuje pasivo horizontal en la pata del muro	77
Figura 41. Esfuerzos horizontales activos y diagrama de presiones redistribuidas	79
Figura 42. Diagrama de presión total horizontal de tierras en reposo	80
Figura 43. Esquema de posible mecanismo ante falla de fondo	82
Figura 44. Esquema de posible mecanismo ante falla por subpresión	84
Figura 45. Esquema de posible mecanismo ante falla por pateo	85
Figura 46. Malla de elementos finitos en una etapa de excavación del núcleo central	89
Figura 47. Malla de elementos finitos en una etapa de excavación del núcleo central	90
Figura 48. Desplazamientos verticales al alcanzar el nivel de desplante del Sótano 2	91
Figura 49. Desplazamientos verticales al alcanzar el nivel de desplante del Sótano 2	92
Figura 50. Cálculo del factor de seguridad al finalizar el proceso de excavación	92
Figura 51. Propuesta de instrumentación	95
Figura 51. Propuesta de Instrumentación Figura 52. Excavación y construcción del Muro Milán perimetral	96
Figura 53. Ubiçaçión de paneles de muro Milán	OS
Figura 54. Configuración de paneles de muro Milan	100
rigura 54. Cymigqradiot/Qe pilas de differitación	100

Figura 55. Detalle de instalación de pozo de bombeo	. 103 . 105 . 106
Relación de Tablas	
Tabla 1. Velocidad de hundimiento regional en bancos de nivel próximos al sitio	18
Tabla 2. Sondeos exploratorios y sondeo de muestreo	25
Tabla 3. Profundidades de extracción de muestras inalteradas	
Tabla 4. Ubicación de las estaciones de monitoreo	29
Tabla 5. Propiedades mecánicas establecidas para el modelo geotécnico	47
Tabla 6. Estación de Monitoreo 2	
Tabla 7. Presiones de agua en el subsuelo	50
Tabla 8. Acciones inducidas por la estructura a nivel de desplante	53
Tabla 9. Tipos de pilas y capacidades de carga	57
Tabla 10. Tipos de pilas, capacidades de carga reducidas a compresión y tensión	61
Tabla 11. Cargas, capacidad de carga, asentamientos y módulo de reacción vertical en pilas	
Tabla 12. Módulos de reacción horizontal en pilas	
Tabla 13. Módulos de reacción horizontal en muro	68
Tabla 14. Parámetros de análisis para concreto de la cimentación	/1
Tabla 15. Límites máximos para movimientos y deformaciones	/3
Tabla 16. Empuje pasivo horizontal en la pata del muro	//
Tabla 17. Factor de seguridad ante falla de fondo	81
Tabla 18. Factor de seguridad ante falla por pateo	8 /

**Proyecto.** Estudio de Mecánica de Suelos para el edificio proyectado con dos nivele de sótano y 16 niveles superiores, en la calle Av. Chapultepec No. 156, en la colonia Roma Norte, perteneciente a la Alcaldía Cuauhtémoc de la Ciudad de México.

**Condiciones generales del sitio.** El proyecto se ubica en la Zona Geotécnica III, o de Lago de la Ciudad de México. El hundimiento regional representativo de la zona se ubica entre <u>9.2 y 10.0 cm/año</u>. El periodo domínate de vibración del suelo es <u>Ts= 2.0 s</u>. El coeficiente sísmico máximo del espectro de diseño de sitio con efectos de interacción dinámica es c = 1.17 g.

**Exploración geotécnica**. Se ejecutaron dos Sondeos Exploratorios profundos y un Sondeo de Muestreo Selectivo, además de la instalación de una Estación Piezométrica y Tubo de Observación.

**Ensayes de laboratorio.** Las muestras alteradas e inalteradas recuperadas del subsuelo se analizaron y ensayaron en el laboratorio para determinar sus propiedades índice y mecánicas.

Estratigrafía. El depósito de suelo se caracterizó con las siguientes nueve unidades estratigráficas:

- <u>U-1 Rellenos heterogéneos</u> dentro de una capa de arcillas limosas con contenido variable de arena fina, de consistencia muy blanda a media, con espesor promedio de 2.0 m.
- <u>U-2 Limo arcilloso</u> de baja plasticidad de consistencia muy blanda a media, con espesor de 3.0 m.
- <u>U-3 Arcilla</u> de alta plasticidad de consistencia muy blanda, con intercalaciones de lentes delgados de arena y una fina capa de ceniza volcánica. Se observa entre 5.0 y 13.0 m de profundidad.
- <u>U-4 Arcilla</u> de alta plasticidad, de consistencia muy blanda que alcanza los 24.0 m.
- <u>U-5 Arcilla limosa y limo arcilloso</u> de alta plasticidad, consistencia de muy blanda a firme, con espesor aproximado de 4.2 m. A los 23.0 m de detectó un lente de arena en estado compacto.
- <u>U-6 Arcilla con arena</u> de consistencia media a firme que se ubica entre los 28.0 y 33.0 m de profundidad.
- <u>U-7 Arcilla limosa con arena de consistencia media que aumenta con la profundidad.</u> Tiene un espesor aproximado de 5.0 m.
- <u>U-8 Limo arenoso</u> de consistencia muy dura, con intercalaciones de arena densa, esta capa se extiende hasta los 44.0 m de profundidad.
- <u>U-9 Arenas limosas</u> en estado muy compacto, con más de 50 golpes en SPT en prácticamente todo el espesor. Esta fue la última unidad encontrada en los 50.0 m de exploración.

**Condiciones del agua en el subsuelo.** El nivel freático se ubica a <u>2.5 m</u> de profundidad. <u>Se presenta un abatimiento piezométrico con la profundidad.</u>

Solución de cimentación. Se propone como solución de cimentación el uso de 70 pilas empotradas en los Depósitos Profundos resistentes, desplantadas a 45.0 m de profundidad, con respecto al nivel

0.0 de proyecto. Las pilas serán de concreto de 1.0 a 1.80 m de diámetro, con diferente longitud, dependiendo de su ubicación bajo el sótano.

Capacidad de carga en pilas. Cumpliendo con el estado límite de falla establecido en las NTC-DCC (2017), la capacidad de carga reducida a compresión ( $R^*$ ) que rige en las pilas para el proyecto ejecutivo de la cimentación, se ubica entre 818.7 t (D=1.0 m) y 2,625.6 t (D=1.8 m), para soportar las cargas estáticas y accidentales generadas por la estructura.

Asentamientos en pilas. Los asentamientos máximos a largo plazo en las pilas se ubicarán entre 4 y 11 cm, cumpliendo así con el estado límite de servicio (NTC-DCC, 2017).

**Módulos de reacción vertical.** Los módulos de reacción o constantes de rigidez vertical k en las pilas, se ubican predominantemente entre los  $\underline{114.0 \text{ y } 205.1 \text{ t/cm}}$ .

**Expansiones.** La excavación para alojar a la estructura de sótanos generará expansiones de <u>11 a 20 cm en el perímetro de la construcción</u>, y hasta 30 cm en la zona de cisternas.

**Sistema de contención.** Los muros perimetrales de la estructura de sótanos formarán parte del sistema de contención, necesario para realizar la excavación. Esta estructura de contención estará formada por un muro Milán con 60 cm de espesor y tres niveles de desplante a 10.0, 12.0 y 13.0 m de profundidad dependiendo del nivel máximo de excavación en el sótano 2.

Seguridad del sistema de contención. Los factores de seguridad obtenidos bajo los distintos mecanismos de falla del muro Milán son satisfactorios y cumplen con el estado límite de falla establecido por la normatividad (NTC-DCC, 2017).

**Sistema de bombeo.** Se formará con <u>40 pozos a 14.0 m de profundidad</u> equipados con puntas eyectoras que cubran una superficie cercana a los 50.0 m², cada uno. El sistema de bombeo se suspenderá una vez que las cargas que la estructura ejerce sobre el terreno sean superiores a <u>6.0 t/m²</u> en el desplante de la losa de fondo. Esta condición deberá ser ratificada por el área de estructuras.

Procedimiento de excavación. Consta de las siguientes etapas principales:

- Construcción de muro Milán y pilas de cimentación
- Excavación de la zona central del predio en el área comprendida entre los ejes 3-6 y B-G. Esto tiene como propósito dejar bermas perimetrales que den estabilidad al sistema de contención mientras se realiza la excavación hasta el desplante de la losa de fondo en la zona indicada. La excavación se realizará con avances máximos de 2.0 m para minimizar las expansiones del suelo.
- Al alcanzar el nivel máximo de excavación de construirá la losa de fondo anclada estructuralmente a las pilas de cimentación.
- > Construcción ascendente de la estructura de sótano en la zona indicada.
- Excavación de las bermas perimetrales y apuntalamiento del muro Milán con la estructura de sótano previamente construida en la zona central del predio.

- Llegando al nivel máximo de excavación se procederá a construir la losa de fondo anclada estructuralmente a las pilas de cimentación, al muro Milán y a la estructura de sótano.
- Construcción ascendente de la estructura de sótano en la zona perimetral.

Advertencia. En ningún caso y bajo ninguna circunstancia, se ejecutarán excavaciones por debajo de los niveles analizados en este estudio. Excederlos puede generar la falla del sistema de contención y el colapso de las construcciones o vialidades colindantes.



### INTRODUCCIÓN

El Estudio de Mecánica de Suelos permite establecer las condiciones geológicas y geotécnicas del sitio, así como la determinación de las propiedades y características de los materiales que componen al depósito de suelo donde se desarrollará el proyecto. Con ello se propone el tipo de cimentación más conveniente para la estructura y se establecen las condiciones de resistencia (capacidad de carga) y deformación (asentamientos) del sistema suelo-cimentación.

Particularmente para conocer las condiciones geotécnicas que caracterizan al terreno del sitio de estudio, se ejecutaron dos sondeos exploratorios, un sondeo de muestreo selectivo, la instalación de una estación piezométrica y la colocación de un tubo de observación.

Las muestras alteradas e inalteradas recuperadas de los trabajos de exploración fueron analizadas en el laboratorio, donde se les practicaron pruebas para determinar sus propiedades índice y mecánicas.

Con los resultados de los trabajos de exploración y los ensayes de laboratorio, se construyó el modelo geotécnico que caracteriza al subsuelo del sitio que, junto con las características y cargas de la estructura, permitieron establecer el tipo de cimentación más conveniente para el edificio. Consiste, inicialmente, en un grupo de pilas desplantadas en los depósitos profundos resistentes.

Para ejecutar la excavación que alojará a la estructura de sótanos se ha propuesto la construcción de un muro Milán soportado lateralmente con puntales apoyados contra la construcción parcial de la estructura en la zona central. Durante este proceso se instalará un sistema de bombeo.

El desarrollo del Estudio de Mecánica de Suelos que se presenta en este documento, incluye los siguientes aspectos principales:

- Investigación documental del comportamiento del subsuelo en la zona
- > Descripción de los trabajos de exploración y ensayes de laboratorio practicados
- Resultados de los trabajos de exploración y definición de la estratigrafía del sitio
- > Resultados de los ensayes de laboratorio y definición de las propiedades del subsuelo
- Establecimiento del nivel de aguas freáticas y la variación de la presión con la profundidad.
- Definición de la estratigrafía que caracteriza al subsuelo del sitio
- Construcción del modelo geotécnico
- Establecimiento del sistema de cimentación más eficiente
- > Capacidad de carga del sistema suelo-cimentación
- Determinación de expansiones por la excavación
- Determinación de asentamientos a corto y largo plazo
- Determinación de módulos de reacción del sistema de cimentación para el modelo estructural
- Diseño del sistema de contención y protección a colindancias
- Verificación del cumplimiento de los estados límite de falla normativo
- Verificación del cumplimiento de los estados límite de servicio normativo
- Desarrollo del procedimiento geotécnico constructivo

CCLA Group coordina el proyecto y la construcción de un edificio de uso mixto localizado en la Av. Chapultepec No. 156, en la colonia Roma Norte, perteneciente a la Alcaldía Cuauhtémoc de la Ciudad de México (Figura 1).

El proyecto considera la construcción de un edificio compuesto por planta baja, 16 niveles superiores, roof garden y azotea, con altura máxima de 65.5 m sobre el nivel de banqueta. El proyecto también considera la construcción de dos niveles subterráneos destinados principalmente para estacionamientos y donde quedarán alojados los cuartos de máquinas, bodegas y cisternas. La excavación requerida alcanzará profundidades variables entre 6.2 y 8.8 m con relación al nivel medio de la banqueta.

El terreno donde se desarrollará el proyecto es de forma irregular y ocupa una superficie de aproximadamente 2,488.4 m², se ubica en la zona geotécnica III o Lacustre del Valle de México. Esta zona se caracteriza por presentar depósitos de suelo predominantemente arcillosos, con baja resistencia al esfuerzo cortante, alta deformabilidad y espesor cercano a los 40.0 m.

Como parte del proyecto, se encomendó a la empresa **Sísmica de Suelos (SDS)** realizar el Estudio de Mecánica de Suelos (EMS) para definir el tipo de cimentación apropiado para el edificio, establecer el sistema de contención que proteja a las estructuras colindantes y permita ejecutar de adecuadamente los trabajos de excavación, realizar los análisis geotécnicos complementarios y definir los procedimientos constructivos asociados.



Figura 1. Ubicación del sitio de estudio

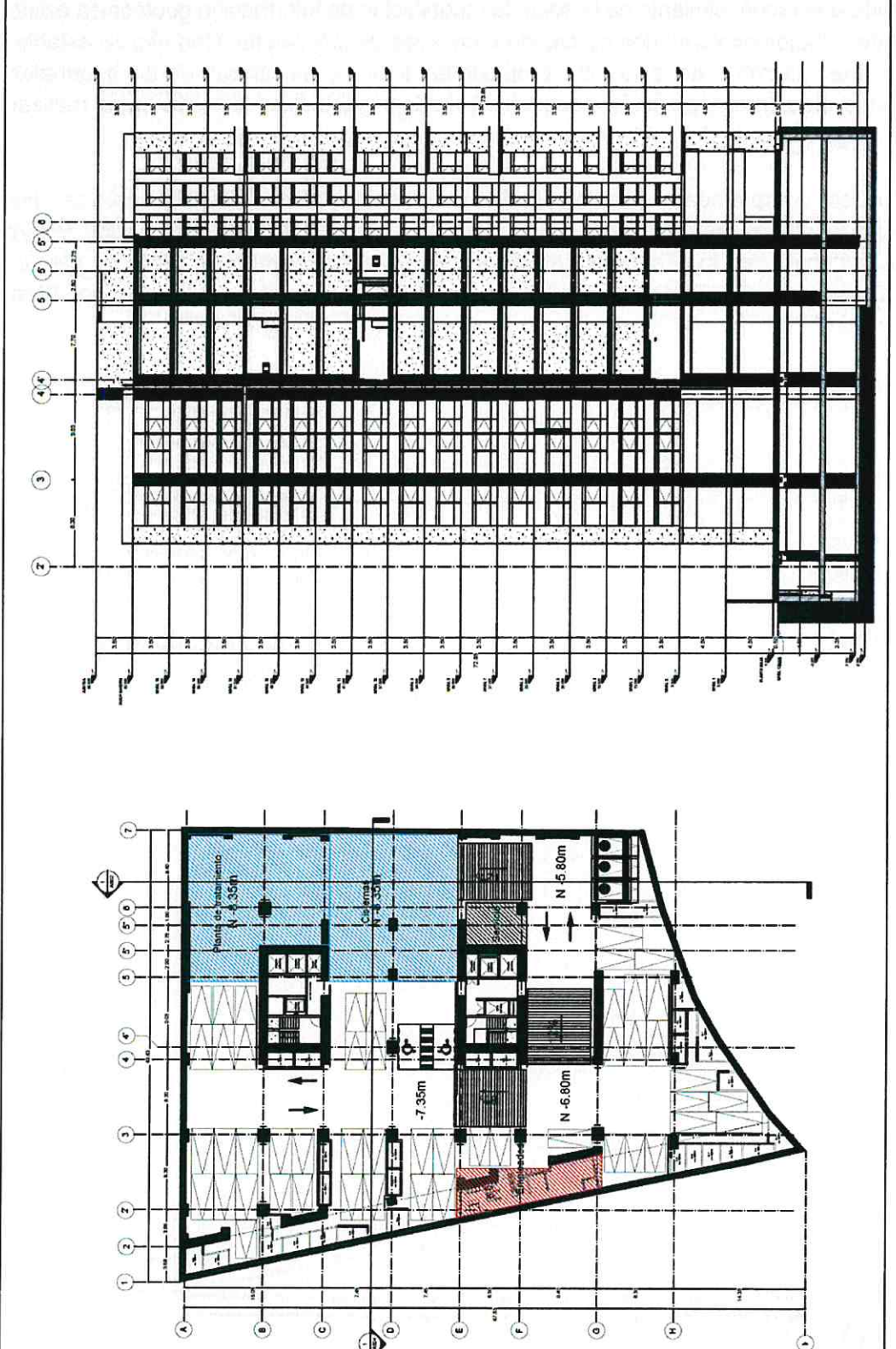


Figura 2. Características generales del proyecto

El EMS considera el reconocimiento de la zona, la recopilación de información geotécnica existente, la ejecución de trabajos exploratorios de campo y ensayes de laboratorio. Con ello se establecerá la composición estratigráfica del sitio y las propiedades índice y mecánicas de los materiales del subsuelo. Estos elementos permitirán construir el modelo geotécnico del sitio para realizar los análisis del comportamiento del suelo y la cimentación de la estructura proyectada.

Este informe se complementa con la siguiente información: bajadas de cargas, planos arquitectónicos y planos estructurales proporcionados por CCLA Group y ALBA Proyecto Estructural, así como con los Estudios del Espectro de Diseño Sísmico de Sitio con efectos de Interacción Dinámica y Geofísico con Radar de Penetración Terrestre realizados por Sísmica de Suelos.

La cuenca de México se encuentra en la parte central de la Faja Volcánica Transmexicana. Mide en la dirección norte-sur del orden de 90 km y en la dirección este-oeste es cercana a los 100 km en la parte norte, mientras que en la sur sólo alcanza unos 50 km. Su área es de aproximadamente 9,600 km². La elevación de su planicie es de 2,240 msnm en la parte sur y 2,390 msnm al norte. Las montañas que lo circundan están a 3,000 msnm y el pico más alto es el Popocatépetl a 5,500 msnm. En la Figura 3 se muestra la forma y la topografía de la cuenca que incluye a la Ciudad de México y partes de los estados de México, Hidalgo y Tlaxcala (TGC, 2005).

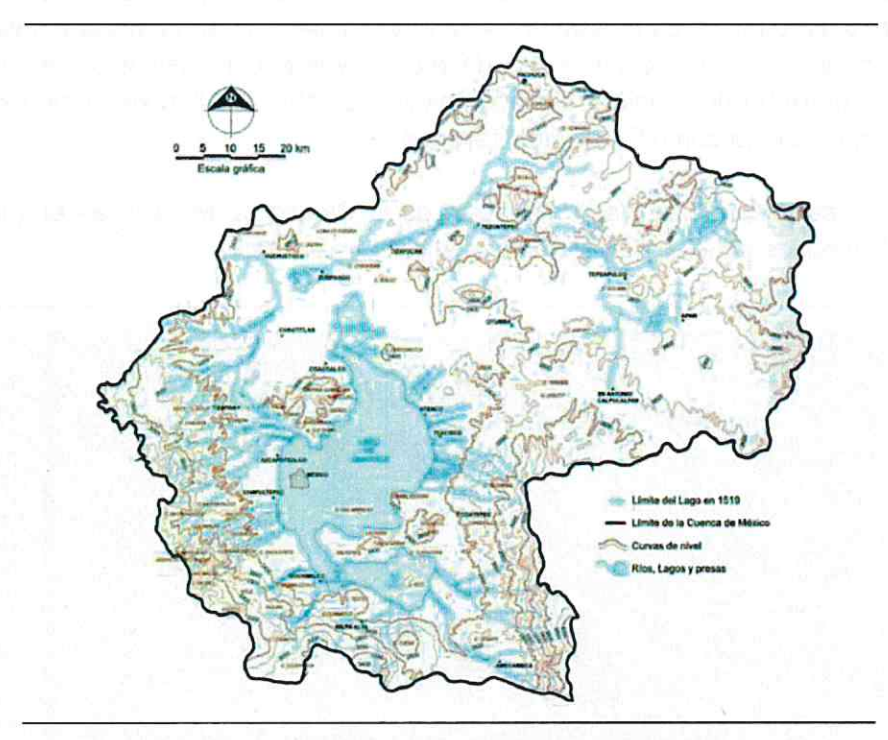


Figura 3. La cuenca de México (TGC, 2005)

El subsuelo se puede describir como un cúmulo de sucesivas formaciones volcánicas que alcanzan más de 2,000 m de espesor, que descansa sobre un basamento de rocas sedimentarias marinas. El basamento volcánico fue afectado por fracturas y fallas de la corteza terrestre provocando hundimientos y formando algunas fosas tectónicas.

La interpretación de las edades de las formaciones volcánica ha permitido inferir que la cuenca de México originalmente drenaba hacia el sur y que la erupción basáltica de la sierra del Chichinauhtzin la cerró hace unos 600,000 años, estos procesos geológicos dieron origen a la formación de lagos. De esta manera se formó una cuenca endorreica que se encuentra asentada sobre una planicie aluvial que anteriormente era un sistema de antiguos lagos.

Esta cuenca se compone básicamente de rocas volcánicas y sedimentos lacustres. Las rocas volcánicas se encuentran como secuencias alternadas de derrames lávicos, piroclastos y cenizas y

12/74

alrededor de las sierras, mientras que los sedimentos lacustres están distribuidos principalmente en la parte central de la cuenca.

Los suelos arcillosos blandos son la consecuencia del proceso de deposición y de alteración fisicoquímica de los materiales aluviales y de las cenizas volcánicas en el ambiente lacustre, donde existían abundantes colonias de microorganismos y vegetación acuática. El proceso sufrió largas interrupciones durante los periodos de intensa sequía, en los que el nivel del lago bajó y se formaron costras endurecidas por deshidratación inducida por secado solar.

Otras breves interrupciones fueron provocadas por violentas etapas de actividad volcánica, que cubrieron toda la cuenca con mantos de arenas basálticas o pumíticas, eventualmente las erupciones formaron costras compuestas de arenas volcánicas. Asimismo, el sistema de lagos provocó el surgimiento de grandes abanicos aluviales sobre los flancos poniente y oriente de la cuenca conocidos ahora como Formación Tarango.

En la Figura 4 se presenta el mapa geológico de la Ciudad de México, en el que se muestra la litología, así como los principales sistemas de fallas y fracturas.

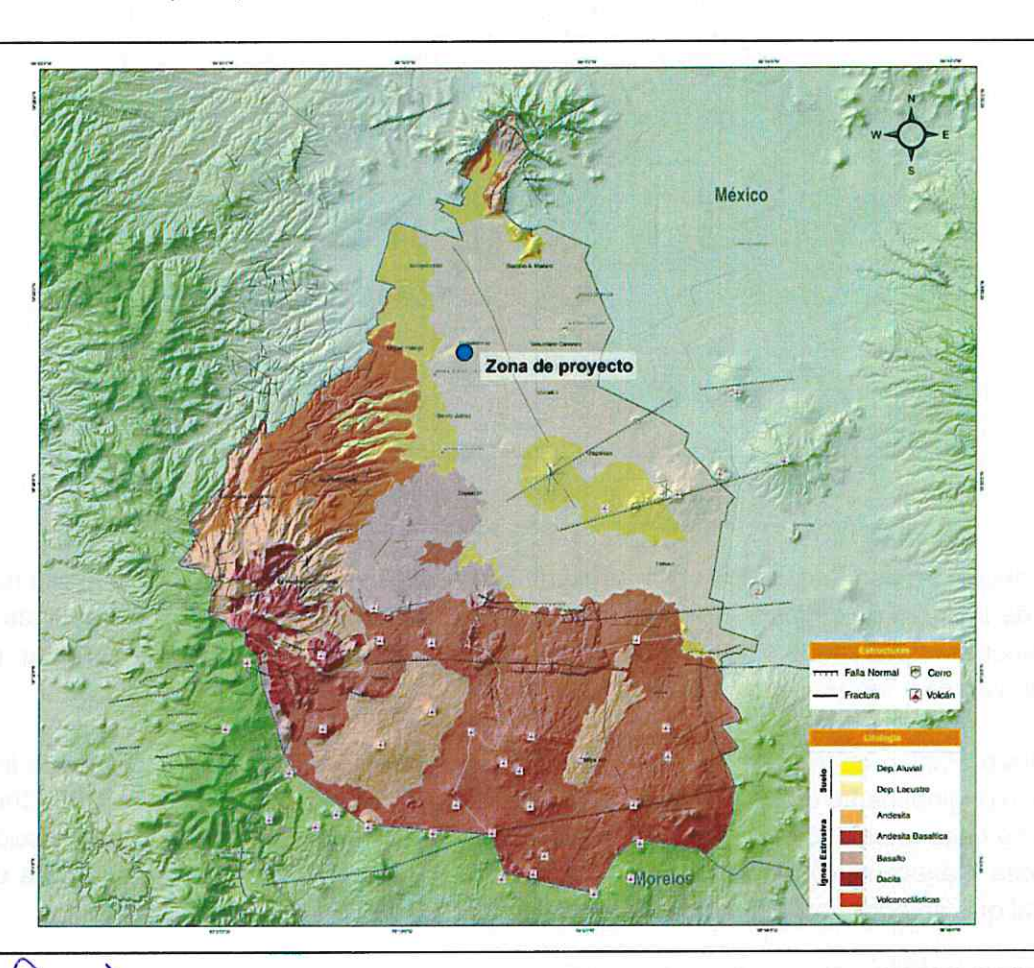


Figura 4. Mapa geológico de la Ciudad de México (Atlas de Riesgos CDMX, 2017)

11

#### 2.1 Zonificación geotécnica

El sitio donde se desarrolla el proyecto se localiza en la Zona Geotécnica III o Lacustre (Figura 5), establecida en las Normas Técnicas Complementarias para Diseño y Construcción de Cimentaciones (NTC-DCC, 2017) del Reglamento de Construcciones para la Ciudad de México.

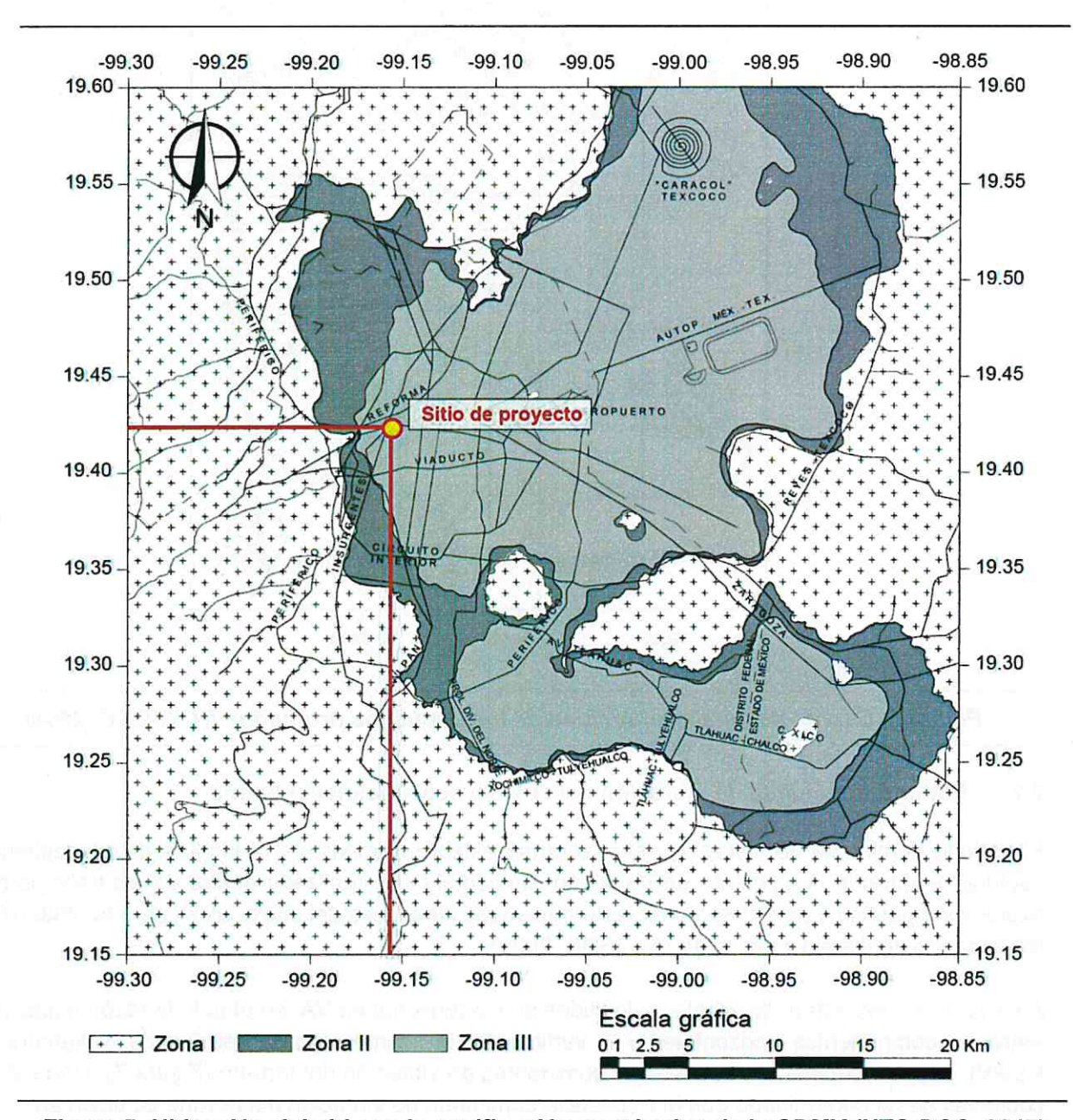


Figura 5. Ubicación del sitio en la zonificación geotécnica de la CDMX (NTC-DCC, 2017)

El subsuelo de este sitio se caracteriza por presentar capas de suelos arcillosos altamente compresibles intercaladas con estratos de arena de espesor variable. En esta zona, los depósitos profundos se encuentran cerca de los 40.0 m de profundidad, como se observa en la Figura 6.

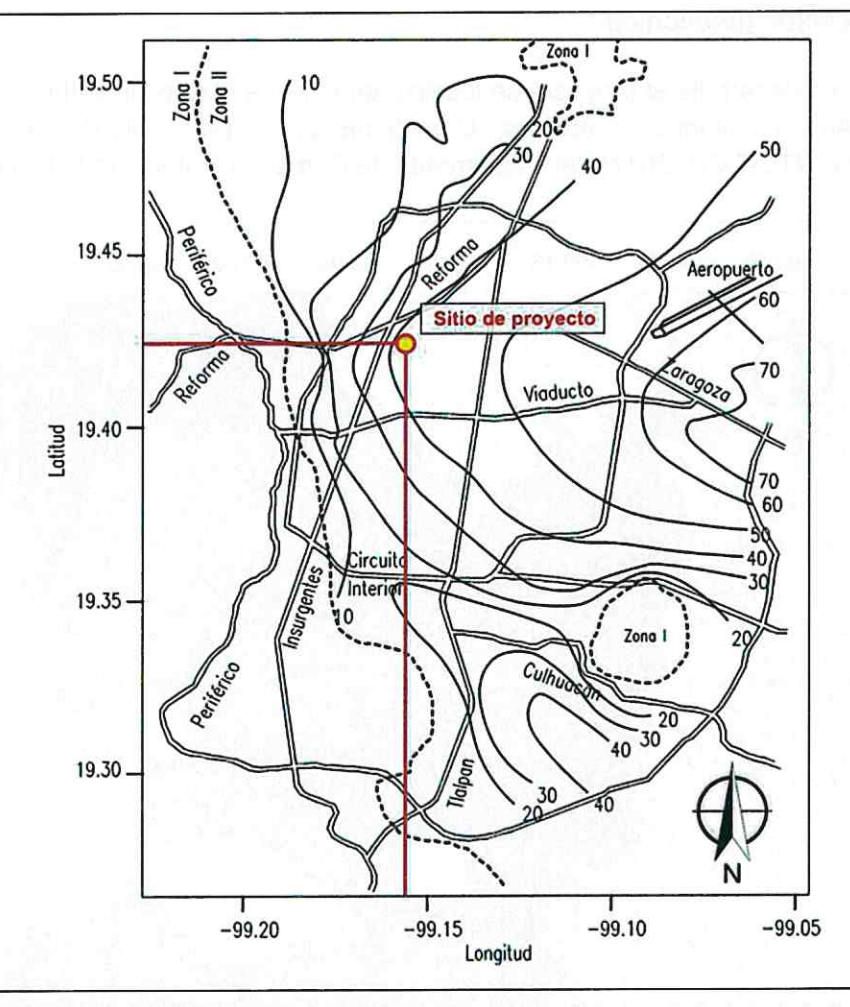


Figura 6. Curvas de igual profundidad de los depósitos profundos (NTC-DCC, 2004)

#### 2.2 Periodo dominante de vibración del suelo y aceleración espectral

El periodo dominante de vibración del terreno se estableció mediante el análisis de los registros capturados durante la campaña de Vibración Ambiental (VA), realizada dentro de los trabajos de exploración geofísica para determinar las propiedades dinámicas del suelo, útiles para la obtención del espectro de diseño sísmico de sitio (SDS, 2022).

A partir de los espectros de Fourier calculados de los registros de VA, se obtuvo la razón espectral entre las componentes horizontales y la vertical de un mismo registro (técnica de Nakamura o REHV), para determinar las frecuencias dominantes de vibración del terreno (Figura 7). Con estos cocientes se ha determinado que la frecuencia dominante de vibración del terreno se ubica en 0.50 Hz, asociada a un periodo de vibración del suelo de Ts = 2.0 s.

Complementariamente, el espectro de diseño sísmico obtenido en el estudio realizado por Sísmica de Suelos (SDS, 2022) se muestra en la Figura 8. En ella se indican el espectro de campo libre y el espectro modificado por efectos de la Interacción Suelo-Estructura (ISE) aplicables al proyecto.

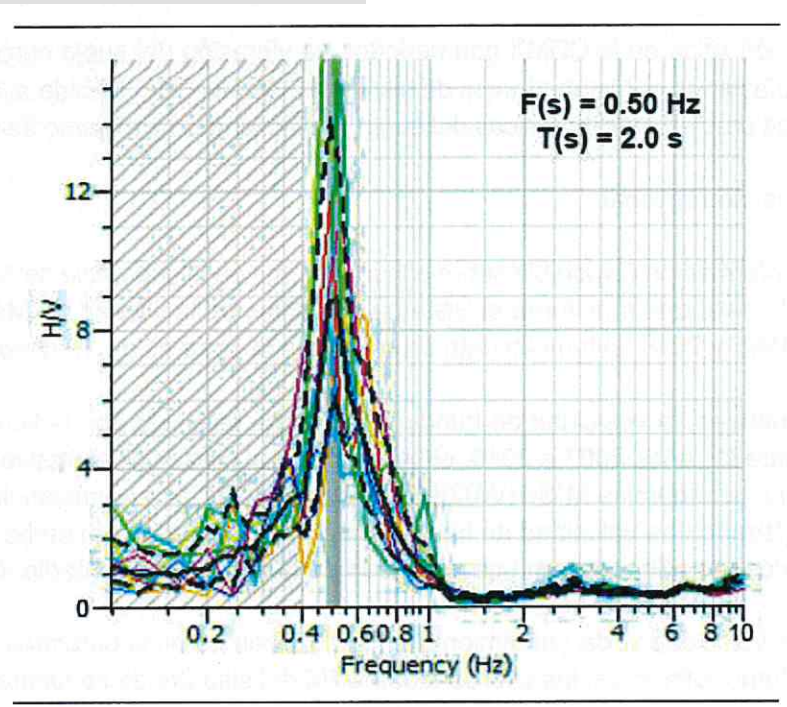


Figura 7. Cocientes espectrales obtenidos de los registros de Vibración Ambiental

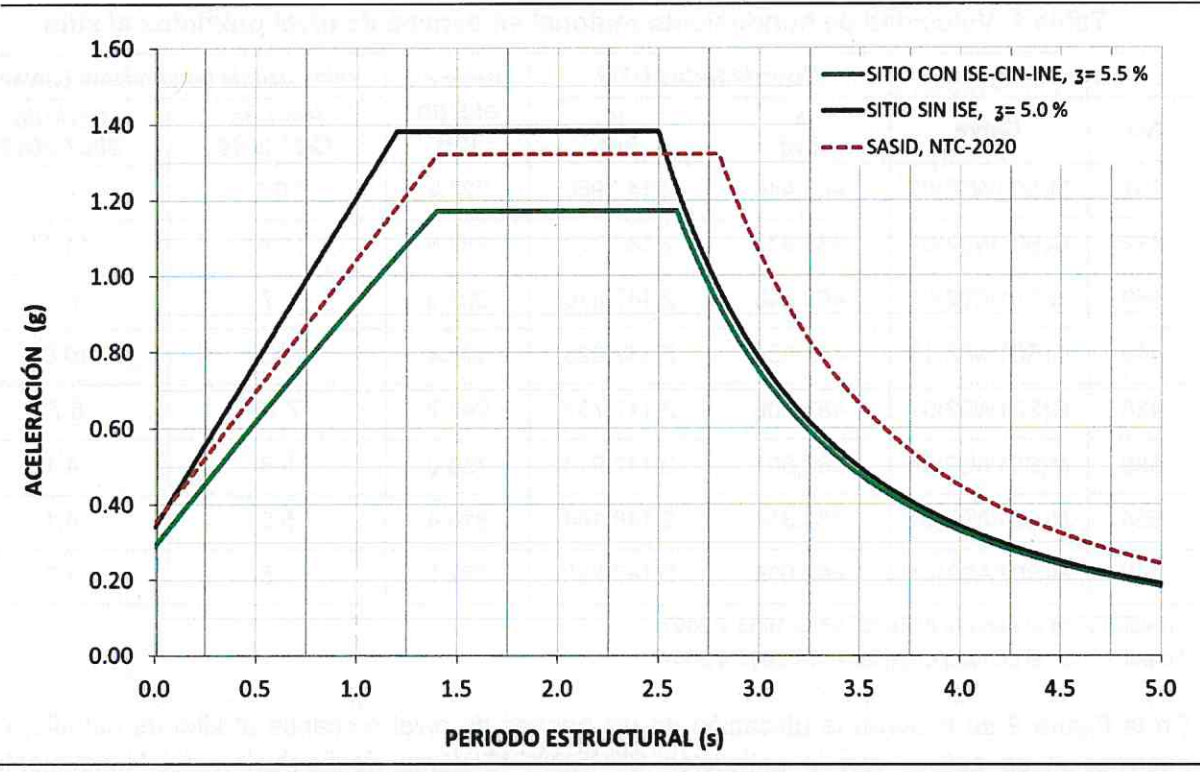


Figura 8. Espectro de diseño transparente para Tr = 250 años y espectro de diseño con ISE Dinámica, para estructuras del Grupo B con 5% de amortiguamiento

Se destaca que los sitios en la CDMX con periodos de vibración del suelo cercanos a 2.0 s, se ven principalmente afectados por la ocurrencia de sismos de subducción. Debido al hundimiento regional y el cambio en las propiedades dinámicas del suelo, el sitio tenderá a alejarse de esa condición crítica.

#### 2.3 Hundimiento regional

Con base en la información disponible sobre el hundimiento de la superficie del terreno determinadas en los bancos de nivel que monitorea el Sistema de Aguas de la Ciudad de México (SACM, 2016), entre los años 1985 y 2016, el hundimiento promedio en la zona es de 10 cm/año.

En términos generales, la velocidad de hundimiento se ha reducido con el tiempo. Para el periodo comprendido entre los años 2007 a 2016, el banco de nivel más representativo del comportamiento del suelo del sitio se denomina M(S01W02)03 localizado a 227.0 m de distancia del predio. En este punto se ha registrado una velocidad de hundimiento de 7.3 cm/año. Sin embargo, otros bancos un poco más alejados del sitio registran una velocidad de hundimiento promedio de 9.2 cm/año.

El detalle de las velocidades de hundimiento en los bancos de nivel cercanos al lugar se presenta en la Tabla 1. Como referencia, las coordenadas UTM del sitio donde se localiza el proyecto son:

Coordenada Este:

483,562 m

Coordenada Norte: 2,147,832 m

Tabla 1. Velocidad de hundimiento regional en bancos de nivel próximos al sitio

Banco de nivel		co de nivel Coordenadas UTM		Distancia	Velocidad de hundimiento [cm/año]	
No.	Clave	<i>x</i> [m]	у [m]	al sitio [m]	Periodo 1987-2016	Periodo 2007-2016
557	M(S01W02)03	483,440	2,147,980	227.2	10.1	7.3
439	C(S01W02)07	483,834	2,147,770	283.6	11.8 <sup>A</sup>	11.0 <sup>B</sup>
556	M(S01W02)02	483,843	2,147,870	296.9	9.7	9.2
440	C(S01W02)13	483,839	2,147,925	308.4	12.3 <sup>A</sup>	10.6 <sup>B</sup>
438	C(S01W02)01	482,909	2,147,797	647.7	7.7 <sup>A</sup>	5.7 <sup>B</sup>
558	M(S01W02)04	482,801	2,147,913	756.0	5.8	4.1
554	M(S01W01)01	484,314	2,148,144	810.4	5.5	4.1
149	B(S02W02)01	482,905	2,147,233	882.5	9.6	7.3

A medición en el periodo entre los años 1985 a 2007

En la Figura 9 se muestra la ubicación de los bancos de nivel cercanos al sitio de estudio, esta información se obtuvo con la aplicación SEHEDIS (Sistema de Evolución del Hundimiento y Espectros de Diseño Sísmico) que se encuentra en la página web de Sísmica de Suelos (sismica.com.mx).

<sup>&</sup>lt;sup>B</sup> medición en el periodo entre los años 2005 a 2007

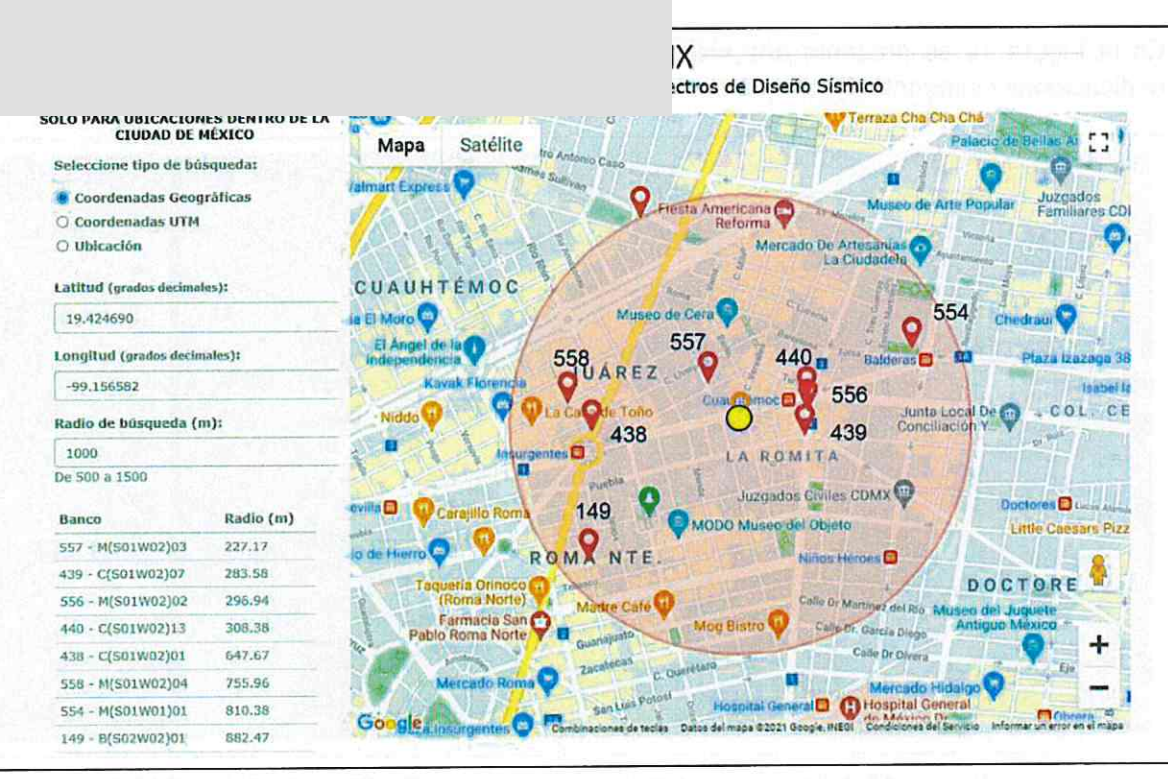


Figura 9. Ubicación de bancos de nivel en un radio de 1 km a partir del sitio de proyecto

#### 2.4 Inspección de la zona de proyecto

Como parte de la revisión geotécnica del proyecto, se realizó una visita al sitio y sus alrededores con objeto de hacer un reconocimiento de la zona cercana al predio de estudio y observar las características y condiciones en que se encuentran las construcciones próximas.

Anteriormente, en el sitio de proyecto se encontraba una estructura que alojaba una agencia de automóviles, esta fue demolida y actualmente el predio funciona como estacionamiento público.

Las colindancias del predio de interés presentan las siguientes características:

- Al norte se encuentra la Av. Chapultepec. Bajo esta vialidad se encuentra la estructura subterránea de la línea 1 del Metro.
- Hacia el oeste se ubica la calle Morelia.
- Al sur el predio colinda con un edificio de cinco niveles que está estructurado con marcos de concreto reforzado y muros de mampostería. Se destaca que esta construcción presenta un hundimiento apreciable, de aproximadamente 40 cm.
- En el lado oeste, el predio limita con un terreno que pertenece a la Secretaría de Economía colindando con edificaciones de uno y dos niveles, estructurados con base en muros de mampostería. Hacia Av. Chapultepec el predio colinda con una estructura de uso comercial con altura aproximada de 6.0 m, presenta techumbre compuesta por armadura metálica y lámina, además de muros de mampostería.

19-174

En la Figura 10 se presenta una vista general del sitio de proyecto y en la que se muestra las edificaciones colindantes y las que caracterizan a la zona.



Figura 10. Vista general de la zona de estudio (Google Earth, 2021)

Durante el recorrido realizado por la zona, se observan varias construcciones que han presentado diferentes magnitudes de asentamientos, tanto totales como diferenciales. En algunos casos, el fuerte asentamiento ha obligado a realizar reparaciones y adecuaciones colocando escalones en el acceso a estas estructuras.

En las Figuras 11 y 12 se muestran imágenes de las condiciones actuales de las estructuras colindantes y del predio de estudio.



Figura 11. Vista general del predio

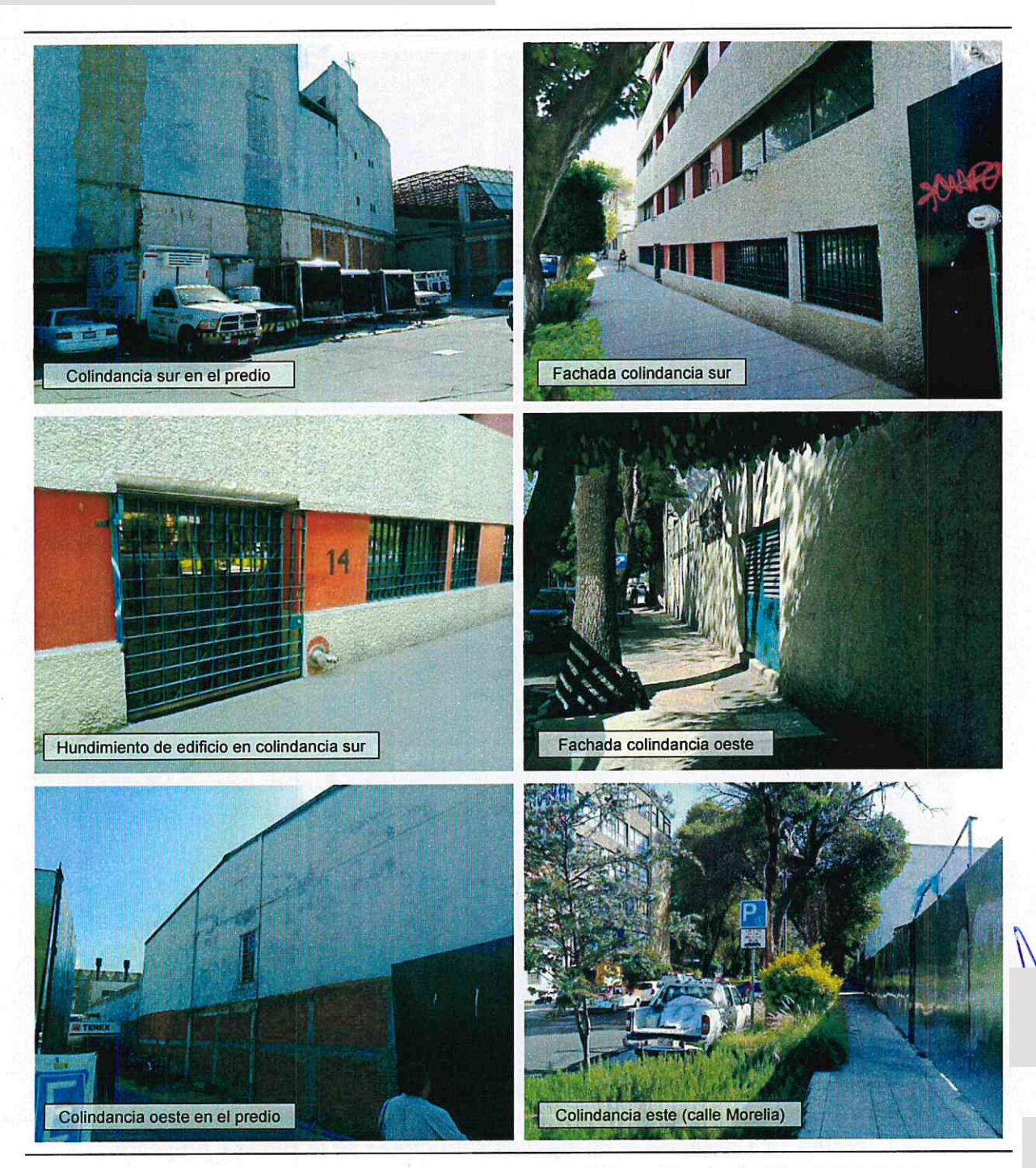


Figura 12. Condiciones de las colindancias del predio en el sitio de proyecto

Durante el recorrido se observaron estructuras con algunos agrietamientos provocados, en algunos casos por asentamientos diferenciales. En otros casos los daños producidos se asocian a eventos sísmicos. En la Figura 13 se muestran algunas de las edificaciones en las que se identificaron algunos daños y anomalías en su comportamiento estructural.

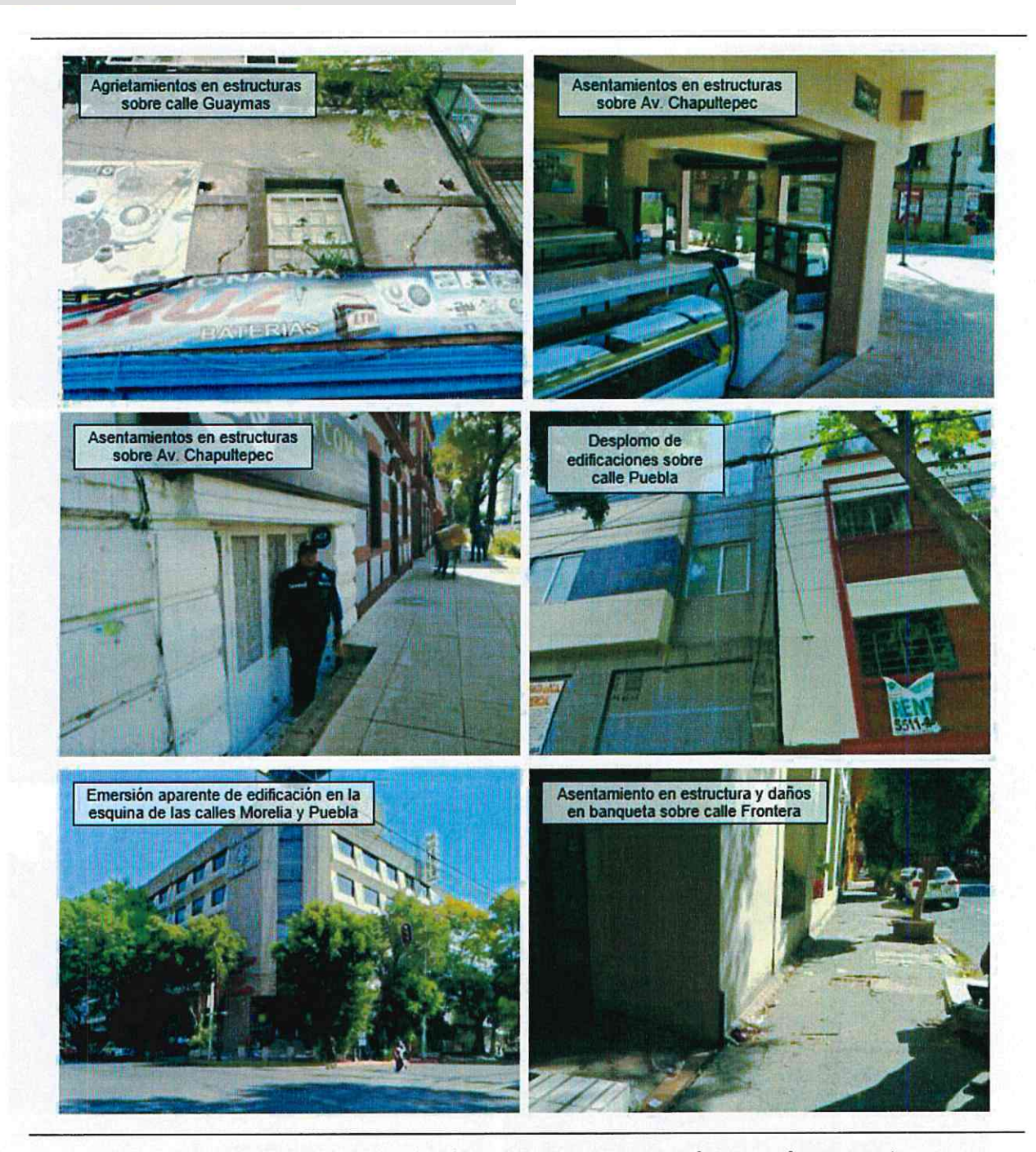


Figura 13. Condiciones de algunas estructuras en la zona de proyecto

Con los datos e información que se obtuvo en el recorrido realizado en la zona de proyecto, se destaca lo siguiente:

Los asentamientos diferenciales que se observan en las construcciones, se deben posiblemente à cargas excéntricas, o a concentración de esfuerzos ante condiciones accidentales por sismo.

- ➤ Los hundimientos totales en estructuras han sido generados principalmente por las características y propiedades del suelo y la magnitud de las cargas de las edificaciones.
- > Se observó aparente emersión de algunas construcciones posiblemente apoyadas en cimentaciones profundas. Algunas han causado deformaciones diferenciales en las estructuras vecinas, ocasionando desplomos y agrietamientos en muros y banquetas.

### 2.5 Fracturas indicadas en el atlas de riesgo de la Ciudad de México

Posterior al sismo del 19 de septiembre de 2017, el gobierno de la Ciudad de México realizó una actualización del mapa de fracturas aplicando el método geofísico empleando el Radar de Penetración Terrestre o Georadar, con el que se detectaron discontinuidades en el subsuelo. En algunas zonas de la Ciudad las discontinuidades superficiales son consecuencia de la desecación progresiva de las capas arcillosas superiores.

La continua extracción de agua subterránea ha originado también un desequilibrio en la presión de poro del relleno sedimentario de la cuenca y, en consecuencia, la deformación por contracción de los materiales que, al darse de manera diferencial, origina discontinuidades que se propagan desde subsuelo hacia la superficie.

En el mapa de la Figura 14 se observa que el área se encuentra en una zona de vulnerabilidad al fracturamiento baja, según el Sistema Abierto de Información Geográfica de la CDMX (SAIG CDMX, 2021). Sin embargo, es importante destacar que el mapa de atlas de riesgo marca fracturas o agrietamientos en esta zona, señaladas con líneas color verde en la misma figura.

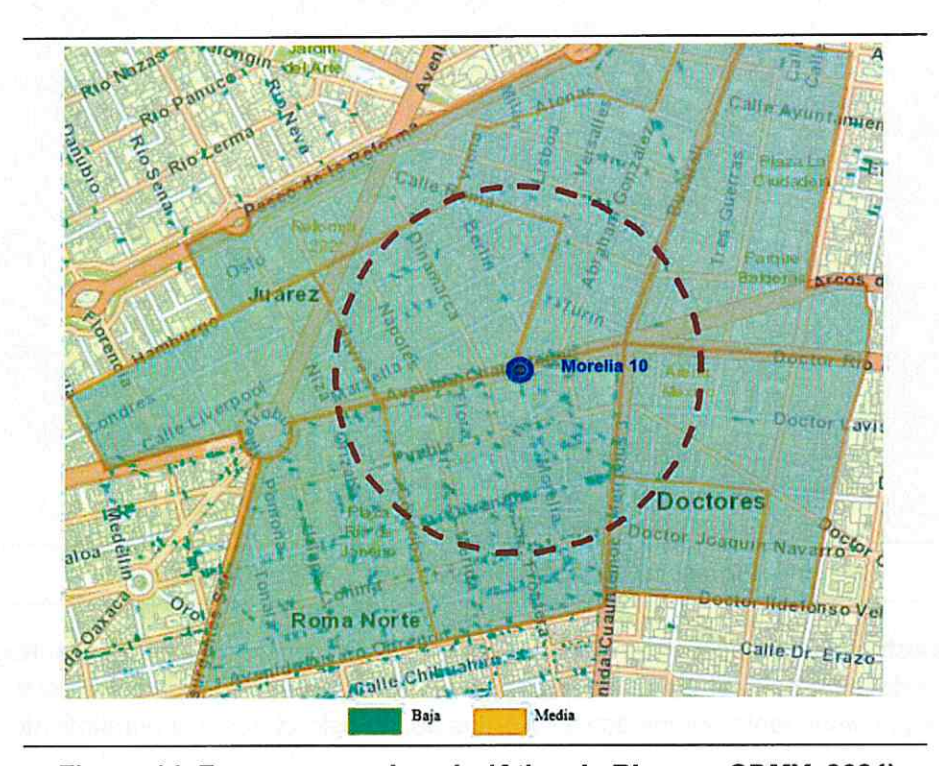


Figura 14. Fracturas en el suelo (Atlas de Riesgos CDMX, 2021)

Sísmica de Suelos realizó el Estudio Geofísico con Radar de Penetración Terrestre en el sitio de proyecto y se realizó un recorrido de inspección en la zona para el levantamiento de fracturas en un radio de 300 m a partir del sitio de proyecto. De la información recabada se destaca los siguiente:

- Las posibles discontinuidades identificadas con la técnica de GPR dentro del predio se encuentran cerca de las colindancias con edificios, mientras que en las colindancias con vialidades no se detectaron posibles discontinuidades. Por ello, las aparentes discontinuidades observadas se atribuyen a las cargas que producen las construcciones vecinas.
- Se estableció que los agrietamientos indicados en las vialidades son causados, principalmente, por la fatiga de la carpeta asfáltica.
- Las discontinuidades detectadas no se encuentran asociadas a condiciones geológicas o tectónicas. Sin embargo, se deberá tener presente el comportamiento que típicamente producen los suelos arcillosos que caracteriza a la estratigrafía superficial de la Ciudad de México, asociados a su baja resistencia al esfuerzo cortante y alta deformabilidad.

En la Figura 15 se presentan las fracturas ubicadas por el Altas de Riesgo de la CDMX marcadas en color rojo, las identificadas con la técnica de GPR en color azul y las observadas durante la visita de inspección en color negro.

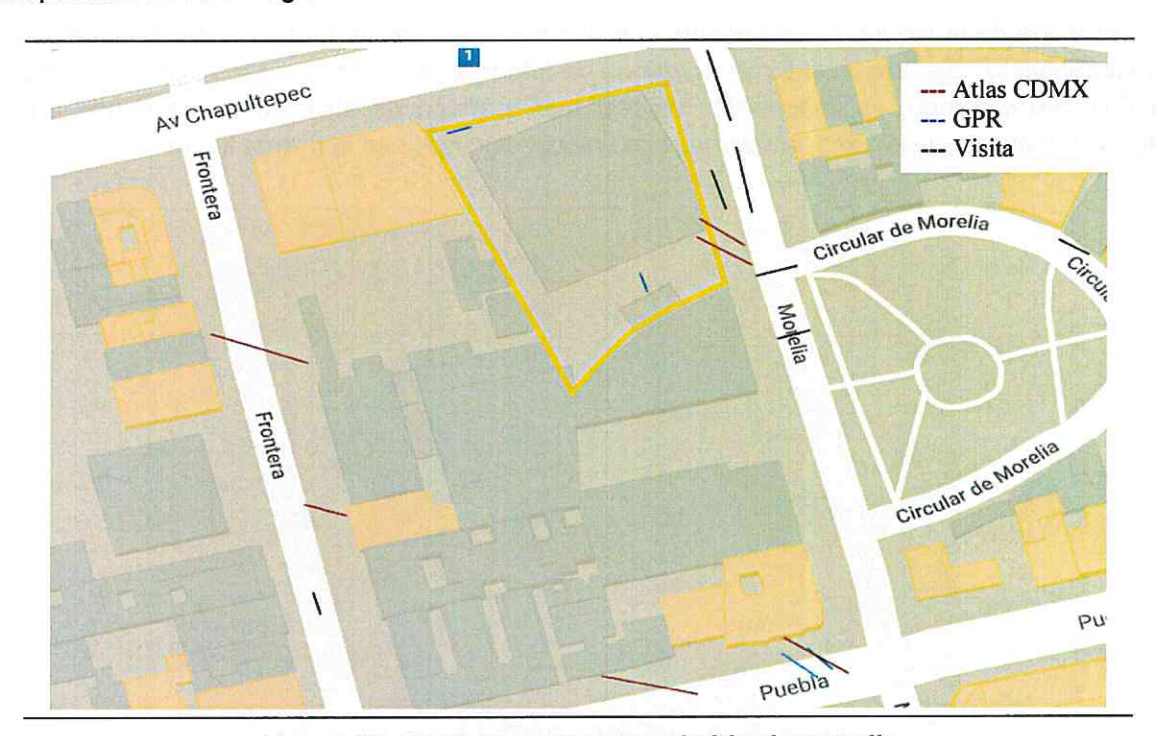


Figura 15. Fracturas cercanas al sitio de estudio

En el área estudiada se observó de manera general que la carpeta asfáltica presenta grietas propias de la fatiga del material, así como afectaciones en banquetas y en los niveles de las edificaciones producidos principalmente por los asentamientos de las estructuras y al hundimiento regional.

Con base en la inspección y estudio de las discontinuidades ubicadas en la zona de interés, se establece que no generan ningún riesgo para el desarrollo del proyecto.

1X

# 3 EXPLORACIÓN GEOTÉCNICA Y ENSAYES DE LABORATORIO

Para caracterizar a los materiales que componen a los depósitos de suelo en la zona de interés, se programó la ejecución de trabajos de exploración. Consistieron en la investigación de todas las unidades estratigráficas que puedan tener influencia en el comportamiento de los posibles sistemas de cimentación para la estructura proyectada. Los trabajos ejecutados consistieron en:

- > Dos Sondeos Exploratorios (SE), aplicando la técnica de Penetración Estándar (SPT)
- Un Sondeo de Muestreo Selectivo (SMS)

La ubicación de los sitios de exploración se muestra en la Figura 16, mientras que sus coordenadas UTM se indican en la Tabla 2.

Sondeo	Profundidad	Coordena	Elevación local	
Exploratorio	máxima (m)	N (m)	E (m)	(m)
SE-1	50.5	2,147,811.0	483,555.0	+ 100.00
SE-2	50.0	2,147,853.0	483,563.0	+ 99.34
SMS	39.0	2,147,810.0	483,553.0	+ 100.0

Nota: El banco de nivel (BN-1) se ubica en la banqueta de la calle Morelia y su elevación es N+99.61 m



Figura 16. Ubicación de los sondeos exploratorios en la zona de estudio

### 3.1 Sondeos Exploratorios

Los Sondeos Exploratorios (SE-1 y SE-2) se ejecutaron aplicando principalmente la técnica de Penetración Estándar (SPT, Standar Penetration Test) con base en lo establecido en la norma ASTM D1586, alcanzando una profundidad máxima de investigación de 50.5 m, penetrando con ambos sondeos en los depósitos profundos resistentes.

La prueba SPT consistió en aplicar golpes con un martinete sobre el penetrómetro ligado a la tubería de perforación, logrando avances de 60 cm de profundidad, en cuatro tramos de 15 cm cada uno. El número de golpes representativo para cada avance correspondió a la sumatoria de los dos tramos intermedios de 15 cm. Posterior a cada avance, se lavó la perforación con una broca tricónica hasta la profundidad máxima alcanzada para eliminar el azolve, haciendo circular agua.

El penetrómetro empleado corresponde a un tubo de acero en cuyo extremo se acopla una zapata afilada. El tubo está cortado longitudinalmente para facilitar la observación y recuperación de las muestras alteradas obtenidas.

Durante la ejecución de estos sondeos se obtuvieron muestras alteradas del subsuelo de forma continua en toda la profundidad explorada que fueron llevadas al laboratorio, donde se realizó su clasificación, además de la determinación de algunas de sus propiedades índice, como son el contenido natural de agua, los límites de consistencia y el contenido de finos.

En la Figura 17 se presentan imágenes con algunas de las actividades ejecutadas durante los trabajos de exploración.

#### 3.2 Muestreo Inalterado Selectivo

1.1

Durante la ejecución del sondeo de exploración se construyó un perfil estratigráfico preliminar del sitio, con el que se definieron las capas de suelo más representativas. Con esta información se programó la obtención selectiva de muestras de tipo inalterado.

El interés fue recuperar especímenes de suelo de las profundidades donde se encuentran los materiales que mayor influencia tienen en la cimentación de la estructura proyectada.

La obtención de las muestras inalteradas se realizó atendiendo la norma ASTM D 1587, empleando tubos de pared delgada tipo Shelby (TS) de 4" de diámetro, introducidos en el suelo mediante la aplicación de presión a baja velocidad.

En total se recuperaron 11 muestras, de ellas ocho se extrajeron del sondeo SE-1 y tres del sondeo SE-2, en ambos casos las muestras fueron de tipo inalterado y obtenidas de las profundidades que se indican en la Tabla 3.

Las muestras fueron identificadas, protegidas y trasladadas al laboratorio en la Ciudad de México para su análisis y ensaye.

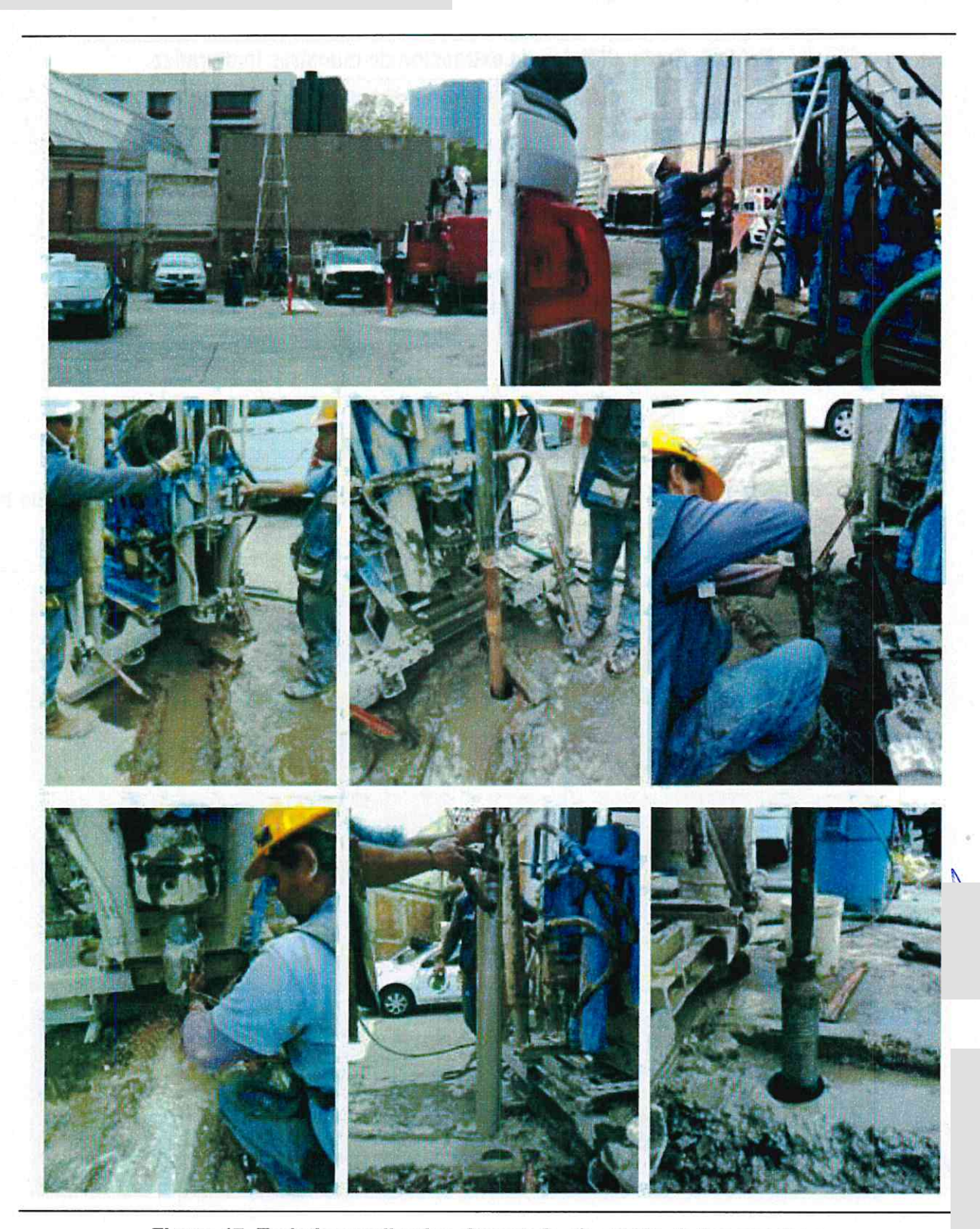


Figura 17. Trabajos realizados durante la ejecución de los sondeos

Sondeo	Muestra	Profundidad media	Recuperación	
	M-1	3.5 m	40 cm	
	M-2	9.0 m	52 cm	
	M-3	16.0 m	73 cm	
CMC 4	M-4	20.0 m	52 cm	
SMS-1	M-5	25.5 m	90 cm	
	M-6	31.0 m	90 cm	
	M-7	35.0 m	90 cm	
	M-8	50.5 m	28 cm	
SMS-2	M-10	3.0 m	29 cm	
	M-11	6.0 m	17 cm	
	M-12	9.0 m	28 cm	

En la Figura 18 se muestran imágenes de algunas de las muestras de suelo obtenidas durante la ejecución de los SE, aplicando la técnica SPT.

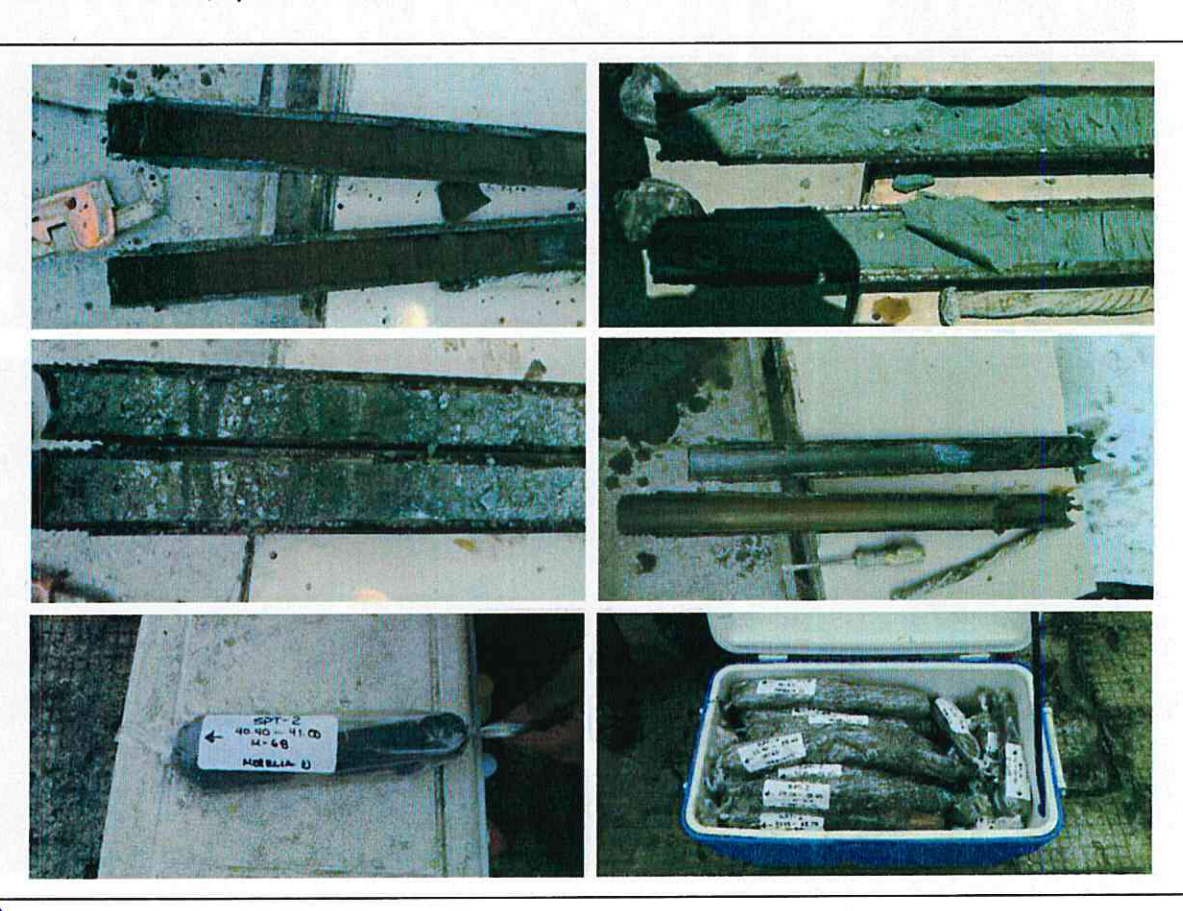


Figura 18. Muestras alteradas obtenidas de los sondeos SPT

VX

#### 3.3 Monitoreo del nivel freático

Para determinar la posición del nivel de agua superficial y la variación de la presión que genera en el subsuelo a profundidad, se realizaron trabajos de instrumentación. Consistieron en la instalación de dos estaciones de monitoreo. Una conformada por un tubo de observación (TO) y la segunda integrada por tres piezómetros (PZ-1, PZ-2 y PZ-3).

Las coordenadas UTM donde se instalaron los instrumentos se presentan en la Tabla 4 y su ubicación se muestra en la Figura 19.

Instrumentación		Profundidad	Coorden	Elevación local	
		(m)	N (m)	E (m)	(m)
Estación de monitoreo 1	TO-1	6.0	2,147,833.0	483,575.0	+ 99.622
	PZ-1	13.0	T. L. Lower	an malawa	
Estación de monitoreo 2	PZ-2	25.0	2,147,810.0 483,553.0	+ 100.000	
doo	PZ-3	39.0			

Nota: El banco de nivel (BN-1) se ubica en la banqueta de la calle Morelia y su elevación es N+99.607m



Figura 19. Ubicación de las estaciones de monitoreo

#### 3.3.1 Piezómetros abiertos tipo Casagrande (PZ)

Los Piezómetros tipo Casagrande, o de celdas abiertas, son instrumentos instalados para medir el nivel piezométrico del agua subterránea a través del principio de diferencias de presiones. Dentro del piezómetro se forma una columna de agua que se asocia con la presión que se genera justo a la profundidad donde se instala el bulbo permeable.

Para la instalación de los piezómetros se realizó una perforación de aproximadamente 4" de diámetro. En la ubicación de cada punta piezométrica se conformó una cama o bolsillo de arena que servirá de filtro para dejar entrar el agua al instrumento. Estas zonas permeables fueron selladas con bolas de bentonita. En la Figura 20 se muestra el esquema del piezómetro abierto de Casagrande.

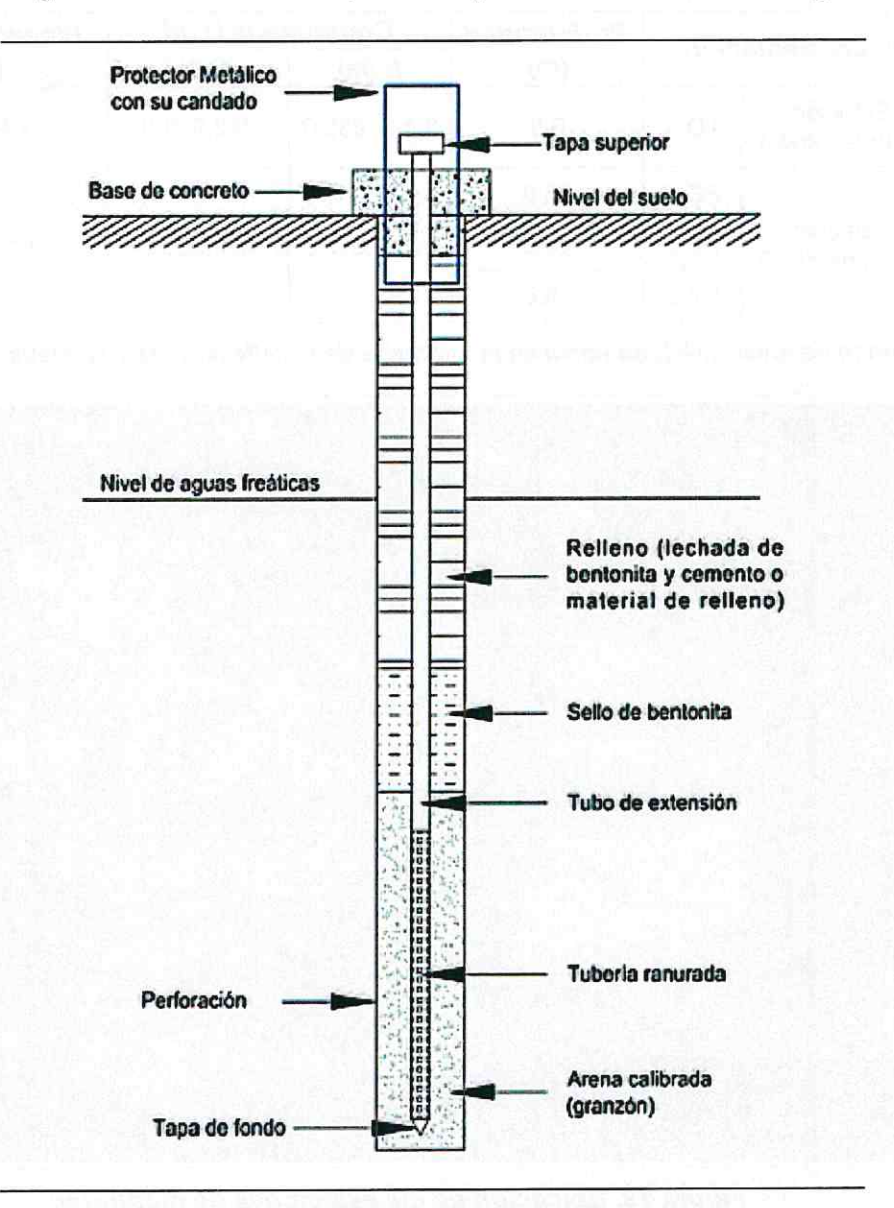


Figura 20. Piezómetro abierto tipo Casagrande

Para cada piezómetro se utilizaron una serie de tubos verticales de PVC hidráulico acoplados de 1.0" de diámetro y una celda permeable en el extremo. El piezómetro se introduce en la perforación, cuidando que el tubo se mantenga vertical y libre de lodo y se posiciona dentro del bolsillo de arena. Posteriormente se sella con bolas de bentonita y con lechada de cemento todo el espacio anular entre el tubo y el suelo.

Después de la instalación de los piezómetros se tomaron lecturas periódicas del nivel de agua detectado, mediante el uso de una sonda eléctrica durante todo el periodo de monitoreo.

#### 3.3.2 Tubos de Observación (TO)

Un Tubo de Observación es un instrumento instalado para detectar el Nivel de Aguas Freáticas (NAF). Consta de un tubo vertical de PVC de 1.0" que se encuentra ranurado perimetralmente en toda su longitud. Las ranuras son longitudinales de 1 mm de ancho que permiten el paso de agua.

El tubo se recubre con una malla en toda su longitud y se introduce en una perforación, cuidando que se mantenga libre de lodo. El espacio anular entre el tubo y la pared del pozo se rellena con gravilla lavada previamente, en tamaños de 5 a 10 mm. En la Figura 21 se muestra un esquema de la instalación del TO.

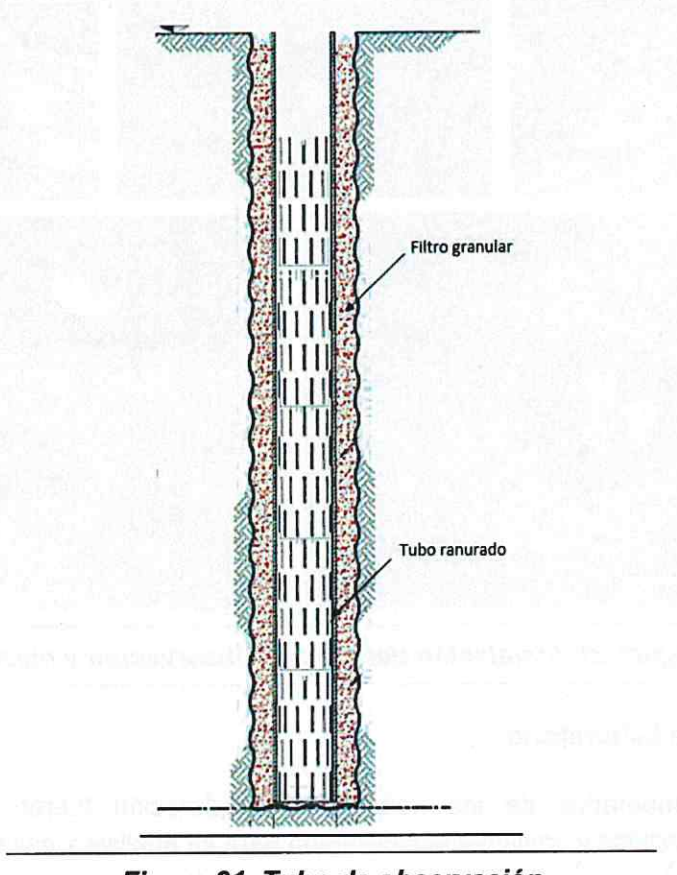


Figura 21. Tubo de observación

La perforación donde se aloja el TO es de 4.0" de diámetro. Se coloca un ademe y se hace circular agua limpia hasta que retorne con un material mínimo en suspensión. El ademe se extrae al mismo tiempo que se vacía la gravilla, formando una cama antes de la instalación del tubo. Una vez instalado el tubo, continúa la extracción del ademe realizando simultáneamente el vaciado de la gravilla en el espacio anular, hasta la superficie. El nivel de agua dentro del tubo de observación se determina con una sonda eléctrica.

En las imágenes de la Figura 28 se muestra las actividades realizadas durante la instalación de los piezómetros y tubo de observación.



Figura 21. Instalación del tubo de observación y piezómetros

#### 4 Ensayes de Laboratorio

s muestras recuperadas de los trabajos de exploración fueron clasificadas en campo, referenciadas, protegidas y enviadas al laboratorio para su análisis y ensaye.

En el laboratorio todas las muestras fueron clasificadas de acuerdo con el Sistema Unificado de Clasificación de Suelos (SUCS) y se les determinaron las siguientes propiedades:

- > Contenido de Agua (Norma ASTM D2216)
- Contenido de finos por lavado (Norma ASTM D1140)
- ➤ Límites de consistencia (Norma ASTM D4318)
- Granulometría (Norma ASTM D2487)

Además de las propiedades anteriores, en las muestras inalteradas se programó la ejecución de los siguientes ensayes mecánicos:

- Compresión Simple (ASTM D2166).
- Compresión Triaxial tipo No Consolidada-No drenada (TX-UU, ASTM D2850)
- > Consolidación Unidimensional (ASTM D2435)

En las Figuras 22 a la 24 se presentan algunas imágenes de los ensayes practicados en el laboratorio.

En el Anexo 1 se presentan los resultados de las pruebas índice y mecánicas realizadas, así como las curvas construidas para los diferentes ensayes mecánicos. Gráficamente se muestran algunos de los resultados del laboratorio en los perfiles estratigráficos de las Figuras 25 y 26.



Figura 22. Muestras analizadas en el laboratorio



Figura 23. Muestras para la obtención de límites de consistencia

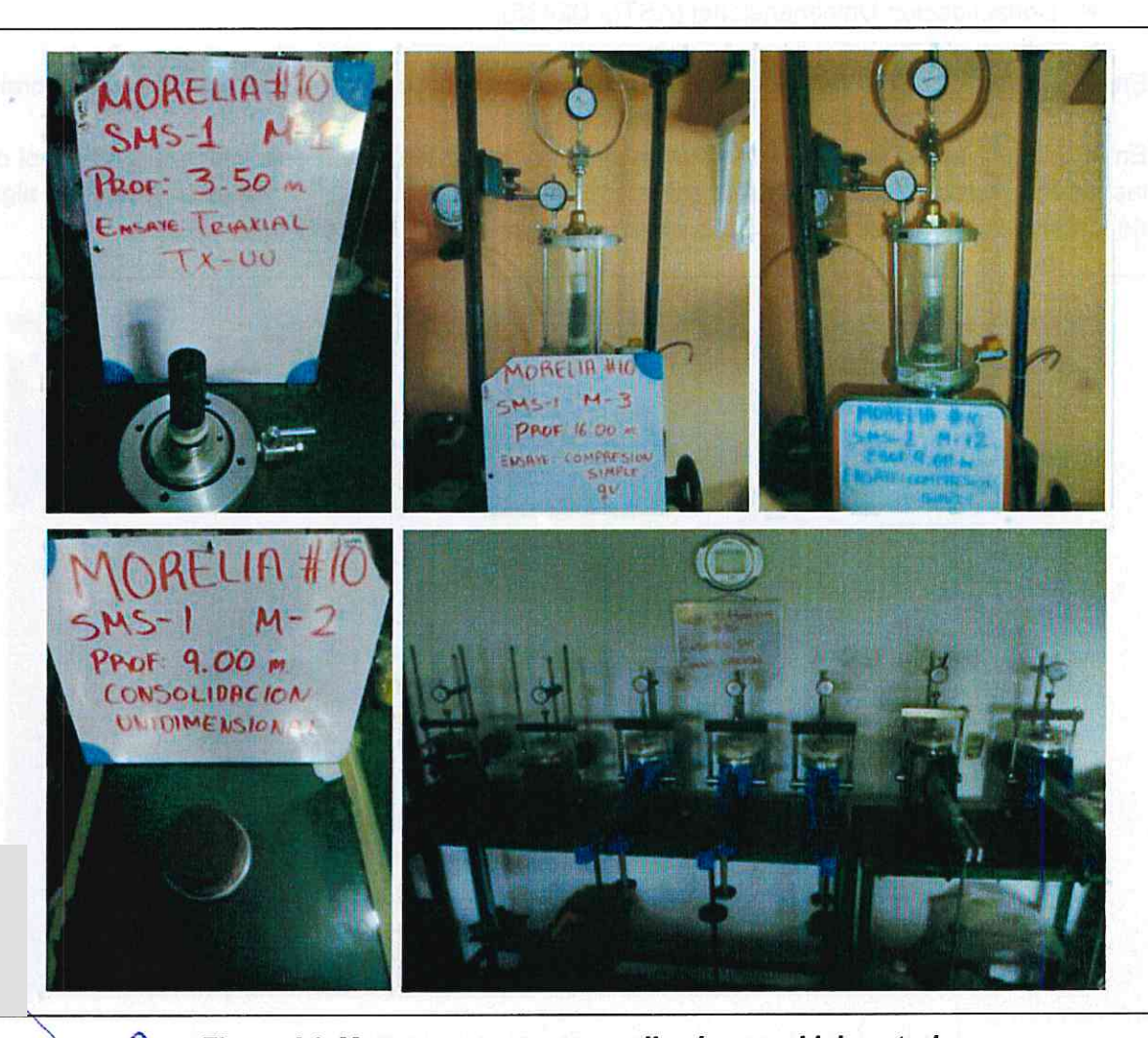


Figura 24. Muestras y ensayes realizados en el laboratorio

## 4 CARACTERIZACIÓN ESTRATIGRÁFICA

A partir de la información recopilada, el conocimiento que se tiene de la zona, en conjunto con los resultados de los trabajos de exploración geotécnica y ensayes de laboratorio ejecutados, se establecieron las condiciones estratigráficas que caracterizan al subsuelo del sitio.

#### 4.1 Interpretación estratigráfica SE-1

El SE-1 alcanzó una profundidad de 50.5 m, la configuración estratigráfica establecida a partir de los trabajos de campo y ensayes de laboratorio realizados, es la que se muestra en la Figura 25 y se compone por las siguientes capas:

#### Costra superficial

De 0.0 a 1.9 m

**Relleno.** Capa conformada por arcilla color café oscuro con contenidos variables de arena. En esta capa se encontró cascajo, pedacería de tabique y concreto con algunos restos de madera y plástico.

De 1.9 a 4.9 m

Limo arenoso. Estrato de limo arenoso color gris de consistencia blanda a media, esta unidad esta intercalada con capas de arena fina. A una profundidad entre 3.0 y 3.8 m se detectó un estrato de arena media en estado suelto. El contenido de humedad de esta capa oscila entre 20 y 80%

#### Serie arcillosa superior

De 4.9 a 24.1 m

Depósito de arcilla. Estratos de arcilla de color gris y café de consistencia muy blanda. En la prueba SPT el avance se logró sólo con el peso de la herramienta y en algunos tramos con máximo 3 golpes y el contenido de humedad oscila entre 200 y 400%.

Se destaca que en este depósito se detectó una capa de ceniza volcánica a una profundidad de 8.6 m.

También se encontró un estrato de arcilla con arena a una profundidad de 12.7 m. Esta capa presenta un contenido de agua de 80% y un contenido de arena del orden de 30%. El espesor de este estrato es de 60 cm.

De 24.1 a 25.3 m

**Arcilla arenosa.** Capa conformada de arcilla color gris de consistencia media a firme. En contenido de arena es del orden del 40% y el contenido de agua es de aproximadamente 50%.

De 25.3 a 28.3 m

**Limo arcilloso.** Esta capa se conforma por un limo arcilloso color verde olivo con arena fina, de consistencia blanda a media, con 3 a 10 golpes en SPT. El contenido de agua oscila entre 80 y 120%.

#### Primera capa dura

De 28.3 a 33.0 m

Arcilla arenosa. Estrato de arcilla con arena color café de consistencia firme. En la prueba de SPT se obtuvo una resistencia entre 12 y 24 golpes. El contenido de agua varía de 60% a 100% y el contenido de finos oscila entre 70% y 90%.

~|

#### Serie arcillosa inferior

De 33.0 a 37.9 m Arcilla limosa y arenosa. Capa de arcilla limosa con arena de consistencia blanda a media. Presenta un contenido de agua entre 80 y 180%, mientras que el contenido de finos oscila entre 68 y mayor a 95%. En la prueba SPT se registraron golpes variables entre 5 y 14.

#### Depósitos profundos

De 37.9 a 40.0 m

Arena limosa con gravilla. Este estrato se constituye por arena limosa en estado muy compacto. En la prueba de SPT se obtuvo una resistencia de 42 a más de 50 golpes. El contenido de agua disminuye hasta el 20%; el contenido de finos se encuentra entre 20 y 30%, mientras que el contenido de gravilla es del orden del 20%.

De 40.0 a 42.0 m

Limo con arena. Estrato de limo con arena de color gris y de consistencia firme a dura. En la prueba de SPT se obtuvo una resistencia entre 19 y 40 golpes. El contenido de humedad es de 40% y el contenido de finos es del orden de 80%.

De 42.0 a 45.1 m

Arena limosa con gravilla. Esta unidad se conforma por una arena fina a media de color gris con limo y gravilla en estado muy compacto (N<sub>spt</sub> > 50 golpes), en todos los tramos explorados el avance se realizó con broca tricónica, excepto en un tramo donde la resistencia en SPT es de 20 golpes. El contenido de agua en esta unidad oscila entre 20 y 35%.

De 45.1 a 50.5 m Arena limosa. Capa de arena limosa color gris en estado muy compacto con una resistencia de más de 50 golpes en la prueba SPT. Presenta algunas capas de limo arenoso. El contenido de agua es del orden del 20%, mientras que el contenido de finos varía entre 20 y 40%.

#### 4.2 Interpretación estratigráfica SE-2

El SE-2 alcanzó una profundidad de 50.0 m. La configuración estratigráfica establecida a partir de los trabajos de campo y ensayes de laboratorio realizados es la que se muestra en la Figura 26 y se compone por las siguientes unidades:

#### Costra superficial

De 0 a 1.9 m

Relleno. Capa conformada por arcilla color café oscuro con contenidos variables de arena. En esta capa se encontró cascajo, pedacería de tabique y concreto con algunos restos de madera y plástico.

14.9 m

Limo arenoso. Este estrato se conforma por limos arenosos color gris de consistencia blanda a media, registrando en la prueba SPT oscila entre 2 

### Serie arcillosa superior

De 4.9 a 23.5 m Depósito de arcilla. Capa de arcilla de color gris y café de consistencia muy blanda. En la prueba SPT el avance se logró sólo con el peso de la

herramienta y el contenido de humedad oscila entre 200 y 400%.

Se destaca que en este depósito se detectó una capa de ceniza volcánica entre 8.7 y 8.9 m de profundidad. A una profundidad de 12.7 m se encontró

un estrato de arcilla de consistencia media con arena.

De 23.5 a 24.7 m Arcilla arenosa. Estrato de arcilla color gris de consistencia media a firme. En contenido de arena es del orden del 40% y el contenido de agua varía

entre 100 y 200%.

De 24.7 a 29.5 m **Limo arcilloso.** Unidad conformada por un limo arcilloso color gris con arena fina, de consistencia blanda. El contenido de agua es del orden del 100%.

#### Primera capa dura

De 29.5 a 34.3 m Arcilla arenosa. Capa de arcilla de consistencia blanda a firme. En la prueba

de SPT se obtuvo una resistencia entre 2 y 24 golpes. El contenido de agua es del orden del 80% y el contenido de finos oscila entre 70% y 90%.

#### Serie arcillosa inferior

De 34.3 a 38.5 m Arcilla limosa. Capa de arcilla limosa de consistencia muy blanda a

media. Presenta un contenido de agua entre 100 y 200%. En la prueba SPT se registraron entre 1 y 10 golpes. Se destaca que a una profundidad de 35.5 m se tiene una capa resistente, lo que requirió el avance con broca tricónica. Se trata de una capa de 1.0 m de espesor, compuesta por limo

de consistencia dura con algunos lentes de ceniza volcánica.

#### Depósitos profundos

De 38.5 a 40.0 m Arena limosa con gravilla. Estrato constituido por arena limosa en estado

muy compacto. En la prueba de SPT se obtuvo una resistencia de más de 50 golpes requiriendo el uso de broca tricónica para el avance. El contenido de agua disminuye hasta el 20%. El contenido de finos se encuentra entre 20 y

40%. Esta capa presenta un contenido de gravilla del orden del 20%.

De 40.0 a 41.5 m Limo con arena. Capa de limo con arena de color gris y de consistencia

dura. En la prueba de SPT se obtuvo una resistencia de 50 golpes. El contenido de humedad es de 40%.

De 41.5 a 44.5 m Arena limosa. Esta unidad se conforma por una arena fina a media de color

gris con limo de compacidad media a densa. El contenido de finos del 20%, mientras que el contenido de agua en esta unidad es del orden del 15%

De 44.5 a 50.0 m Arena limosa. Capa de arena limosa color gris en estado muy compacto

 $(N_{spt} > 50 \text{ golpes})$ . El contenido de agua es inferior al 20%, mientras que el contenido de finos varía entre 20 y 40%.

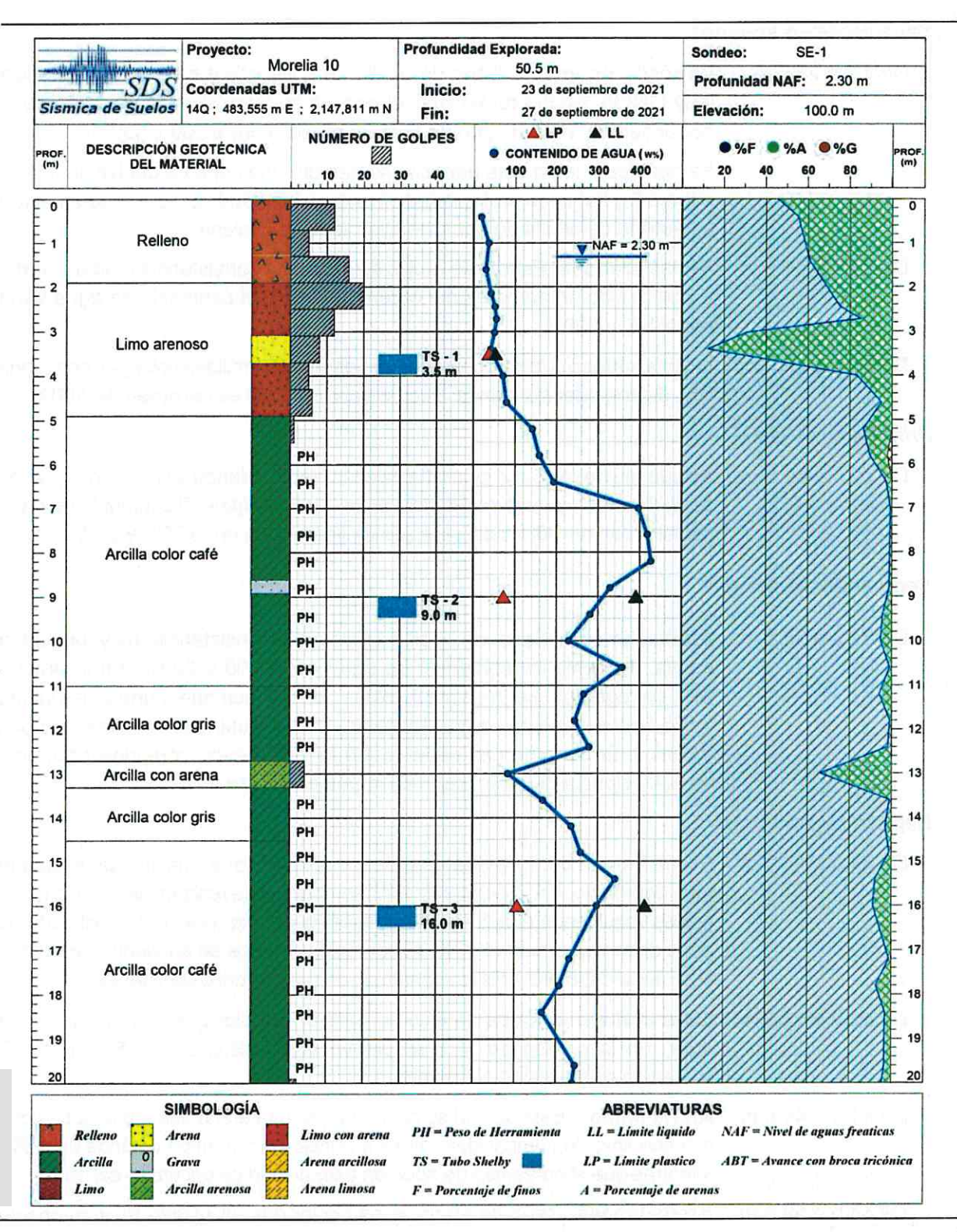


Figura 25a. Perfil estratigráfico obtenido del Sondeo Exploratorio SE-1

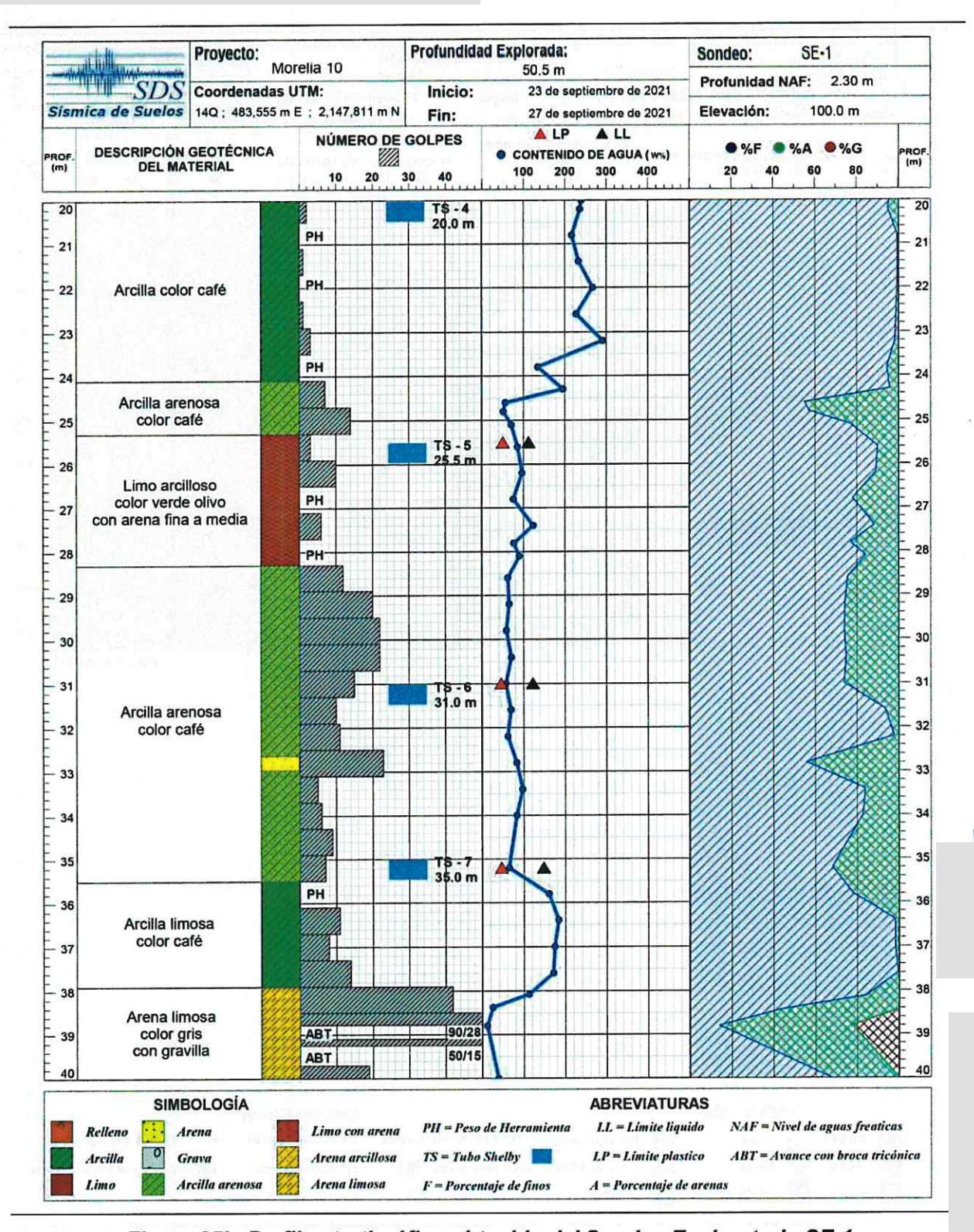


Figura 25b. Perfil estratigráfico obtenido del Sondeo Exploratorio SE-1

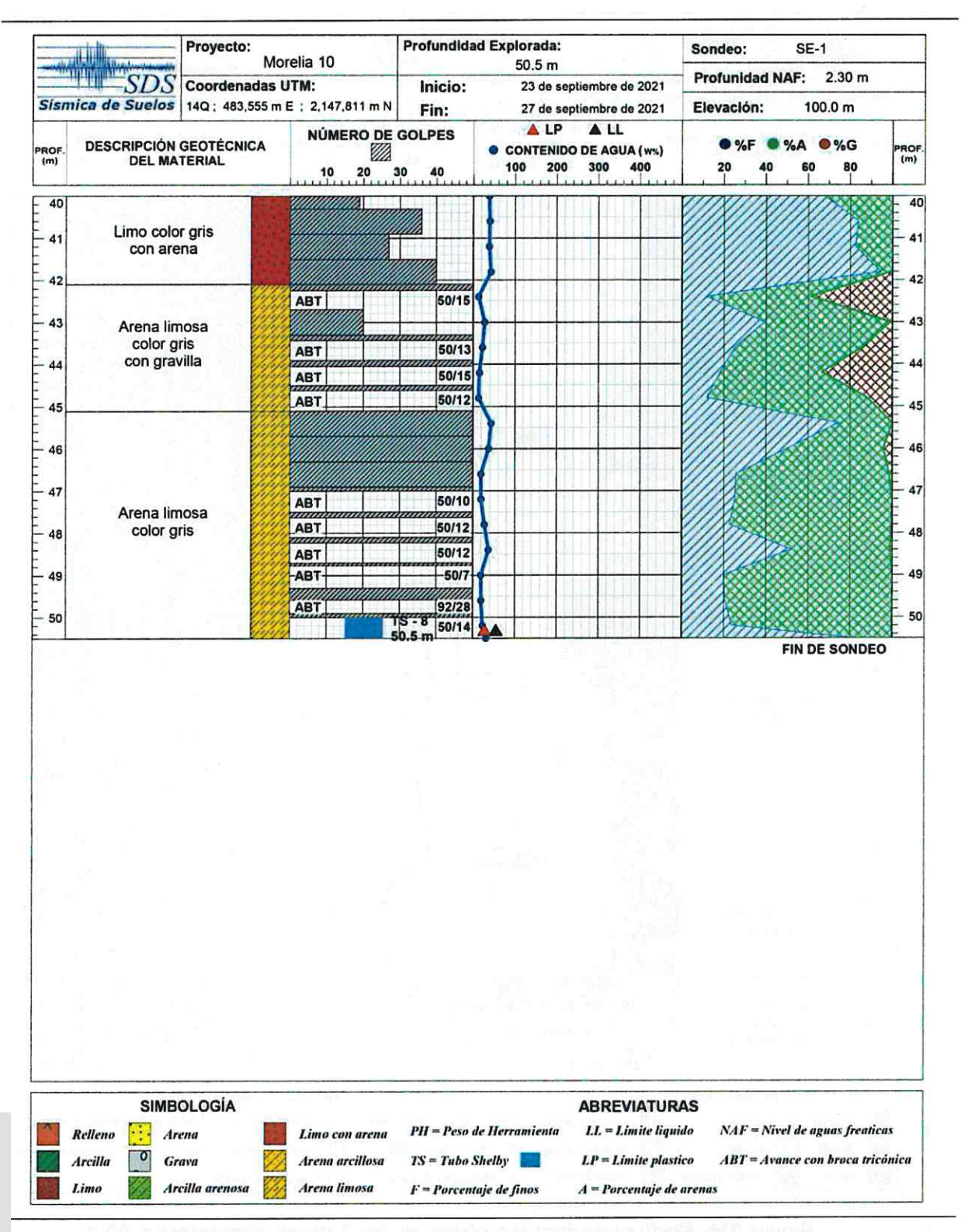


Figura 25c. Perfil estratigráfico obtenido del Sondeo Exploratorio SE-1

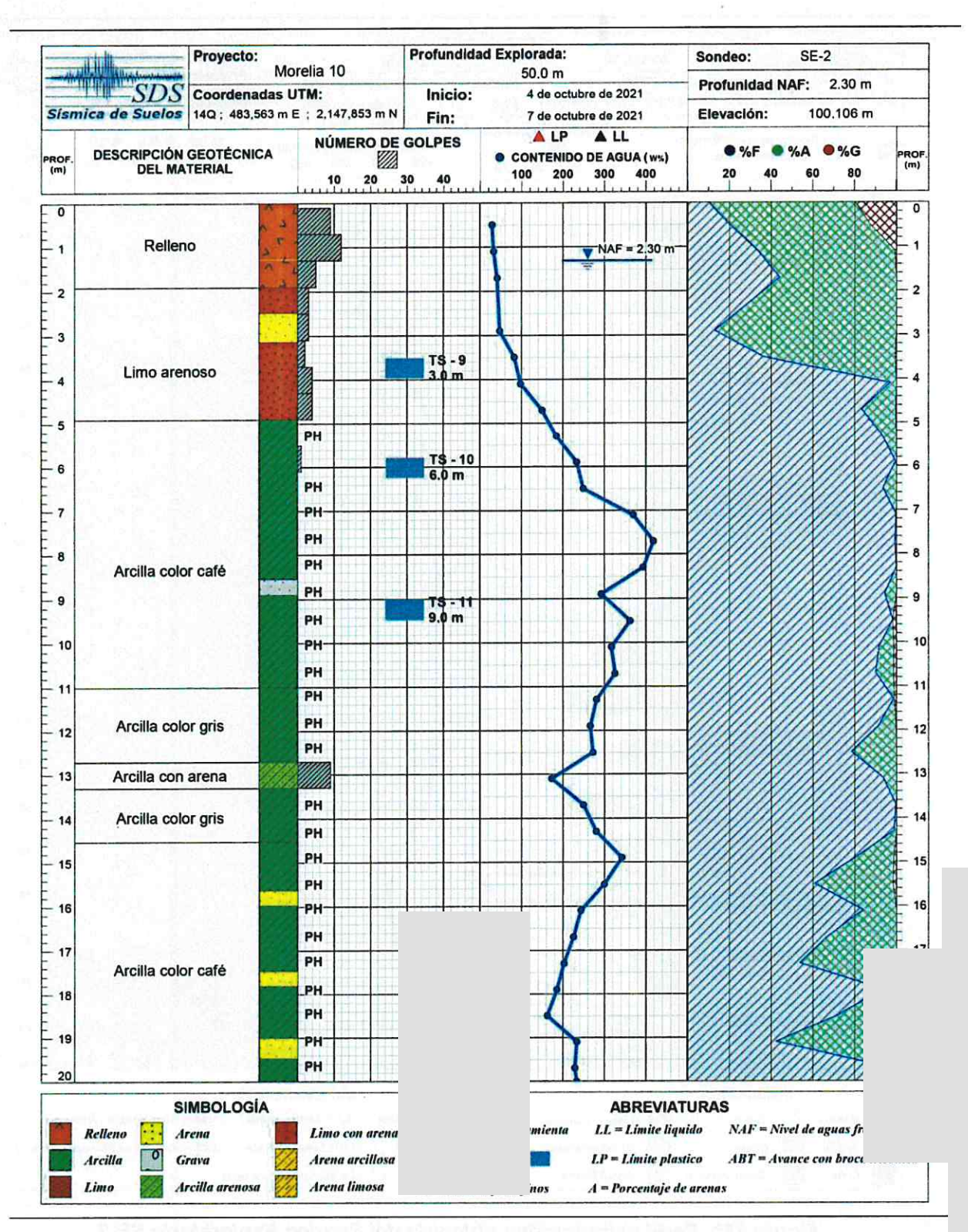


Figura 26a. Perfil estratigráfico obtenido del Sondeo Exploratorio SE-2

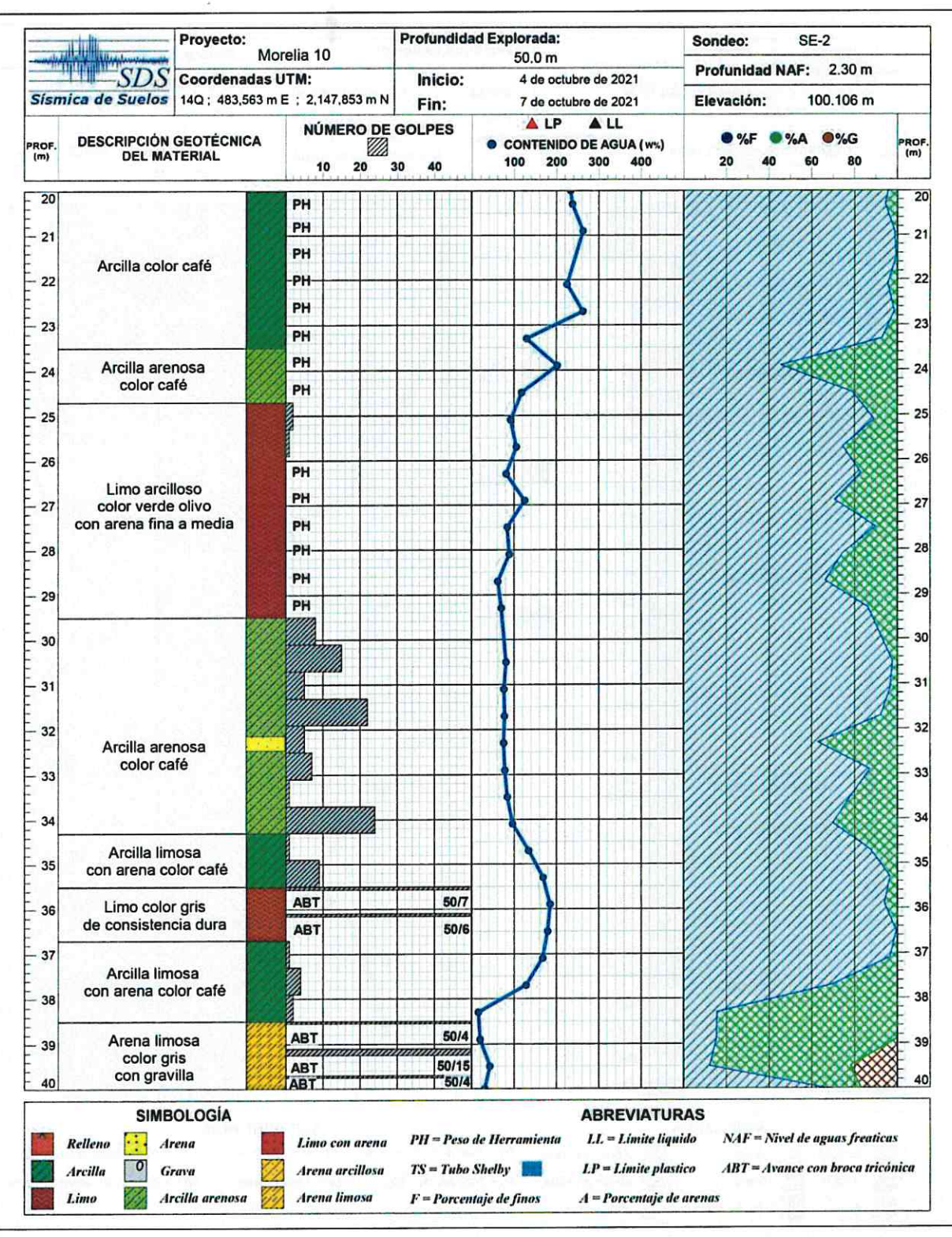


Figura 26b. Perfil estratigráfico obtenido del Sondeo Exploratorio SE-2

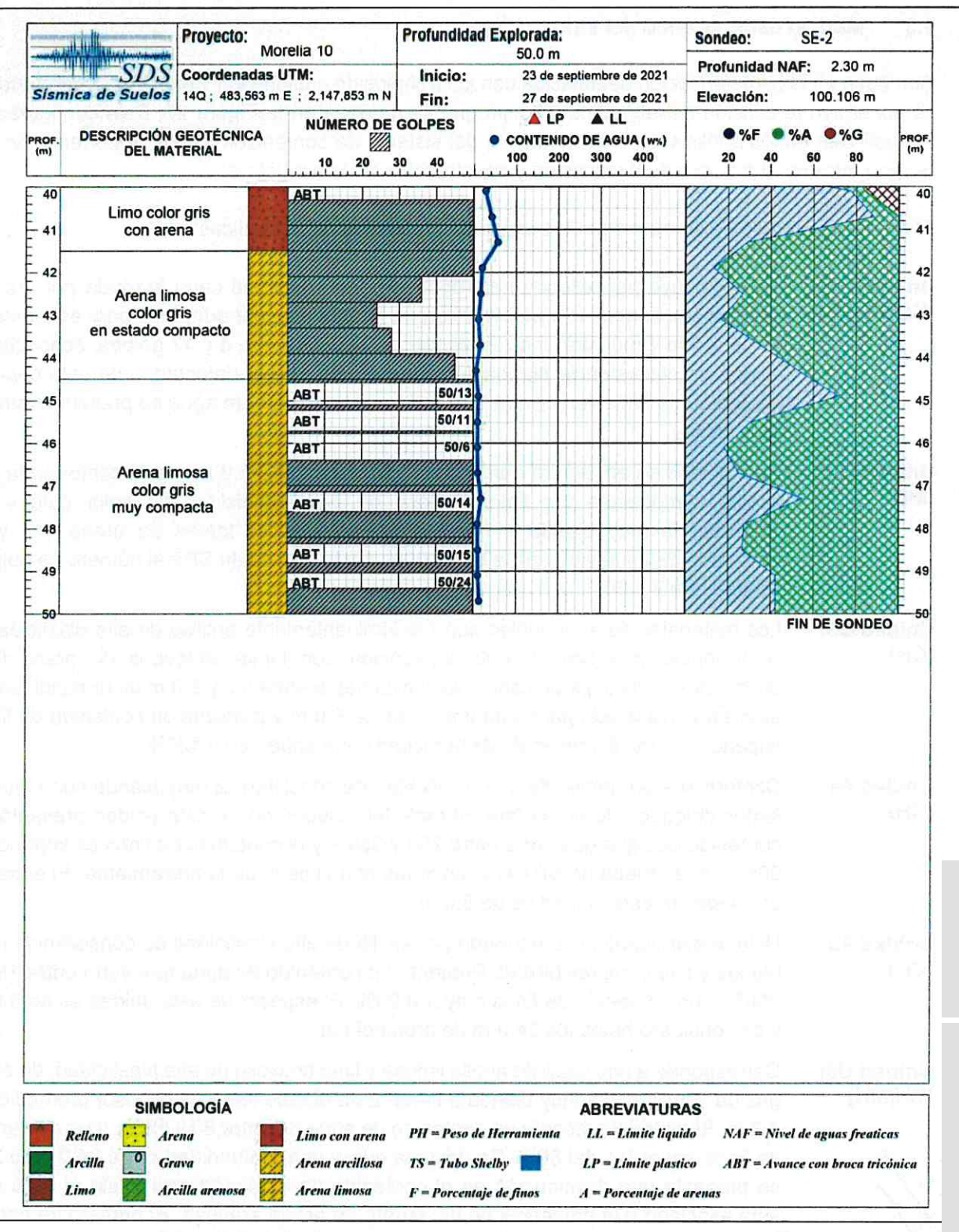


Figura 26c. Perfil estratigráfico obtenido del Sondeo Exploratorio SE-2

# 4.3 Modelo estratigráfico del sitio

Con base en la caracterización establecida con los trabajos de exploración y ensayes de laboratorio, se construyó la sección estratigráfica del sitio que se muestra en la Figura 27. Esta configuración fue aplicada en los análisis de la cimentación, del sistema de contención y del comportamiento del terreno durante el proceso de excavación y construcción de la estructura.

El modelo adoptado se compone por las siguientes unidades estratigráficas:

Unidad U1: (CL/SP-SC) Se constituye por rellenos heterogéneos dentro de una capa formada por arcillas limosas con contenido variable de arena fina. El espesor adoptado para esta unidad es de 2.0 m y muestra una resistencia en SPT de entre 5 y 12 golpes, asociadas a suelos de consistencia blanda a media. En los suelos detectados de esta capa el contenido de finos varía entre 20 y 60% y el contenido de agua se presenta entre el 20 y 50%.

Unidad U2: (MH) Esta unidad se encuentra a una profundidad de 2.0 a 5.0 m y está conformada por suelos compuestos por limo arcilloso de baja plasticidad de color café y de consistencia muy blanda a firme. Presenta algunos lentes de arena fina y el contenido de agua varía entre 80 y 100%. En la prueba de SPT el número de golpes oscila entre 2 y 20.

Unidad U3: (CH) Los materiales de esta unidad son predominantemente arcillas de alta plasticidad y consistencia muy blanda. Esta intercalada con lentes delgados de arena fina, encontrando una capa de ceniza volcánica negra entre 8.6 y 9.0 m de profundidad. El espesor considerado para esta unidad es de 8.0 m y presenta un contenido de finos superior al 90%. El contenido de humedad varía entre 180 y 420%.

Unidad 4a: (CH) Conformada por arcilla de alta plasticidad de consistencia muy blanda con algunos lentes delgados de arena fina. El material recuperado de esta unidad presentó un contenido de agua que varía entre 200 y 350% y el contenido de finos es superior al 90%. En la prueba de SPT el avance fue con el peso de la herramienta. El espesor promedio de esta unidad es de 5.0 m.

Unidad 4b: (CH)

Unidad estratigráfica conformada por arcilla de alta plasticidad de consistencia muy blanda y alta compresibilidad. Presentó un contenido de agua que varía entre 180 y 350% y un contenido de finos mayor a 90%. El espesor de esta unidad es de 6.0 m y se consideró hasta los 24.0 m de profundidad.

Unidad U5: (CH/MH) Corresponde a una capa de arcilla limosa y limo arcilloso de alta plasticidad, de color gris de consistencia muy blanda a firme. Esta unidad tiene un espesor promedio de 4.2 m. El material presenta un contenido de agua de entre 80 y 120% y un contenido de finos del orden del 80%. Se destaca que a una profundidad entre 24.0 y 25.2 m se presenta una disminución en el contenido de humedad casi hasta el 50% que está asociado a la presencia de un estrato de arcilla arenosa. El número de golpes en la prueba SPT oscila entre 0 (peso de herramienta, PH) y 14 golpes.

Unidad U6: (CH) Esta unidad está conformada por arcilla con arena de consistencia media a firme, que muestra una resistencia en SPT de entre 5 y 25 golpes. Se encuentra a una profundidad entre 28.2 y 33.0 m. El material recuperado de esta unidad presentó un contenido de agua entre 60 y 100%. Muestra algunas capas de arena fina y el contenido de finos varía entre 70 y 80%.

Unidad U7: (CH) Unidad ubicada a una profundidad de entre 33.0 y 38.0 m. Corresponde a una arcilla limosa con arena de consistencia dura que aumenta con la profundidad, con 0 a 10 golpes en la prueba SPT. El contenido de agua de esta unidad oscila entre 100 y 180%, mientras que el contenido de finos es mayor al 85%.

Unidad U8: (ML/SM) A partir de los 38.0 m se detectaron los depósitos profundos. En el tramo comprendido entre 38.0 y 44.0 m, los materiales de esta unidad ofrecieron una resistencia variable en SPT de entre 20 y 50 golpes. El contenido de agua oscila entre 20 y 40% y el contenido de arena varía entre 20 y 80%.

Unidad U9: (SM/SP-SM)

Esta unidad se define a partir de los 44.0 m y se compone de arena limosa color gris en estado muy compacto (N<sub>spt</sub> > 50 golpes). El contenido de agua es inferior al 20%, mientras que el contenido de finos varía entre 20 y 40%.

#### 4.4 Propiedades mecánicas

El muestreo inalterado permitió recuperar probetas del subsuelo que se ensayaron en laboratorio y con los resultados obtenidos se definieron las principales propiedades mecánicas asignadas a los materiales de cada unidad. Estas propiedades se reportan en la Tabla 5 y fueron las adoptadas en el modelo estratigráfico del sitio.

#### 4.5 Condiciones hidrodinámicas

Con base en la inspección de los barrenos realizados en los sondeos exploratorios ejecutados, en el tubo de observación y en los piezómetros, se estableció la profundidad a la que se encuentra el nivel de aguas superficiales (NAS o NAF).

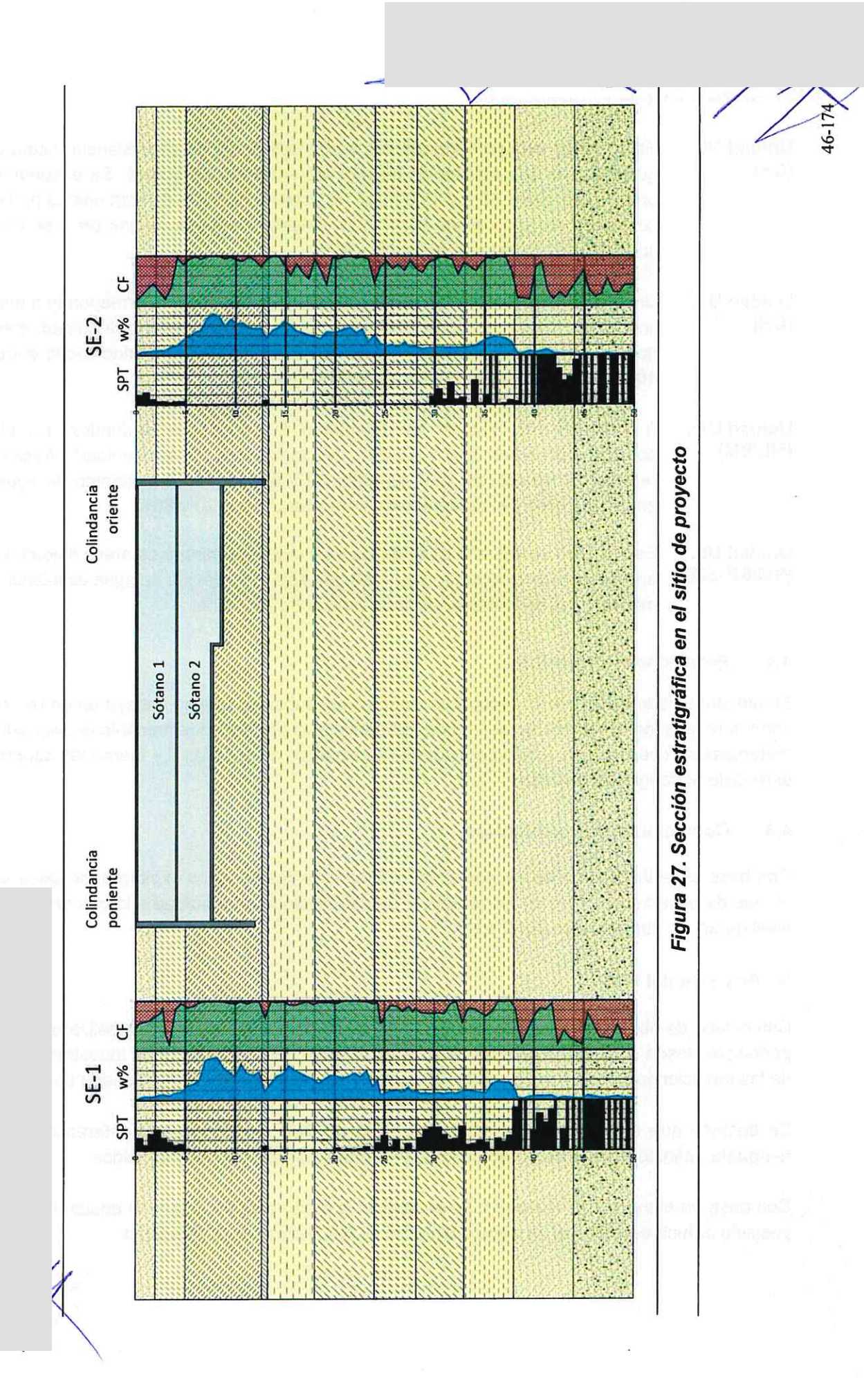
#### > Posición del NAF

Con el tubo de observación instalado a 6.0 m de profundidad (estación 1), se realizaron mediciones periódicas desde el momento que concluyó la exploración. En la Figura 28 se muestran los registros de las mediciones del NAF en los sitios indicados y su variación durante el periodo de monitoreo.

Se destaca que en el monitoreo de la elevación del NAF se tomó como referencia el nivel de banqueta definido a partir del levantamiento topográfico de los puntos explorados.

Con base en el monitoreo realizado, se estableció la profundidad a la que se encuentra el NAF. La posición detectada del nivel de agua superficial se fijó a 2.5 m de profundidad.

VV/V



	Tabl	a	5. Propiedades mecánicas establecidas para el modelo geotécnico	nicas estab	lecidas pa	ıra el mode	elo geotécr	ojico	
Unidad	Profundidad [m]	sncs	Peso volumétrico [t/m³]	Cohesión [t/m²]	Angulo fricción [*]	Módulo elástico [cm²/kg]	Eur [kg/cm²]	o)	Esfuerzo precons. [kg/cm²]
11	0a2.0	7	1.40	2.0	0	0.0175		1.80	,
U2	2.0 a 5.0	MH	1.50	2.5	0	0.0118		1.86	<u>t</u>
U3	5.0 a 13.0	В	1.18	2.7	0	0.0350	28.58	5.84	0.85
U4a	13.0 a 18.0	끙	1.14	3.8	0	0.0279	69.12	8.67	1.25
U4b	18.0 a 24.0	끙	1.16	6.0	0	0.0193	89.67	3.08	1.45
US	24.0 a 28.2	СН/МН	1.20	8.5	0	0.0185	163.02	2.08	2.00
90	28.2 a 33.0	H)	1.35	9.7	12	0.0056	388.38	2.30	2.40
U7	33.0 a 38.0	СН	1.43	9.2	8	0.0086	386.92	1.97	2.20
N8	38.0 a 44.0	ML/SM	1.70	15.0	35	0.0025	10	0.80	
60	44.0 a 50.0	SM	1.80	5.0	35	0.0020			Ĭ

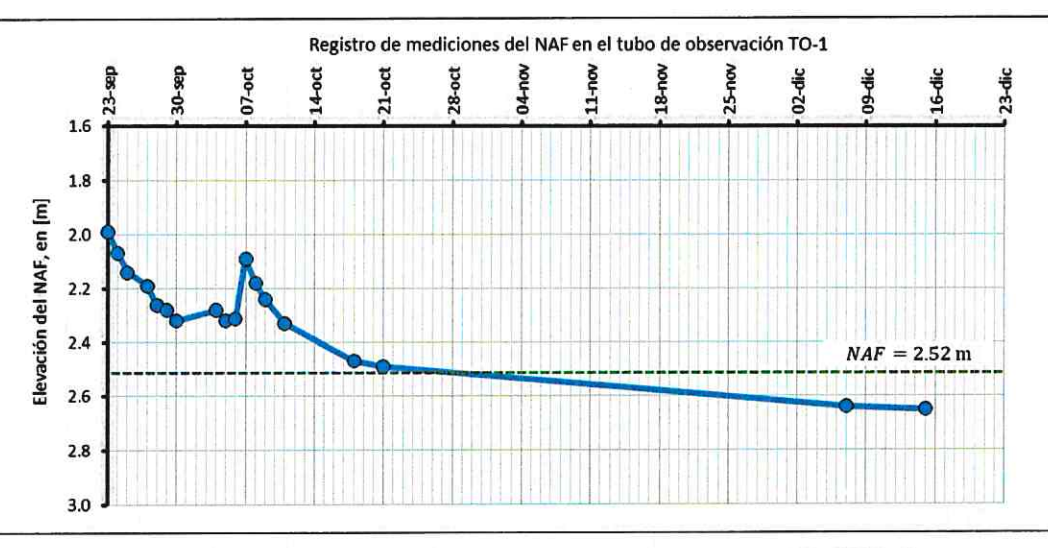


Figura 28. Registros de mediciones del NAF en el sitio (TO-1)

### > Monitoreo piezométrico

En la estación de monitoreo 2 se instalaron tres piezómetros con bulbos permeables ubicados a las profundidades que se indican en la Tabla 4. A las profundidades de instalación de estos instrumentos con respecto a la profundidad del terreno, es necesario adicionar el desnivel existente con respecto al nivel de referencia de la cota N+100.0 m.

En la Tabla 6 se muestran las lecturas registradas en los piezómetros instalados en la Estación de Monitoreo 2 entre los meses de octubre y diciembre.

	Tabla 6. Estació Profundi	dad al espejo de	
Fecha de lectura	PZ-1 (N = -13.0 m)	PZ-2 $(N = -25.0 m)$	PZ-3 $(N = -39.0  m)$
04/oct/21	5.31	3.46	19.03
05/oct/21	3.24	3.04	20.40
06/oct/21	2.74	2.93	19.71
07/oct/21	3.49	2.89	19.68
08/oct/21	2.42	2.84	19.78
09/oct/21	2.50	2.90	19.82
11/oct/21	2.59	2.62	19.88
18/oct/21	2.86	2.17	20.06
21/oct/21	2.83	2.45	19.85
07/dic/21	2.95	3.30	20.22
15/dic/21	2.98	3.39	20.24

El piezómetro PZ-1 instalado a -13.0 m reportó lecturas del espejo de agua variables entre 2.42 y 3.49 m, observándose una aparente tendencia en las últimas lecturas, posterior al 18 de octubre. A partir de esa fecha se tiene una elevación promedio de 2.85 m lo que se asocia con una presión de agua del orden de U = 10.14 t/m².

El piezómetro PZ-2 (N = -25.0 m) reportó lecturas de niveles de agua que varían entre 2.20 y 3.50 m. Con las últimas lecturas registradas se observa una tendencia en el nivel de agua. Para este instrumento se adoptó un valor de presión de poro  $U = 22.10 \text{ t/m}^2$ .

El piezómetro PZ-3 ubicado a una profundidad de 39.0 m, reportó lecturas del espejo de agua a profundidades variables entre 18.6 y 20.4 m. Con ello, se asignó una presión del orden de 19.12 t/m².

En las Figuras 29 y 30 se muestra la variación de las alturas piezométricas registradas durante el periodo de monitoreo en los piezómetros PZ-1, PZ-2 y PZ-3, así como las presiones U consideradas.

Pizómetro PZ-1

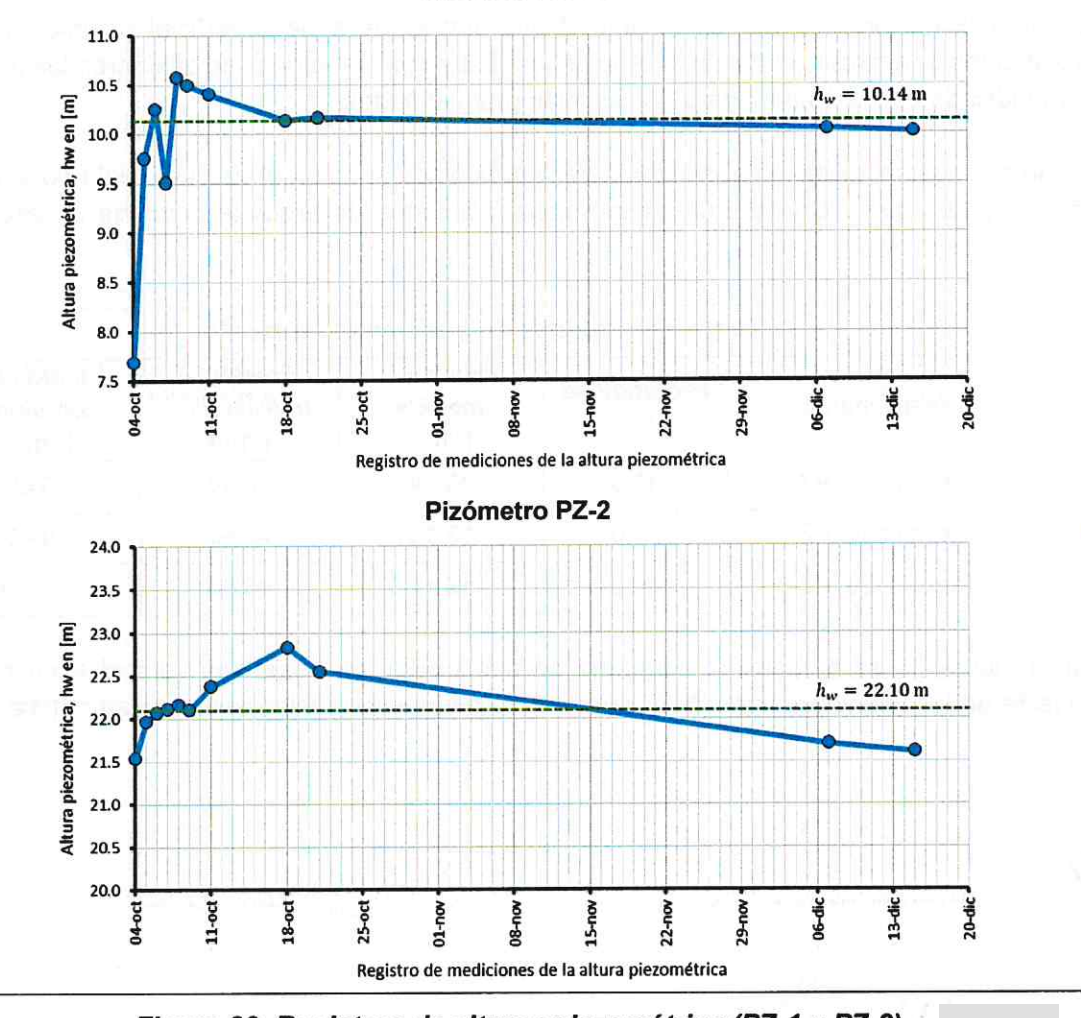


Figura 29. Registros de alturas piezométrica (PZ-1 y PZ-2)

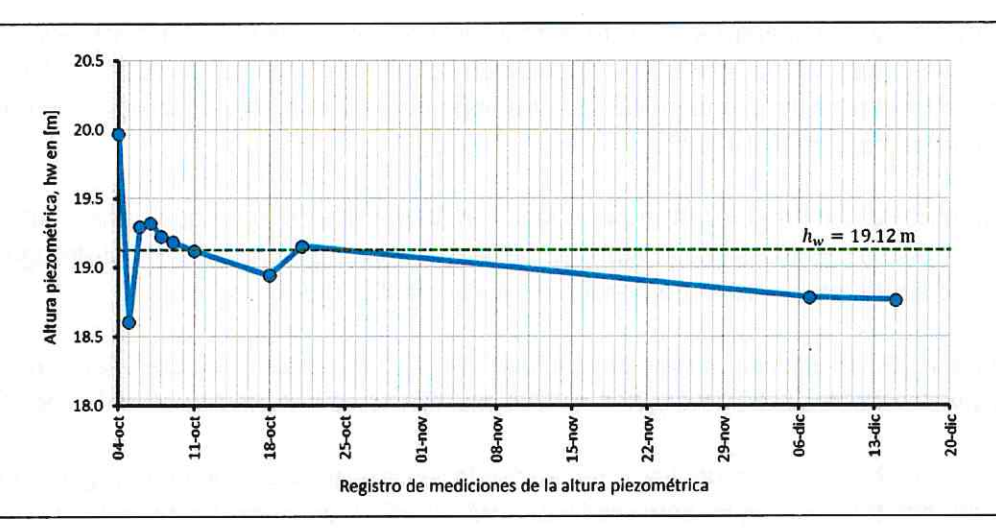


Figura 30. Registros de alturas piezométrica (PZ-3)

Con la información recabada se estableció que el nivel de agua superficial se ubica a 2.50 m de profundidad, mientras que del monitoreo de los niveles piezométricos se asignaron las presiones de poro indicadas en la Tabla 7 para las distintas profundidades.

Como se observa, existe un abatimiento de la presión de agua en el subsuelo del sitio a partir de los 25.0 m y disminuye con la profundidad hacia los depósitos profundos, donde se asume que el abatimiento es total.

т	abla 7. Presione	s de agua en e	el subsuelo	
Instrumento	Profundidad [m]	Presión U medida [t/m²]	Presión U hidrostática [t/m²]	Pérdida de presión [t/m²]
Piezómetro, PZ-1	13.0	10.14	10.50	- 0.36
Piezómetro, PZ-2	24.0	22.10	22.50	- 0.40
Piezómetro, PZ-3	40.0	19.12	36.50	- 17.38

En la Figura 31 se muestra el diagrama de distribución de esfuerzos verticales en el subsuelo considerando la condición hidrodinámica definida a partir de la información piezométrica.

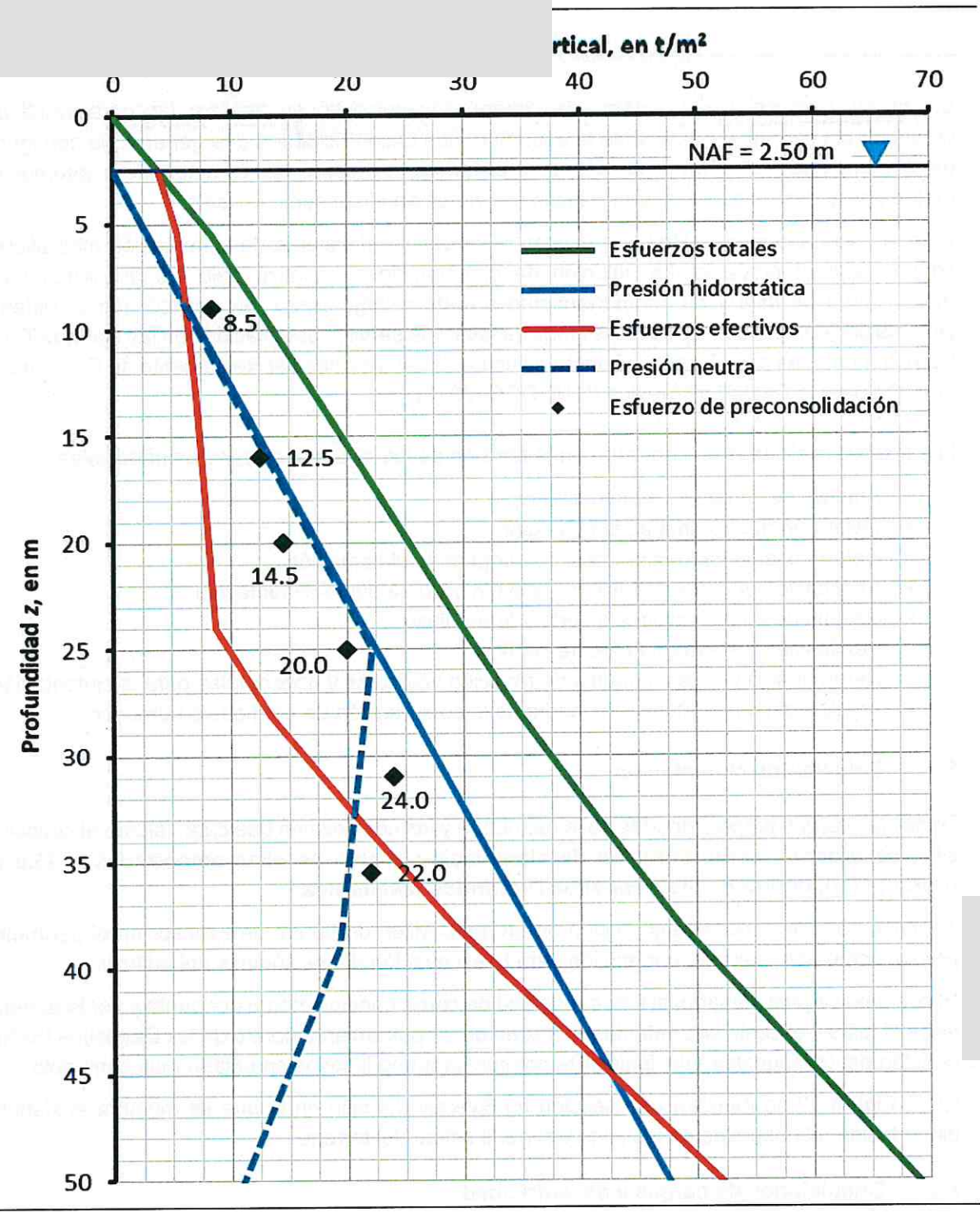


Figura 31. Diagramas de distribución de esfuerzos verticales

# 5 SISTEMA DE CIMENTACIÓN

El análisis geotécnico del sistema de cimentación consistió en analizar las características del proyecto, las cargas que transmite la estructura, las excentricidades que generan, la configuración de la estructura subterránea de sótano y cisternas, así como las características geométricas y materiales de las unidades estratigráficas presentes en el subsuelo del sitio.

Ante el escenario suelo-estructura existente, se definió el sistema de cimentación más eficiente y seguro para el proyecto. La solución de cimentación se analizó bajo los diferentes posibles mecanismos de falla y su comportamiento a corto y largo plazo. Se verificó que el sistema de cimentación cumpla con los estados límite de falla y de servicio establecidos en las Normas Técnicas Complementarias para Diseño y Construcción de Cimentaciones del Reglamento de Construcciones que rige para la Ciudad de México (NTC-DCC, 2017).

Los análisis realizados se centraron en la revisión de los siguientes aspectos principales:

- Análisis de cargas y excentricidades
- > Definición del sistema de cimentación
- Determinación de la capacidad de carga de la cimentación
- > Verificación del estado límite de falla del sistema suelo-cimentación
- > Cálculo de deformaciones a corto y largo plazo
- Verificación del estado límite de servicio
- > Determinación de los módulos de reacción verticales y horizontales para la cimentación
- > Análisis del comportamiento mediante la construcción de un modelo numérico

#### 5.1 Solución de cimentación

Dadas las cargas proporcionadas de la estructura y las condiciones que caracterizan al subsuelo del sitio, se propone como solución de cimentación el uso de pilas empotradas a 45.0 m de profundidad, dentro de los Depósitos Profundos resistentes.

También se considera la construcción de un muro Milán de 60 cm de espesor en el perímetro del predio, como estructura de contención para la excavación de los sótanos del edificio.

El conjunto de pilas desarrollará su capacidad de carga principalmente por punta y por la adherencia entre el fuste y el suelo circundante en la zona de empotramiento dentro de los Depósitos Profundos resistentes, compuestos principalmente por suelos areno limosos en estado muy compacto.

En la Figura 32 se muestra una sección transversal del sitio en la que se muestra el sistema de cimentación, el desplante de las pilas y el perfil actual del terreno.

#### 5.2 Condiciones de cargas y excentricidad

11

El despacho de ingeniería **ALBA**, encargado del proyecto estructural, determinó las cargas transmitidas a la cimentación bajo condiciones estáticas y accidentales por sismo (Anexo 2). En el análisis dinámico de la estructura se consideraron los resultados obtenidos del Estudio del Espectro de Diseño Sísmico de Sitio con efectos de Interacción Dinámica (SDS, 2022).

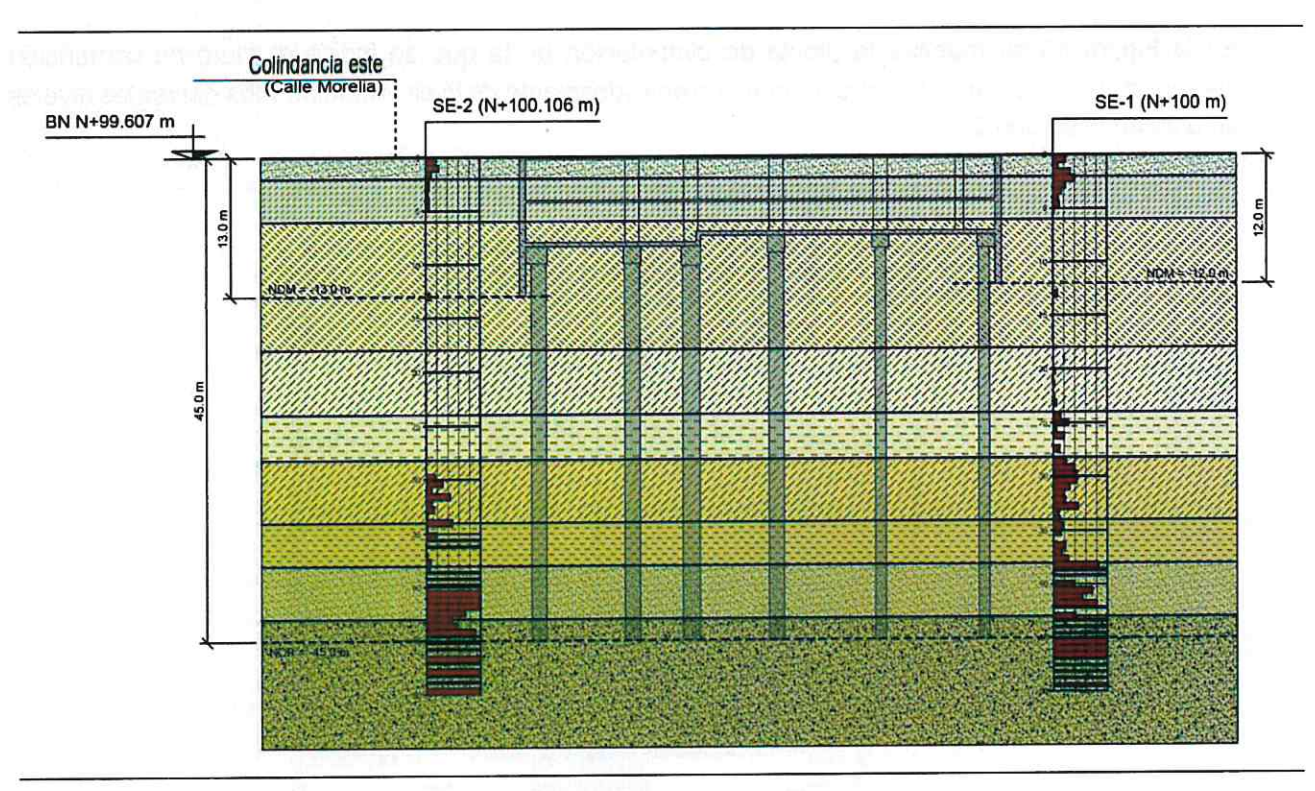


Figura 32. Solución de cimentación y sistema de contención

Las cargas que produce la estructura proyectada se resumen en la Tabla 8, en la que se presentan las acciones verticales totales generadas hasta el desplante de la cimentación y se indican los esfuerzos verticales medios transmitidos al nivel de desplante de la estructura de sótanos.

Tabla 8. Acciones inducidas p	or la	estructura a	nivel	de desplante
-------------------------------	-------	--------------	-------	--------------

	Carga	Momento	de volteo	Excent	tricidad	Esfuerzo medio
Condición	vertical [t]	<i>Mx</i> [t-m]	My [t-m]	ex [m]	ey [m]	[t/m²]
Carga muerta	58,987.74	- 8		2.32	4.83	23.71
Carga viva máxima	7,964.62	AM. IF ON I BI		2.20	5.06	3.20
Carga viva instantánea	4,148.24	gies Sign	leskin <del>ë</del> s w r	2.33	4.95	1.67
Carga viva media	2,422.73	DEN I _IIIrster	nh.m <u>b</u> mma	2.08	5.50	0.97
Carga Estática máxima	66,952.36	physical control	e de <del>la</del> trica	2.31	4.86	26.91
Carga Estática de servicio	61,410.47	-	_	2.20	4.90	24.68
Accidental por sismo (dirección x)	62 425 09	-	152,793.90	2.42	Lings Aprol	25.37
Accidental por sismo (dirección y)	63,135.98	151,418.28		and <u>a</u> ffe	2.39	25.57

En la Figura 33 se muestra la planta de cimentación en la que se indica el muro de contención perimetral, la ubicación del centro geométrico en el desplante de la cimentación y los diferentes niveles de piso en el sótano 2.



Figura 33. Planta de cimentación

Para la condición de servicio, en la combinación de cargas muerta y viva media, se producen excentricidades en el sistema de cimentación debido a que el centro de cargas no coincide con el centro geométrico de la superficie de desplante (Figura 33). Sin embargo, los niveles de deformación esperados en los Depósitos Profundos resistentes donde se desplantarán las pilas producirán asentamientos diferenciales mínimos.

#### 5.3 Capacidad de carga admisible en pilas

La capacidad de carga última en las pilas de cimentación se estableció al tomar en consideración la contribución de la capacidad de carga en la punta y en el fuste del elemento en la zona de empotramiento, mediante la expresión siguiente:

$$Q_u = Q_{pu} + Q_{fu}$$

donde:

 $Q_u$  capacidad de carga última, t

 $Q_{pu}$  capacidad de carga última por punta, t

 $Q_{fu}$  capacidad de carga última por fricción, t

La capacidad de carga admisible del sistema de cimentación se determinó al considerar un factor de seguridad FS=3, además de considerar la reducción al peso propio de las pilas y el efecto de la Fricción Negativa:

$$Q_a = \frac{Q_{pu} + Q_{fu}}{FS} - P_P - NF$$

donde:

P<sub>P</sub> Peso propio de la pila, t

FS Factor de seguridad

NF Fricción negativa, t

El cálculo de la capacidad de carga por punta y por fricción se estableció inicialmente a partir del criterio analítico de diseño propuesto por Zeevart (1983). Las expresiones para el cálculo de la capacidad de carga por punta y fricción son las siguientes:

$$Q_{pu} = 1.2 a_p (cN_c + \sigma_z N_q) D_r$$

$$Q_{fu} = \overline{a} \, \Delta \sigma$$

con:

$$\Delta \sigma = \frac{m}{1-m}(\sigma_{0i} + \sigma_{0d}) + \frac{n}{1-m}c$$

$$m = \frac{l}{2} \frac{\omega}{\bar{a}} k_{\phi} \qquad \qquad n = \frac{\omega}{\bar{a}} l$$

$$k_{\phi} = \left(\frac{1 - \sin^2 \phi}{1 + \sin^2 \phi}\right) \tan \phi$$

donde:

 $a_p$  área de la sección de apoyo de la pila,  $\mathrm{m}^2$ 

c cohesión aparente (t/m²)

 $\phi$  ángulo de fricción interna

 $N_q$ ,  $N_\gamma$  factores de capacidad de carga

 $\sigma_{\!\scriptscriptstyle Z}$  esfuerzo vertical efectivo en el suelo a nivel de desplante, t/m²

 $D_r$  compacidad relativa del material de soporte

ā área tributaria, m²

Δσ incremento de esfuerzo por fricción positiva en la zona de empotramiento, t/m²

 $\sigma_{0i}$  esfuerzo efectivo al inicio de la zona de empotramiento, (t/m²)

 $\sigma_{0id}$  esfuerzo efectivo a la profundidad de desplante, (t/m²)

 $\omega$  perímetro del elemento, m

longitud de empotramiento, m

 $k_{\phi}$  coeficiente adimensional que asocia esfuerzos verticales y horizontales

La evaluación de la fricción negativa se determinó también aplicando el criterio propuesto por Zeevaert mediante la expresión siguiente,

$$NF = \frac{\omega K_{\phi}}{1 + \frac{\omega K_{\phi}}{3} \frac{d}{\bar{a}}} \int_{0}^{d} \sigma_{z} dz$$

donde

 $\sigma_z$  esfuerzo vertical efectivo a la profundidad z,  $t/m^2$ 

d espesor de materiales que inducen la NF, m

 $k_{\phi}$  coeficiente que asocia esfuerzos verticales y horizontales

Al aplicar los criterios de diseño descritos se obtuvo la capacidad de carga admisible del sistema suelo-pila. En la Figura 34 se muestra la curva de capacidad de carga en función del diámetro de pilas entre 1.0 y 1.8 m, desplantadas a 45.0 m. En este análisis se ha considerado una profundidad de desplante equivalente de 7.5 m, a partir de los diferentes niveles establecidos para la estructura subterránea de sótanos (entre 6.20 y 8.75 m).

Se ha observado que las capacidades de carga admisibles para las pilas con las diferentes longitudes que demanda el proyecto son muy similares y quedan representadas por la curva de la Figura 34. Se atribuye a que el incremento en la capacidad de carga por punta se compensa con el incremento de la carga generada por la fricción negativa.

Con base en las capacidades de carga admisibles (Figura 34), se definieron cinco tipos de pilas capaces de soportar las mayores cargas impuestas por la estructura, bajo condiciones estáticas y accidentales por sismo. Los cinco tipos de pilas, en función de su diámetro se presentan en la Tabla 10.

# 5.4 Distribución y geometría de pilas

Para soportar las cargas totales impuestas por la estructura bajo condiciones estáticas y accidentales por sismo, se considera la construcción de 70 pilas de concreto de sección constante, desplantadas a 45.0 m de profundidad con respecto al nivel de banqueta, con diámetros de 1.0, 1.2, 1.4, 1.6 y 1.8 m.

La distribución y geometría de las pilas propuestas, en función de las cargas a que se ven sometidas, se muestra en la Tabla 9 y en la Figura 35. Los tipos de pilas indicados se asocian con su diámetro y longitud bajo los distintos niveles del sótano.

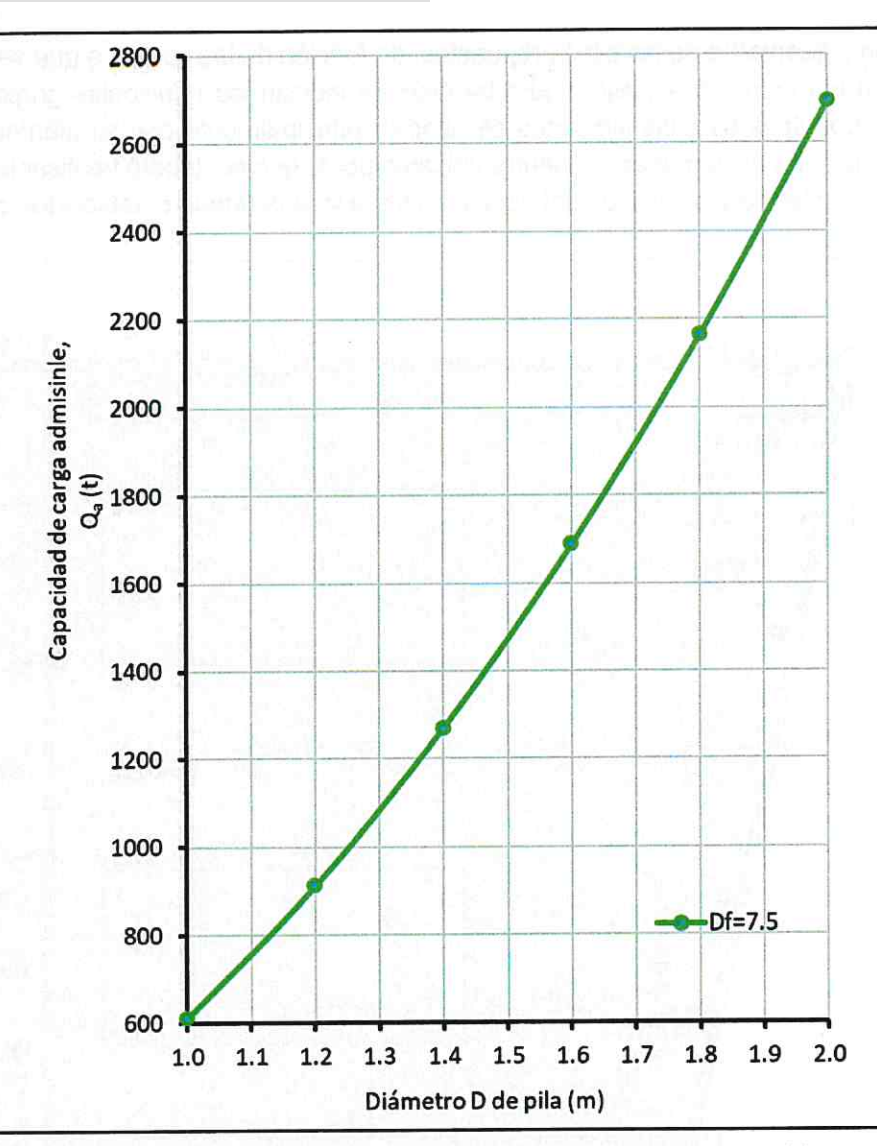


Figura 34. Capacidad de carga admisible a compresión

	Tabla 9. 7	Tipos de p	ilas y capa	acidades	de carga	
Tipo	Diámetro D [m]	Q <sub>pu</sub> [t]	Qfu [t]	NF [t]	<i>P<sub>p</sub></i> [t]	<i>Q</i> a [t]
P-1	1.0	2,271.7	338.3	188.9	69.7	611.4
P-2	1.2	3,271.3	415.2	216.8	100.4	911.6
P-3	1.4	4,452.6	495.7	242.3	136.7	1,270.4
P-4	1.6	5,815.7	1,953.4	265.9	178.5	1.687.5
P-5	1.8	7,360.5	2,450.3	287.5	226.0	2.162.8

La distribución y geometría de las pilas propuestas, en función de las cargas a que se ven sometidas, se muestra en la Figura 35, en esta figura también se indican los principales grupos de pilas para varios nodos. Los tipos de pilas indicados se asocian principalmente con su diámetro y su longitud dependerá de la zona en la que se encuentra ubicada, por lo que se deberá verificar la profundidad de la cabeza de las pilas con los niveles del desplante de la losa de fondo establecidos en el proyecto.

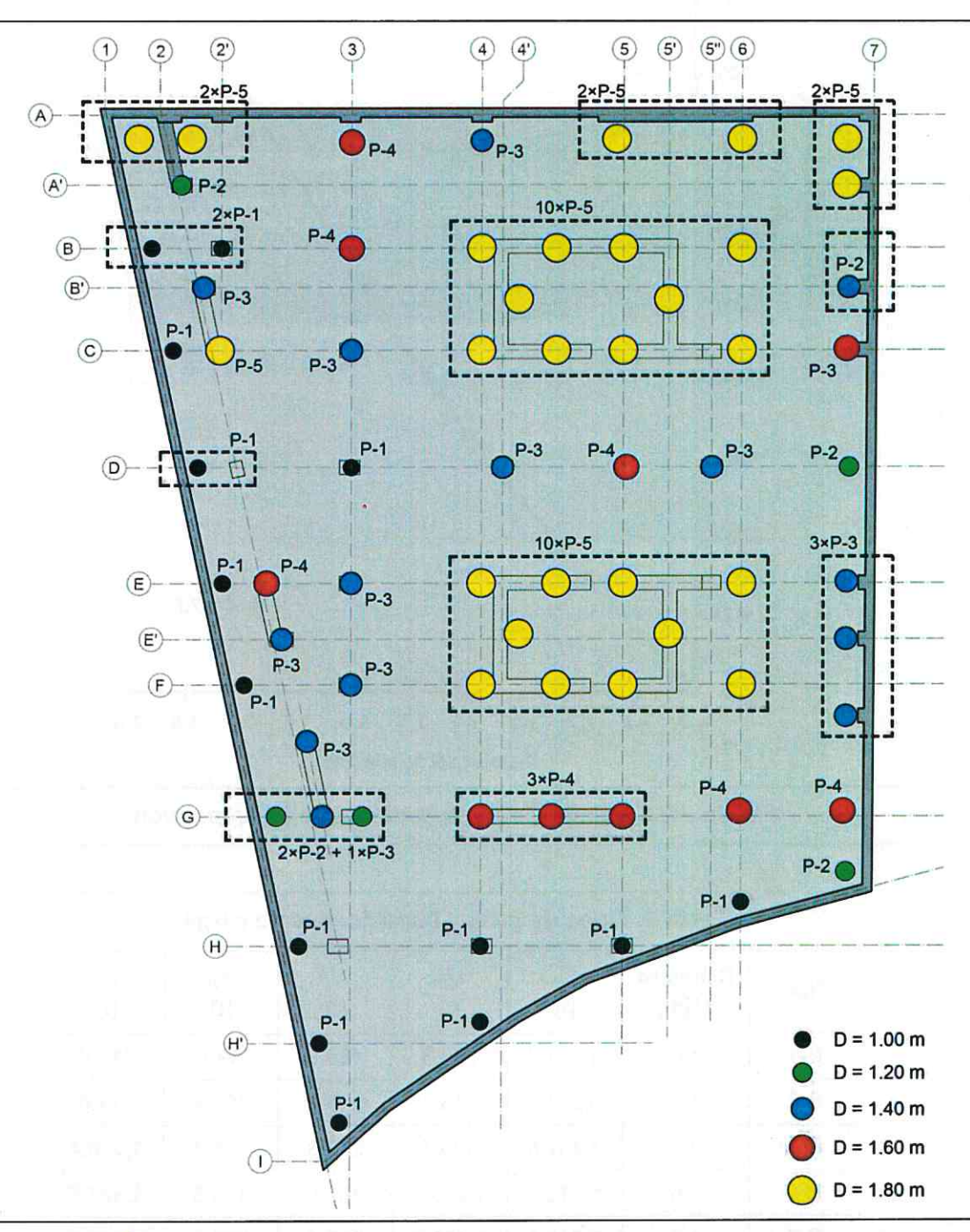


Figura 35. Distribución en planta y diámetros de pilas de cimentación

W

## 5.5 Capacidad de carga reducida en pilas

Cualquier sistema de cimentación propuesto para estructuras proyectadas en la Ciudad de México debe cumplir con el Estado Límite de Falla establecido en las Normas Técnicas Complementarias para Diseño y Construcción de Cimentaciones (NTC-DCC, 2017) del Reglamento de Construcciones.

En las NTC-DCC (2017) se establece que, para las cimentaciones de tipo profundo, es necesario verificar que las cargas transmitidas al terreno a través de las pilas y afectadas por su factor de carga, cumplan con:

$$\Sigma QF_c < R$$

donde:

ΣQ cargas transmitidas al suelo, incluyendo el peso de la cimentación, t

F<sub>c</sub> factor de carga

R Capacidad de carga reducida individual, por subgrupo o de conjunto, t

Analíticamente, la capacidad de carga reducida para un elemento de cimentación se establece al tomar en consideración la contribución de la capacidad de carga en el fuste y en la punta de la pila:

$$R = C_f + C_p$$

donde:

R capacidad de carga reducida de la pila, t

C<sub>f</sub> capacidad de carga reducida por fricción, t

C<sub>ρ</sub> capacidad de carga reducida por punta, t

La capacidad de carga reducida por fricción o adherencia lateral en las pilas se determina como:

$$C_f = Pp F_R \sum_{i=1}^m \bar{p}_{vi} \beta_i L_i$$

$$C_f = Pp F_R \sum_{i=1}^m \alpha_i c_{u_i} L_i$$

donde:

 $P_p$  Perímetro de la pila, m

F<sub>R</sub> Factor de reducción por resistencia, 0.65

m número de estratos a lo largo del fuste de la pila

 $\beta_i$  coeficiente de fricción lateral pila-suelo del estrato i, que se calcula como:

$$\beta_i = 1.5 - 0.24\sqrt{z}$$
 ;  $0.25 \le \beta_i \le 1.2$ 

z Profundidad media del estrato, m

 $\alpha_i$  coeficiente de adherencia lateral pila-suelo del estrato i, que se estima como:

$$\alpha_i = 0.5 \sqrt{\bar{p}_{vi}/c_{u_i}}$$
 ;  $0.3 \le \alpha_i \le 1.0$ 

 $ar{p}_{vi}$  presión vertical efectiva debida al peso del suelo a la profundidad media del estrato i

 $L_i$  longitud de la pila correspondiente al estrato i, m

Por otra parte, la Capacidad de Carga Reducida por Punta en los Depósitos Profundos donde se empotran las pilas se calcula con la siguiente expresión:

$$C_p = (\bar{p}_v N_q^* F_R + p_v) A_p$$

donde:

A<sub>p</sub> área transversal de la base de la pila, m²

F<sub>R</sub> Factor de reducción por resistencia, 0.35

 $p_{vi}$  presión vertical total del suelo en el nivel de desplante, t/m²

 $\bar{p}_v$  presión vertical efectiva del suelo en el nivel de desplante, t/m²

 $N_a^*$  coeficiente de capacidad de carga, definido por:

$$N_q^* = N_{min} + L_e \frac{N_{max} - N_{min}}{4Btan(45 + \phi/2)}$$
 cuando  $L_e/B \le 4tan(45 + \phi/2)$  
$$N_q^* = N_{max}$$
 cuando  $L_e/B > 4tan(45 + \phi/2)$ 

Le Longitud de la pila empotrada en el estrato friccionante, m

B Ancho o diámetro equivalente de la pila, m

 $\phi$  Ángulo de fricción interna, grados, que además define los valores de N

Al aplicar este criterio, la Capacidad de Carga Reducida a Compresión en las pilas individuales del proyecto es la que se presenta en la Tabla 10. En ella se ha descontado ya el peso propio del elemento.

Aun cuando es recomendable evitar que las pilas se vean sujetas a fuerzas de tensión, se ha estimado la capacidad de carga reducida a tensión en las pilas, considerando que:

$$T = C_f + P_p$$

donde:

T capacidad de carga reducida a tensión de la pila, t

Cf capacidad de carga reducida por fricción o adherencia, t

 $P_p$  peso propio de la pila, t

En caso de someter a tención a las pilas, se deberá cumplir con lo siguiente:

$$\Sigma QF_c < T$$

La Capacidad de Carga Reducida a Tensión calculada en las pilas se presenta en la Tabla 10.

Se destaca que las capacidades de carga reducidas a Compresión y Tensión que se indican en la Tabla 10, son las que rigen para el diseño geotécnico del proyecto ejecutivo.

Con base en las capacidades de carga reducidas a Compresión y Tensión, se han revisado los diámetros de las pilas propuestas en función de las cargas máximas factorizadas a que son sometidas bajo condiciones estáticas y accidentales por sismo. Esta revisión se presenta en la Tabla 11 y, como se observa, las cargas reducidas son superiores a las cargas factorizadas aplicadas. Con ello, se cumple con el estado límite de falla establecido por las NTC-DCC (2017). Se señala que también se cumple con el estado límite de falla al considerar el trabajo de grupo de las pilas.

### 5.6 Fricción negativa en pilas

De acuerdo con lo establecido en las NTC-DCC (2017), la fricción negativa que se desarrolla en el fuste de las pilas se debe considerar para la revisión estructural de estos elementos y para la estimación de los asentamientos.

Los valores de fricción negativa calculados con las ecuaciones para la determinación de la capacidad de carga por fricción y adherencia se presentan en la Tabla 10 para cada tipo de pila.

Tabla 10. Tipos de pilas, capacidades de carga	reducidas a compresión y tensión
------------------------------------------------	----------------------------------

Tipo	Diámetro D [m]	Número de elementos	R* [t]	T [t]	FN [t]
P-1	1.0	14	818.7	365.5	296.4
P-2	1.2	5	1,154.3	455.4	355.7
P-3	1.4	14	1,622.2	550.8	415.0
P-4	1.6	10	2,224.5	651.8	474.3
P-5	1.8	27	2,625.6	758.4	533.6

\* Nota: Al valor de la capacidad de carga reducida R se le ha descontado el peso propio de la pila

#### 5.7 Asentamientos

De acuerdo con las características y propiedades del suelo de apoyo, las deformaciones generadas debido a las cargas inducidas a través de las pilas de cimentación serán predominantemente de tipo elástico y ocurrirán durante la construcción de las estructuras. Estos asentamientos se incrementarán ligeramente por las cargas adicionales de largo plazo producidas por la fricción negativa.

Los asentamientos en las pilas de cimentación se estimaron aplicando la expresión siguiente, considerando una superficie circular rígida inmersa en un semiespacio:

$$\delta_e = \frac{\pi}{8} (1 - v^2) M_e D q_0$$

donde

$\delta_e$	asentamiento, cm
ν	relación de Poisson,
$M_e$	módulo de deformación elástica del material de apoyo, cm²/kg
D	diámetros de pilas, cm
$q_0$	esfuerzo aplicado, kg/cm²

Se señala que, en el cálculo de los esfuerzos aplicados se ha incluido la carga a largo plazo generada por la fricción negativa.

En la Tabla 11 se presentan los resultados de los asentamientos que se esperan en las pilas al estar sujetas a las cargas de servicio generadas por la estructura. En esta tabla se observa que las deformaciones verticales máximas calculadas en las pilas se ubican entre 4 y 11 cm.

En el cálculo del asentamiento producido en el suelo donde quedarán empotradas las pilas, se consideró también la deformación axial del propio elemento a través de la expresión:

$$\delta_p = \frac{Q_0 L_p}{A_p E_c}$$

donde

$\delta_p$	deformación axial de la pila, cm
$Q_o$	Carga de servicio, kg
$L_p$	longitud de pila, cm
$E_c$	Módulo de elasticidad del concreto, 1,4000 $\sqrt{f_c'}$ kg/cm²
$f_c'$	resistencia del concreto a la compresión, 350 kg/cm²

### 5.8 Módulo de reacción vertical en pilas

El módulo de reacción vertical del sistema suelo-cimentación aplicable a la modelación integral del edificio se define como:

$$k=\Sigma Q/\delta$$

donde

 $\Sigma Q$  es la sumatoria de cargas verticales de servicio k es el módulo de reacción vertical o coeficiente de rigidez, t/cm

Con ello se tiene que el módulo de reacción o coeficiente de rigidez para el modelado estructural del sistema suelo-pila de cada elemento es el que se indica en la Tabla 11.

En la Tabla 11, los renglones marcados con color indican los principales grupos de pilas para varios nodos. Estas pilas deberán estar ligadas por elementos estructurales en su cabeza que permitan desarrollar un trabajo de conjunto. Entre estos grupos destaca la zona de elevadores.

62-174

Servicio
2
316.11
920.50
874.83
1,118.37
1,067.17
512.42
607.21
582.11
1170.60
4.80
1,978.57
639.56
394.70
547.37
1,285.43
1158.85
8.79
23.38
5.18
2,077.84
736.91
302.47
455.44
1,683.49
1,205.43

3 260 28 82 264 164 181 23	2×P-5		Ξ	máxima	Servicio	Diámetro D [m]	Compresión P 141	%R	Tensión T 141	T%	Esfuerzo	Asentam.	L reform
	×P-5	Máxima	Minima	Ħ	3	Ē	Ξ		3	1	[] B		Y [ucili]
	×P-5	2,774.89	-412.95	1596.59	1142.18				758.4	0.16			
	P-2	1,331.42	357.32	924.33	663.03	2×1.80	2×2,625.6	98.0		-	624.7	8.6	205.1
	P-2	432.20	254.30	428.00	306.77								
		1101.18	321.12	961.11	690.34	1.20	1,154.3	0.95	1		9424.9	8.9	136.8
		478.00	-84.94	268.59	191.86				365.5	0.23			
The second secon	2×P-1	09.9	5.27	09'9	4.80	2×1.00	2×818.7	0.86			894.8	7.4	114.0
89		918.00	425.83	905.45	616.09					4			
37	P-4	1,912.86	1,017.87	1846.08	1208.79	1.60	2,224.5	98.0	1		837.1	10.4	182.3
267	P-3	1,579.02	385.53	1,346.53	69.096	1.40	1,622.2	0.97		1	893.7	6.6	159.5
163	P-1	180.17	99.17	180.05	127.25	1.00	818.7	0.58		1	539.4	4.5	114.0
177	P-5	2,394.48	-442.96	1,380.35	981.39	1.80	2,625.6	0.91	758.4	0.58	595.4	8.2	205.1
39	P-3	1,396.33	275.00	1,324.28	891.74	1.40	1,622.2	98.0		+	848.9	9.4	159.5
78	0 2	489.37	309.65	489.37	350.42	1 40	0 000 7	0.07		1	4 040 F		1 01
258	?	1,090.82	489.18	1,185.38	848.65	2	7.770,1	76.0	-		1,040.3	0.	109.0
92	P-4	2,016.17	104.02	1,479.71	1,052.37	1.60	2,224.5	0.91	1	8	759.3	9.4	182.3
162	7	187.36	106.55	188.41	132.77	7 00	0770	0 0		1	7047	0.0	
28	Ī	293.68	138.02	235.52	139.99	3	010./	60.0	-		1.421	0.0	114.0
59	P-1	319.51	150.33	319.91	186.10	1.00	818.7	0.39		1	614.3	5.1	114.0
41	P-3	1,339.15	539.81	1,338.72	99.668	1.40	1,622.2	0.83		i.	854.0	9.4	159.5
42	P-4	1,706.16	956.70	1,656.26	1,112.91	1.60	2,224.5	0.77	ŀ	ì	789.4	9.8	182.3
10	P-3	1,397.47	474.01	1,385.15	935.44	1.40	1,622.2	0.86		â	877.3	5.6	159.5
65	P-2	915.46	479.69	910.91	641.53	1.20	1,154.3	0.79		n	881.7	8.5	136.8
161	P-1	203.57	51.17	181.21	128.14	1.00	818.7	0.25	7	ı	540.5	4.5	114.0
178	P-4	2,093.24	-161.03	1,310.42	940.41	1.60	2,224.5	0.94	651.8	0.25	703.6	8.7	182.3
44	P-3	1,137.99	311.27	1,020.15	695.07	1.40	1,622.2	0.70		1	721.1	8.0	159.5
165	P-3	1,415.14	519.22	1,323.10	948.82	1.40	1,622.2	0.87			886.0	9.8	159.5

Módulo k [t/cm] 136.8 159.5 159.5 159.5 114.0 205.1 136.8 159.5 Asentam. δ [cm] 10.2 9.6 9.5 4.6 8.8 8.1 7.2 8.1 Esfuerzo ω [t/m²] 695.2 920.3 551.8 838.9 624.9 838.9 856.7 7.967 Tabla 11c. Cargas, capacidad de carga, asentamientos y módulo de reacción vertical en pilas 0.20 0.09 0.19 0.64 0.30 0.67 **1%** 0.01 Tensión T [t] 550.8 758.4 550.8 365.5 758.4 758.4 455.4 0.75 0.92 0.92 0.48 0.88 %R 0.91 Compresión 10×2,625.6 3×2,224.5 1,622.2 1,622.2 1,154.3 1,622.2 1,154.3 818.7 Diámetro 10×1.80 3×P-3 E O 1.40 1.40 1.00 1.20 1.40 1.20 2,095.14 1,001.69 Servicio 2,332.79 1,311.58 124.39 917.60 737.40 1,729.84 1,217.91 964.25 731.66 307.90 707.39 459.69 285.35 460.70 744.04 943.49 811.39 131.77 747.17 10.62 4.95 4.29 99.9 5.21 3,425.08 3,076.40 170.75 1,258.28 1,064.79 1,094.74 1,025.28 1,092.52 1,199.18 2,534.72 1,784.33 418.06 1,922.59 1,404.67 1,373.71 Estática máxima 1,358.22 988.88 183.73 675.64 430.24 15.85 672.71 10.62 7.30 7.81 6.71 Ξ -351.12 385.42 Carga envolvente -510.73 287.20 -152.39280.96 229.14 560.61 -110.75293.96 222.05 240.24 270.07 616.11 562.44 -88.42 Minima 375.07 261.69 -69.20 94.50 -3.88 4.76 5.59 5.53 5.55 9.36 Máxima 2,197.38 4,308.53 1,088.27 1,933.78 1,134.55 1,222.36 4,716.45 2,949.98 1,403.09 2,307.91 1,404.90 1,496.51 1,235.84 3,020.04 337.99 386.72 936.90 430.24 749.87 806.29 15.83 111.57 10.31 7.30 7.81 6.71 10×P-5 3×P-3 P-2 P-3 P-2 P-3 Pila P-1 Nodo 160 180 215 128 168 179 254 190 159 63 153 129 20 29 46 59 58 = 20 22 16 45 61 62 09 8

			I abla III. Cargas, cap	vaigas, cap	מכוחמת חב	diga, ascill	delicad de calga, ascritanticates y medato de reacción vertical en pinas		ממככוסוו	2000	cui dias		
Nodo	Pila	Carga en	Carga envolvente [t]	Estática máxima	Servicio	Diámetro	Compresión	%R	Tensión	T%	Esfuerzo	Asentam.	Módulo k férem?
12		Máxima	Mínima	E	3	Ē	Ξ		3		[		ווואס] ע ע
49	P-4	1,606.55	696.51	1,606.51	1,105.74	1.60	2,224.5	0.72	i		785.8	9.8	182.3
14	P-4	1,726.65	-148.35	1,099.66	789.44	1.60	2,224.5	0.78	651.8	0.23	628.5	7.8	182.3
47		1,753.80	-32.08	1,177.94	824.91				651.8	0.05			
6		779.66	435.02	747.64	524.16				-				
30	- Α×Σ	781.21	110.84	20.38	12.04	3×1.60	3×2,224.5	0.93			705.5	8.8	182.3
94		894.89	433.35	819.33	573.50					•			
48		2,009.58	-86.53	1,281.12	78.768				651.8	0.13			
167	ć	147.15	74.39	147.15	108.30	6	918	000	,	ı	9 003	0.7	777
8	Ī	102.13	20.97	102.14	60.74	00.	010./	00	•	•	0.260	ų.	2.
70	P-1	129.19	65.18	129.18	76.39	1.00	818.7	0.16	·	•	474.7	3.9	114.0
_		97.56	50.74	97.33	59.77		010 7	000	ř	1	9 373	0.7	0 777
171	Ŀ	132.10	67.70	132.15	95.93	00.1	0.010	0.20	10	1	0.070	ţ. Ö	) † -
172	P-1	214.56	86.48	209.99	150.06	1.00	818.7	0.26		ŀ	568.5	4.7	114.0
175	,	148.44	67.83	145.36	108.13	•	040 7	70.0	,		£72 &	1.7	77
72	Ē	76.57	37.58	76.56	45.95	8.	0.00	77.0	•	•	0.070	7	2 1
+	P-2	807.73	-217.56	403.76	294.00	1.20	1,154.3	0.70	455.4	0.48	574.5	5.5	136.8
170	P-1	204.90	122.57	204.99	145.92	1.20	1,154.3	0.18			563.2	4.7	114.0
169	7	171.46	8.55	122.65	90.20	00	010 7	2 2		ı	672.8	4.7	0 X F F
2	Ī	243.66	-117.04	85.98	64.10	3	0.0	5.0	365.5	0.32	0.0	ì	1

En este caso, la sumatoria de las capacidades de cargas individuales de las pilas rige sobre la capacidad de carga considerando los subgrupos o el grupo global de pilas. Excepto los casos indicados en la Tabla 11 en los que rige la capacidad del subgrupo.

### 5.9 Módulo de reacción horizontal en pilas y muro Milán

El cálculo de los Módulos de Reacción Horizontales para las pilas de cimentación y el muro Milán, se han evaluado aplicando los desarrollos simplificados de Terzaghi, mediante los siguientes dos criterios de análisis:

Las expresiones empleadas para el Criterio de análisis 1 fueron las adaptadas en la publicación de Rico y Del Castillo (1990) y corresponden a la siguiente expresión:

$$k_h = 0.0562 \frac{k_3}{B}$$
 Suelos cohesivos

$$k_h = 0.2768 z \frac{k_2}{B}$$
 Suelos friccionantes

donde:

$k_h$	módulo de reacción horizontal, t/(m²-cm)
$k_2$	coeficiente para suelos con comportamiento friccionante
$k_3$	coeficiente para suelos con comportamiento cohesivo
В	ancho o diámetro del elemento, m

Las expresiones aplicadas con el Criterio de análisis 2 fueron tomadas de la publicación original de Terzaghi (1955) y son las siguientes:

$$k_h = \frac{1}{1.5B} \bar{k}_{s1}$$
 Suelos cohesivos

$$k_h = \eta_h \frac{z}{B}$$
 Suelos friccionantes

donde:

$k_h$	módulo de reacción horizontal, t/ft³
$ar{k}_{s1}$	coeficiente mínimo y máximo para suelos cohesivos, t/ft³
$\eta_h$	coeficiente para suelos friccionantes que depende de la compacidad, t/ft3
$\boldsymbol{B}$	ancho o diámetro del elemento, ft

Los resultados obtenidos de aplicar los dos criterios a las condiciones del suelo de estudio y las profundidades de las pilas de cimentación y muro Milán, se presentan en las Tablas 12 y 13, respectivamente. En ellas se muestran los módulos de reacción horizontal para los tres criterios analizados.

Como se aprecia en los resultados de las Tablas 12 y 13, los resultados de módulos de reacción en las pilas y el muro Milán, bajo los dos criterios analizados, difieren un poco. Para el proyecto se recomienda aplicar los módulos de reacción horizontales que corresponden a la referencia original de Terzaghi indicada en el criterio 2.

<del>-67-</del>

Tabla 12. N	lódulos	de	reacción	horizontal	en	pilas
-------------	---------	----	----------	------------	----	-------

			Mó	dulo de r	eacción h	orizontal	$k_h$ [t/m²	/m]		
Profundidad	D = 1	1.0 m	D = 1	1.2 m	D = '	1.4 m	D = '	1.6 m	D = '	1.8 m
[m]	Criterio 1	Criterio 2	Criterio 1	Criterio 2	Criterio 1	Criterio 2	Criterio 1	Criterio 2	Criterio 1	Criterio 2
7.2 a 9.0	168.6	140.0	140.5	116.7	120.4	100.0	105.4	87.5	93.7	77.8
9.0 a 13.0	281.0	213.3	234.2	177.8	200.7	152.4	175.6	133.3	156.1	118.5
13.0 a 18.0	281.0	180.0	234.2	150.0	200.7	128.6	175.6	112.5	156.1	100.0
18.0 a 24.0	281.0	186.7	234.2	155.6	200.7	133.3	175.6	116.7	156.1	103.7
24.0 a 28.2	618.2	580.0	515.2	483.3	441.6	414.3	386.4	362.5	343.4	322.2
28.2 a 34.0	449.6	500.0	374.7	416.7	321.1	357.1	281.0	312.5	249.8	277.8
34.0 a 38.0	449.6	520.0	374.7	433.3	321.1	371.4	281.0	325.0	249.8	288.9
38.0 a 43.0	50,447	48,628	42,039	40,524	36,033	34,734	31,529	30,393	28,026	27,016
43.0 a 45.0	54,495	52,531	45,413	43,775	38,925	37,522	34,059	32,832	30,275	29,184

Tabla 13. Módulos de reacción horizontal en muro

_	Profur	ndidad	W1001 4061	k <sub>h</sub> [t/m²/m]		
Tramo	de	а	$z_i$ [m]	Criterio 1	Criterio 2	
1	0	2.0	1.25	140.5	133.3	
2	2.0	6.0	3.50	168.6	166.7	
3	6.0	9.0	8.25	140.5	140.0	
4	12.0	13.0	12.75	281.0	213.3	

Con los módulos de rigidez horizontal es posible calcular también las constantes de rigidez horizontal (constante del resorte), mediante:

$$k = k_h B d$$

donde:

k constante de rigidez horizontal, t/m

B diámetro de la pila o ancho de panel del muro Milán, m

d longitud del tramo de la pila o muro, m

#### 5.10 Deformaciones

Durante la construcción del edificio, el suelo experimentará expansiones inmediatas asociadas al retiro de la masa de suelo producto de la excavación para alojar la estructura de sótano y cisternas. La magnitud de las deformaciones se determinó inicialmente a partir de un análisis de distribución de esfuerzos, aplicando la siguiente expresión:



$$\delta = \sum_{i=1}^{n} M_{i} \, \Delta \sigma_{i} \, d_{i}$$

donde

 $\delta$  suma de las deformaciones evaluadas en los n estratos involucrados, cm

número de estratos involucrados

 $M_i$  módulo de deformación asociado al estrato i, cm<sup>2</sup>/kg

 $\Delta \sigma_i$  incremento de esfuerzo representativo para el estrato i, kg/cm<sup>2</sup>

d espesor del estrato i, cm

El cálculo del decremento e incremento de esfuerzos inducidos se realizó utilizando la solución de Boussinesq y el método de Damy y Casales para superficies uniformemente cargadas. Con este método las áreas cargadas de cualquier geometría son divididas en áreas triangulares y el incremento de esfuerzos para cada una se evalúa a partir de la siguiente expresión:

$$\Delta\sigma_z = \frac{\omega}{2\pi} \begin{cases} \theta_2 - \theta_1 - \tan^{-1} \left[ \frac{a \tan \theta_2}{\sqrt{a^2 + \sec^2 \theta_2}} \right] + \tan^{-1} \left[ \frac{a \tan \theta_1}{\sqrt{a^2 + \sec^2 \theta_1}} \right] \\ + \frac{a}{1 + a^2} \left[ \frac{\tan \theta_2}{\sqrt{a^2 + \sec^2 \theta_2}} - \frac{\tan \theta_1}{\sqrt{a^2 + \sec^2 \theta_1}} \right] \end{cases}$$

siendo

 $a = \frac{z}{H}$ 

donde

 $\Delta \sigma_z$  incremento de esfuerzo bajo el vértice de análisis del triángulo, t/m².

ω esfuerzo uniformemente repartido en la superficie triangular, t/m².

 $\theta_1, \theta_2$  ángulos que limitan la posición de los lados del triángulo que convergen en el

vértice de análisis, rad.

z profundidad de análisis, m.

H altura del triángulo considerado, m.

Para el cálculo de las expansiones, se ha considerado que el nivel de esfuerzo crítico bajo las condiciones de descarga durante la excavación equivale a:

$$\omega = -10.7 \text{ t/m}^2$$

Buscando controlar el nivel de deformaciones inducidos por la excavación, se ha propuesto realizar el proceso constructivo por etapas, además, en este proceso analítico se ha despreciado el efecto benéfico del bombeo que iniciará antes de ejecutar la excavación y la presencia de las pilas. El resultado de este análisis indica que las deformaciones máximas por expansión son las siguientes:

 $\triangleright$  Expansión máxima al centro:  $\delta$  <

 $\delta <$  - 30.0 cm

Expansión en el perímetro:

 $-11.0 < \delta < -20.0$  cm

Se destaca que las deformaciones reales serán inferiores a las calculadas analíticamente.

#### 5.11 Análisis de la cimentación con el Método de Elemento Finito

Se realizó la revisión de la estabilidad de la excavación y el sistema de cimentación con un modelo numérico utilizando el Método de Elementos Finitos mediante el programa PLAXIS 2D, de manera que sea posible evaluar el comportamiento de los elementos de contención, de la excavación y de la cimentación, siguiendo el procedimiento constructivo establecido en el proyecto.

Se destaca que esta metodología de cálculo permite considerar todos los elementos que intervienen en la estabilidad de la excavación (terreno, estructuras de contención, proceso constructivo, etc.) para determinar su comportamiento esperado durante cada etapa de construcción.

En el modelo numérico se consideraron las diferentes capas de suelo con sus respectivas propiedades de resistencia y deformabilidad, así como los elementos estructurales que son el muro Milán y los sistemas de piso con la geometría y características establecidas en el proyecto. En la Figura 36 se muestra la malla al concluir la construcción de los sótanos del edificio.

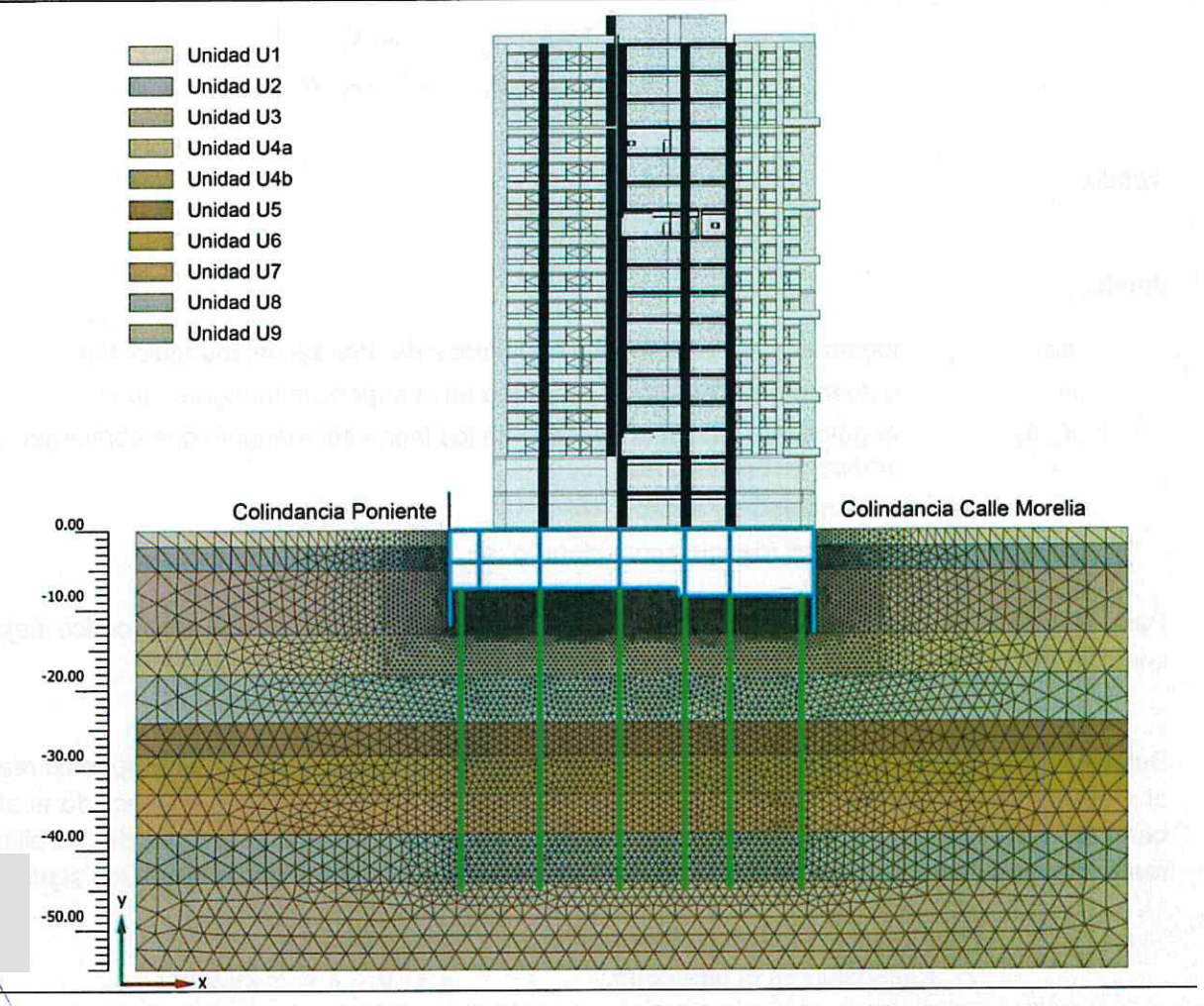


Figura 36. Malla de elementos finitos al concluir la construcción de los sótanos.

X

Con el fin de representar el comportamiento de las distintas capas del terreno durante el procedimiento de excavación, se utilizó el modelo constitutivo de Mohr-Coulomb, en el que se emplearon los parámetros geotécnicos indicados en la Tabla 5.

El muro Milán está proyectado con espesor de 60 cm y para su modelación se utilizaron elementos del medio continuo con las propiedades mecánicas correspondientes a las características mecánicas del concreto que, de acuerdo con lo establecido en el proyecto, tiene una especificación de resistencia  $f'_c$  = 350 kg/cm². Adicionalmente, el módulo de elasticidad se determinó de acuerdo con las Normas Técnicas Complementarias para Diseño y Construcción de Estructuras de Concreto (2017).

En la Tabla 14 se muestran los parámetros de análisis del muro Milán utilizados en la modelación numérica.

Tabla 14. Parámetros de análisis para concreto de la cimentación						
f'c [MPa]	γ [kN/m³]	E [MPa]	ν, μ			
35	24	26,030	0.2			

Complementariamente, las pilas se modelaron con elementos tipo viga-embebida (embedded beam), que presentan las mismas características que un elemento tipo placa que, en el código del programa PLAXIS se consideran como elementos estructurales con rigidez axial y a flexión. En este caso los elementos poseen tres nodos con tres grados de libertad cada uno de ellos (dos en traslación y uno en rotación con respecto a cada eje de coordenadas) y dos pares de puntos de integración. Su formulación matemática está basada en la teoría de vigas de Mindlin que permite considerar que la barra se deforme por la acción de la flexión y cortante que actúa sobre ella y, además, el elemento puede cambiar su longitud debido a la carga axial que se le aplica.

En la Figura 37 se muestra la posición de los nodos y los puntos de esfuerzos de un elemento viga de tres nodos.

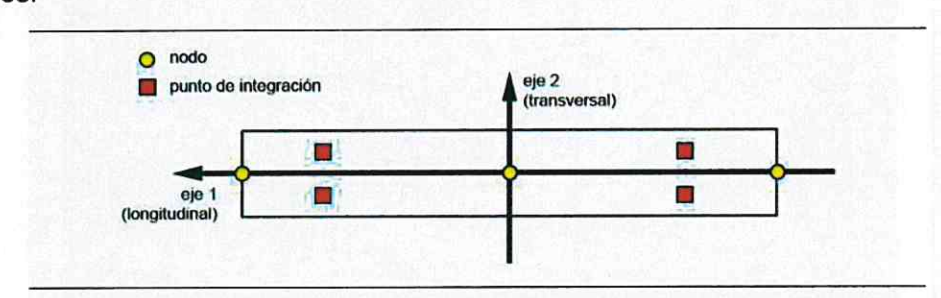


Figura 37. Nodos y puntos de esfuerzos en un elemento viga de tres nodos (Plaxis, 2020)

Los momentos flexionantes y fuerzas axiales son calculados para los puntos de integración, que se ubican a una distancia de los ejes locales del elemento igual a:

$$\frac{\sqrt{3}}{6}d_{eq}$$

donde

 $d_{eq}$ 

es la dimensión equivalente del elemento en dirección de los ejes coordenados y se calcula como:

$$d_{eq} = \sqrt{\frac{12\,I}{A}}$$

Además de lo anterior, la principal característica de los elementos embebidos es que están provistos de elementos de conexión que les permiten interactuar con el terreno circundante. Dichos elementos consisten de interfaces tangenciales que simulan la interacción en el sentido longitudinal del fuste de la pila, de esta manera se simula la rigidez y resistencia en el contacto con el terreno.

#### Resultados del análisis

Con base en los parámetros geomecánicos de la Tabla 5 y considerando las características y propiedades de los elementos de la estructura de sótanos, se realizó el cálculo en el modelo numérico para definir el posible comportamiento del sistema de cimentación durante el proceso constructivo y durante la etapa de servicio.

En la Figura 38 se muestran los desplazamientos verticales generados al concluir la construcción del edificio, en esta figura se aprecia el asentamiento inmediato de la estructura que se produce después de la recompresión del terreno que sufrió expansiones durante el proceso de excavación.

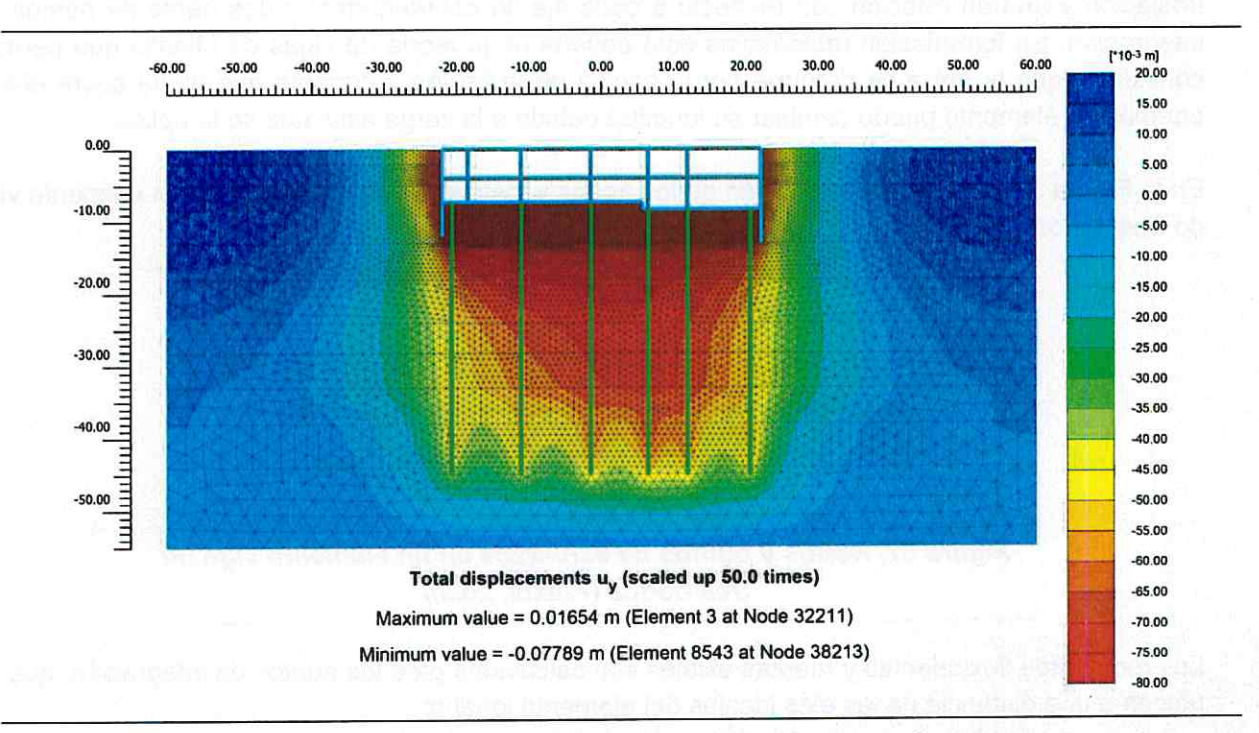


Figura 38. Desplazamientos verticales máximos en el terreno

En el modelo, las expansiones máximas que se presentan en el terreno son:

Expansiones en la zona de máxima excavación:

 $\delta_e = -16 \text{ cm}$ 

Expansiones en el perímetro:

 $\delta_{\rho} = -5 \text{ a } -9 \text{ cm}$ 

Se destaca que en el cálculo de las expansiones que resultaron del análisis, se consideró el bombeo y el efecto benéfico que este puede aportar en las expansiones en el terreno durante la excavación de los sótanos, además, se toma en cuenta la contribución de la presencia de las pilas de cimentación embebidas en el terreno.

Durante el proceso de construcción de la superestructura se generan asentamientos en el terreno de desplante que contrarrestan de manera paulatina a las expansiones. Con ello, al término de la construcción el asentamiento esperado es de:

Asentamiento total a corto plazo  $\delta_i = 5$  a 8 cm

Asentamiento total a largo plazo

 $\delta_i = 3 \text{ a } 6 \text{ cm}$ 

#### Estado límite de servicio 5.11

El buen comportamiento de la cimentación y por tanto de la estructura en conjunto, depende de la magnitud de las deformaciones verticales y diferenciales que se presentan en el suelo durante la vida útil del inmueble. En las NTC-DCC (2017) se establece que para cumplir con los estados límite de servicio se deberán considerar los valores máximos admisibles indicados en la Tabla 15.

> Tabla 15. Límites máximos para movimientos y deformaciones originados en la cimentación en la Zona III

Movimientos verticales	Asentamiento	Construcciones aisladas	< 300 mm	
		Construcciones colindantes	< 150 mm	
Inclinación media	Inclinación visible	< 100/(100 + 3h) por ciento	h = altura de construcción	
deformaciones diferenciales	Distorsión angular en marcos de acero		< 0.006	
	Distorsión angular en marcos de concreto		< 0.004	
	Distorsión angular en muros de carga		< 0.002	

Como se observa, los movimientos verticales máximos calculados por expansión y asentamientos a corto y largo plazo se ubican dentro de los establecidos en las NTC-DCC, 2017. Con ello se cumple con el estado límite de servicio.

Se destaca que para cumplir con los valores máximos admisibles de deformación deberá seguirse un proceso constructivo cuidadoso, como se describe posteriormente en este informe

# 6 EXCAVACIÓN Y SISTEMA DE CONTENCIÓN

Por las características del proyecto y la presencia de estructuras colindantes, es necesaria la colocación de un sistema de contención que permita ejecutar la excavación que alojará a la estructura subterránea de sótanos. El sistema de contención propuesto se compone por un muro Milán formado con paneles de 60 cm de espesor desplantados a diferentes profundidades por zonas, dependiendo del nivel máximo de excavación.

La revisión de las condiciones de seguridad del muro Milán consistieron en la determinación y análisis de los siguientes aspectos:

- > Determinación de esfuerzos y empujes horizontales a corto plazo sobre Muro Milán
- > Determinación de esfuerzos y empujes horizontales a largo plazo sobre Muro Milán
- > Revisión por Falla de fondo
- Revisión por Falla por supresión
- > Revisión por Falla por pateo
- > Revisión por Falla por flotación
- Análisis de estabilidad de taludes
- > Revisión del sistema de contención y proceso de excavación

En la Figura 39 se muestra la propuesta de desplante de paneles de muro Milán en función de nivel máximo de excavación.

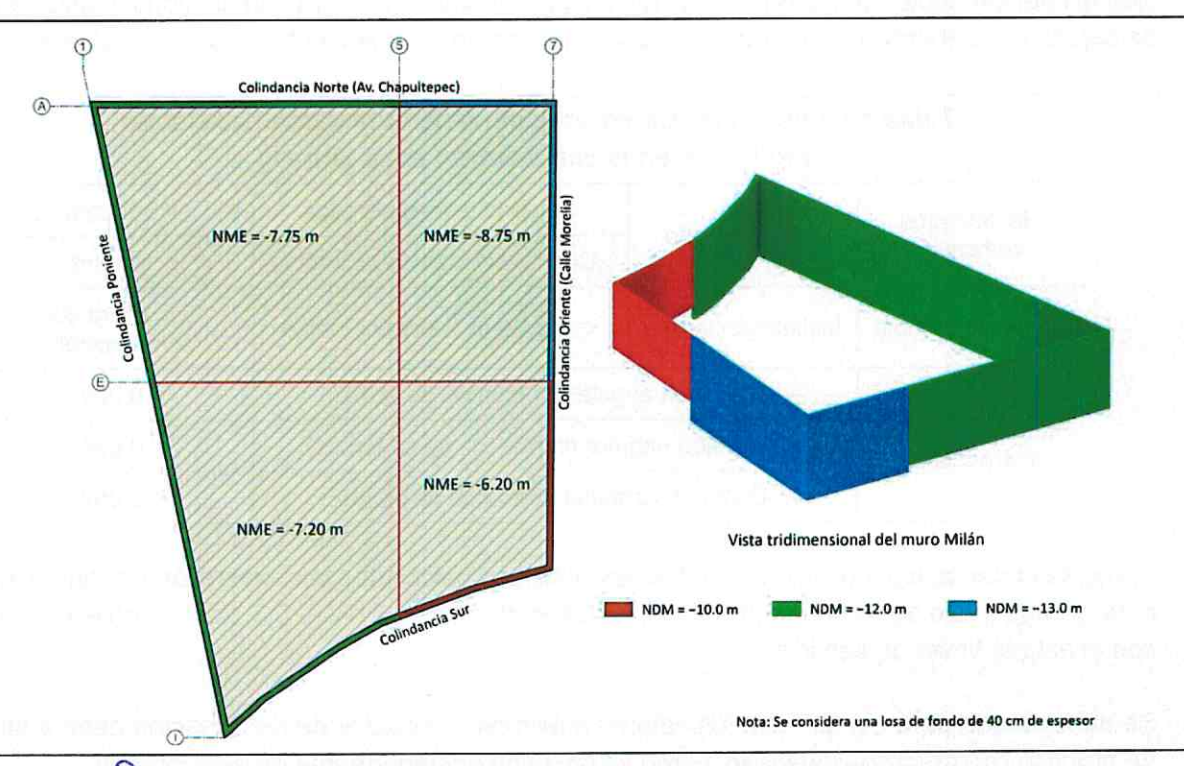


Figura 39. Distribución de paneles de muro Milán.

### 6.1 Procedimiento de excavación

El procedimiento de excavación que se propone tiene como objetivo permitir la construcción de la estructura de sótanos con los menores desplazamientos horizontales posibles sobre el sistema de contención, buscando la seguridad de la obra y de las estructuras colindantes.

El sistema de soporte horizontal de los paneles del muro Milán estará constituido por puntales metálicos apoyados en la estructura de sótanos construida en el centro del predio. Para ello se ha propuesto una secuencia de excavación que ofrezca un comportamiento adecuado durante la construcción de la estructura subterránea. El proceso constructivo establecido se resume de la forma siguiente:

- Etapa 1: Construcción de muro Milán y pilas de cimentación
- Etapa 2: Excavación de la zona central del predio en el área comprendida entre los ejes 3-6 y B-G. Esto tiene como propósito dejar bermas perimetrales que den estabilidad al sistema de contención mientras se realiza la excavación hasta el desplante de la losa de fondo en la zona indicada. La excavación se realizará con avances máximos de 2.0 m para minimizar las expansiones del suelo.
- Etapa 3: Al alcanzar el nivel máximo de excavación de construirá la losa de fondo anclada estructuralmente a las pilas de cimentación.
- **Etapa 4:** Construcción ascendente de la estructura de sótano (muros, columnas losas, etc.) en la zona indicada.
- **Etapa 5:** Excavación de las bermas perimetrales y apuntalamiento del muro Milán con la estructura de sótano previamente construida en la zona central del predio.
- **Etapa 6:** Llegando al nivel máximo de excavación se procederá a construir la losa de fondo anclada estructuralmente a las pilas de cimentación, al muro Milán y a la estructura de sótano.
- Etapa 7: Construcción ascendente de la estructura de sótano en la zona perimetral.

# 6.2 Esfuerzos y empujes laterales para el diseño del Muro Milán

Empujes y esfuerzos de tipo activo a corto plazo durante la construcción. Las expresiones empleadas para la determinación de los diagramas de presiones horizontales a corto plazo y los empujes asociados son las siguientes:

$$E_a = \int_0^H (\sigma_a + u) \ dz$$

con

$$\sigma_a = \sigma_z \, k_a - 2c\sqrt{k_a}$$

donde:

 $E_a$  empuje activo, t

 $\sigma_a$  esfuerzo horizontal activo a la profundidad z, t/m<sup>2</sup>

 $\sigma_z$  esfuerzo vertical efectivo a la profundidad z incluyendo sobrecarga, t/m²

cohesión, t/m²

7

φ ángulo de fricción interna, °

 $k_a$  coeficiente de presión de tierras de tipo activo

siendo:

$$k_{\alpha} = \frac{\sin^{2}(\alpha + \phi)}{\sin \alpha \sin(\alpha - \delta) \left(1 + \sqrt{\frac{\sin(\phi + \delta)\sin(\phi - \beta)}{\sin(\alpha - \delta)\sin(\alpha + \beta)}}\right)^{2}}$$

donde:

α inclinación del respaldo del sistema de contención, grados

δ ángulo de fricción entre el sistema de contención y terreno, grados

β inclinación de la superficie del terreno, grados

Para el cálculo del coeficiente de presión de tierras se ha considerado  $\alpha = \delta = 90^{\circ}$  y  $\beta = 0^{\circ}$ .

Para el análisis de la estabilidad, el diagrama de esfuerzos horizontales redistribuidos generados por el suelo sobre el sistema de contención se determinó a partir de la expresión siguiente:

$$p_{rm} = \frac{1.28 \, E_a}{0.85 \, H}$$

Esfuerzo horizontal pasivo en la pata del muro. También se determinaron los esfuerzos pasivos que actúan en el empotramiento del muro. Las expresiones empleadas para la determinación del diagrama de presiones horizontales pasivos y el empuje asociado son las siguientes:

$$E_p = \int_{z_1}^{z_2} (\sigma_p + u) dz$$

con

$$\sigma_p = \sigma_z \, k_p + 2c \sqrt{k_p}$$

donde:

 $E_a$  empuje activo, t

 $\sigma_a$  esfuerzo horizontal activo a la profundidad z, t/m<sup>2</sup>

σ esfuerzo vertical efectivo a la profundidad z incluyendo sobrecarga, t/m²

c cohesión, t/m²

 $k_a$  coeficiente de presión de tierras de tipo activo

siendo:

$$k_{p} = \frac{\sin^{2}(\alpha - \phi)}{\sin^{2}\alpha \sin(\alpha + \delta) \left[1 + \sqrt{\frac{\sin(\phi + \delta)\sin(\phi + \beta)}{\sin(\alpha + \delta)\sin(\alpha + \beta)}}\right]^{2}}$$

Para el cálculo del coeficiente de presión de tierras se ha considerado  $\alpha$  = 90°,  $\delta$  = 90° y  $\beta$  = 0°.

En la Figura 41 se muestra el diagrama de presiones horizontales de tipo activo y el diagrama de presiones redistribuidas sobre el sistema de contención de la excavación para cada desplante de muro propuesto.

Por otro lado, en la Figura 40 se muestra el esquema de la distribución de presiones pasivas en la pata del muro Milán que reaccionan contra el suelo del fondo de la excavación, mientras que en la Tabla 16 se indican los valores del empuje pasivo para cada nivel de desplante de muro.

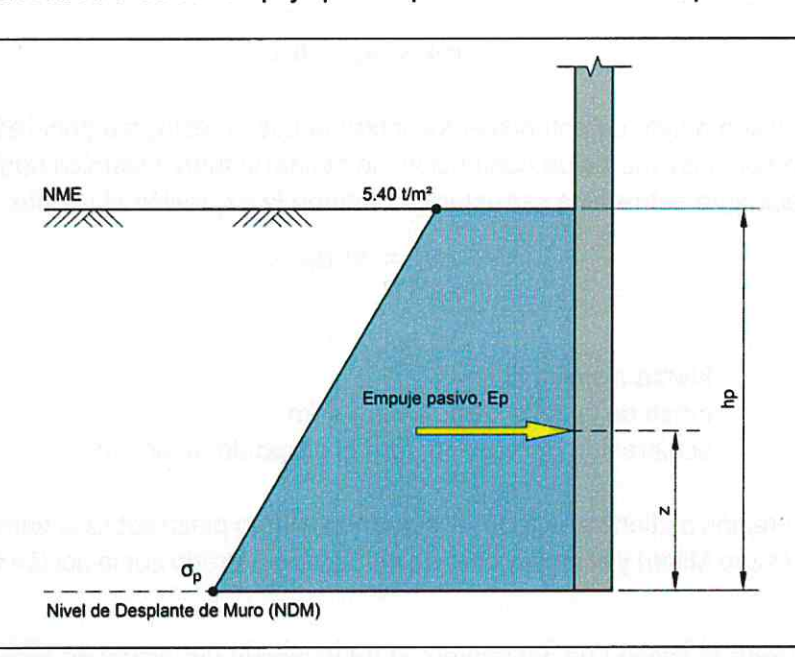


Figura 40. Esfuerzo y empuje pasivo horizontal en la pata del muro

Tabla 16. Empuje pasivo horizontal en la pata del muro				
Nivel máximo de excavación, [m]	NDM [m]	Empuje pasivo E <sub>p</sub> [t/m]	Posición del empuje respecto al desplante del muro, z [m]	
6.20	10.0	29.0	1.71	
7.20	12.0	39.5	2.12	
7.75	12.0	33.6	1.90	
8.75	13.0	33.6	1.90	

Empujes y Esfuerzos horizontales a largo plazo. Los esfuerzos horizontales en reposo, o a largo plazo, que actuarán sobre el muro Milán al integrarse y formar las paredes de la estructura subterránea se evaluaron mediante:

$$P_{H0}=\sigma_{H0}+u$$

W

con

$$\sigma_{H0} = \sigma_z k_0$$

donde:

 $P_{H0}$ 

Esfuerzo total horizontal en reposo, t/m2

 $\sigma_{H0}$ 

esfuerzo efectivo horizontal en reposo a la profundidad z, t/m2

ko

coeficiente de presión de tierras en reposo

siendo:

$$0.4 \le k_0 \le 0.8$$

Adicionalmente y con objeto de establecer los incrementos de esfuerzo generados por la acción del sismo de diseño sobre los muros de contención, se definió la fuerza sísmica horizontal generada por la cuña lateral actuante sobre esta estructura a partir de la expresión siguiente:

$$F = m a_0$$

donde:

F

fuerza sísmica, t

m

masa de la cuña deslizante, t s²/m

ao

aceleración del terreno para el sismo de diseño, g

El diagrama de presión de tierras en reposo, actuando a largo plazo sobre la pared lateral del sistema de cimentación (muro Milán) y el incremento de esfuerzo generado por la acción sísmica se muestran en la Figura 42.

Se señala que, para el cálculo de los esfuerzos horizontales por sismo se utilizó como aceleración del terreno  $a_0 = 0.29$  g (284.5 cm/s²), de acuerdo con los parámetros obtenidos del estudio para determinar el Espectro de Diseño Sísmico de Sitio (SDS, 2022).

#### 6.3 Revisión ante falla de fondo

El análisis de la estabilidad de la excavación ante una posible falla de fondo generada por el esfuerzo inducido en la zona exterior del muro Milán, se analizó bajo los siguientes criterios:

#### Análisis considerando la geometría de la excavación

$$FS_t = \frac{5.14 \left(1 + 0.2 \frac{H}{B}\right) \left(1 + 0.2 \frac{B}{L}\right) c_u}{\gamma_n H + p_s}$$

donde

 $FS_t$ 

factor de seguridad ante falla de fondo

В

ancho de excavación, m

5

largo de excavación, m



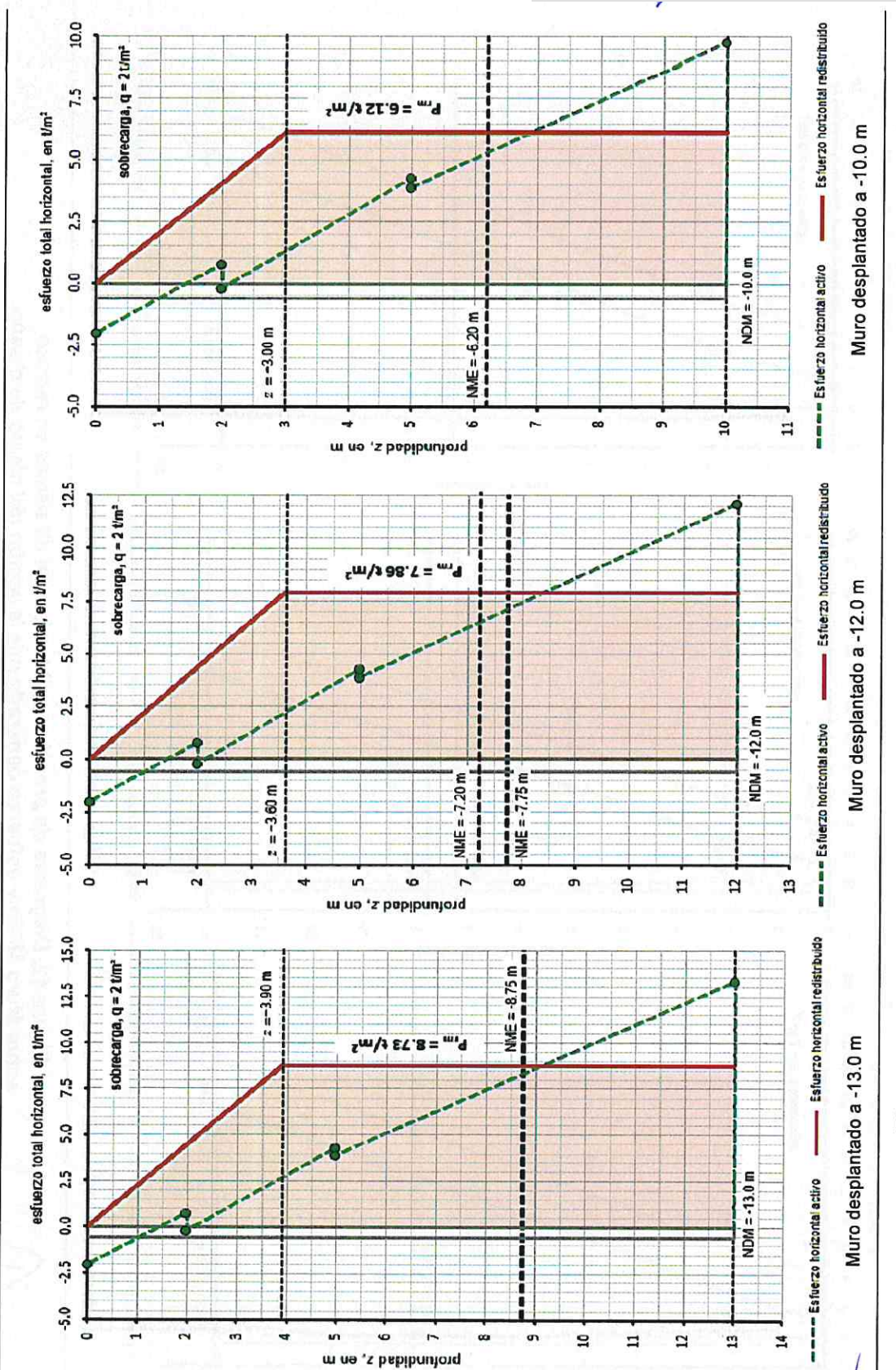


Figura 41. Esfuerzos horizontales activos y diagrama de presiones redistribuidas

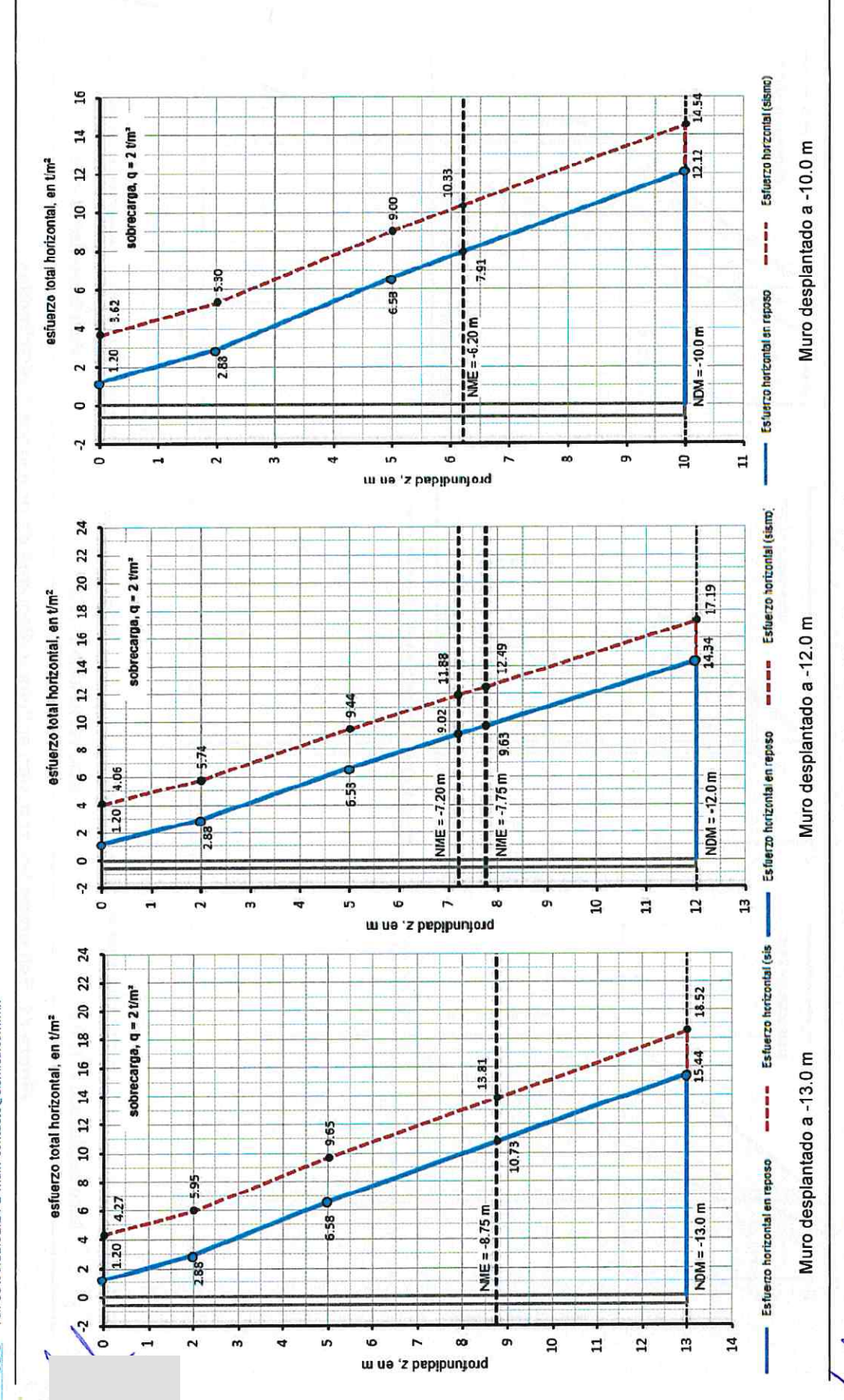


Figura 42. Diagrama de presión total horizontal de tierras en reposo sobre Muro Milán y esfuerzo generado por la acción del sismo de diseño

Esta ecuación es aplicable dentro de los siguientes límites:

$$H/B \le 2.5$$
 ;  $B/L \le 1$ 

> Análisis incluyendo los efectos de la adherencia y rigidez de la pata del Muro Milán

$$FS_{t} = \frac{5.14 \, \left(1 + 0.2 \, \frac{B}{L}\right) \left(1 + 0.2 \, \frac{H}{B}\right) c_{u} + 2 c_{u2} \frac{H_{P}}{B} + \frac{2 M_{r}}{{h_{m}}^{2}}}{\gamma_{n} H + \, p_{s}}$$

con

$$M_r = A_s F_R f_y (h - 2r)$$

donde,

Mr	momento resistente admisible, en t-m
As	área de acero, por metro lineal, en la cara en tensión de la sección, en cm²
$F_R$	factor de reducción de resistencia (considerado = 0.7)
f <sub>y</sub>	esfuerzo límite de fluencia del acero, (4.2 t/cm²)
h	espesor de la sección de concreto, en m
p of the air tea	recubrimiento de acero, en m
$H_{\rho}$	altura de la pata del muro, en m
h <sub>m</sub>	distancia del desplante del muro a la losa del sótano 1, en m

Se destaca que, con el procedimiento constructivo propuesto, la extensión de la falla dentro de la excavación no es mayor a un ancho de 18.0 m y su profundidad máxima es de 13.0 m por debajo del nivel máximo de excavación.

En la Figura 43 se muestra esquemáticamente el posible mecanismo ante la falla del fondo de la excavación.

Se analizaron las condiciones de falla para cada una de las colindancias y en la revisión de la estabilidad se aplicaron los criterios indicados. Los factores de seguridad obtenidos para cada condición se presentan en la Tabla 17.

Tabla 17. Factor de seguridad ante falla de fondo				
Nivel de desplante de muro, en m	FS considerando la longitud de la excavación	FS considerando los efectos de la adherencia y rigidez del muro		
-10.0 m	1.96	2.83		
-12.0 m	1.67	2.34		
–13.0 m	1.52 I transfer to	2.01		

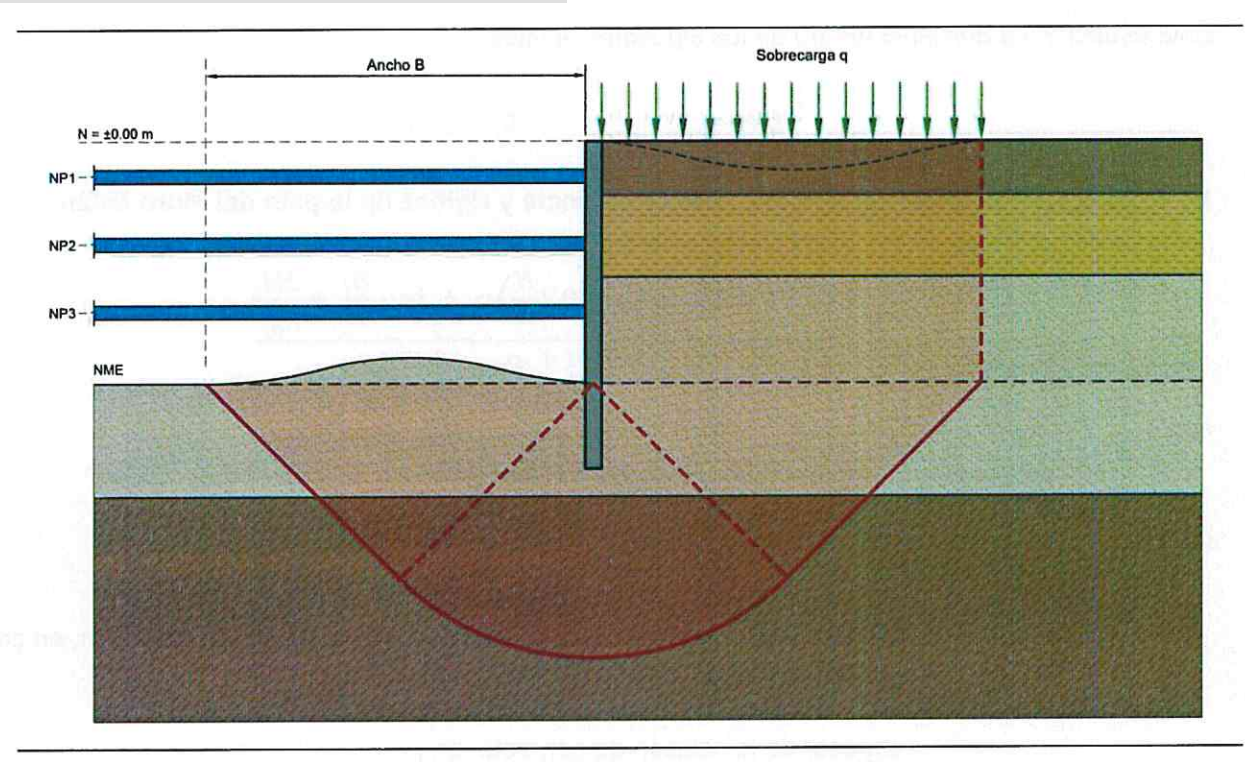


Figura 43. Esquema de posible mecanismo ante falla de fondo

En la Tabla 16 se aprecia que los factores de seguridad son superiores a la unidad bajo cualquier condición y se considera que el factor de seguridad crítico es el que se presenta para la zona con la excavación más profunda. En cualquier condición se tiene que:

$$FS_{fondo} \geq 1.52$$

Se considera que los factores de seguridad obtenido de estos análisis son admisibles; sin embargo, se deberá desarrollar un proceso constructivo continuo y eficiente. En caso de permanecer la excavación abierta, los parámetros de resistencia del suelo se degradarán y el factor de seguridad disminuirá, por lo que se recomienda que una vez alcanzada la profundidad máxima de excavación se coloque la plantilla, y se realice el armado y colado de la losa de fondo.

#### 6.4 Estado límite ante falla de fondo

Al aplicar el criterio establecido en las NTC-DCC-2017 para asegurar la estabilidad de excavaciones ademadas, la posibilidad de falla de fondo por cortante en arcillas se analizará verificando que:

$$p_v + \sum q F_c < c_u N_c F_R$$

donde:

IX

 $c_u$  cohesión aparente del material bajo el fondo de la excavación, en condiciones no—consolidadas no—drenadas (UU);

N<sub>c</sub> coeficiente de capacidad de carga que depende de la geometría de la excavación: el ancho de la excavación (B), longitud (L) y profundidad (D). Se tomará en cuenta además que este coeficiente puede ser afectado por el procedimiento constructivo;

 $p_v$  presión vertical total actuante en el suelo, a la profundidad de excavación  $\Sigma q F_c$  sobrecargas superficiales afectadas de sus respectivos factores de carga  $F_R$  Factor de reducción que se tomará igual a 0.7

Bajo este criterio, los esfuerzos generados fuera de la zona de construcción a la misma profundidad de excavación deben cumplir con la desigualdad siguiente:

$$p_v + \sum q \, F_c < 15.8 \, \text{t/m}^2$$

Esta condición se cumple al considerar que los esfuerzos inducidos por las construcciones y cargas en las vialidades que circundan la excavación, es:

$$p_v + \sum q F_c = 13.8 \text{ t/m}^2$$

Se destaca que en este análisis se ha considerado una sobrecarga desde la superficie de 2.0 t/m² en todas las colindancias.

#### 6.5 Falla por subpresión

La revisión ante la posible falla por subpresión se realizó considerando la capa permeable más próxima por debajo del nivel máximo de excavación, de acuerdo con lo observado en los perfiles estratigráficos de los sondeos de penetración estándar.

En la Figura 44 se muestra esquemáticamente el posible mecanismo de falla por subpresión que se caracteriza por un bufamiento súbito debido al empuje ejercido por la presión hidrostática debajo del fondo de la excavación.

La revisión de la falla por subpresión se realizó aplicando la expresión siguiente:

$$FS_{supresión} = \frac{p_v}{U}$$

donde:

 $p_v$  esfuerzo vertical entre el fondo de la excavación y la capa permeable, t/m²; U presión hidrostática en la capa permeable, t/m²

Bajo este criterio, el factor de seguridad obtenido ante falla por supresión es el siguiente:

$$FS_{supresión} = 0.48$$

83

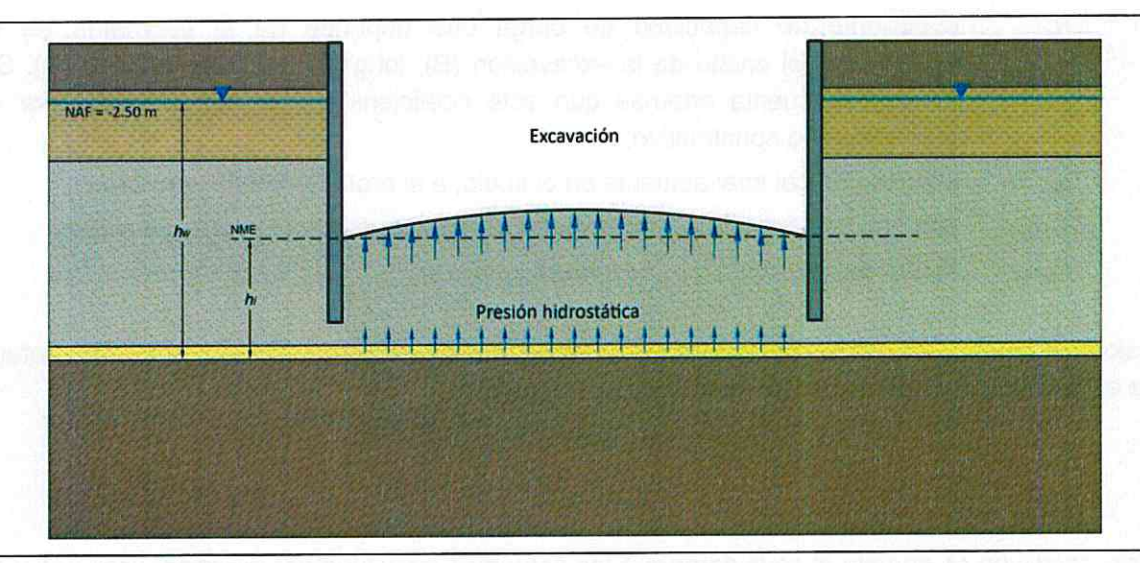


Figura 44. Esquema de posible mecanismo ante falla por subpresión

Dado que la falla por supresión es inminente, el proyecto geotécnico requiere de la instalación de un sistema de bombeo, lo que producirá la disminución de la presión de poro debajo del fondo de la excavación, aumentando las condiciones de seguridad. Por ello, se propone abatir el nivel de agua al menos 1.5 m por debajo del nivel máximo de excavación, bajo esta condición la altura piezométrica es:

$$h_w = 3.3 \text{ m}$$

Con ello, el factor de seguridad por subpresión es admisible, al incrementarse a:

$$FS_{supresión} = 1.54$$

# 6.6 Estado límite ante falla por subpresión

Al aplicar el criterio fijado en las NTC-DCC-2017, para evitar una falla por subpresión es necesario cumplir con la desigualdad siguiente:

$$h_i > \left(\frac{\gamma_w}{\gamma_m}\right) h_w$$

donde

 $h_w$  altura piezométrica en el lecho inferior de la capa impermeable, t/m²;

 $\gamma_w$  peso volumétrico del agua, t/m²

 $\gamma_m$  peso volumétrico total del suelo entre el fondo de la excavación y el estrato permeable, t/m²

Bajo este criterio, el espesor  $h_i$  debajo del fondo de la cimentación debe cumplir con:

$$h_i > 10.5 \text{ m}$$

En todos los casos de nivel máximo de excavación, el espesor  $h_i$  entre el fondo y la capa permeable (z = -13.0 m) varía entre 4.25 y 6.80 m, por lo que no se cumple la condición establecida. Por lo tanto, se espera la ocurrencia de una falla por subpresión bajo este criterio.

Una vez instalado el sistema de bombeo, el abatimiento piezométrico hasta al menos 1.5 m por debajo del nivel máximo de excavación, para el caso más desfavorable (NME = -8.75 m), se generará una altura piezométrica de:

$$h_{\rm w} = 2.8 \, {\rm m}$$

Con ello, el espesor  $h_i$  debajo del fondo de la cimentación de 4.25 m, que cumple con el estado límite de falla fijado por la normatividad:

$$h_i > 2.4 \text{ m}$$

#### 6.7 Falla por pateo

En el momento en que se alcanza la máxima profundidad máxima de excavación, el muro Milán se ve sujeto al mayor esfuerzo horizontal del suelo contenido. Esta presión es contrarrestada por el suelo de la zona interior donde se empotra el muro y por el sistema de apuntalamiento, previamente colocado.

Bajo la condición expuesta, es posible que ocurra una falla estructural del muro Milán por la formación de una articulación plástica en el sitio donde se ubica el último nivel de puntales. A este mecanismo de falla se le conoce como pateo y se ilustra en la Figura 45.

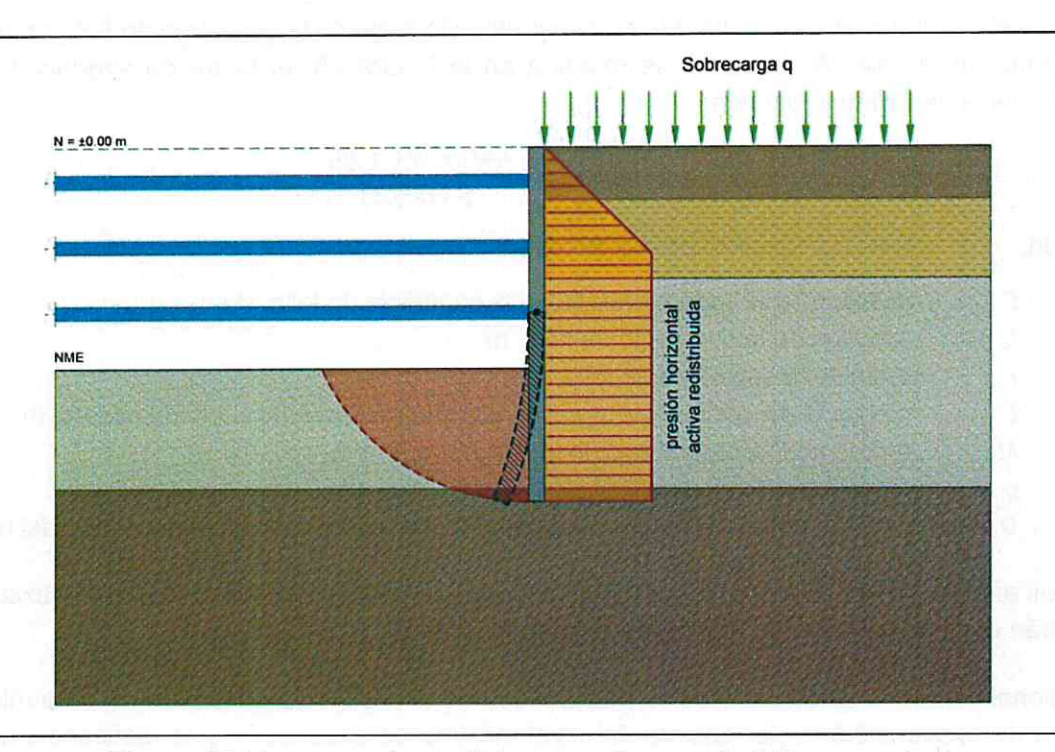


Figura 45. Esquema de posible mecanismo ante falla por pateo

La revisión de la falla por pateo se realizó atendiendo a dos diferentes criterios:

### > Análisis de esfuerzos horizontales

La evaluación del factor de seguridad a partir de la comparación de los esfuerzos horizontales en el mecanismo de falla se realizó aplicando la expresión siguiente:

$$FS_{bp} = \frac{p_p + p_{em}}{p_{rm}}$$

con

$$p_p = 3.57c_u + 0.5\gamma_m H_p$$
 ;  $p_{em} = \frac{2M_r}{h_m^2}$ 

donde,

 $p_p$  presión pasiva del suelo en la cara interior de la pata, t/m²;

 $p_{\it em}$  presión media equivalente al momento resistente del muro, t/m²

 $p_{rm}$  presión activa redistribuida en la cara exterior de la pata,  $t/m^2$ 

 $M_r$  momento flexionante resistente del muro, t-m/m

# Análisis de momentos considerando la resistencia a lo largo de la superficie de falla

Al considerar la fuerza resistente que se desarrolla a lo largo de la superficie de falla circular que se presenta en el muro Milán como se muestra en la Figura 45, el factor de seguridad se evaluó mediante la siguiente expresión:

$$(FS)_p = \frac{\bar{c}Lr + Wl + M_r}{p(D^2/2)}$$

donde,

 $\bar{c}$  resistencia al corte promedio en la superficie de falla, t/m²;

L longitud de la superficie de falla, m

r radio de la superficie de falla, m

distancia del paño del muro al centro de gravedad del suelo resistente, m

 $M_r$  momento flexionante resistente del muro, t-m/m

p presión promedio sobre el muro, t/m²

D longitud entre el último nivel de apuntalamiento y el nivel de desplante del muro, m

En los análisis se consideraron las distintas alturas de muro, por lo que al finalizar la excavación se tendrán entre 3.8 y 4.3 m de empotramiento en el terreno.

Adicionalmente, en estos cálculos se ha considerado la posición del último nivel de puntales como punto de apoyo a 2.0 m por encima del nivel máximo de excavación y la resistencia a momento flexionante/del muro Milán con las siguientes características:

Espesor del muro:

e = 60 cm

Recubrimiento:

r = 7.5 cm

Porcentaje de acero en tensión:

 $\rho = 1\%$ 

Límite elástico del acero de refuerzo:

 $f_{\rm v} = 4,200 \, {\rm kg/cm^2}$ 

Factor de reducción de resistencia:

 $F_R = 0.7$ 

Los factores de seguridad ante falla por pateo para la última etapa de excavación, obtenidos bajo los dos criterios de análisis son los que se muestran en la Tabla 18.

Nivel máximo de excavación, [m]	Altura de muro [m]	FS considerando esfuerzos horizontales	FS considerando la resistencia a lo largo de la superficie de falla	
	10	2.62	1.84	
7.20	12	1.97	1.64	
7.75	12	1.89	1.56	
8.75	13	1.80	1.51	

Como se observa en la Tabla 18, los menores factores de seguridad resultan del análisis de momentos considerando la resistencia a lo largo de la superficie de falla.

Nótese también que en cada etapa de excavación se mantiene un factor de seguridad superior a 1.50 en todos los casos. Este valor se considera aceptable siempre que, una vez alcanzadas estas profundidades de excavación se construya de inmediato la losa de fondo. Una vez construido este elemento estructural el factor de seguridad se incrementa considerablemente, lo que garantiza la estabilidad del sistema de contención.

Se destaca que, conforme pase el tiempo, los parámetros de resistencia del suelo se degradarán y el factor de seguridad disminuirá. Por ello, se insiste en que, para garantizar la estabilidad del sistema de contención, es fundamental desarrollar un proceso constructivo eficiente, que se ejecute de manera continua, sin interrupciones y que los elementos estructurales y las losas estén adecuadamente ligados estructuralmente al muro Milán. Se deberá respetar el proceso constructivo definido y no exceder los niveles máximos de excavación establecidos para cada una de las etapas, principalmente en aquellas donde se tiene prevista la construcción de las losas.

#### 6.8 Falla por flotación

Una vez suspendido el sistema de bombeo, la presión que se ejercerá el agua por debajo de la losa de cimentación deberá ser contrarrestada por las cargas inducidas por la estructura ya construida.

Para evitar la falla por flotación, el sistema de bombeo idealmente se deberá suspender una vez que las cargas que la estructura ejerce sobre el terreno sean superiores a la presión del agua generada en el desplante de las losas de fondo. Considerando que el nivel freático se ubica a 2.5 m de profundidad y la distribución piezométrica establecida, la presión de agua en el desplante es:

$$U = 6.0 \text{ t/m}^2$$

Se considera que el máximo nivel de esfuerzo generado por el agua será excedido por las cargas de la estructura después de concluir por completo el cajón de cimentación y preferentemente los tres primeros niveles del edificio; sin embargo, esta condición deberá ser ratificada por el área de estructuras.

#### 6.9 Sistema de troquelamiento

Se propone que los troqueles se fabriquen con tubo OC cedula 40 con el diámetro que indique el área de estructuras, estos elementos serán colocados con una separación de 4.0 m, como máximo, precargados y reaccionando contra bloques de concreto dispuestos sobre las losas de fondo del sótano y contra la estructura de sótano construida en la zona central, por lo que se deberá considerar en el diseño y realizar las preparaciones en los elementos estructurales.

El sistema de soporte con puntales consiste en colocar de dos a tres niveles de troqueles que, dependiendo de la profundidad de desplante del muro y el nivel máximo de excavación, se define la posición de los diferentes niveles de apuntalamiento.

A partir de las presiones horizontales que actuarán en el sistema de contención durante el proceso de excavación, se determinaron las fuerzas que ejerce el terreno a la profundidad donde se encuentran colocados los troqueles, considerando un ancho tributario de estos elementos que, en este caso es de 4.0 m.

En la Tabla 19 se muestran los resultados de las fuerzas máximas que deben soportar los elementos para cada nivel de apuntalamiento, mismas que deberán ser utilizadas en el diseño estructural de los puntales, en la definición de la precarga y en la revisión de los elementos del sistema de contención.

Zona	NME [m]	Nivel de puntales	Profundidad [m]	Ea [t/m]	F <sub>máx</sub> [t]
Zona 1 (NDM = -13.0 m)	-8.75	1	2.0	10.8	43.2
		2	4.5	20.2	80.8
		3	6.8	28.4	113.6
Zona 2 (NDM = −12.0 m)	-7.20 a -7.75	1	2.0	9.8	39.2
		2	4.2	15.4	61.6
		3	6.0	20.8	83.2
Zona 3 (NDM = −10.0 m)	-6.20	1 1 1 1 1 1 1	2.0	9.8	39.2
		2	4.2	18.9	75.6

# 6.10 Análisis de la excavación con el Método de Elemento Finito

Complementariamente se realizó la revisión de la estabilidad de la excavación con un modelo numérico utilizando el Método de Elementos Finitos mediante el programa PLAXIS 2D, con objeto de evaluar el comportamiento de la excavación siguiendo el procedimiento constructivo establecido.

Etapas de análisis. Las etapas de análisis en el modelo de elementos finito se ajustaron al procedimiento de excavación propuesto. La secuencia aplicada al modelo es la siguiente:

- a) Cálculo del estado inicial de esfuerzos.
- b) Colocación de elementos para simular el muro Milán, pilas (elementos embedded beam) y activación de las sobrecargas en superficie.
- c) Simulación del sistema de bombeo para modelar la excavación en condiciones estancas. En cada etapa se realiza el análisis del flujo en el subsuelo para mantener el nivel de agua por lo menos 1.0 m por debajo del nivel de excavación.
- d) Excavación del núcleo central en banqueos de 2.0 m y avances de 5.0 m hacia las colindancias dejando una berma con una pendiente de 1H:1.75V.
- e) Al concluir la excavación hasta el nivel de desplante del sótano se activa los elementos de la losa de fondo en la zona excavada.
- f) Se activan los elementos estructurales para simular la estructura del sótano en la zona central.
- g) Se inicia el retiro de las bermas excavando el material y activando los elementos que simulan los puntales. Estas etapas se llevan a cabo hasta llegar al nivel máximo de excavación.
- h) Construcción ascendente de la estructura de sótano en las colindancias.

En la Figura 46 se muestra la malla con los elementos del sistema de contención y pilas de cimentación en una etapa intermedia de excavación. En esta figura se puede apreciar el efecto del bombeo en el abatimiento del NAF.

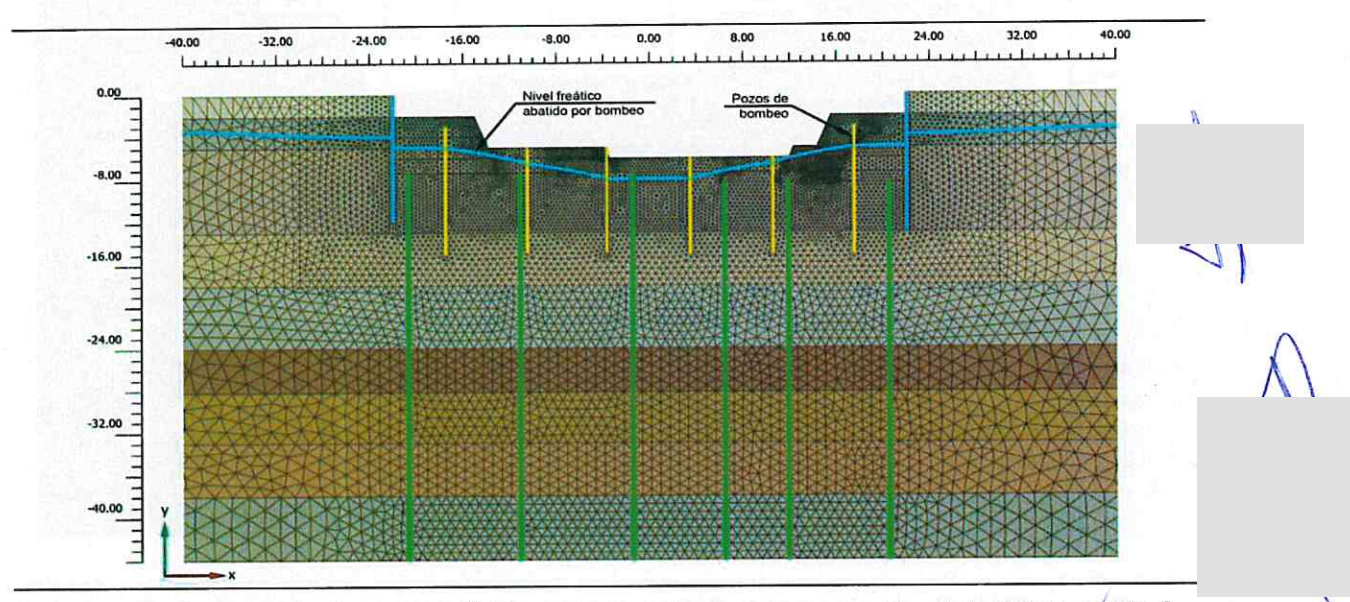


Figura 46. Malla de elementos finitos en una etapa de excavación del núcleo central

89-174

En la Figura 47 se muestra la etapa cuando se alcanza el nivel máximo de excavación en la zona central y también se presenta la malla en la etapa en la que se concluye la construcción de la estructura de sótano previo a la excavación de las bermas laterales.

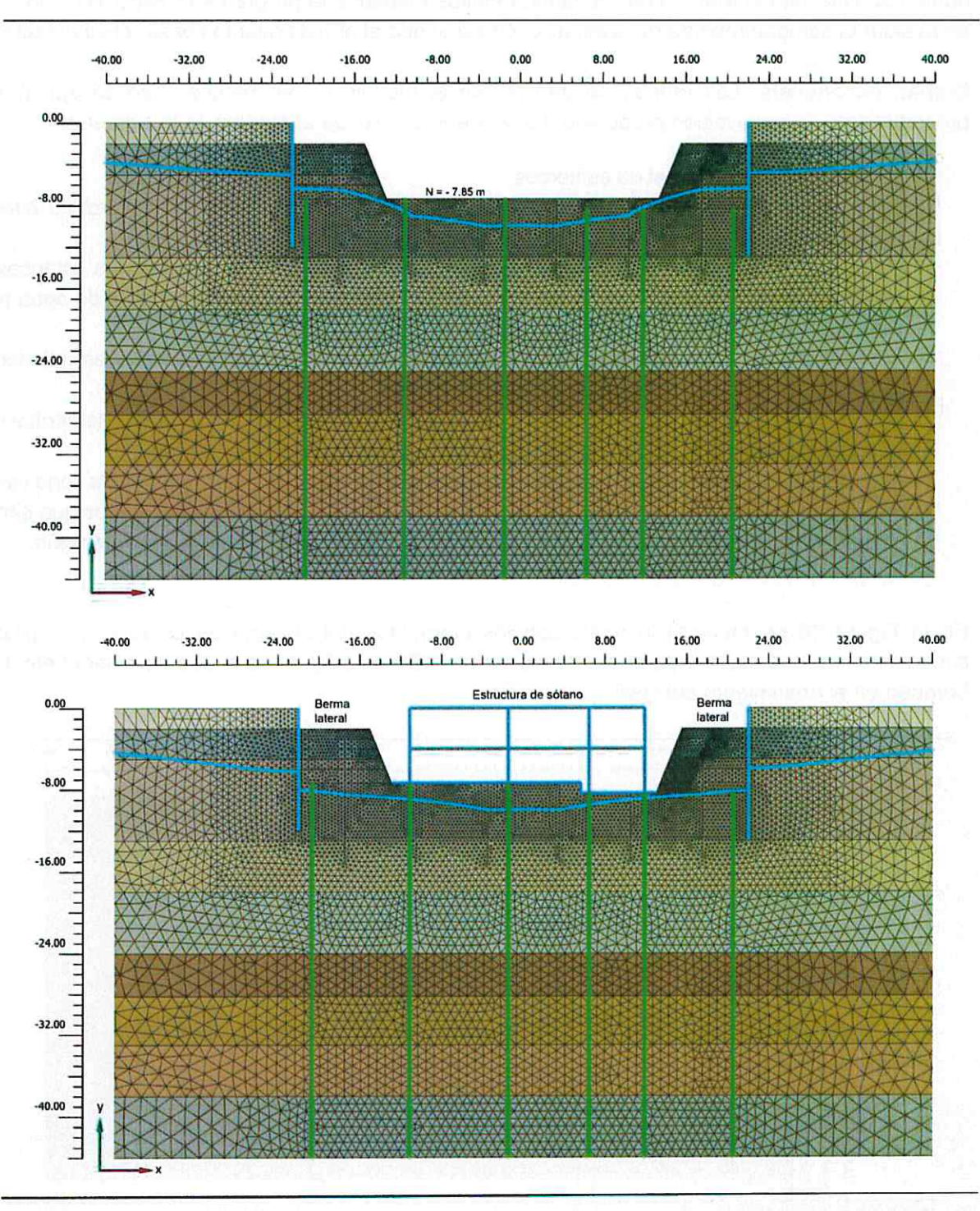


Figura 47. Malla de elementos finitos en una etapa de excavación del núcleo central

V X

#### Resultados del análisis del modelo numérico

A partir de las etapas de análisis descritas y con los parámetros geomecánicos de la Tabla 5, se realizó el cálculo en el modelo numérico para definir el comportamiento esperado de la excavación y del sistema de contención durante el proceso constructivo.

En la Figura 48 se muestran los desplazamientos verticales generados durante el proceso de excavación al alcanzar el nivel máximo de desplante. En esta figura se aprecia que, al centro de la excavación, se tiene una expansión máxima de 14.5 cm.

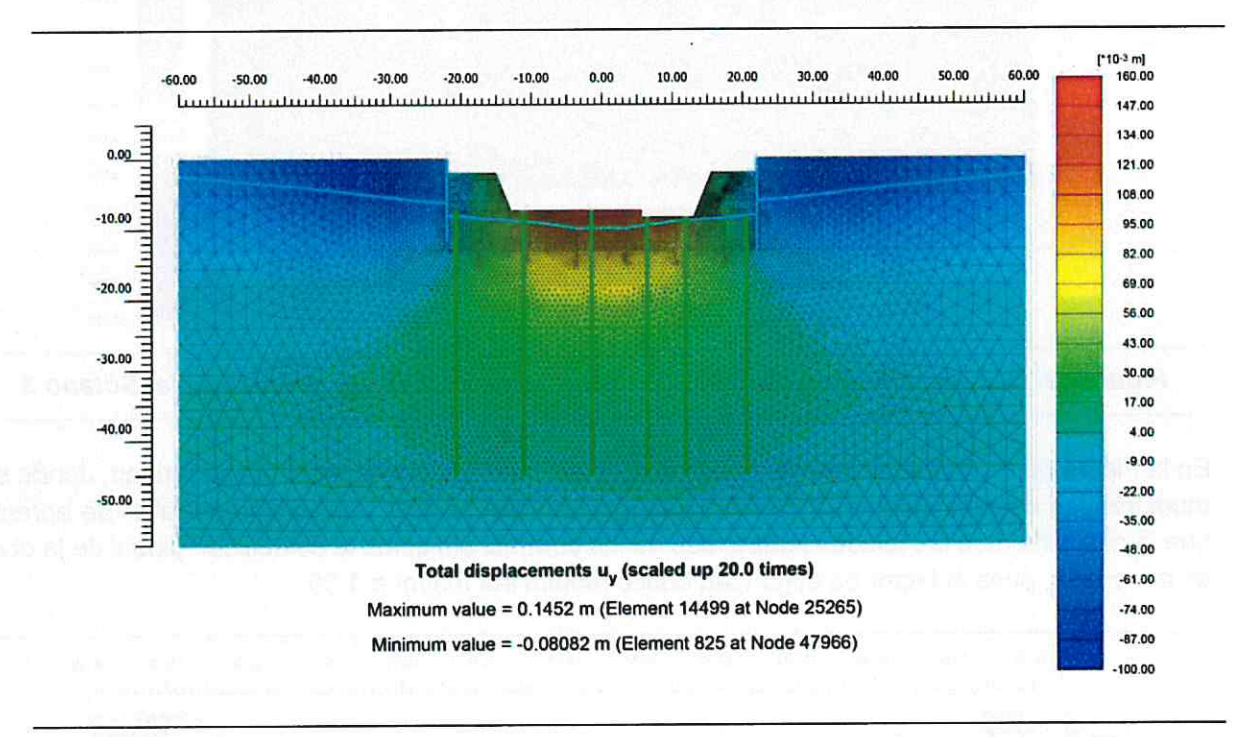


Figura 48. Desplazamientos verticales al alcanzar el nivel de desplante del Sótano 2

Se destaca que en este análisis se ha considerado el efecto del bombeo y la presencia de las pilas. Estos elementos contribuyen a la disminución de las expansiones en la excavación.

En la Figura 49 se presenta el campo de desplazamientos horizontales al término de la excavación de las bermas perimetrales. Esta etapa se considera la más desfavorable por la profundidad de la excavación y las condiciones del terreno. En esta figura se observa que en el desplante de los muros se tiene un desplazamiento hacia el interior de la excavación del orden de 10 cm; sin embargo, la estabilidad del muro está asegurada con el sistema de troquelamiento y con la construcción de la losa de fondo. Se destaca que hacia la superficie del terreno, junto a las colindancias, los desplazamientos son menores.

Se verificó también la estabilidad global del sistema principalmente en los taludes que forman las bermas considerando que la condición más desfavorable se presenta cuando se alcanza el nivel de desplante de los sótanos.

11

. . . . . .

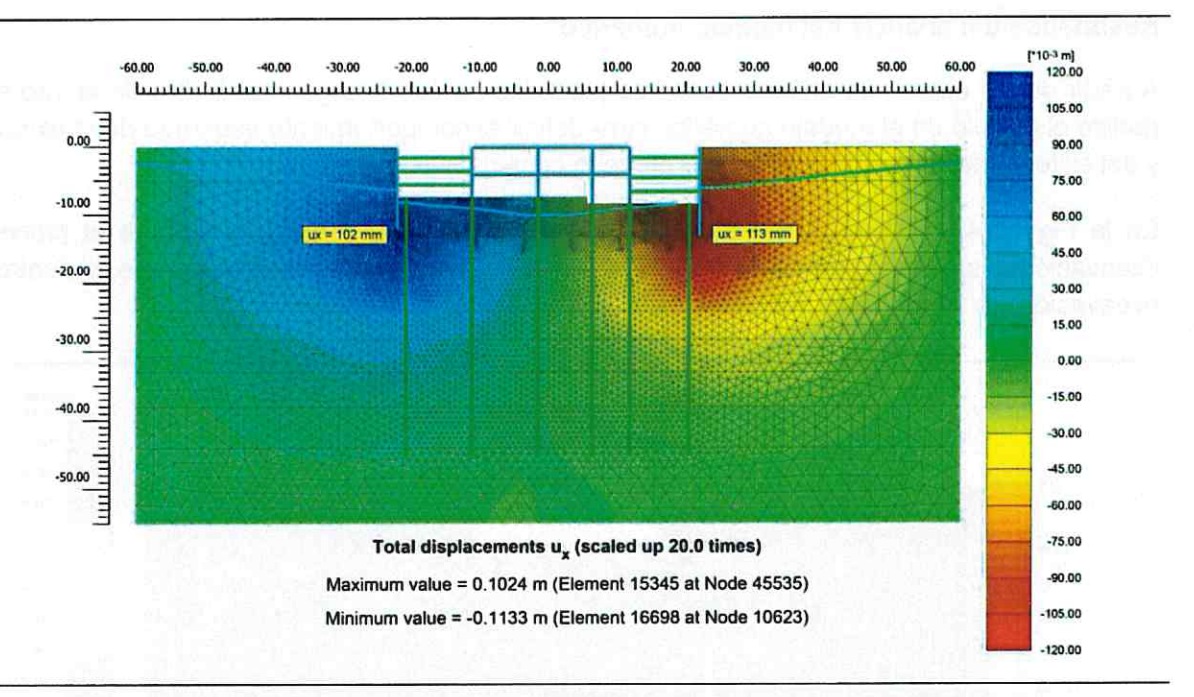


Figura 49. Desplazamientos horizontales al alcanzar el nivel de desplante del Sótano 2

En la Figura 50 se muestran los resultados obtenidos en el cálculo de factor de seguridad, donde se muestran los desplazamientos incrementales, así como el posible mecanismo de falla. Se aprecia que la estabilidad de los taludes temporales de las bermas, así como la estabilidad global de la obra es adecuada, pues el factor de seguridad crítico resulta ser mayor a 1.50.

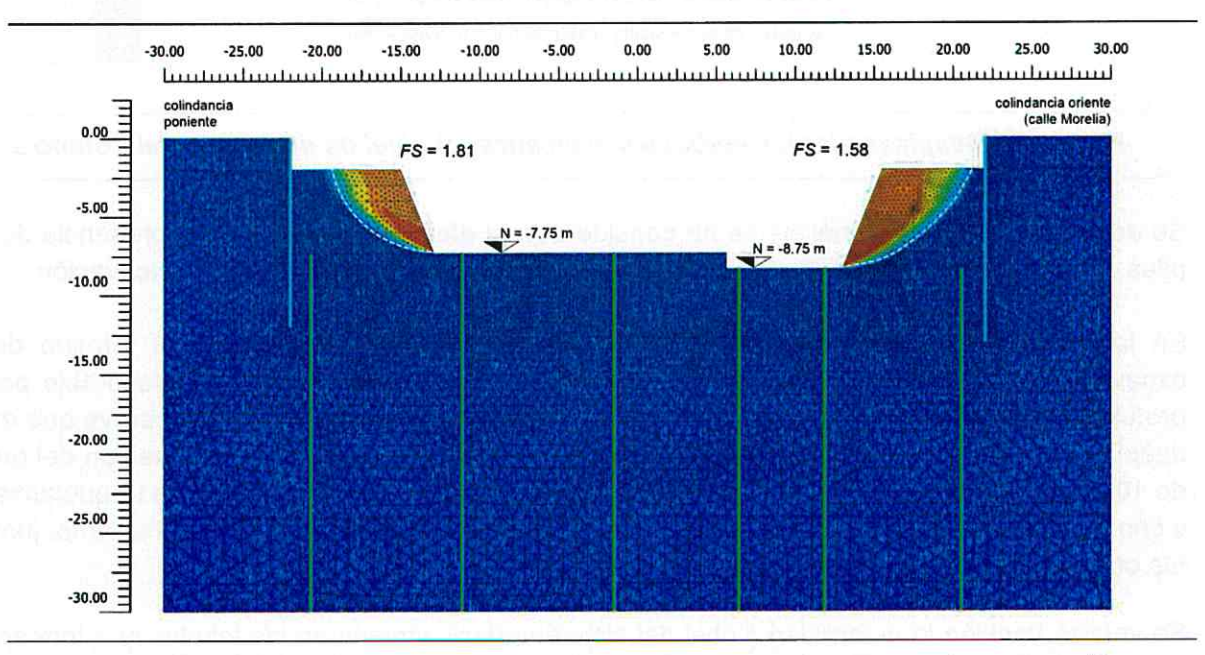


Figura 50. Cálculo del factor de seguridad al finalizar el proceso de excavación

El procedimiento constructivo para la excavación y construcción de la cimentación de la estructura se compone por las siguientes actividades generales:

- Trabajos previos a la construcción
- Construcción del muro Milán
- Construcción de pilas
- Instalación del Sistema de Bombeo
- Excavación del cajón
- Construcción de los niveles de sótano
- Suspensión del Bombeo

## 7.1 Trabajos previos a la excavación

Levantamiento notarial. Antes del inicio de cualquier actividad en el predio, es recomendable realizar un levantamiento con el acompañamiento de un Notario Público que certifique el estado físico de las estructuras vecinas. En caso de encontrar algún daño estructural (grietas, fisuras, etc.) en las colindancias, se deberán colocar testigos para monitorear su comportamiento durante la construcción del edificio proyectado. Estas acciones buscan tener un antecedente legal sobre el estado físico de las edificaciones.

**Monitoreo.** Con la finalidad de verificar el comportamiento de la excavación y construcción del edificio, se deberá implementar un programa de instrumentación. Se busca identificar posibles condiciones de inestabilidad o deformaciones inadmisibles, con objeto de tomar oportunamente las medidas necesarias que permitan garantizar las condiciones de seguridad de la obra y de las estructuras vecinas. Consistirá en la colocación de referencias topográficas en el perímetro del predio y zona de influencia de la construcción, que muestren y den seguimiento a posibles desplazamientos verticales y horizontales.

**Banco de nivel.** Se situará un banco de nivel fuera del área de influencia de la obra. Se recomienda elegir un banco fijo a una distancia de 300 m del sitio, como mínimo. Se buscará que el banco no se vea afectado por el comportamiento de estructuras cercanas.

**Puntos de control.** Durante la etapa constructiva se instalarán puntos de control en las colindancias del predio, sobre las construcciones colindantes y las banquetas localizadas en el límite del predio. Sobre cada punto se deberá llevar un control de movimientos en los ejes "x", "y" y "z". Estos puntos de control deberán incluir:

➤ Testigos superficiales. La colocación de puntos superficiales en el perímetro del predio y en la banqueta. Consisten en líneas de colimación paralelas a los ejes de la excavación, que se / observan con un tránsito para detectar los posibles desplazamientos horizontales, mientras que con un nivel óptico y estadales se determinan los desplazamientos verticales. Los testigos superficiales que se instalarán en las banquetas para el control de movimientos horizontales y \

03\_174

verticales, consisten en un tornillo de cabeza esférica empotrado, con una línea grabada en dirección perpendicular a la ranura, que sirve como guía para colocar una regla metálica de medición. Los detalles de estos testigos superficiales se muestran en la Figura 51. Estos testigos se colocarán también en la trabe de coronamiento del muro Milán.

- Testigos en muros. Situar marcas de nivelación en los muros de las edificaciones aledañas al predio y sobre la banqueta. Estos testigos estarán preferentemente separados a cada 5.0 m, como máximo. La configuración que presentan estos testigos se indica en la Figura 51.
- Plomadas. Colocar plomos en las esquinas de todos los cuerpos de las estructuras colindantes para verificar la evolución de los desplazamientos durante la construcción.
- Inclinómetros. Instalación de inclinómetros en el muro Milán para monitorear posibles movimientos horizontales durante la excavación. Se recomienda instalar al menos un dispositivo en el panel central del muro Milán coincidente con cada uno de los cuerpos de las estructuras colindantes. Actualmente existen en el mercado dispositivos de diferentes características que permiten medir los desplazamientos horizontales; sin embargo, con cualquiera de ellos se deberá garantizar la medición confiable de las deformaciones horizontales en toda la profundidad de los paneles seleccionados del muro Milán.
- Testigos en fisuras y grietas. Colocación de testigos en elementos estructurales de las edificaciones vecinas en aquellos puntos en los que se haya identificado algún agrietamiento previo por daño estructural. Los testigos serán de yeso y permitirán monitorear el desarrollo de grietas y fisuras. En aquellos que presenten movimiento, se colocarán pares de reglas graduadas que ayuden a cuantificar el nivel de desplazamiento generado.

Seguimiento. La frecuencia de lecturas de medición en los puntos de control será de la siguiente manera:

- > Se deberá realizar una nivelación inicial en todos los testigos instalados dos semanas antes de realizar cualquier actividad.
- > La frecuencia de toma de lecturas deberá realizarse tres veces por semana durante la etapa de excavación.
- Concluida la excavación se realizará una medición por semana hasta el término de la construcción.
- Posterior a la construcción se realizará una medición al mes durante doce meses.
- Las mediciones posteriores serán cada seis meses durante los siguientes cinco años.
- ➤ De acuerdo con las NTC-DCC (2017), se realizará por lo menos una medición cada cinco años o cada vez que se detecte algún cambio en el comportamiento de la cimentación, particularmente a raíz de un sismo.

La frecuencia de las lecturas podrá modificarse a juicio de la supervisión, dependiendo de la magnitud de los movimientos medidos y del comportamiento de las excavaciones. Las mediciones tendrán como referencia el banco de nivel alejado del área de construcción y deberán estar disponibles como máximo al día siguiente de su levantamiento.

Grietas y fisuras en banquetas y vialidades. En caso de identificar agrietamientos o fisuras en la banqueta o en la vialidad, se avisará a la supervisión geotécnica y, después de su inspección, se procederá a su sellado para evitar la posible infiltración de agua de lluvia.

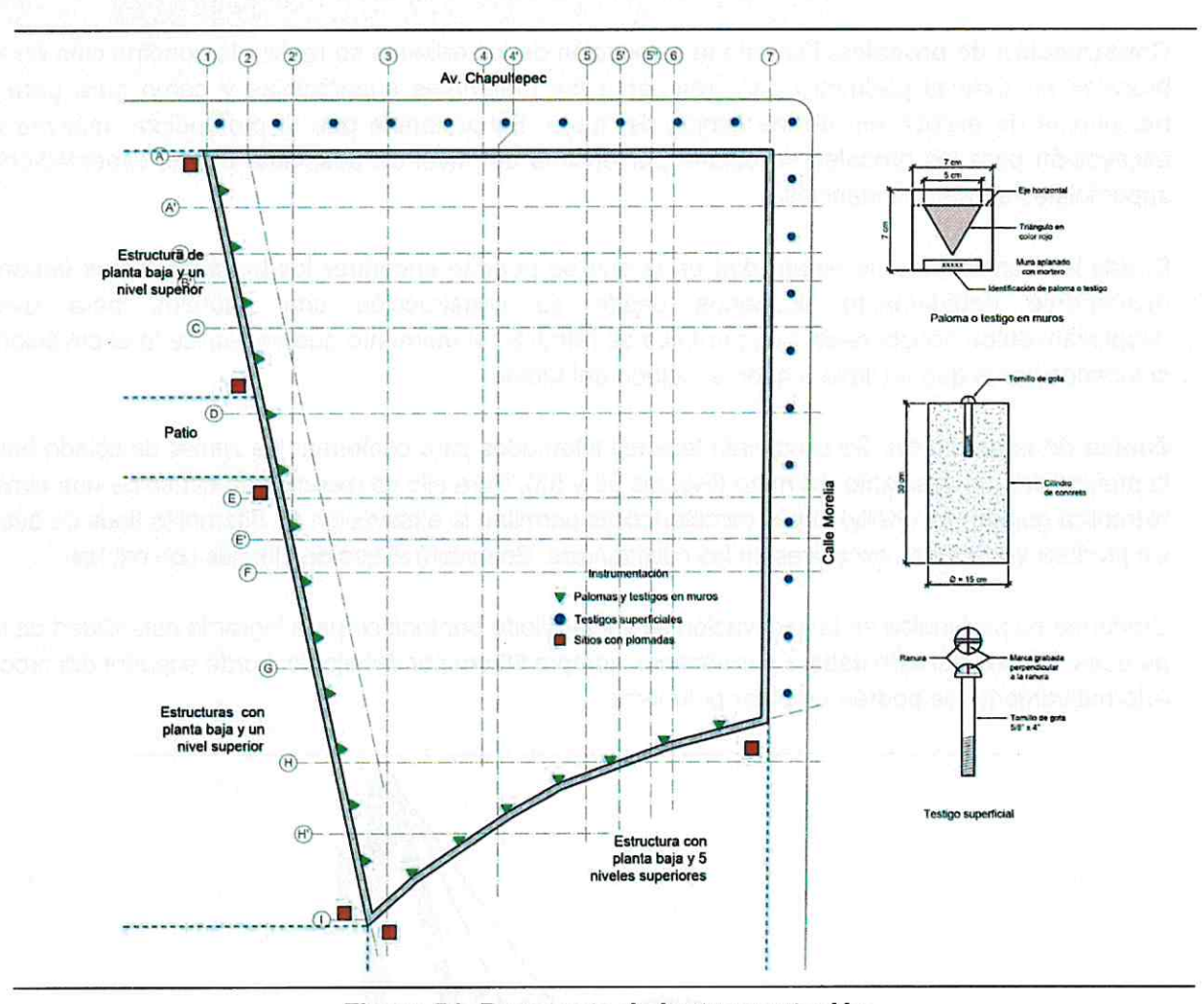


Figura 51. Propuesta de instrumentación

**Demolición.** Consiste en la limpieza total del predio efectuando la demolición de las edificaciones existentes en el sitio y la cimentación de las mismas. Al terminar estos trabajos se procederá a la identificación, retiro, protección y/o reubicación de instalaciones subterráneas en el predio. Los trabajos de demolición se realizarán empleando equipo ligero que no genere vibraciones inadmisibles en las estructuras colindantes. Adicionalmente el retiro de los bloques demolidos se ejecutará sin generar derrumbes locales que produzcan impactos que afecten a las construcciones cercanas.

Trazo y nivelación. Una vez demolida la estructura existente y después de retirar por completo el escombro, se realizará el trazo de los ejes del edificio en la superficie del predio, delimitando el área de excavación y construcción de la estructura subterránea. También se realizará el trazo de los tableros del Muro Milán, así como la ubicación de los pozos de bombeo.

#### 7.2 Construcción del muro Milán

M

Ubicación. Se efectuará la localización y trazado del perímetro del sótano con topografía.

Construcción de brocales. Durante la colocación de los rellenos se realiza la construcción de los brocales en todo el perímetro para retener a los materiales superficiales y como guía para la maquinaria de excavación de las zanjas del muro. Es preferible que la profundidad máxima de excavación para los brocales se ubique por encima del nivel de desplante de las cimentaciones superficiales de las colindancias.

Dadas las condiciones de estabilidad en la que se pueden encontrar los brocales, estos deberán mantenerse debidamente acuñados desde su construcción con puntales para evitar desplazamientos horizontales. Los puntales se retirarán al momento que se realice la excavación y colocarlos hasta que se lleve a cabo el colado del tablero.

Zanjas de excavación. Se excavarán tableros alternados para conformar las zanjas de colado hasta la profundidad de desplante del muro (Figuras 52 y 53). Para ello se recomienda el uso de una almeja hidráulica guiada (con Kelly) cuyas características permitan la excavación en diferentes tipos de suelo, sin producir vibraciones excesivas en las colindancias. Se evitará el uso de almejas con cables.

Conforme se profundice en la excavación se vaciará lodo bentonítico para lograr la estabilidad de las paredes. El nivel del lodo deberá permanecer siempre 50 cm por debajo del borde superior del brocal. Alternativamente se podrán emplear polímeros.

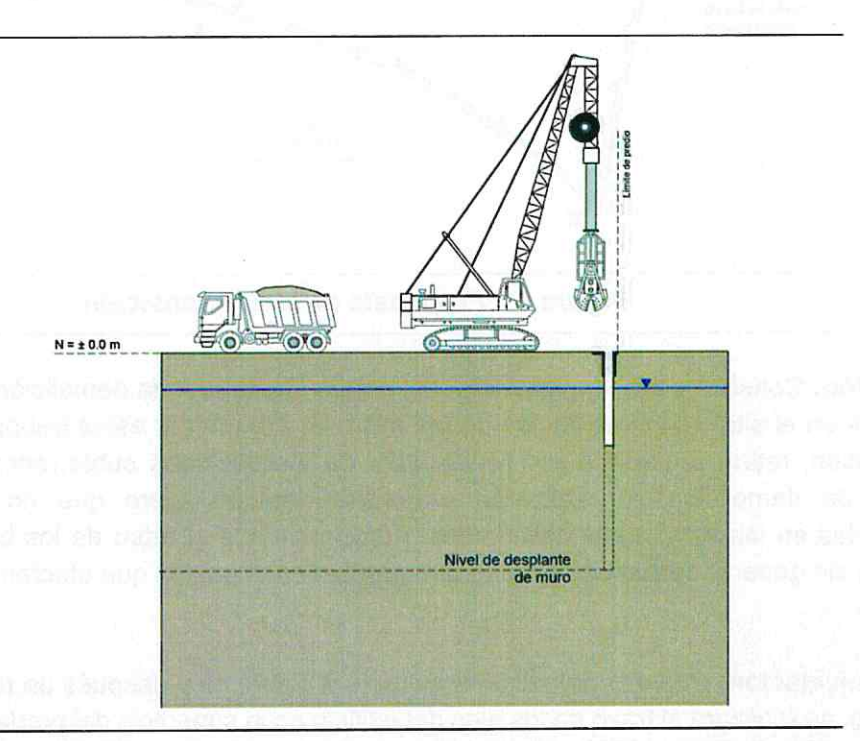


Figura 52. Excavación y construcción del Muro Milán perimetral

Verticalidad y alineamiento. Se deberá supervisar que durante todo el procedimiento constructivo se cumpla con la verticalidad y el alineamiento de la excavación. Se garantizará también que las paredes de la zanja no presenten caídos que perjudiquen el trabajo geotécnico y acabado aparente del muro.

Preparación para el colado del panel de muro. Una vez concluida la zanja se limpiará el fondo de azolves, se verificará la profundidad, se introducirán las juntas metálicas para confinar los extremos verticales de los paneles con la finalidad de adaptar la superficie para el machimbrado entre paneles que permita la continuidad estructural del muro Milán.

Se deberá colocar una pantalla que permita aislar el muro Milán con la cimentación de las estructuras en las colindancias sur y poniente, y con las banquetas de las colindancias oriente y norte. Esta pantalla propiciará el trabajo independiente entre cimentaciones, atenuando los daños que se puedan generar por la aparente emersión del edificio a largo plazo, producido por el hundimiento regional y el sistema de cimentación adoptado. La pantalla se colocará en todo el perímetro exterior de la zanja del muro Milán desde la superficie hasta al menos 4.0 m de profundidad.

Colocación del armado de refuerzo. Se colocará en la zanja la parrilla de refuerzo previamente habilitada, como lo indique el proyecto estructural. Para garantizar el recubrimiento, se colocarán separadores o rodamientos de concreto que se fijarán en los dos lechos de la parrilla.

El izaje de la parrilla de refuerzo y su colocación dentro de la zanja se realizará vigilando la verticalidad, alineamiento y profundidad.

Colado de los paneles del muro. Posteriormente se realizará el colado del tablero utilizando tubería tremie con diámetro de 12" y el vaciado del concreto se iniciará hasta 20 cm por encima del fondo de la zanja.

El colado del concreto en la zanja deberá ser de manera continua para evitar tiempos de espera prolongados que ocasionen que la tubería se obstruya o que, debido al fraguado inicial del concreto, se generen juntas frías en el panel del muro.

Es importante que el colado de los paneles del muro se realice dentro de las 24 horas siguientes a la finalización de la excavación de la zanja, la que deberá permanecer estabilizada con lodo bentonítico en ese periodo de tiempo. El concreto deberá tener un revenimiento de 22 cm o contener aditivos fluidificantes. La resistencia nominal del concreto a compresión  $(f'_c)$  será la que indique el proyecto estructural, pero no podrá ser menor a 300 kg/cm².

Es recomendable colocar tubos de PVC longitudinales de 2.5" de diámetro para ejecutar pruebas posteriores de integridad, mediante ensayes de Cross Hole Ultrasónicos que permitan verificar la calidad del muro Milán.

Trabe de coronamiento. Con la finalidad de ligar los paneles del muro Milán en la parte superior y para garantizar la continuidad estructural, se deberá construir una trabe de coronamiento o de liga

97-174

de concreto reforzado en todo el perímetro del muro. Las dimensiones y refuerzo de este elemento serán definidos por el encargado del proyecto estructural.

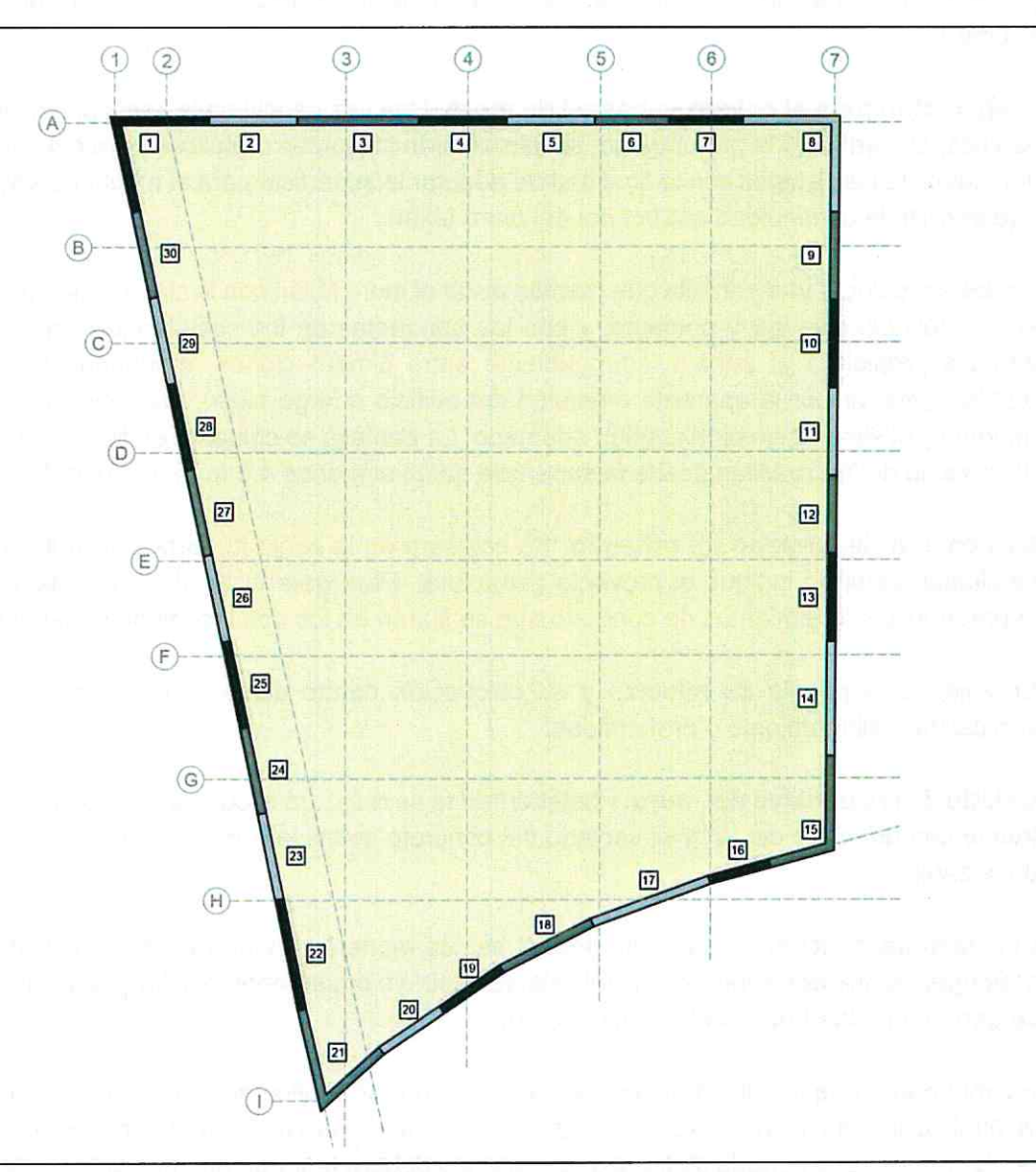


Figura 53. Ubicación de paneles de muro Milán

# 7.3 Construcción de pilas de cimentación

La construcción de las pilas se llevará a cabo al concluir la construcción del muro Milán y previo a la perforación de los pozos de bombeo.

**Ubicación y construcción de brocales.** Se efectuará la localización de las pilas de cimentación con equipo topográfico y, preferentemente, se construirán brocales como guía a la perforación.

**Perforación.** Una vez ubicada topográficamente la posición del eje de las pilas se procederá a realizar la perforación hasta 45.0 m de profundidad, desde el nivel de terreno conformado (ver Figura 53). En todo el proceso, la perforación se llevará a cabo con lodo bentonítico para estabilizar las paredes. Alternativamente se podrán emplear polímeros. Es fundamental que la supervisión geotécnica verifique la profundidad de perforación que alcance la unidad estratigráfica correcta para el desplante de las pilas. Adicionalmente, se verificará que la posición de las pilas no difiera con respecto a la de proyecto en más del 10% de su diámetro.

Supervisión y limpieza de la perforación. Se deberá supervisar que durante el proceso constructivo se cumpla con la verticalidad y el alineamiento de la perforación.

Una vez alcanzada la profundidad de proyecto, se verificará con plomada que se haya alcanzado el nivel de desplante de la pila. Además, se verificará la verticalidad de la perforación cuya tolerancia será ente 1 y 2% de la longitud de la pila, sin ser mayor al 12.5% del diámetro del elemento o a 38 mm

Posteriormente se realizará una limpieza total del fondo de la perforación, garantizando que ha quedado libre de azolves.

Colocación del armado. Al concluir la perforación y verificada la profundidad del desplante y verticalidad de la pila, se procederá a colocar el acero de refuerzo previamente habilitado, como lo establece el proyecto estructural. Para garantizar el recubrimiento del refuerzo de la pila se deberán colocar separadores de concreto o plástico en forma de dona cuyos ejes de giro deberán ser los estribos o zunchos del armado. En la Figura 53, se muestra el esquema constructivo de las pilas de cimentación.

El armado se deberá rigidizar para evitar que sufra deformaciones durante las maniobras de izado que puedan dificultar la colocación dentro de la perforación. Con el fin de realizar la liga estructural entre pila y contratrabe o dado, se recomienda que el armado se extienda por lo menos 50 cm adicionales considerando el sobrecolado o la que indique el proyecto estructural.

Es recomendable colocar tubos de PVC cédula 80 longitudinales de 2.5" de diámetro para ejecutar pruebas posteriores de integridad, mediante ensayes de Cross Hole Ultrasónicos que permitan verificar la calidad en el concreto de las pilas. Atendiendo las indicaciones de la ASTM D6760-08, para el diámetro de las pilas proyectadas, se deberán colocar al menos cuatro tubos dispuestos según el esquema mostrado en la Figura 53. Se destaca que, por el tipo de estructura proyectada (Grupo B1) y zona geotécnica (III), se deberán ejecutar pruebas de integridad en el 75% de las pilas construidas. Aquellas pilas detectadas con anomalías deberán ser corregidas o sustituidas.

Colado del concreto de las pilas. El colado de la pila se realizará utilizando tubería tremie con diámetro de 12" y el vaciado del concreto se iniciará hasta 20 cm por encima del fondo de la perforación, garantizando que en todo momento la tubería se encuentre embebida en el concreto al menos 1.0 m.

El revenimiento del concreto será de 22 cm o el que indique el proyecto estructural, asegurando que su trabajabilidad y consistencia garanticen la integridad de las pilas en toda su longitud.

99-17

El colado del concreto en la perforación deberá ser de manera continua para evitar tiempos de espera prolongados que ocasionen obstrucción de la tubería, o que debido al fraguado inicial del concreto se generen juntas frías en la pila. El colado de concreto deberá llevarse al menos 90% del diámetro de la pila por encima del lecho inferior de las contratrabes/dados o del nivel tope de pila indicado en el proyecto.

Es importante que la colocación del armado y el colado de la pila se lleven a cabo dentro de las siguientes 24 horas después de haber concluido la perforación, la que deberá permanecer estabilizada con lodo bentonítico, o polímero, en ese periodo de tiempo. Previo a la colocación del armado y colado, se realizará una nueva limpieza del fondo de la perforación, garantizando la eliminación de azolves.

Una vez concluido el colado de concreto de la pila hasta el nivel requerido, se procederá a colar una mezcla de mortero de cemento-bentonita en el resto de la perforación hasta el nivel del terreno o relleno colocado, para dar estabilidad al terreno circundante. En la Figura 54, se muestra el esquema constructivo de las pilas de cimentación.

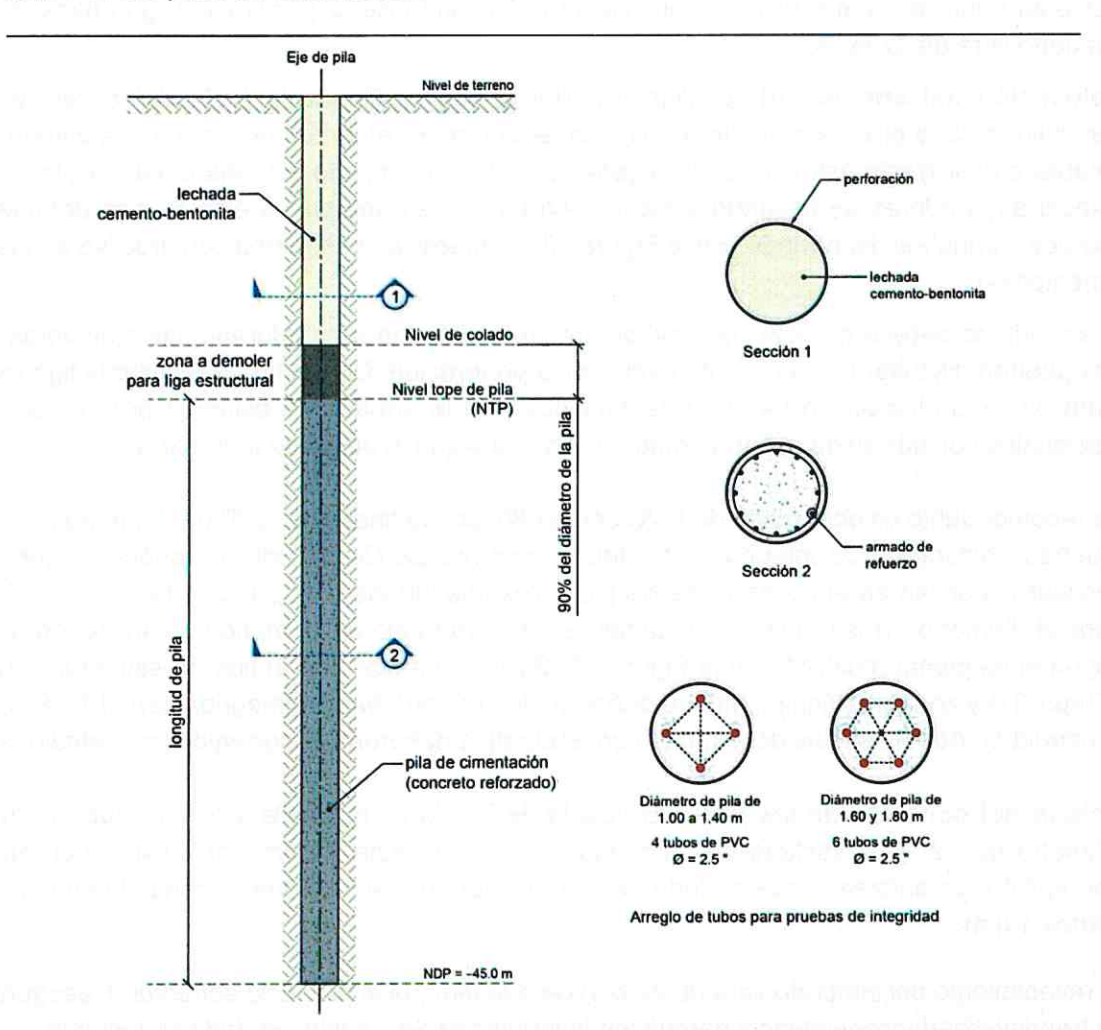


Figura 54. Configuración de pilas de cimentación

#### 7.4 Lodo bentonítico

El lodo para la perforación estará compuesto por 60 kg de bentonita por cada metro cúbico de agua, garantizando que la mezcla tenga una viscosidad Marsh entre 30 y 55 s dependiendo del comportamiento de la perforación de pilas o excavación de las zanjas para los paneles del muro. Adicionalmente, la mezcla deberá tener un PH entre 7 y 10 y se evitará el uso de lodos con contenidos de arena superiores al 3%.

En el sitio de proyecto se deberán tener las instalaciones adecuadas para la preparación del lodo, esta se llevará a cabo en un tanque haciendo uso de bombas que hagan circular la mezcla para garantizar su homogeneidad y correcta hidratación de la bentonita. El lodo bentonítico deberá tener un reposo de por lo menos 24 horas previas a su uso. La filtración de agua del lodo no será mayor a 20 cm³ y la costra que se forme no podrá ser menor a 5 mm.

Es importante que el lodo bentonítico, por ningún motivo, sea vertido en el drenaje urbano y para ello se deberá destinar un área dentro de la obra para su recolección. A juicio del contratista y para evitar la contaminación con bentonita, esta podrá sustituirse por polímeros.

#### 7.5 Instalación del sistema de bombeo

Una vez concluida la construcción de las pilas de cimentación, se instalará el sistema de bombeo. Consiste en la colocación de 40 pozos equipados con puntas eyectoras (Figuras 55 y 56). Para ello se realizarán perforaciones de 10" de diámetro con máquina rotatoria hasta una profundidad de 14.0 m.

Es conveniente realizar una prueba de bombeo antes de instalar el sistema completo. El interés es detallar las características y equipos más eficientes para el abatimiento del agua.

Las bombas podrán ser de cualquier marca, según convenga al contratista, pero deberán tener una potencia de 15 HP con una capacidad de operar del orden de 12 pozos de bombeo.

**Ubicación.** Se deberá verificar con los planos de proyecto que los pozos no interfieran con elementos estructurales, tales como muros, trabes, columnas o contratrabes. Si ocurre una interferencia, se podrán reubicar los pozos procurando que estos queden lo más cerca posible de la posición en que se han propuesto.

**Instalación de pozos**. Después de lavar el pozo se instalarán un ademe con tubería de PVC de 4" con tapa en el fondo y ranuras de 1 mm a cada 10 mm, envuelto con malla de mosquitero. El espacio entre el ademe y la perforación se rellenará con gravilla de diámetro de 1/4 a 3/8".

Abatimiento del nivel freático. El sistema de bombeo tiene por objeto abatir el nivel freático al menos a una profundidad de 1.0 m por debajo del nivel máximo de excavación del Sótano 2 (-8.75 m). Por ello, la potencia y características de las bombas deberán garantizar el abatimiento indicado. Para verificar esta condición se instalarán cuatro tubos de observación que permitan identificar la efectividad del abatimiento (ver Figura 56).

El abatimiento del NAF se llevará a cabo de manera progresiva a medida que avance la excavación del sótano y la zona de cisternas. Es conveniente activar los pozos perimetrales hasta iniciar la última etapa de excavación, con objeto de evitar asentamientos de las estructuras colindantes.

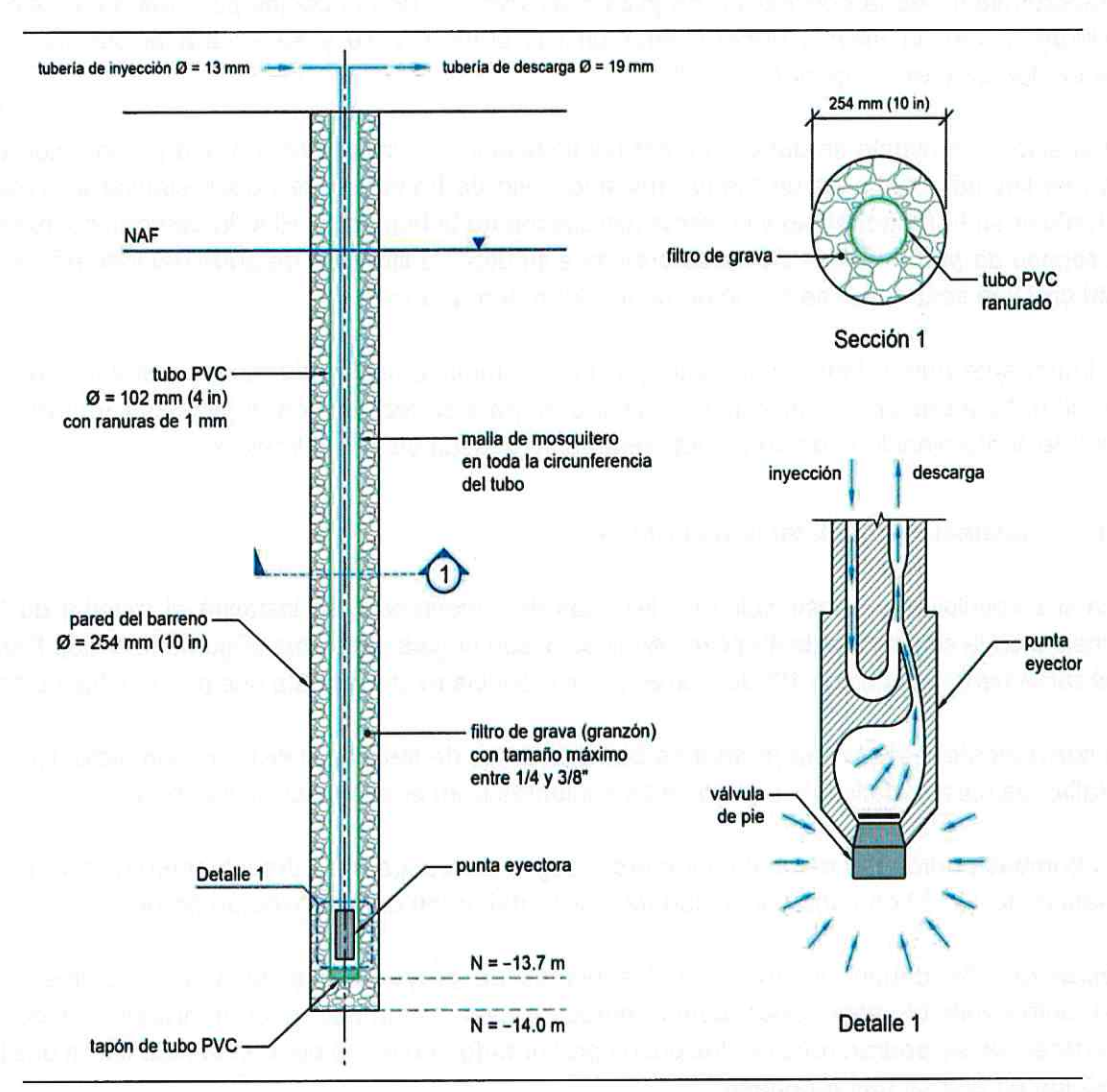


Figura 55. Detalle de instalación de pozo de bombeo

En caso de ser necesario, para alcanzar la profundidad máxima de excavación en la zona de cisternas y cuarto de máquinas, se tendrá disponible el equipo necesario para realizar un bombeo de achique. Para ello, se preverá la eventual construcción de cárcamos de captación que permitan la excavación en esta zona en condiciones estancas hasta llegar al nivel máximo de excavación.

Puesta en operación. La extracción de agua deberá comenzar una vez que inicien los trabajos de excavación para alcanzar el desplante de la losa del sótano, buscando que estas actividades se lleven a cabo en condiciones secas. A partir de ese momento, el sistema operará de manera continua durante las Ahoras del día.

A partir de ese momento, el sistema operará de manera continua durante las 24 horas del día. Por ello, se deberá de contar con dos acometidas eléctricas de 220 volts cada una con sus respectivos tableros de conexión. En caso de falla en el suministro eléctrico, se deberá considerar la implementación en obra de una planta de emergencia, conectada a cada uno de los sistemas de bombeo. La capacidad de la planta estará en función del número de pozos.

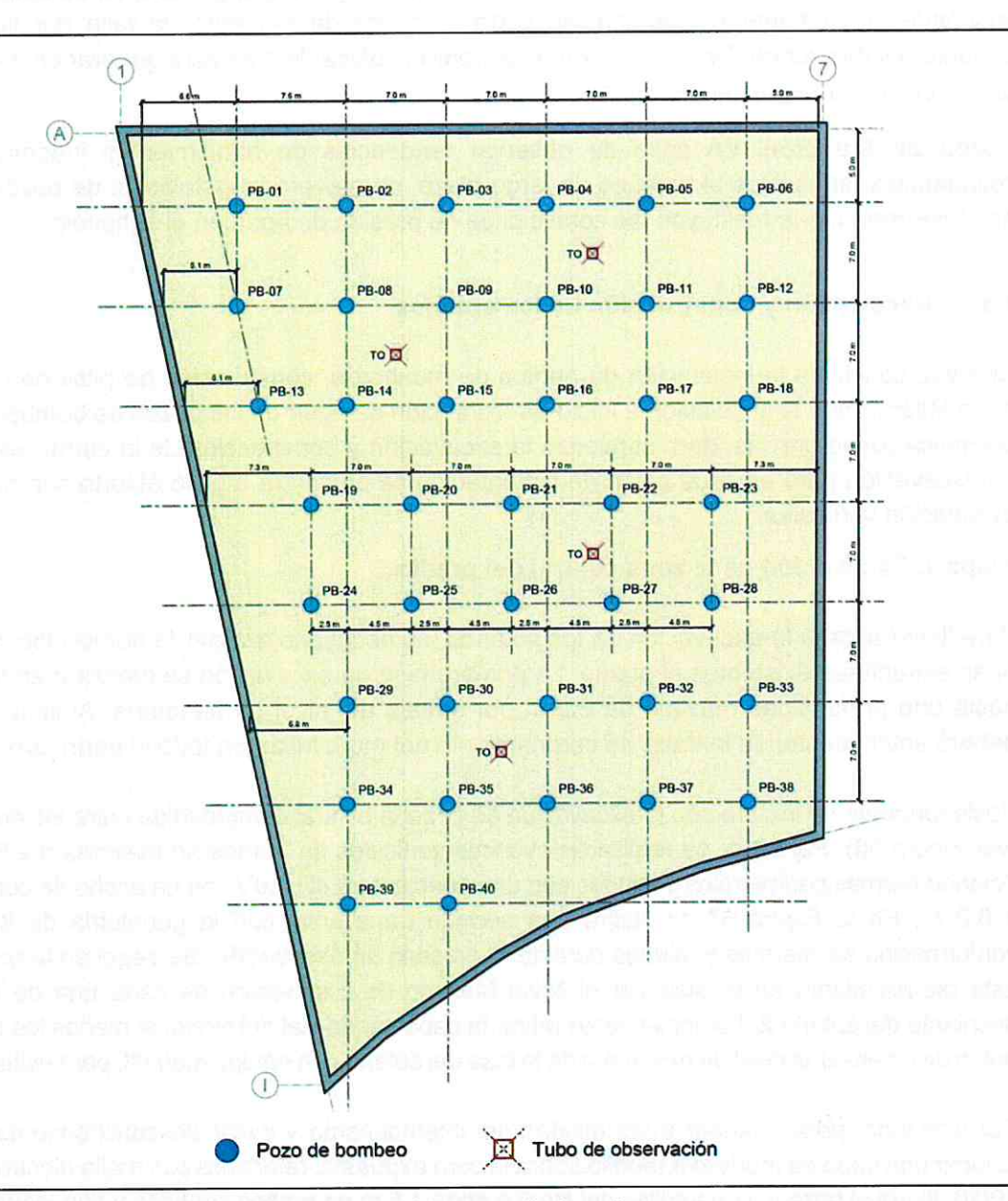


Figura 56. Sistema de bombeo

En las colindancias del predio se instalará una tubería de fierro o PVC de 10" de diámetro cédula 30 o 40 con extremos roscables para acoplarse. Esta tubería contará con conexiones laterales (codos de 45 grados y coples de 2" de diámetro), los necesarios para conectar cada una de las tuberías de

descarga provenientes de cada pozo. Esta línea general de captación de aguas freáticas descargará al drenaje municipal, la que debe ser accesible para poder medir los gastos.

El bombeo se suspenderá hasta que el peso de la construcción exceda a la presión de agua que actúa en las losas de fondo. Esta condición deberá ser verificada por el área de estructuras. Si se suspende previamente el bombeo, se corre el riesgo de presentar la falla por flotación de la estructura subterránea. De ser necesario, se podrán colocar lastres para generar en esfuerzo mayor al producido por la presión de agua.

**Pozos de filtración.** En caso de observar tendencias de hundimientos inadmisibles en las colindancias, atribuibles al bombeo de largo plazo, se preverá la instalación de pozos de filtración en el perímetro, que restituyan las condiciones de presión de agua en el subsuelo.

### 7.6 Excavación y construcción de los sótanos

Una vez concluida la instalación de puntos de monitoreo, construcción de pilas de cimentación y muro Milán y, con la instalación e inicio de extracción de agua de los pozos de bombeo, atendiendo las indicaciones previas, dará comienzo la excavación y construcción de la estructura de sótanos. La excavación para alojar al cajón de cimentación se efectuará a cielo abierto con dos niveles de excavación verticales.

### Etapa 1. Excavación de la zona central del predio

Para llevar a cabo la excavación de los sótanos, es necesario realizar la demolición de las losas y otras estructuras existentes el predio. La primera fase de excavación se realizará en todo el predio hasta una profundidad máxima de 2.0 m por debajo del nivel de banqueta. Al llegar a este nivel deberá estar construida la trabe de coronamiento del muro Milán en todo el perímetro del predio.

Posteriormente se iniciará con la excavación de la zona central comprendida entre los ejes 3-6 y B-G (ver Figura 56). Para ello, se realizarán avances verticales en tramos no mayores a 2.5 m de altura, dejando bermas perimetrales y taludes con una pendiente 0.4H:1.0V con un ancho de corona entre 5.0 y 6.0 m. En la Figura 57 se ilustra una sección transversal con la geometría de los avances y conformación de mermas y taludes durante el proceso de excavación. Se seguirán la excavación con este procedimiento hasta alcanzar el Nivel Máximo de Excavación de cada una de las zonas de desplante del sótano 2. Es conveniente retirar la capa superficial del suelo, al menos los últimos 30 cm antes de alcanzar el nivel de desplante de la losa del sótano con equipo manual, para evitar el remoldeo.

Por otro lado, para proteger a los taludes del intemperismo y evitar desconchamientos, se deberá colocar una capa de mortero a repello sobre la cara expuesta, reforzada con malla electrosoldada 6×6-10/10, fijada al terreno con varillas del No.6 a cada 1.5 m en ambos sentidos y con longitud de 1.5 m.

Conforme se alcancen los distintos niveles de desplante de cada zona, se habilitará el acero de refuerzo, ligado al acero estructural de las pilas y contratrabes, y se realizará el colado de las losas de fondo de acuerdo con lo indicado en el proyecto estructural.

104-174

# Etapa 2. Construcción de la estructura de sótano en la zona central

Una vez construida la losa de fondo se procederá con la construcción de la estructura de sótanos de manera ascendente en la zona central entre los ejes antes mencionados. Al concluir la construcción de la estructura hasta la planta baja se continuará con la excavación de las bermas perimetrales (Etapa 3).

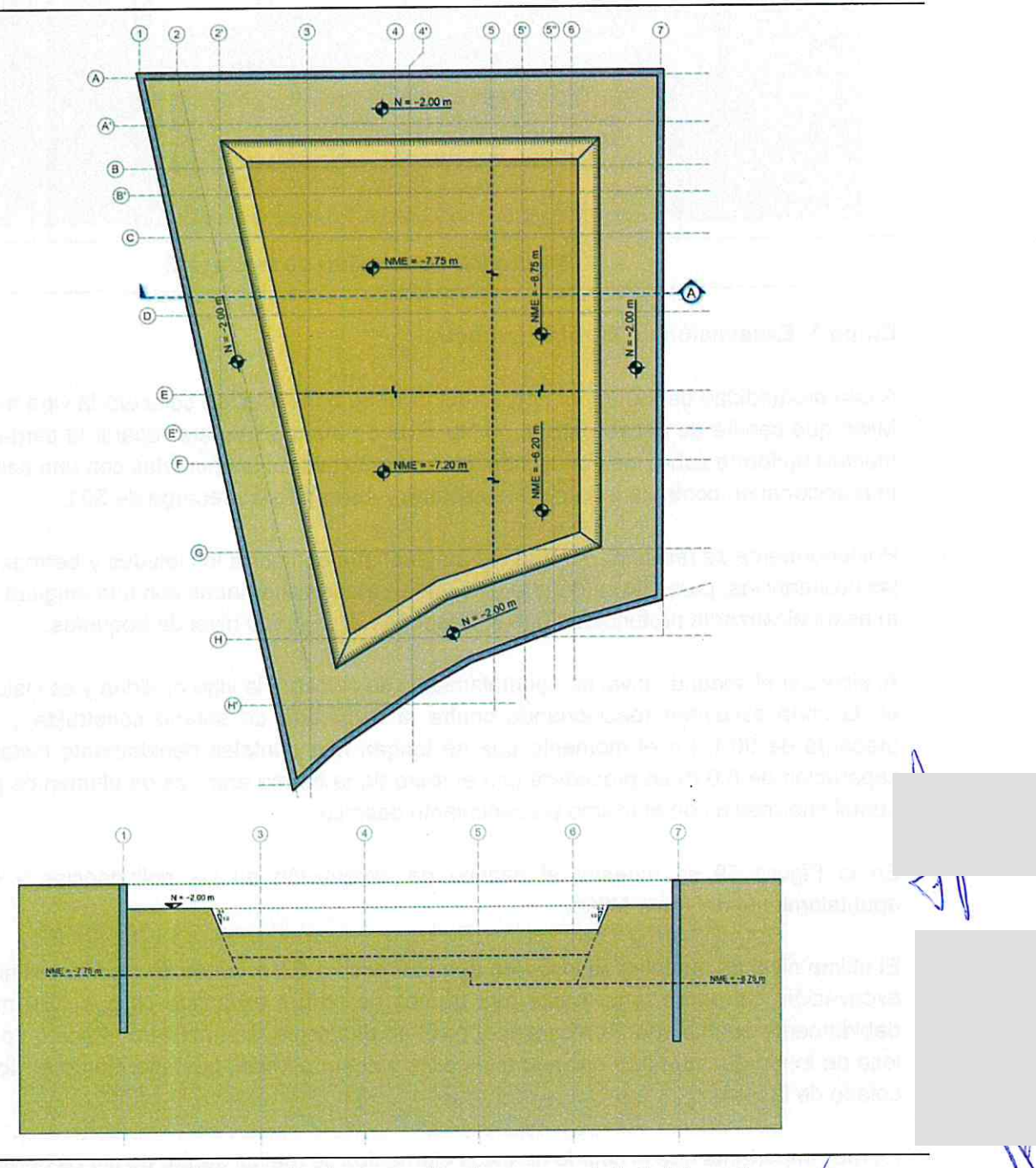


Figura 57. Vista en planta y sección transversal de la Etapa 1

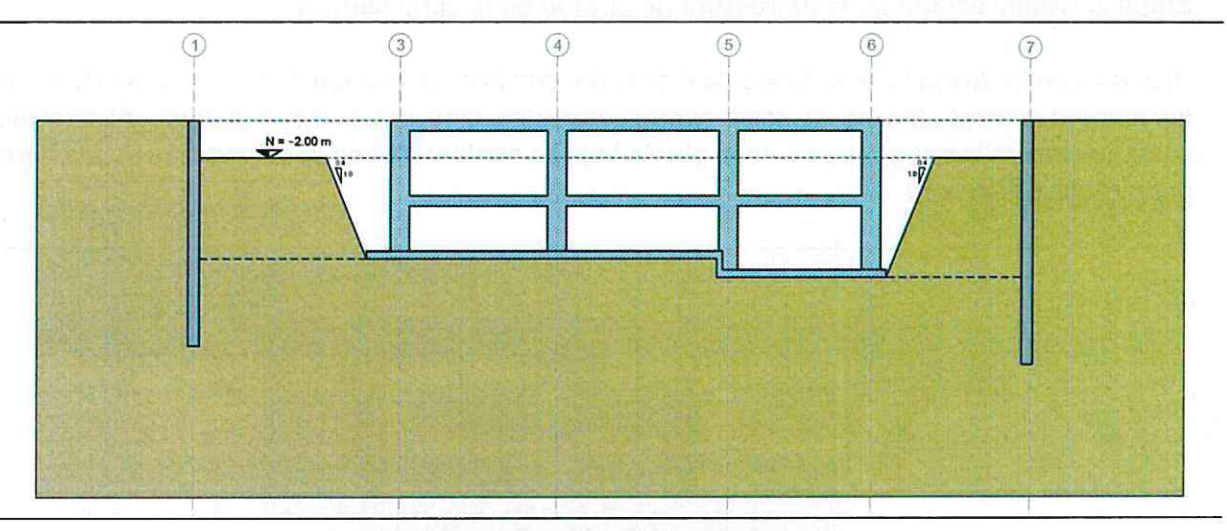


Figura 58. Conclusión de la Etapa 2

### Etapa 3. Excavación de la zona perimetral

A una profundidad de 2.0 m por debajo del nivel de banqueta, se colocará la viga madrina sobre el Milán que servirá de apoyo para el primer nivel de puntales y para repartir la carga de soporte de manera uniforme sobre los paneles del muro. Se instalarán los puntales con una separación de 4.0 m reaccionando contra la estructura de sótano y aplicando la precarga de 50 t.

Posteriormente se realizará el retiro del material que conforma los taludes y bermas temporales en las colindancias, para ello se deberá excavar en tramos alternados con una longitud máxima de 4.0 m hasta alcanzar la profundidad que corresponde al segundo nivel de troqueles.

Al alcanzar el segundo nivel de apuntalamiento se colocará la viga madrina y se instalarán el puntal en la zona excavada reaccionando contra la estructura de sótano construida y aplicando una precarga de 90 t. En el momento que se tengan dos puntales debidamente instalados con una separación de 8.0 m se procederá con el retiro de la berma entre estos elementos para colocar el puntal intermedio con el mismo procedimiento descrito.

En la Figura 59 se muestra el avance de excavación en las colindancias y el sistema de apuntalamiento del muro Milán.

El último nivel de puntales se instalará generalmente a 2.0 m antes de alcanzar el nivel máximo de excavación. Se podrá tener hasta tres tramos de berma excavada ( $L_{máx}$ = 12.0 m) con el muro debidamente apuntalado. Al alcanzar el nivel de desplante, se habilitará el acero de refuerzo de la losa de fondo que quedará anclado a las pilas y al muro Milán, posteriormente se llevará a cabo el colado de la losa.

Es muy importante que el colado de estos elementos se realice dentro de las 24 horas siguientes de la colocación del armado de refuerzo y por ningún motivo se permitirá que permanezca un tramo sin

colar por más de cinco días pues, esto provoca que los factores de seguridad de la excavación disminuyan poniendo en riesgo la estabilidad de la obra.

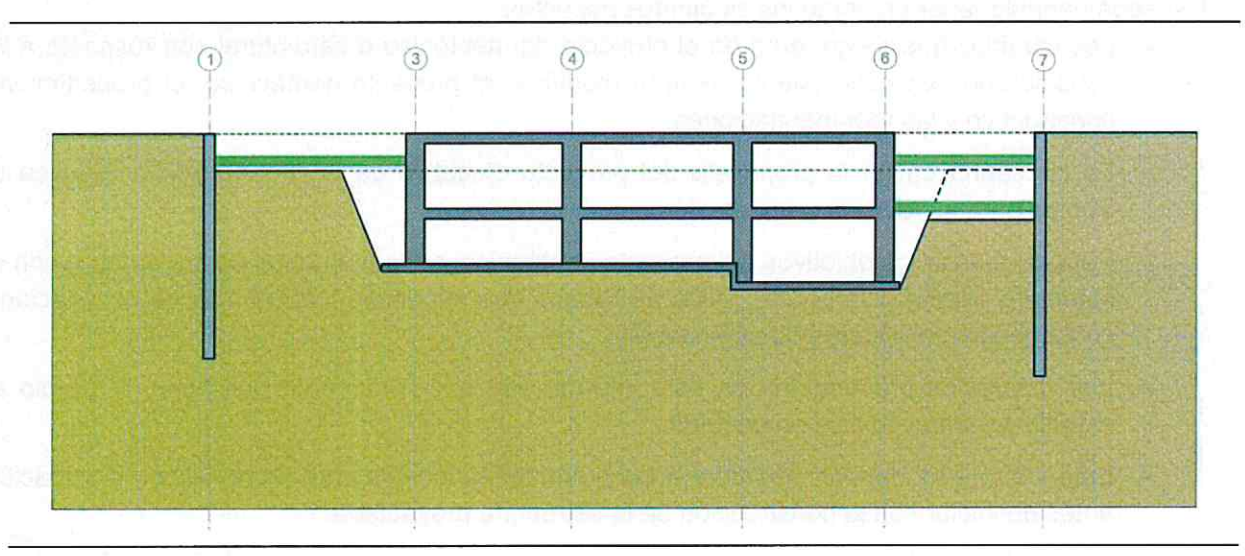


Figura 59. Excavación de bermas perimetrales y apuntalamiento de muro Milán

### Etapa 4. Construcción de la estructura perimetral

Se llevará a cabo la construcción de la estructura de sótano de manera ascendente hasta llegar a la losa de planta baja. Es importante que los puntales no se retiren hasta que la estructura pueda soportar adecuadamente las cargas debidas al empuje sobre el muro Milán.

#### 7.7 Suspensión del bombeo y deshabilitado del sistema

Después de ser verificado y aprobado por el área de estructuras, el bombeo se suspenderá al concluir la construcción del tercer nivel del edificio o cuando la descarga en el desplante sea mayor a la presión ejercida por el agua sobre las losas de fondo, de tal manera que se tenga el peso suficiente para evitar la flotación de la estructura. El bombeo se podrá suspender antes si se prevee la colocación de lastres.

Una vez suspendido el bombeo se procederá a la clausura y sellado de los pozos. Este procedimiento se realizará por un pozo a la vez, avanzando de los extremos del predio hacia el centro. El procedimiento consiste en retirar el equipamiento de cada perforación y posteriormente inyectar por gravedad desde la superficie, una mezcla de agua-cemento-bentonita con la finalidad de sellar la perforación y dar continuidad a la masa de terreno. Se recomienda el uso de aditivos acelerantes para disminuir el flujo de agua hacia el interior del pozo.

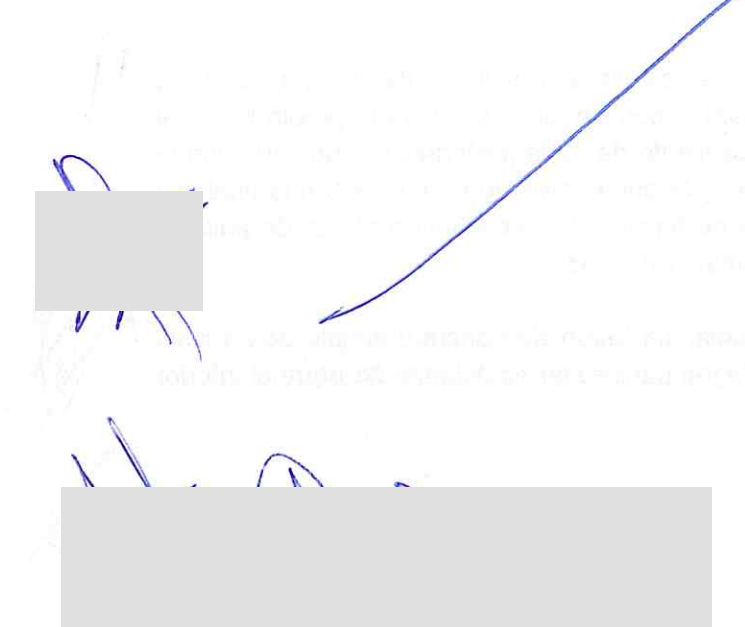
Finalmente, en la losa de cimentación se deberá colar un tapón de concreto simple con aditivo acelerante de fraguado y con impermeabilizante integral para evitar filtraciones de agua al interior de la estructura.

107-174

#### 7.8 Comentarios finales

Es recomendable tener presente los siguientes aspectos:

- Los cambios que se generen en el proyecto aqrutectónico o estructural con respecto a los considerados en este estudio, podrán modificar el proyecto geotécnico, el procedimiento constructivo y las recomendaciones.
- > Es necesario enviar la propuesta del proyecto ejecutivo de la cimentación a Sísmica de Suelos para su revisión y aprobación.
- Para garantizar los objetivos del proyecto geotécnico, es fundamental contar en obra con un ingeniero especialista en Mecánica de Suelos que supervise los trabajos de excavación y construcción del sistema de cimentación.
- > Los resultados presentados en este informe son exclusivamente aplicables al predio en estudio y para el edificio proyectado.
- > Este informe se deberá presentar a las autoridades locales para su revisión y aprobación, antes de iniciar con la construcción de la estructura proyectada.



# 8 CONCLUSIONES Y RECOMENDACIONES

Con base en los resultados de los trabajos de campo ejecutados, ensayes de laboratorio y los análisis geotécnicos para el edificio proyectado en Av. Chapultepec No. 156, en la Ciudad de México, se desprenden los siguientes aspectos relevantes, las conclusiones y las recomendaciones:

- ➤ El edificio proyectado se compone por planta baja, 16 niveles superiores, roof garden y azotea, con altura máxima de 65.5 m sobre el nivel de banqueta. El proyecto también considera la construcción de dos niveles subterráneos.
- Geotécnicamente el predio se ubica en la Zona III, o de Lago, caracterizada por presentar potentes depósitos de arcillas altamente compresibles con baja resistencia al esfuerzo cortante.
- ➤ El espesor de los suelos compresibles en la zona de estudio, antes de alcanzar los Depósitos Profundos resistentes, es cercano a los 38.0 m.
- > Para el más reciente periodo de monitoreo, el banco de nivel superficial más cercano al predio presenta una velocidad de hundimiento de 7.3 cm/año.
- ➤ De acuerdo con el monitoreo de la vibración ambiental, el periodo dominante de vibración del suelo es Ts = 2.0 s.
- ➤ Los resultados del análisis de respuesta sísmica del sitio e interacción dinámica suelo-estructura indican que corresponde aplicar un coeficiente sísmico máximo elástico, o transparente, c = 1.17g.
- ➤ El sitio se localiza en una zona de baja densidad de fracturas y las señaladas en el Atlas de Riesgos para la CDMX no generan afectación alguna en el área de proyecto.
- ➤ En la colindancia norte se encuentra la Av. Chapultepec, donde se localiza la estructura subterránea de la Línea 1 del Metro. Al oriente se ubica la calle Morelia. Al sur el predio colinda con un edificio de cinco niveles que está estructurado con marcos de concreto reforzado y muros de mampostería. Se destaca que esta construcción presenta un hundimiento considerable, de aproximadamente 40 cm. Hacia la colindancia poniente, el predio limita con un terreno que pertenece a la Secretaría de Economía, colindando con edificaciones de uno a dos niveles, estructurados con base en muros de mampostería. En esa misma colindancia, hacia Av., Chapultepec, el predio colinda con una estructura de uso comercial con altura aproximada de 6.0 m, presenta techumbre de armadura metálica y lámina, además de muros de mampostería.
- La exploración del subsuelo consistió en la ejecución de dos Sondeos Exploratorios, un Sondeo de Muestreo Selectivo, la instalación de una Estación Piezométrica y un Tubo de Observación.
- Las muestras alteradas e inalteradas se analizaron y ensayaron en el laboratorio para determinar sus propiedades índice y mecánicas.
- > La composición estratigráfica del sitio se caracteriza por presentar las siguientes unidades:

Unidad U1: Rellenos heterogéneos dentro de una capa formada por arcillas limosas con contenido variable de arena fina. El espesor adoptado para esta unidad es de 2.0 m y muestra una resistencia en SPT de entre 5 y 12 golpes, asociadas a

suelos de consistencia blanda a media. El contenido de finos varía entre 20 y 60% y el contenido de agua se presenta entre el 20 y 50%.

Unidad U2: (MH) Se encuentra a una profundidad de 2.0 a 5.0 m. Está conformada por suelos compuestos por limo arcilloso de baja plasticidad, de consistencia muy blanda a firme. Presenta algunos lentes de arena fina y el contenido de agua varía entre 80 y 100%. En la prueba de SPT el número de golpes es de 2 a 20.

Unidad U3: (CH) Predominan arcillas de alta plasticidad y consistencia muy blanda, intercalada con lentes delgados de arena fina, con una capa de ceniza volcánica negra entre 8.6 y 9.0 m de profundidad. El espesor es de 8.0 m, con contenido de finos superior al 90%. El contenido de humedad varía entre 180 y 420%.

Unidad 4a: (CH)

Arcilla de alta plasticidad de consistencia muy blanda con algunos lentes delgados de arena fina. Presenta un contenido de agua que varía entre 200 y 350%. El contenido de finos es superior al 90%. En la prueba de SPT el avance fue con peso de herramienta. El espesor promedio es de 5.0 m.

Unidad 4b: (CH) Arcilla de alta plasticidad de consistencia muy blanda y alta compresibilidad. Presentó un contenido de agua que varía entre 180 y 350% y un contenido de finos mayor a 90%. El espesor de esta unidad es de 6.0 m.

Unidad U5: (CH/MH) Corresponde a una arcilla limosa y limo arcilloso de alta plasticidad, de consistencia muy blanda a firme. Presenta un espesor promedio de 4.2 m. Muestra un contenido de agua de entre 80 y 120% y un contenido de finos del orden del 80%. Entre 24.0 y 25.2 m acusa una disminución en el contenido de humedad casi hasta el 50%, asociado a la presencia de un estrato de arcilla arenosa. El número de golpes en la prueba SPT oscila entre 0 y 14.

Unidad U6: (CH) Arcilla con arena de consistencia media a firme, con 5 a 25 golpes en SPT. Se encuentra a una profundidad entre 28.2 y 33.0 m. El material recuperado de esta unidad presentó un contenido de agua entre 60 y 100%.

Unidad U7: (CH) Se ubica a una profundidad de entre 33.0 y 38.0 m. Corresponde a una arcilla limosa con arena de consistencia dura que aumenta con la profundidad, con 0 a 10 golpes en la prueba SPT. El contenido de agua de esta unidad oscila entre 100 y 180%, mientras que el contenido de finos es mayor al 85%.

Unidad U8: (ML/SM)

A partir de los 38.0 m se detectaron los Depósitos Profundos. En el tramo comprendido entre 38.0 y 44.0 m, los materiales de esta unidad ofrecieron una resistencia variable en SPT de entre 20 y 50 golpes. El contenido de agua oscila entre 20 y 40% y el contenido de arena varía entre 20 y 80%.

- El nivel de agua superficial en el subsuelo se ubica a 2.5 m de profundidad.
- Del monitore de los niveles piezométricos se obtuvieron las siguientes presiones:

Instrumento	Profundidad, z [m]	Presión de poro [t/m²]
Piezómetro, PZ-1	13.0	3.5
Piezómetro, PZ-2	24.0	10.2
Piezómetro, PZ-3	40.0	22.1

- Dadas las características de la estructura por construir y las condiciones estratigráficas que caracterizan al subsuelo del sitio, se propone como solución de cimentación el empleo de pilas con diámetro variable, empotradas en los depósitos profundos resistentes.
- ➢ El sistema de cimentación se compone por 70 pilas con diámetro ubicado entre 1.0 y 1.8 m, todas desplantadas a 45.0 m de profundidad. Estos elementos soportarán las cargas generadas por toda la estructura bajo condiciones estáticas y accidentales por sismo.
- ➤ En el cuerpo del informe se presenta la distribución y diámetros (D) de las pilas propuestas que soportarán las cargas factorizadas máximas generadas por la estructura. El conjunto se compone por 14 pilas con D=1.0 m, 5 con D=1.2 m, 14 con D=1.4 m, 10 con D=1.6 m y 27 con D=1.8 m, agrupadas en cinco tipos de pilas con longitud dependiente del desplante de la losa del sótano.
- ➤ La capacidad de carga reducida a Compresión (R), Tensión (T) y fricción negativa (FN) de los cinco tipos de pilas de cimentación que rigen para el proyecto ejecutivo, se estableció aplicando el criterio de las NTC-DCC (2017), obteniendo lo siguiente:

Tipo	Diámetro D [m]	Número de elementos	R* [t]	T [t]	FN [t]
P-1	1.0	14	818.7	365.5	296.4
P-2	1.2	5	1,154.3	455.4	355.7
P-3	1.4	14	1,622.2	550.8	415.0
P-4	1.6	10	2,224.5	651.8	474.3
P-5	1.8	27	2,625.6	758.4	533.6

Nota: Se destaca que al valor de la capacidad de carga reducida R se le ha descontado el peso propio de la pila.

- ➤ Con la bajada de cargas proporcionada por el despacho ALBA Proyecto Estructural y la capacidad de carga reducida de las pilas, se verificó el cumplimiento del estado límite de falla establecido en las NTC-DCC (2017), considerando el trabajo individual y de grupo de las pilas.
- Considerando las cargas servicio, el peso propio de las pilas y las cargas adicionales producidas por la fricción negativa, se estiman asentamientos máximos de entre 4 y 11 cm.
- ➤ Con los niveles de asentamiento estimados, los módulos de reacción vertical k en las pilas se ubican entre los 114 y 205 t/cm.

- Buscando optimizar la geometría de las pilas, se recomienda ejecutar una prueba de carga estática a compresión.
- ➤ A partir del modelo de elemento finito construido, durante la excavación para alojar a la estructura de sótanos, se esperan expansiones de 5 a 9 cm en el perímetro de la construcción, y hasta 15 cm en la zona central del predio al alcanzar el máximo nivel de excavación.
- ➤ Las deformaciones totales de la estructura durante la construcción y su vida útil son inferiores a 15 cm, cumpliendo así con el estado límite de servicio que fijan las NTC-DCC (2017).
- ➤ Los muros perimetrales del cajón de cimentación formarán parte del sistema de contención para realizar la excavación. Esta estructura de contención y protección a colindancias estará constituida por un muro Milán con paneles de 60 cm de espesor y desplantados entre 10.0 y 13.0 m de profundidad, según la zona y el nivel de desplante de la estructura de sótanos.
- Durante la construcción del muro Milán se preverá la colocación de un elemento aislante (celotex o pantallas) que permita el comportamiento independiente de la estructura de sótanos con respecto al comportamiento de las cimentaciones colindantes y vialidades. Esta medida evitará la afectación futura de las estructuras colindantes por efecto del hundimiento regional.
- Para el diseño estructural del muro Milán, en el cuerpo de este documento se presentan los diagramas de esfuerzos horizontales redistribuidos que estarán actuando contra esta estructura durante el proceso constructivo, y los esfuerzos horizontales de largo plazo y bajo condiciones sísmicas.
- ➤ La estabilidad del muro Milán se analizó bajo los distintos posibles mecanismos de falla, obteniendo lo siguiente:

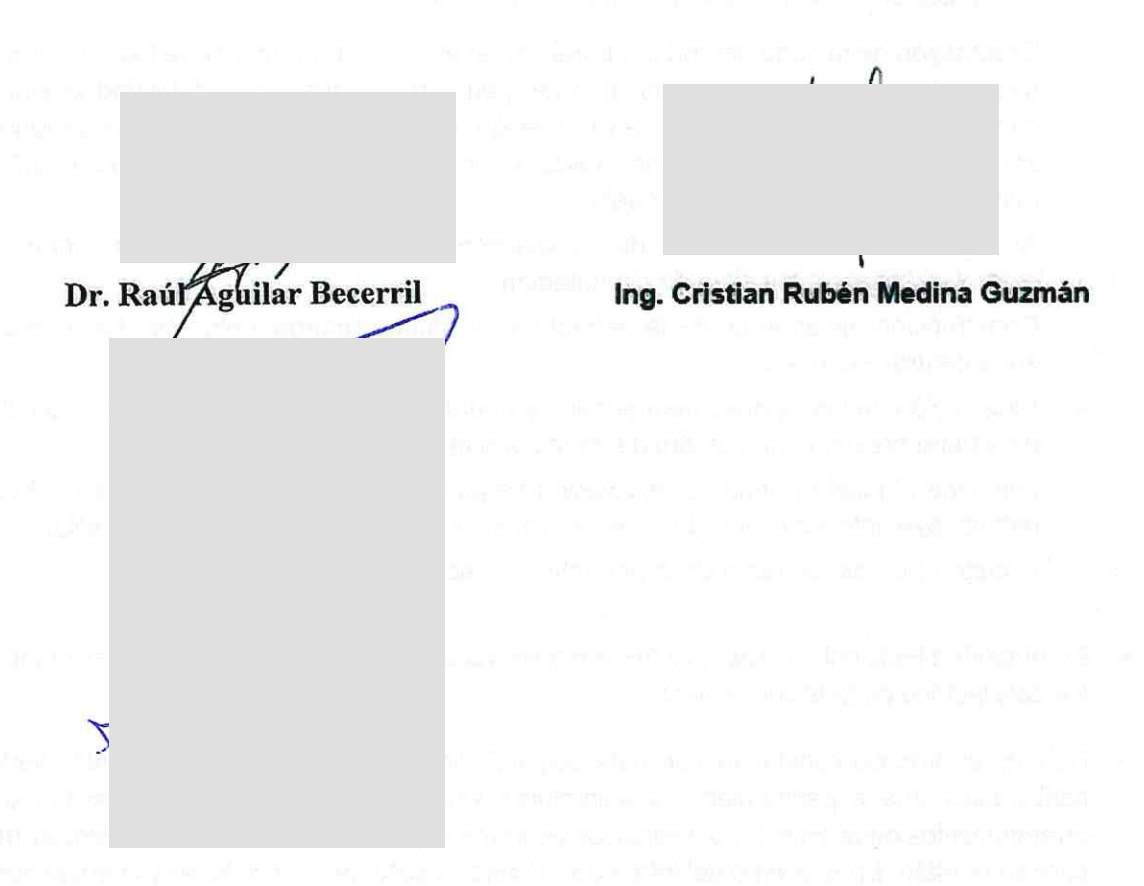
Factor de seguridad
1.52 < FS < 1.96
FS =1.54 con bombeo
1.51 < FS < 1.84

- > El sistema de contención cumple con el estado límite de falla establecido en las NTC-DCC (2017).
- ➢ Por ningún motivo se ejecutarán excavaciones por debajo de los 7.8 m de profundidad en la zona cercana al muro Milán. En la zona de cisternas, bajo ninguna circunstancia, la excavación se realizará a más de 8.8 m de profundidad.
  - Durante la excavación es necesaria la implementación de un sistema de bombeo. Se formará con la construcción de 40 pozos a 14.0 m de profundidad equipados con puntas eyectoras, que cubran una superficie cercana a los 50.0 m², cada uno.
- Para evitar la falla por flotación, el sistema de bombeo se deberá suspender una vez que las cargas que la estructura ejerce sobre el terreno sean superiores a:

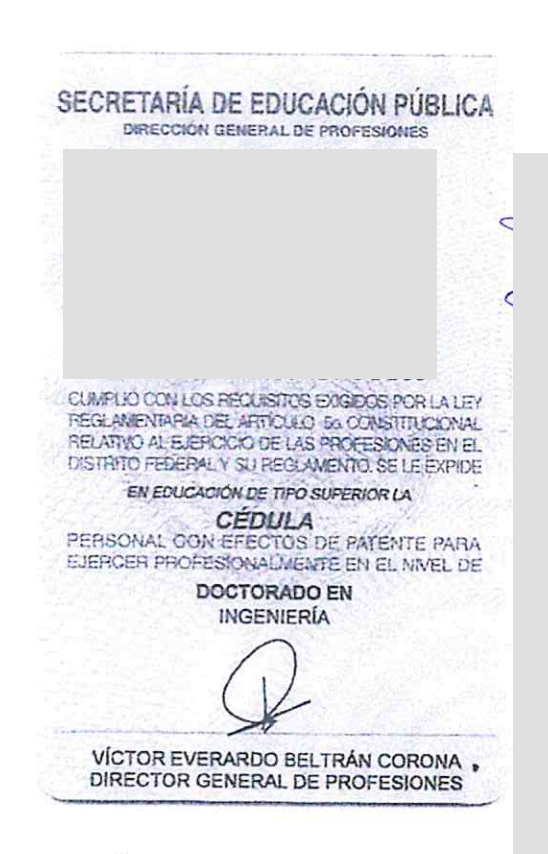
- Se considera que el máximo nivel de esfuerzo generado por el agua será excedido por las cargas de la estructura después de concluir la estructura de sótanos y los tres primeros niveles del edificio; sin embargo, esta condición deberá ser ratificada por el área de estructuras.
- Se destaca que, a largo plazo, el hundimiento regional tenderá a producir la separación del terreno con la losa de fondo de la estructura subterránea. Bajo esta condición la losa trabajará como losa de entrepiso y quedará sujeta sólo a la presión hidrostática que actúa debajo, lo que deberá ser considerado en el diseño estructural.
- Las etapas principales del proceso constructivo son las siguientes y se detallan en el cuerpo de este documento:
  - Construcción de muro Milán y pilas de cimentación
  - Excavación de la zona central del predio en el área comprendida entre los ejes 3-6 y B-G. Esto tiene como propósito dejar bermas perimetrales que den estabilidad al sistema de contención mientras se realiza la excavación hasta el desplante de la losa de fondo en la zona indicada. La excavación se realizará con avances verticales máximos de 2.0 m para minimizar las expansiones del suelo.
  - Al alcanzar el nivel máximo de excavación se construirá la losa de fondo anclada estructuralmente a las pilas de cimentación.
  - Construcción ascendente de la estructura de sótano (muros, columnas losas, etc.) en la zona central excavada.
  - Excavación de las bermas perimetrales y apuntalamiento del muro Milán con la estructura de sótano previamente construida en la zona central del predio.
  - Llegando al nivel máximo de excavación se procederá a construir la losa de fondo anclada estructuralmente a las pilas de cimentación, al muro Milán y a la estructura de sótano.
  - Construcción ascendente de la estructura de sótano en la zona perimetral.
- El comportamiento del proceso constructivo observado con el modelo numérico de elementos finitos fue satisfactorio en todas las etapas.
- Durante el proceso constructivo se dará seguimiento topográfico a los movimientos verticales y horizontales que experimenten las estructuras vecinas. Los reportes que resulten de estos levantamientos deberán estar actualizados de forma expedita y disponibles en cualquier momento para su revisión. En el cuerpo del informe se detalla el sistema de monitoreo y la frecuencia de las mediciones, previo, durante y posterior al proceso constructivo.
- ➤ Los resultados presentados en este informe son exclusivamente aplicables al predio en estudio y para el edificio proyectado. Los cambios que se generen en el proyecto aqrutectónico o estructural con respecto a los considerados en este estudio, podrán modificar el proyecto geotécnico, el procedimiento constructivo y las recomendaciones. Cualquier cambio deberá ser informado Sísmica de Suelos para su valoración y análisis.

113-174

- > Es conveniente tener una reunión con la empresa encargada de la construcción para detallar los procesos aquí establecidos, buscando un proceso constructivo eficiente.
- > El proyecto ejecutivo final del sistema de cimentación y estructura subterránea deberá ser enviado a Sísmica de Suelos para su revisión y aprobación.
- Para garantizar los objetivos del proyecto geotécnico, es fundamental contar en obra con un ingeniero especialista en Mecánica de Suelos que supervise los trabajos de excavación y construcción del sistema de cimentación.
- Previo a la construcción de la estructura proyectada, este informe se deberá presentar al Corresponsable en Seguridad Estructural, al Director Responsable de Obra y al Insititio para la Seguirdad de las Construcciones en la Ciudad de México, para su revisión y aprobación.







PARA USO EXCLUSIVO DEL ESTUDIO DE MECÁNICA DE SUELOS PARA EL EDIFICIO PROYECTADO EN AV. CHAPULTEPEC No. 156, COLONIA ROMA NORTE, ALCALDÍA CUAUHTÉMOC, CIUDAD DE MÉXICO





PARA USO EXCLUSIVO DEL ESTUDIO DE MECÁNICA DE SUELOS PARA EL EDIFICIO PROYECTADO EN AV. CHAPULTEPEC No. 156, COLONIA ROMA NORTE, ALCALDÍA CUAUHTÉMOC, CIUDAD DE MÉXICO

- Bowles, J E (1984) "Foundation Analysis and Design", McGraw-Hill.
- Juárez E y Rico A (1989) "Mecánica de Suelos", Tomo II. Edit. Limusa, México.
- NTC-DCC (2004). Gaceta Oficial del Departamento del Distrito Federal del 6 de octubre de 2004. "Normas Técnicas Complementarias para Diseño y Construcción de Cimentaciones".
- NTC-DCC (2017). Gaceta Oficial de la Ciudad de México del 15 de diciembre de 2017. "Normas Técnicas Complementarias para Diseño y Construcción de Cimentaciones".
- NTC-DS (2017). Gaceta Oficial de la Ciudad de México del 15 de diciembre de 2017. "Normas Técnicas Complementarias para Diseño por Sismo".
- NTC-DS (2020). Gaceta Oficial de la Ciudad de México del 9 de junio de 2020. "Normas Técnicas Complementarias para Diseño por Sismo".
- RCDF (2017). Gaceta Oficial de la Ciudad de México. "Reglamento de Construcciones para el Distrito Federal".
- Peck R, Hanson y Thornburn (1987) "Ingeniería de Cimentaciones", Edit. Limusa, México.
- Poulos H G y Davis E H (1974) "Elastic Solutions for Soil and Rock Mechanics". Series in Soil Engineering, John Wiley and Sons, Inc. New York.
- **SACMEX (2005, 2016).** Nivelaciones realizadas por el Sistema de Aguas de la Ciudad de México en 2005 y 2016.
- **SEHEDIS (2018)**. Sistema de Evolución del Hundimiento y Espectros de Diseño Sísmico. Sitio web: www.sismica.com.mx
- SDS (2022). Espectro de Diseño Sísmico con efectos de Interacción Dinámica Cinemática e Inercial para el Edificio proyectado en Morelia No.10, colonia Roma Norte, Alcaldía Cuauhtémoc, Ciudad de México. Elaborado para CCLA GROUP. Abril, 2022.
- Sociedad Mexicana de Mecánica de Suelos (2002). "Manual de Construcción Geotécnica" México, D.F.
- Sociedad Mexicana de Mecánica de Suelos (2017). "Ingeniería de Cimentaciones Profundas México, D.F.
- Santoyo V., Enrique (2005). "Síntesis Geotécnica de la. Cuenca del Valle de México", México, TGC Geotecnia
- Tamez E (2000) "Ingeniería de Cimentaciones", TGC Geotecnia.
- Terzaghi K (1943). "Theoretical Soil Mechanics" John Wiley and Sons, Inc. New York.
- Terzaghi K (1945). "Evaluation of coefficients of subgrade reaction". Geotechnique, Vol. 5, No. 4.
- Zeevaert L (1983) "Foundation Engineering for Difficult Subsoil Conditions", Van Nostrand Reinhold, New York.

# ANEXO 1 RESULTADOS DE LABORATORIO

Proyecto: Morelia 10

Sondeo: SE-1

Fecha: octubre 2021

Hoja: 1 de 2

# **CONTENIDO DE FINOS**

	Profund	idad (m)	Consula	Wsinicial	Wsfinal	Gravas	Arenas	Finos		Porcentaje	
Muestra	de	а	Capsula	[g]	[g]	[g]	[g]	[g]	Gravas	Arenas	Finos
4-INF	2.40	2.50	103	36.91	14.10	0.00	14.10	22.81	0	38.20	61.80
5-SUP	2.50	2.95	90	23.15	3.43	0.00	3.43	19.72	0	14.82	85.18
5-INF	2.95	3.10	174	15.98	11.02	0.00	11.02	4.96	0	68.96	31.04
6	3.10	3.70	143	39.41	34.57	0.00	34.57	4.84	0	87.72	12.28
7	3.70	4.30	202	35.07	5.86	0.00	5.86	29.21	0	16.71	83.29
8	4.30	4.90	132	18.25	0.90	0.00	0.90	17.35	0	4.93	95.07
9	4.90	5.50	112	16.27	2.20	0.00	2.20	14.07	0	13.52	86.48
10	5.50	6.10	96	15.12	1.59	0.32	1.27	13.53	2.12	8.40	89.48
11	6.10	6.70	206	13.17	0.34	0.00	0.34	12.83	0	2.58	97.42
12	6.70	7.30	61	9.17	0.06	0.00	0.06	9.11	0	0.65	99.35
13	7.30	7.90	64	9.26	0.08	0.00	0.08	9.18	0	0.86	99.14
14	7.90	8.50	78	8.89	0.09	0.00	0.09	8.80	0	1.01	98.99
15	8.50	9.10	86	9.81	0.11	0.00	0.11	9.70	0	1.12	98.88
16	9.10	9.70	154	11.15	0.48	0.00	0.48	10.67	0	4.30	95.70
17	9.70	10.30	186	15.42	0.81	0.00	0.81	14.61	0	5.25	94.75
18	10.30	10.90	115	12.01	0.11	0.00	0.11	11.90	0	0.92	99.08
19	10.90	11.50	92	17.73	1.03	0.00	1.03	16.70	0	5.81	94.19
20	11.50	12.10	79	11.57	0.10	0.00	0.10	11.47	0	0.86	99.14
21	12.10	12.70	214	8.87	0.16	0.00	0.16	8.71	0	1.80	98.20
22	12.70	13.30	176	32.4	4.53	0.00	4.53	27.87	0	13.98	86.02
23	13.30	13.90	437	16.79	0.15	0.00	0.15	16.64	0	0.89	99.11
24	13.90	14.50	146	14.34	0.42	0.00	0.42	13.92	0	2.93	97.07
25	14.50	15.10	204	12.39	0.12	0.00	0.12	12.27	0	0.97	99.03
26	15.10	15.70	182	10.05	0.77	0.00	0.77	9.28	0	7.66	92.34
27	15.70	16.30	199	12.87	1.12	0.00	1.12	11.75	. 0	8.70	91.30
29	16.90	17.50	111	14.59	0.15	0.00	0.15	14.44	0	1.03	98.97
30	17.50	18.10	68	13.18	0.95	0.00	0.95	12.23	0	7.21	92.79
31	18.10	18.70	166	13.81	0.40	0.00	0.40	13.41	0	2.90	97.10
33	19.30	19.90	157	13.34	0.43	0.00	0.43	12.91	0	3.22	96.78
34	19.90	20.50	432	10.93	0.56	0.00	0.56	10.37	0	5.12	94.88
35	20.50	21.10	163	11.65	0.07	0.00	0.07	11.58	0	0.60	99.40
36	21.10	21.70	175	11.99	0.05	0.00	0.05	11.94	0	0.42	99.58
37	21.70	22.30	57	11.52	0.08	0.00	0.08	11.44	0	0.69	99.31
38	22.30	22.90	72	16.81	0.20	0.00	0.20	16.61	0	1.19	98.81
39	22.90	23.50	436	8.95	0.15	0.00	0.15	8.80	0	1.68	98.32
40	23.50	24.10	189	25.61	1.41	0.00	1.41	24.20	0	5.51	94.49
41-SUP	24.10	24.50	107	11.28	0.49	0.00	0.49	10.79	0	4.34	95.66
41-INF	24.50	24.70	148	41.29	18.61	0.00	18.61	22.68	0	45.07	54.93
42-SUP	24.70	24.90	59	41.23	17.72	0.00	17.72	23.51	0	42.98	57.02
42-INF	24.90	25.30	93	42.87	9.82	0.00	9.82	33.05	0	22.91	77.09
43	25.30	25.90	203	39.35	3.94	0.00	3.94	35.41	0	10.01	89.99
44	25.90	26.50	151	31.71	3.49	0.00	3.49	28.22	0	11.01	88.99

Proyecto: Morelia 10

Sondeo: SE-1

Fecha: octubre 2021

Hoja: 2 de 2

# **CONTENIDO DE FINOS**

Mary In	Profund	lidad (m)		Wsinicial	Wsfinal	Gravas	Arenas	Finos		Porcentaje	
Muestra	de	а	Capsula	[g]	[g]	[g]	[g]	[e]	Gravas	Arenas	Finos
45	26.50	27.10	359	27.28	6.03	0.00	6.03	21.25	0	22.10	77.90
46	27.10	27.70	134	27.24	3.17	0.00	3.17	24.07	0	11.64	88.36
47-SUP	27.70	27.90	67	41.32	9.50	0.00	9.50	31.82	0	22.99	77.03
47-INF	27.90	28.30	165	26.24	4.11	0.00	4.11	22.13	0	15.66	84.34
48	28.30	28.90	91	43.44	10.61	0.00	10.61	32.83	0	24.42	75.58
49	28.90	29.50	343	37.78	9.73	0.00	9.73	28.05	0	25.75	74.2
50	29.50	30.10	88	36.84	9.59	0.00	9.59	27.25	0	26.03	73.9
51	30.10	30.70	356	34.18	8.59	0.00	8.59	25.59	0	25.13	74.8
52	30.70	31.30	142	62.36	16.38	0.00	16.38	45.98	0	26.27	73.7
53	31.30	31.90	207	49.48	3.23	0.00	3.23	46.25	0	6.53	93.4
54	31.90	32.50	188	41.28	0.89	0.00	0.89	40.39	0	2.16	97.8
55	32.50	33.10	364	48.68	16.63	0.00	16.63	32.05	0	34.16	65.8
56	33.10	33.70	105	35.4	5.69	0.00	5.69	29.71	0	16.07	83.9
57	33.70	34.30	317	10.88	1.87	0.00	1.87	9.01	0	17.19	82.8
59	34.90	35.50	1	28.97	9.24	0.00	9.24	19.73	0	31.90	68.1
60	35.50	36.10	66	23.36	5.16	0.00	5.16	18.20	0	22.09	77.9
61	36.10	36.70	109	20.08	0.38	0.00	0.38	19.70	0	1.89	98.1
62	36.70	37.30	65	18.69	0.33	0.00	0.33	18.36	0	1.77	98.2
63	37.30	37.90	74	18.87	0.08	0.00	0.08	18.79	0	0.42	99.5
64-SUP	37.90	38.35	169	6.5	1.03	0.00	1.03	5.47	0	15.85	84.1
64-INF	38.35	38.50	149	66.2	37.01	0.00	37.01	29.19	0	55.91	44.0
65	38.50	39.10	366	65.44	56.29	14.74	41.55	9.15	22.52	63.49	13.9
67	39.70	40.30	344	70.5	22.73	0.00	22.73	47.77	0	32.24	67.7
68	40.30	40.90	330	82.66	13.34	0.00	13.34	69.32	0	16.14	83.8
69	40.90	41.50	340	80.37	14.23	0.00	14.23	66.14	0	17.71	82.2
70	41.50	42.10	347	67.81	3.80	0.00	3.80	64.01	0	5.60	94.4
71	42.10	42.70	417	74.4	65.88	28.92	36.96	8.52	38.87	49.68	11.4
72	42.70	43.30	430	117.76	71.40	1.03	70.37	46.36	0.87	59.76	39.3
73	43.30	43.90	322	105.75	79.19	14.95	64.24	26.56	14.14	60.75	25.1
74	43.90	44.50	53	102.71	84.10	34.56	49.54	18.61	33.65	48.23	18.1
75	44.50	45.10	164	70.92	62.56	8.47	54.09	8.36	11.94	76.27	11.7
76	45.10	45.70	114	82.8	21.06	0.00	21.06	61.74	0	25.43	74.5
77	45.70	46.30	333	77.97	38.76	3.22	35.54	39.21	4.13	45.58	50.2
78	46.30	46.90	124	76.53	56.84	1.08	55.76	19.69	1.41	72.86	25.7
79	46.90	47.50	125	92.05	68.81	0.00	68.81	23.24	0	74.75	25.2
80	47.50	48.10	95	80.81	62.51	0.25	62.26	18.30	0.31	77.04	22.6
81	48.10	48.70	127	79.93	38.35	0.79	37.56	41.58	0.99	46.99	52.0
82	48.70	49.30	190	87.67	70.37	0.00	70.37	17.30	0	80.27	19.7
83	49.30	49.90	349	109.11	86.66	0.00	86.66	22.45	0	79.42	20.5
84	49.90	50.50	411	114.75	87.43	0.27	87.16	27.32	0.24	75.96	23.8
SHELBY	\$0.50	00.00	429	38.79	7.62	0.00	7.62	31.17	0	19.64	80.36

0

Proyecto:

Morelia 10

Sondeo:

SMS-1 y SMS-2

Fecha:

octubre 2021

Hoja:

1 de 1

# **CONTENIDO DE FINOS**

Sondeo	Muestra	Profundidad (m)	Capsula	Wc [g]	Ws inicial [g]	Ws final [g]	W finos [g]	finos [%]
	1	3.50	426	16.26	80.89	28.36	52.53	81.28
	2	9.00	321	16.34	43.53	16.37	27.16	99.89
	3	16.00	424	16.02	37.15	16.40	20.75	98.20
SMS-1	4	20.00	428	15.77	66.14	21.57	44.57	88.49
	5	25.50	447	19.01	82.97	29.79	53.18	83.15
	6	31.00	467	17.42	83.01	20.06	62.95	95.97
	7	35.50	195	16.09	86.19	44.07	42.12	60.09
	10	3.00	318	16.23	82.93	25.17	57.76	86.60
SMS-2	11	6.00	332	16.63	43.93	17.42	26.51	97.11
	12	9.00	348	16.8	39.76	20.18	19.58	85.28

122-174

Proyecto: Morelia 10 Sondeo: SE-1

Sondeo: SE-1 Fecha: octubre 2021

Hoja: 1 de 6

CLASIFICACIÓN VISUAL	RELLENO CONFORMADO DE PEDACERIA DE CASCAJO TABIQUE Y CONCRETO	IDEM	IDEM	(CL) ARCILLA COLOR CAFÉ CON ARENA, CON GRUMOS DE TABIQUE, MORTERO Y ALGUNOS PEDAZOS DE PLASTICO	(ML) LIMO COLOR GRIS CON ARENA FINA POCA MEDIA CUARZOSA Y VOLCÁNICA, CON GRUMOS DE CARBONATOS	(ML) IDEM	(SM) ARENA FINA Y MEDIA CUARZOSA Y PUMITICA, LIMOSA COLOR GRIS, CON MICROFOSILES CARBONATADOS	(SM) IDEM	(MH) LIMO ARCILLOSO COLOR GRIS VERDOSO OBSCURO CON AGUNASBOLSAS DE ARENA FINA VOLCÁNICA POCA CUARZOSA CONMICROFOSILES CARBONATADOS.	(MH) LIMO ARCILLOSO COLOR GRIS OBSCURO CON POCA ARENA FINA YMEDIA VOLCÁNICA POCA CUARZOSA CON MICROFOSILES CARBONATADOS	(ML) IDEM	(CH) ARCILLA COLOR ROJIZO CON MANCHAS COLOR GRIS, CON POCA ARENA FINA CUARZOSA Y VOLCÁNICA, CON MICROFOSILES CARBONATADOS	(CH) ARCILLA COLOR ROJIZO CON MANCHAS COLOR GRIS, CON POCA ARENA FINA CUARZOSA Y VOLCÁNICA, CON MICROFOSILES CARBONATADOS	(CH) ARCILLA DE COLOR CAFÉ CLARO A GRIS OLIVO, CON MUY POCAARENA FINA CUARZOSA Y VOLCÁNICA, CON MICROFOSILES CARBONATADOS	(CH) ARCILLA COLOR GRIS OLIVO CON MANCHAS CAFÉ CLARO, CON MUYPOCA ARENA FINA VOLCÁNICA Y CUARZOSA, CON MICROFOSILES CARBONATADOS	(CH) ARCILLA COLOR HETEREOGENEO CON MUY POCA ARENA FINA VOLCÁNICA Y CUARZOSA, CON MICROFOSILES CARBONATADOS
w [%]	18.21	36.29	29.32	42.26	51.48	55.08	50.38	41.18	70.87	79.33	141.70	158.56	193.32	396.77	418.38	427.15
W <sub>55</sub>	41.03	61.26	104.05	27.83	36.91	23.15	15.98	39.41	30.04	24.62	16.86	20.85	14.52	9.3	8.54	8.14
W <sub>SH</sub> [g]	7.47	22.23	30.51	11.76	19	12.75	8.05	16.23	21.29	19.53	23.89	33.06	28.07	36.9	35.73	34.71
W <sub>bra</sub> + W <sub>SS</sub> [g]	52.76	77.36	119.22	39.52	52.18	38.78	29.53	54.39	43.57	39.58	32.6	35.98	29.41	24.68	24.08	23.43
W <sub>tara</sub> + W <sub>SH</sub> [g]	60.23	99.59	149.73	51.28	71.18	51.53	37.58	70.62	64.86	59.11	56.49	69.04	57.48	61.58	59.81	58.2
W <sub>lara</sub> [g]	11.73	16.1	15.17	11.69	15.27	15.63	13.55	14.98	13.53	14.96	15.74	15.13	14.89	15.38	15.54	15.29
TARA	158	216	101	160	103	06	174	143	133	140	97	129	131	87	62	106
PROFUNDIDAD (m)	0.10 a 0.70	0.70 a 1.30	1.30 a 1.90	1.90 a 2.40	2.40 a 2.50	2.50 a 2.95	2.95 a 3.10	3.10 a 3.70	3.70 a 4.30	4.30 a 4.90	4.90 a 5.50	5.50 a 6.10	6.10 a 6.70	6.70 a 7.30	7.30-7.90	7.90-8.50
MUESTRA No.	τ	2	æ	4-SUP	4-INF	S-SUP	5-INF	9	7	80	6	10	11	12	13	14

Morelia 10 SE-1

octubre 2021 Proyecto: Sondeo: Fecha:

2 de 6

Hoja:

CONTENIDO DE AGUA Y CLASIFICIÓN VISUAL

A Show with			STILL STREET, ST.	COLOR OF THE PARTY NAMED	The state of the s			The same of the same of	
MUESTRA No.	PROFUNDIDAD (m)	TARA	W <sub>tara</sub> [g]	W <sub>tara</sub> + W <sub>SH</sub> [g]	W <sub>tara</sub> + W <sub>SS</sub> [g]	W <sub>SH</sub> [8]	W <sub>SS</sub> [8]	[%] w	CLASIFICACIÓN VISUAL
15	8.50-9.10	94	15.79	64.22	27.08	37.14	11.29	328.96	(CH) ARCILLA COLOR HETEREOGENEO CON BOLSAS DE ARENA FINAVOLCÁNICA, ALGUNOS GRUMOS DE CENIZA VOLCÁNICA EN LA P/INF
16	9.10-9.70	341	16.18	65.32	29.08	36.24	12.9	280.93	(CH) ARCILLA COLOR CAFÉ OLIVO CON ALGUNOS GRUMOS DE CENIZA, CON POCA ARENA FINA VOLCÁNICA POCA CUARZOSA
17	9.70-10.30	104	15.27	65.93	30.64	35.29	15.37	229.60	(CH) ARCILLA COLOR ROJIZO CON MANCHAS COLOR CAFÉ, POCA ARENA FINA CUARZOSA Y MICROFOSILES CARBONTADOS
18	10.30-10.90	420	16.45	73.55	28.91	44.64	12.46	358.27	(CH) ARCILLA COLOR CAFÉ ROJIZO CON MANCHAS COLOR GRIS VERDOSO, CON MUY POCA ARENA FINA CUARZOSA Y VOLCÁNICA
19	10.90-11.50	126	14.69	78.37	32.08	46.29	17.39	266.19	(CH) ARCILLA COLOR GRIS VERDOSO CON MANCHAS COLOR ROJIZO ENLA P/INFERIOR, CON POCA ARENA FINA CUARZOSA Y MICROFOSILES CARBONATADOS
50	11.50-12.10	8	15.69	67.24	30.65	36.59	14.96	244.59	(CH) ARCILLA COLOR CAFÉ VERDOSO CON MANCHA COLOR ROJIZO ENLA P/SUPERIOR, CON MUY POCA ARENA FINA VOLCÁNICA Y CUARZOSA,CON ALGUNOS GRUMOS DE CENIZA Y MICROFOSILES CARBONATADOS
77	12.10-12.70	116	15.19	61.14	27.31	33.83	12.12	279.13	(CH) ARCILLA COLOR CAFÉ ROJIZO CON MANCHA COLOR GRIS VERDOSO,CON MUY POCA ARENA FINA VOLCÁNICA Y CUARZOSA
77	12.70-13.30	187	15.25	86.17	53.86	32.31	38.61	83.68	(CH) ARCILLA COLOR GRIS VERDOSO OBSCURO CON ALGUNAS BOLSASDE ARENA FINA POCA MEDIA VOLCÁNICA, CON MICROFOSILES CARBONATADOS
23	13.30-13.90	171	11.43	56.16	28.1	28.06	16.67	168.33	(CH) ARCILLA COLOR GRIS VERDOSO CON MUY POCA ARENA FINA VOLCÁNICA
24	13.90-14.50	88	15.75	72.04	32.48	39.56	16.73	236.46	(CH) IDEM CON ALGUNAS MANCHAS COLOR CAFÉ
25	14.50-15.10	69	15.96	49.41	25.27	24.14	9.31	259.29	(CH) ARCILLA COLOR CAFÉ CON MANCHAS COLOR GRIS VERDOSO, CON MUY POCA ARENA FINA CUARZOSA
26	15.10-15.70	210	15.24	69.87	27.59	42.28	12.35	342.35	(CH) ARCILLA COLOR CAFÉ OLIVO CON POCA ARENA FINA CUARZOSA Y VOLCÁNICA
27	15.70-16.30	55	14.92	65.41	27.6	37.81	12.68	298.19	(CH) ARCILLA COLOR GRIS VERDOSO CON POCA ARENA FINA CUARZOSA Y VOLCÁNICA, CON MICROFOSILES CARBONATADOS
R R	16.90-17.50	62	14.73	7.22	26.75	27.95	12.02	232.53	(CH) ARCILLA COLOR CAFÉ VERDOSO CON MUY POCA ARENA FINA CUARZOSA Y VOLCÁNICA, CON ALGUNOS GRUMOS DE CENIZAVOLCÁNICA
		1							

Morelia 10

SE-1 Proyecto: Sondeo:

octubre 2021 Fecha:

3 de 6 Hoja:

V <sub>SS</sub> W <sub>SH</sub> W <sub>SS</sub> w [%] CLASIFICACIÓN VISUAL	26.87 12.9 <b>208.29</b> (CH) IDEM	28.73 17.22 166.84 (CH) ARCILLA COLOR ROJIZO CON MANCHAS COLOR CAFÉ, CON POCA ARENA FINA CUARZOSA Y VOLCÁNICA, CON MICROFOSILES CARBONATADOS	28.28 11.51 245.70 FINA VOLCÁNICA Y CUARZOSA, CON ALGUNAS PEQUEÑAS RAICILLAS FOSILIZADAS Y MICROFOSILES CARBONATADOS	34.5 236.46 (CH) ARCILLA COLOR ROJIZO CON POCA ARENA FINA VOLCÁNICA Y CUARZOSA, CON MICROFOSILES CARBONATADOS	25.43 11.72 216.98 (CH) ARCILLA COLOR GRIS VERDOSO CON MUY POCA ARENA FINA VOLCÁNICA, CON MICROFOSILES CARBONATADOS	32.74 14.04 233.19 (CH) ARCILLA COLOR CAFÉ VERDOSO CON MANCHAS COLOR GRIS VERDOSO, CON MUY POCA ARENA FINA VOLCÁNICA Y MICROFOSILESCARBONATADOS	34.73 13 <b>267.15</b> (CH) IDEM	34.21 15.03 <b>227.61</b> (CH) IDEM	37.06 12.72 <b>291.35</b> (CH) IDEM	27.2 20.15 134.99 (CH) ARCILLA COLOR HETEREOGENEO CON POCA ARENA FINA CUARZOSA, CON ALGUNAS BOLSAS DE CENIZA VOLCÁNICA EN LA P/MEDIA	25.61 13.13 195.05 (CH) ARCILLA COLOR CAFÉ CON POCA ARENA FINA Y MEDIA VOLCÁNICA Y CUARZOSA, CON MICROFOSILES CARBONATADOS	23.86 42.53 56.10 (CH) ARCILLA COLOR CAFÉ OBSCURO CON ARENA FINA Y MEDIA VOLCÁNICA Y CUARZOSA CON MICROFOSILES CARBONATADOS	21.32 41.23 51.71 (SC) ARENA FINA Y MEDIA VOLCÁNICA ARCILLOSA COLOR CAFÉ OSCURO CON MICROFOSILES CARBONATADOS	(CH) ARCILLA COLOR VERDOSO OBSCURO CON ARENA FINA Y MEDIA 30.27 42.87 70.61 VOLCÁNICA, CON ALGUNOS PEQUEÑOS FRAGMENTOS DE CARACOLILLOS Y MICROFOSILES CARBONATADOS	33.78 39.35 85.84 (MH) LIMO ARCILLOSO COLOR CAFÉ OBSCURO CON ARENA FINA POCA MEDIA VOLCÁNICA POCA CUARZOSA
W <sub>tara</sub> + W <sub>SS</sub> [g]	28.77	30.46	24.98	27.81	25.13	28.01	24.7	30.3	28.82	35.14	28.33	57.63	56.21	58.56	55.73
W <sub>tara</sub> + W <sub>SH</sub> [g]	55.64	59.19	53.26	62.31	50.56	60.75	59.43	64.51	65.88	62.34	53.94	81.49	77.53	88.83	89.51
W <sub>tara</sub> [g]	15.87	13.24	13.47	13.22	13.41	13.97	11.7	15.27	16.1	14.99	15.2	15.1	14.98	15.69	16.38
TARA	83	178	161	431	159	180	162	213	198	150	138	141	59	93	203
PROFUNDIDAD (m)	17.50-18.10	18.10-18.70	19.30-19.90	19.90-20.50	20.50-21.10	21.10-21.70	21.70-22.30	22.30-22.90	22.90-23.50	23.50-24.10	24.10-24.50	24.50-24.70	24.70-24.90	24,90-25.30	25.30-25.90
MUESTRA No.	30	31	33	25	35	36	37	38	39	40	41-SUP	41-INF	42-SUP	42-INF	43

125-174

Morelia 10 SE-1 octubre 2021

Proyecto: Sondeo: Fecha: Hoja:

4 de 6

CLASIFICACIÓN VISUAL	(OH) ARCILLA ORGÁNICA COLOR CAFÉ OBSCURO CON ARENA FINA Y MEDIA VOLCÁNICA Y ANDESITICA CON ALGUNOS PEQUEÑOS FRAGMENTOS DE RAICILLAS FOSILIZADAS Y ALGUNOS MICROFOSILES CARBONATADOS	(OH) IDEM	(CH) ARCILLA COLOR VERDOSO OBSCURO CON ARENA FINA VOLCÁNICA Y CUARZOSA CON RAICILLAS FOSILIZADAS Y MICROFOSILES CARBON ATADOS	(MH) LIMO ARCILLOSO COLOR VERDOSO OBSCURO CON ARENA FINA Y MEDIA, CON FRAGMENOS DE RAICILLAS FOSILIZADAS Y MICROFOSILES CARBONATADOS	(MH) LIMO ARCILLOSO COLOR CAFÉ OBSCURO CON ALGUNAS BOLSAS DE ARENA FINA POCA MEDIA VOLCÁNICA Y MICROFOSILES CARBONATADOS	(MH) LIMO ARCILLOSO COLOR GRIS OBSCURO CON ALGUNAS WA NCHAS COLOR CAFÉ, CON ARENA FINA VOLCÁNICA POCA CUARZOSA Y MICROFOSILES CARBONATADOS	(SM) ARENA FINA VOLCÁNICA POCA CUARZOSA LIMOSA COLOR CAFÉ CON MICROFOSILES CARBONATADOS	(SM) IDEM	(MH) LIMO ARCILLOSO COLOR CAFÉ CON ARENA FINA VOLCÁNICA POCACUARZOSA, CON MICROFOSILES CARBONATADOS	(SM) ARENA FINA VOLCÁNICA POCA CUARZOSA LIMOSA COLOR CAFÉ CON MICROFOSILES CARBONATADOS	(CH) ARCILLA COLOR CAFÉ ROJIZO OBSCURO CON ARENA FINA POCAMEDIA VOLCÁNICA Y CUARZOSA CON MICROFOSILES CARBONATADOS	(MH) LIMO ARCILLOSO COLOR CAFÉ CON POCA ARENA FINA YMEDIA CUARZOSA Y VOLCÁNICA	(0H) ARCILLA ORGÁNICA COLOR CAFÉ OBSCURO CON ALGUNOS PEQUEÑOS 83.56614626 TROZOS DE MADERA DESCOMPUESTA, CON ALGUNAS BOLSAS DE ARENA FINA CUARZOSA Y VOLCÁNICA POCA PUMITICA
[%] w	59'96	75.73	123.39	76.79	90.09	62.09	65.30	58.85	70.41	57.49	69.38	61.94	83.56614626
W <sub>SS</sub>	33.69	27.28	26.12	41.32	26.24	43.44	37.78	36.84	40.93	46.69	49.48	41.28	48.68
W <sub>SH</sub>	32.56	20.66	32.23	31.73	23.64	26.97	24.67	21.68	28.82	26.84	34.33	25.57	40.68
W <sub>tara</sub> + W <sub>SS</sub> [g]	48.57	42.92	41.6	56.66	38.38	53	54.24	52.75	57.16	61.92	64.72	56.6	64.54
W <sub>tara</sub> + W <sub>SH</sub> [g]	81.13	63.58	73.83	88.39	62.02	85.97	78.91	74.43	85.98	88.76	99.05	82.17	105.22
W <sub>bra</sub>	14.88	15.64	15.48	15.34	12.14	15.56	16.46	15.91	16.23	15.23	15.24	15.32	15.86
TARA	120	329	130	<i>L</i> 9	165	91	343	88	356	142	207	188	364
PROFUNDIDAD (m)	25.90-26.50	26.50-27.10	27.10-27.70	27.70-27.90	27.90-28.30	28.30-28.90	28.90-29.50	29.50-30.10	30.10-30.70	30.70-31.30	31.30-31.90	31.90-32.50	32.50-33.10
MUESTRA No.	44	45	46	47-SUP	47-INF	48	49	250	25	25	ß	54	8

Proyecto: Morelia 10 Sondeo: SE-1

Fecha: octubre 2021

Hoja: 5 de 6

No. 56 S6 S6 S6 S6	(m) 33.10-33.70 33.70-34.30 34.90-35.50	353 317 317	15.73 121.4	81.97 81.19 31.19	W <sub>ura</sub> + W <sub>SS</sub> [g] 49.33 22.13	32.64 32.64 18.64	10.88 28.97	w [%] w [%] 97.14 83.27 64.34	CLASIFICACIÓN VISUAL  (MH) LIMO ARCILLOSO COLOR GRIS VERDOSO CON ARENA FINA Y MEDIA PUMITICA Y CUARZOSA CON ALGUNOS PEQUEÑOS LENTES DE CENIZA VOLCÁNICA  (MH) LIMO ARCILLOSO COLOR CAFÉ CON POCA ARENA FINA Y MEDIA CUARZOSA Y ANDESITICA  (MH) LIMO ARCILLOSO COLOR GRIS CON ARENA FINA Y MEDIA CUARZOSA, ANDESITICA Y PUMITICA  (MH) LIMO ARCILLOSO COLOR GRIS CON ARENA FINA POCA MEDIA
	36.10-36.70 36.70-37.30 37.30-37.90	102 89 89 74	14.67 15.03 15.28	88.69	34.01 34.15	47.91	26.11	183.49	CUARZOSA Y PUMI IICA POCA ANDESI IICA, CON ALGUNAS RAICES FOSILIZADAS  (MH) LIMO ARCILLOSO COLOR GRIS VERDOSO CLARO CON POCA ARENA FINA  VOLCÁNICA CUARZOSA  (MH) IDEM  (MH) IDEM
64-SUP 64-INF	37.90-38.55	139	15.1	68.35	40.15	28.2	25.05	24.92	(MH) LIMO ARCILLOSO COLOR GRIS VERDOSO CON ARENA FINA POCA MEDIA ANDESTICA, CUARZOSA Y VOLCÁNICA (SM) ARENA FINA Y MEDIA CUARZOSA, PUMITICA Y ANDESTICA LIMOSA COLOR GRIS VERDOSO (SM) ARENA FINA, MEDIA Y GRUESA ANDESTICA POCA CUARZOSA LIMOSA
	38.50-39.10 39.70-40.30 40.30-40.90	330	16.78	114.18	87.01	27.17	70.5	38.54	(MH) LIMO ARCILLOSO COLOR GRIS CON ALGUNAS GRAVAS  GRUESA ANDESITICA Y PUMITICA MLY POCA CUARZOSA  (MH) LIMO ARCILLOSO COLOR GRIS VERDOSO CON ARENA FINA Y  MEDIAANDESITICA Y CUARZOSA POCA PUMITICA
	40.90-41.50	347	16.99	128.26 113.59	97.36 84.83	30.9	67.81	38.45 42.41 12.78	(MH) LIMO ARCILLOSO COLOR GRIS VERDOSO CON ARENA FINA Y MEDIA MUY POCA GRUESA ANDESITICA Y CUARZOSA POCA PUMITICA  (MH) IDEM  (SM) ARENA FINA, MEDIA Y GRUESA ANDESITICA LIMOSA COLOR GRIS CON ALGUNAS GRAVAS FRACTURADAS

Morelia 10 SE-1

octubre 2021 Proyecto: Sondeo: Fecha: Hoja:

9 ap 9

CLASIFICACIÓN VISUAL	(SM) ARENA FINA POCA MEDIA CUARZOSA, PUMITICA Y ANDESITICA LIMOSA COLOR CAFÉ GRISACEO CON ALGUNAS GRAVILLAS	(SM) ARENA FINA, MEDIA Y GRUESA ANDESITICA POCA CUARZOSA LIMOSA COLOR GRIS VERDOSO CON ALGUNAS GRAVAS ANDESITICAS	(SM) ARENA FINA Y MEDIA POCA GRUESA ANDESITICA Y CUARZOSA LIMOSA COLOR GRIS CON ALGUNAS GRAVAS FRACTURADAS	(SM) ARENA FINA, MEDIA Y GRUESA ANDESITICA POCA CUARZOSA LIMOSA COLOR GRIS VERDOSO CON ALGUNAS GRAVAS FRACTURADAS	(MH) LIMO ARCILLOSO COLOR GRIS VERDOSO CLARO CON ARENA FINAY MEDIA POCA GRUESA PUMITICA POCA CUARZOSA CON ALGUNAS GRAVAS PUMITICAS FRACTURADAS	(SM) ARENA FINA, MEDIA Y GRUESA PUMITICA LIMOSA COLOR GRIS VERDOSO CON GRAVAS PUMITICAS FRACTURADAS	(SM) ARENA FINA, MEDIA Y GRUESA ANDESITICA Y PUMITICA POCA CUARZOSA LIMOSA COLOR GRIS VERDOSO CON ALGUNAS GRAVAS	(SM) ARENA FINA Y MEDIA MUY POCA GRUESA ANDESITICA, CUARZOSAY PUMITICA LIMOSA COLOR GRIS AZULOSO	(SNJ) ARENA FINA Y MEDIA POCA GRUESA PUMITICA Y CUARZOSA POCAANDESITICA LIMOSA COLOR GRIS AZULOSO	(SM) ARENA FINA, MEDIA Y GRUESA PUMITICA POCA CUARZOSA LIMOSA COLOR VERDE CLARO CON ALGUNAS GRAVILLAS PUMITICAS FRACTURADAS	(SM) ARENA FINA Y MEDIA CUARZOSA Y ANDESITICA POCA PUMITICA LIMOSA COLOR GRIS VERDOSO	(SM) IDEM	(SM) ARENA FINA Y MEDIA POCA GRUESA PUMITICA Y CUARZOSA POCAANDESITICA LIMOSA COLOR GRIS VERDOSO	(MH) LIMO ARCILLOSO COLOR GRIS VERDOSO CON ARENA FINA Y MEDIAANDESITICA Y CUARZOSA MUY POCA PUMITICA
w [%]	27.53	22.11	15.05	13.04	43.08	37.13	18.83	19.25	27.75	37.01	19.07	19.37	23.01	31.71
W <sub>SS</sub>	117.76	105.75	102.71	70.92	82.8	76.77	76.53	92.05	80.81	79.93	91.77	109.11	114.75	38.79
W <sub>SH</sub>	32.42	23.38	15.46	9.25	35.67	28.95	14.41	27.71	22.02	29.58	17.5	21.14	26.4	12.3
W <sub>tara</sub> + W <sub>SS</sub> [g]	133.56	122.2	118.1	82.91	97.68	94.79	91.61	107.11	96.61	94.99	107.4	125.04	130.38	54.61
W <sub>tara</sub> + W <sub>SH</sub> [g]	165.98	145.58	133.56	92.16	133.35	123.74	106.02	124.83	118.63	124.57	124.9	146.18	156.78	66.91
W <sub>tara</sub> [g]	15.8	16.45	15.39	11.99	14.88	16.82	15.08	15.06	15.8	15.06	15.63	15.93	15.63	15.82
TARA	430	322	æ	164	114	333	124	125	88	127	130	349	411	429
PROFUNDIDAD (m)	42.70-43.30	43.30-43.90	43.90-44.50	44.50-45.10	45.10-45.70	45.70-46.30	46.30-46.90	46.90-47.50	47.50-48.10	48.10-48.70	48.70-49.30	49.30-49.90	49.90-50.50	50.50
MUESTRA No.	72	73	74	27.	76	11	78	6/	8	18	82	88	8	TSHELBY

Proyecto:

Morelia 10

Sondeo:

SMS-1

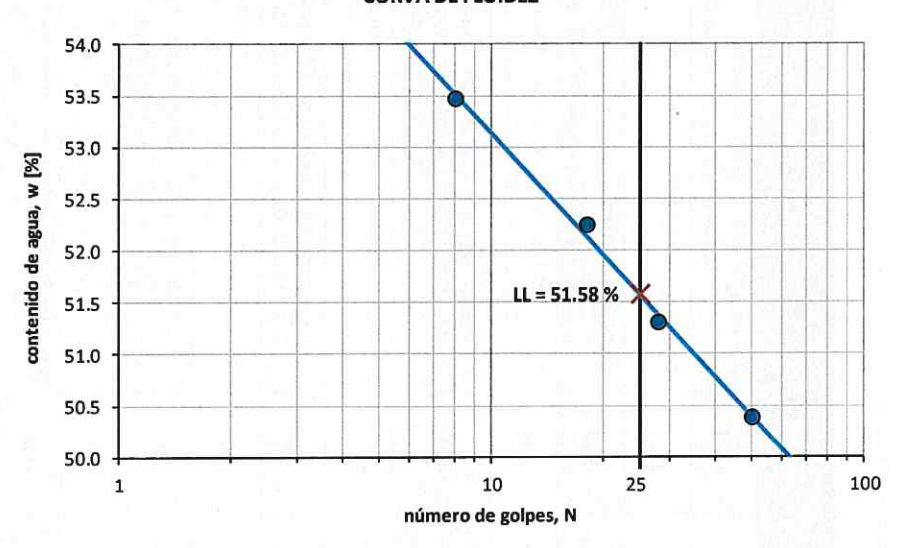
Muestra: Profundidad: 3.5 m

M-1

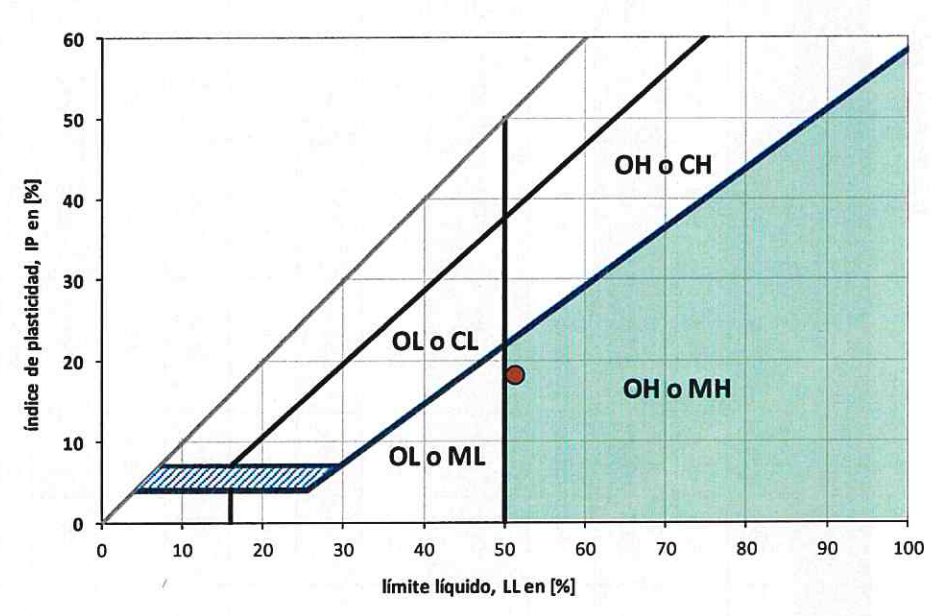
Fecha:

octubre 2021

#### **CURVA DE FLUIDEZ**



# CARTA DE PLASTICIDAD



Límite Líquido:

51.58%

Límite Plástico:

33.74%

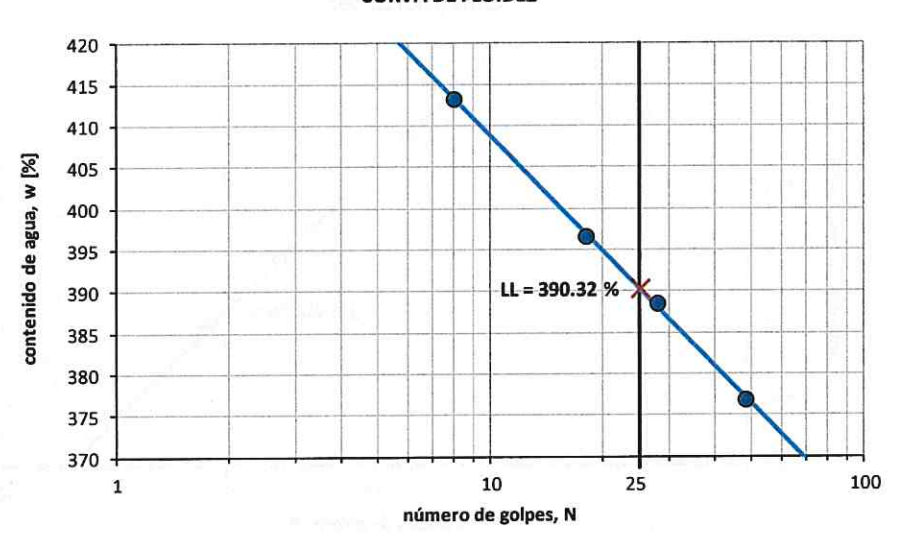
Indice de Plasticidad:

17.84 %

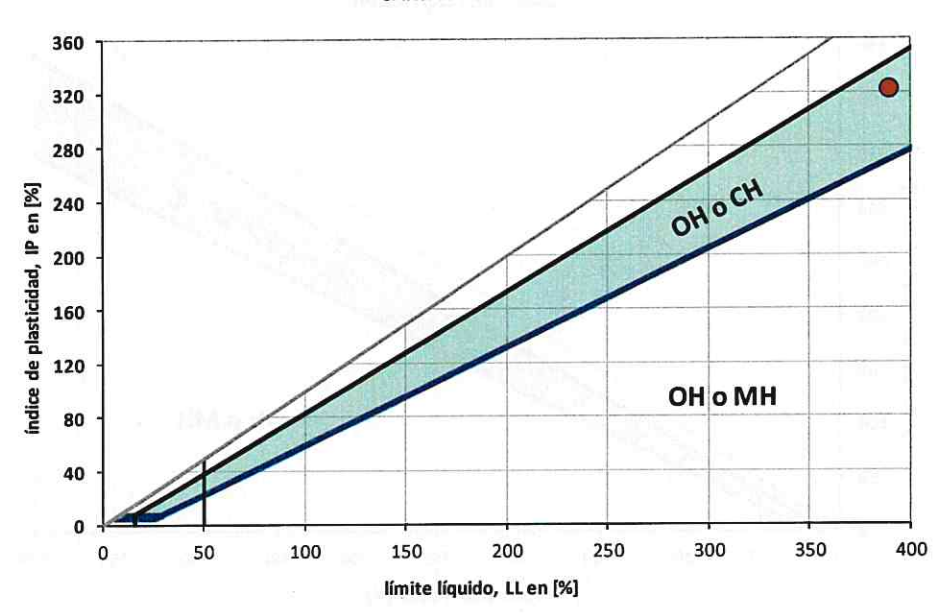
Clasificación SUCS Descripción LIMO DE ALTA PLASTICIDAD COLOR VERDE OSCURO MH

Proyecto: Morelia 10
Sondeo: SMS-1
Muestra: M-2
Profundidad: 9.0 m
Fecha: octubre 2021

#### **CURVA DE FLUIDEZ**



#### **CARTA DE PLASTICIDAD**



Límite Líquido:	390.32 %
Límite Plástico:	69.85 %
Indice de Plasticidad:	320.47 %

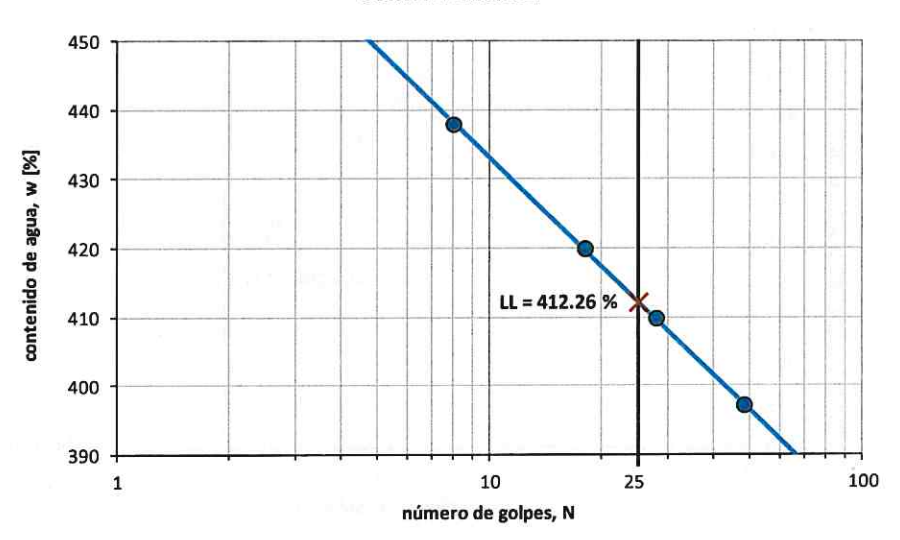
Clasificación SUCS	Descripción
СН	ARCILLA DE ALTA PLASTICIDAD COLOR CAFÉ

Lib

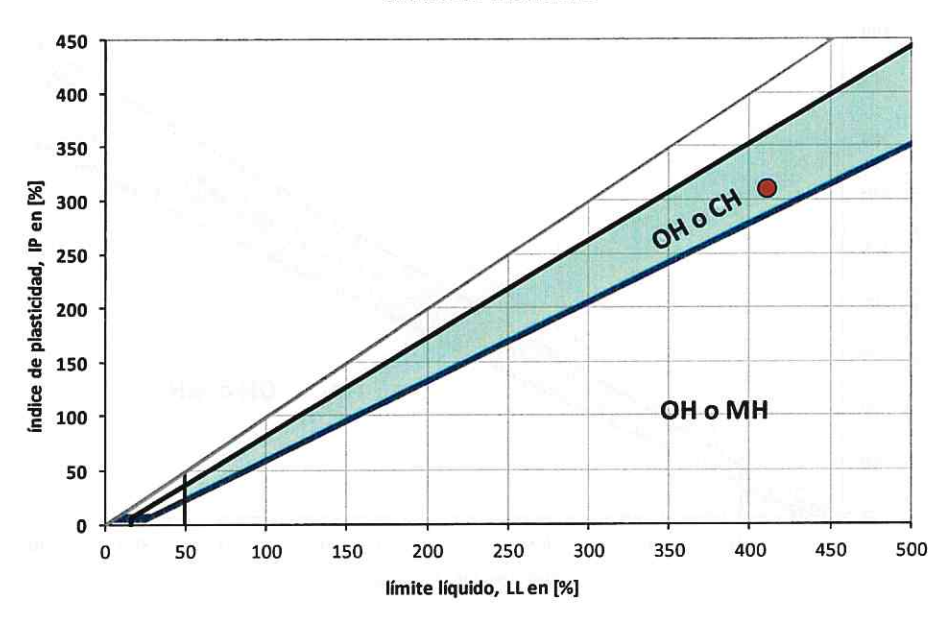
Proyecto: Morelia 10 SMS-1 Sondeo: Muestra: M-3 Profundidad: 16.0 m

Fecha: octubre 2021

# **CURVA DE FLUIDEZ**



# CARTA DE PLASTICIDAD



Límite Líquido:

412.26%

Límite Plástico:

104.19 %

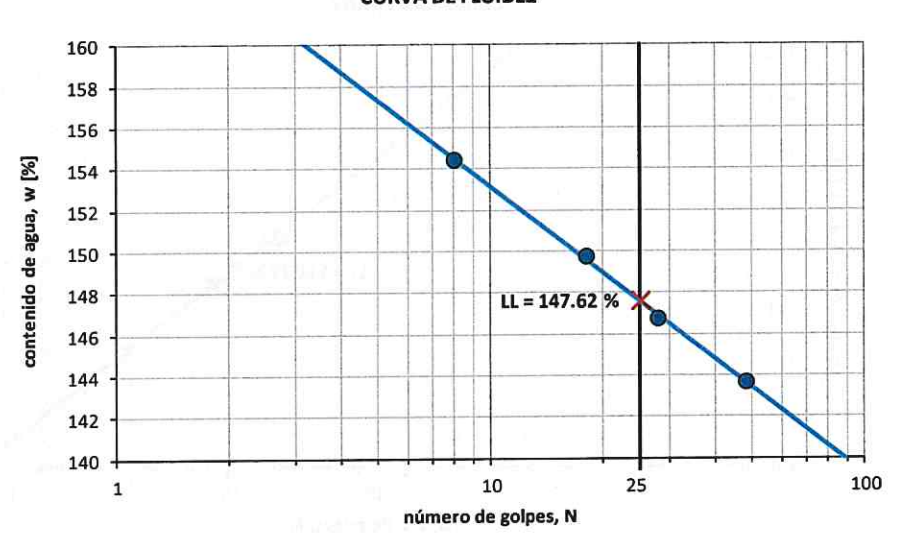
Indice de Plasticidad:

308.07 %

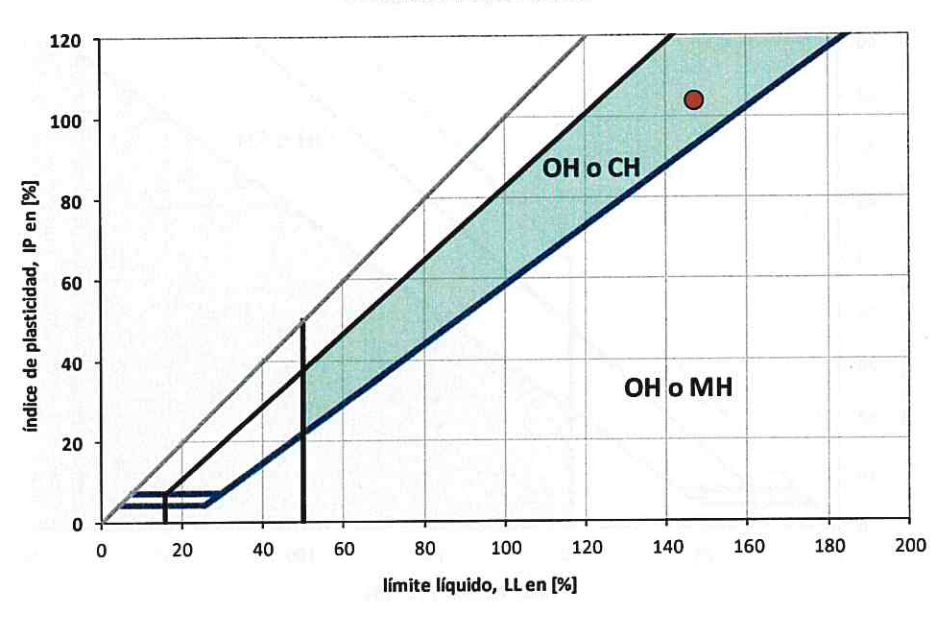
Descripción
ARCILLA DE ALTA PLASTICIDAD COLOR VERDE

Proyecto: Morelia 10
Sondeo: SMS-1
Muestra: M-4
Profundidad: 20.0 m
Fecha: octubre 2021

#### **CURVA DE FLUIDEZ**



#### CARTA DE PLASTICIDAD



Límite Líquido: 147.62 %
Límite Plástico: 44.45 %
Indice de Plasticidad: 103.18 %

Clasificación SUCS	Descripción
СН	ARCILLA DE ALTA PLASTICIDAD COLOR VERDE OSCURO

Proyecto: Sondeo: Muestra:

Morelia 10 SMS-1

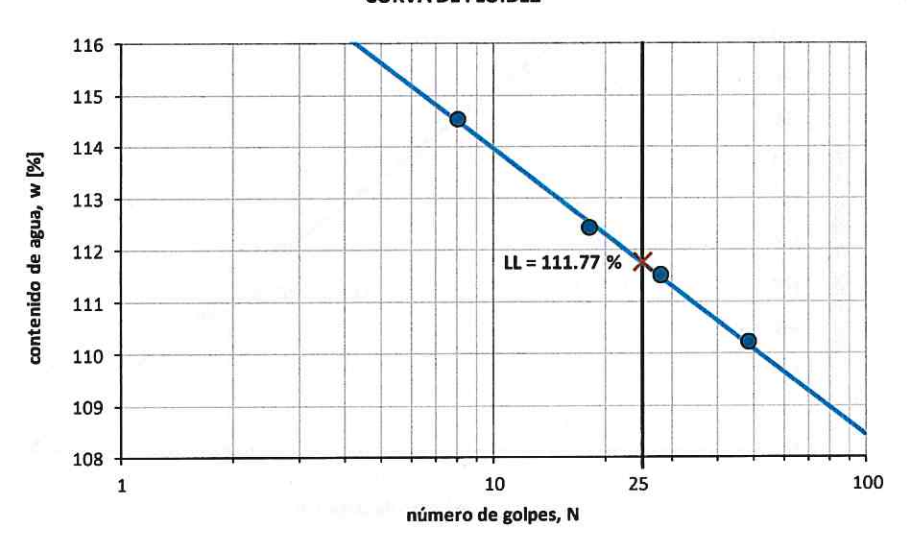
Profundidad: 25.5 m

M-5

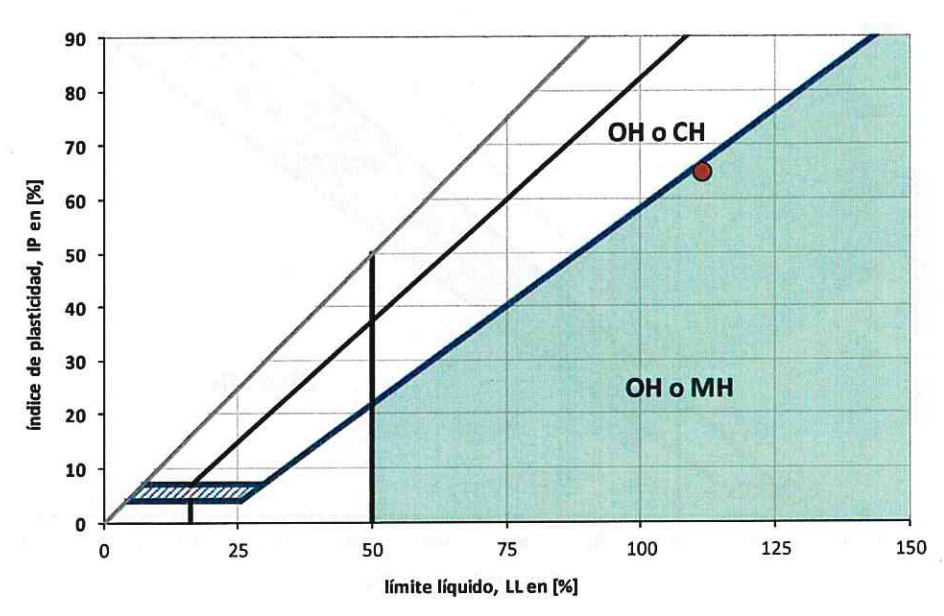
Fecha:

octubre 2021

#### **CURVA DE FLUIDEZ**



# **CARTA DE PLASTICIDAD**



Límite Líquido:

111.77%

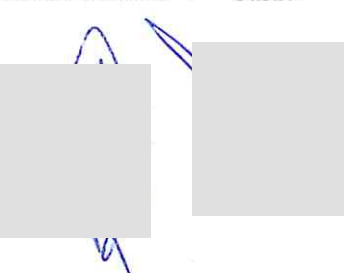
Límite Plástico:

47.26 %

Indice de Plasticidad:

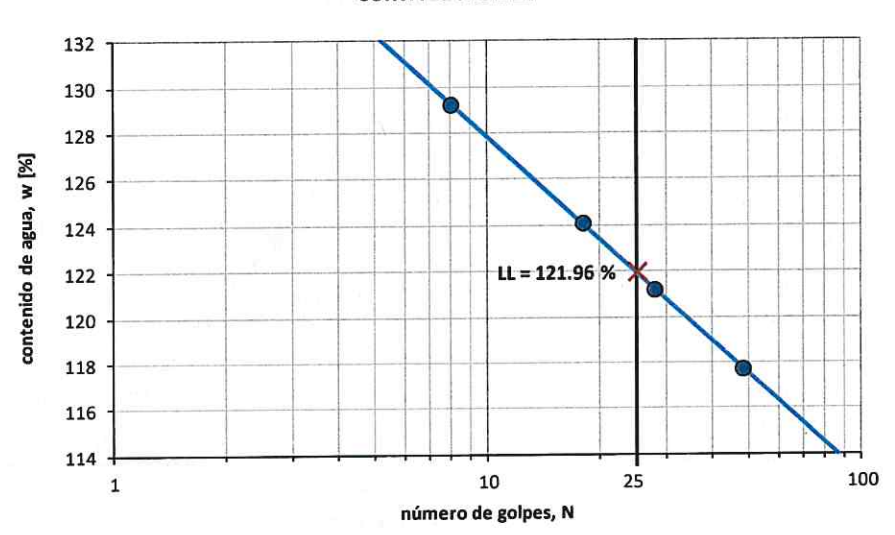
64.51 %

Clasificación SUCS	Descripción		
МН	LIMO DE ALTA PLASTICIDAD COLOR CAFÉ OSCURO		

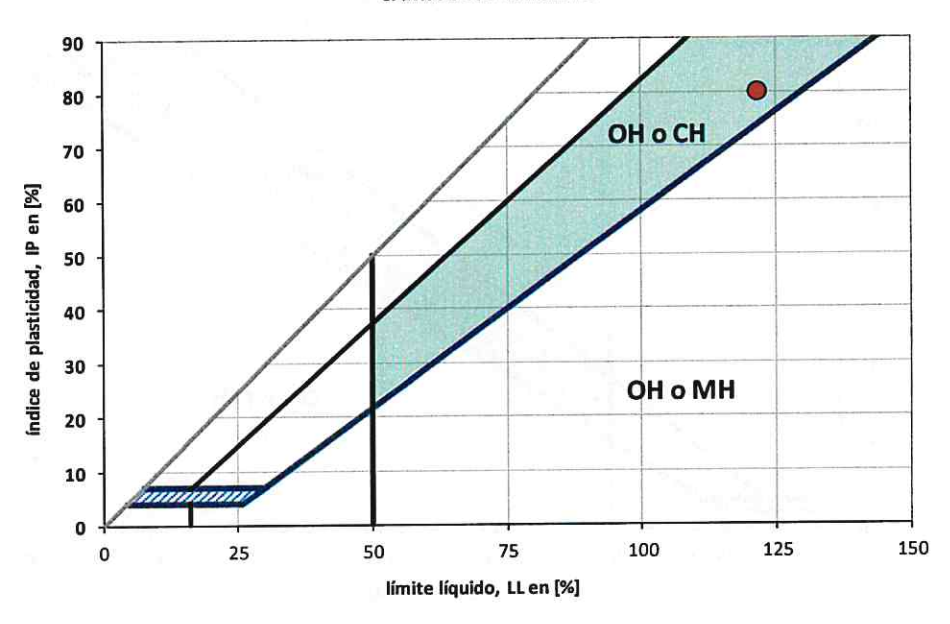


Proyecto: Morelia 10
Sondeo: SMS-1
Muestra: M-6
Profundidad: 31.0 m
Fecha: octubre 2021

# **CURVA DE FLUIDEZ**



# CARTA DE PLASTICIDAD



Límite Líquido:	121.96 %
Límite Plástico:	42.36 %
Indice de Plasticidad:	79.60 %

Clasificación SUCS	Descripción			
СН	ARCILLA DE ALTA PLASTICIDAD COLOR CAFÉ OSCURO			

Proyecto:

Morelia 10

Sondeo:

SMS-1 M-7

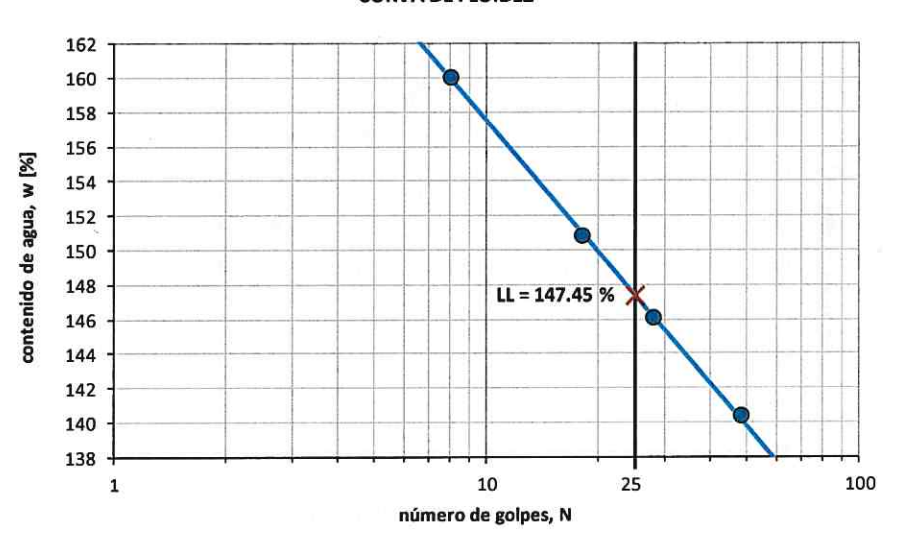
Muestra:

Profundidad: 37.5 m

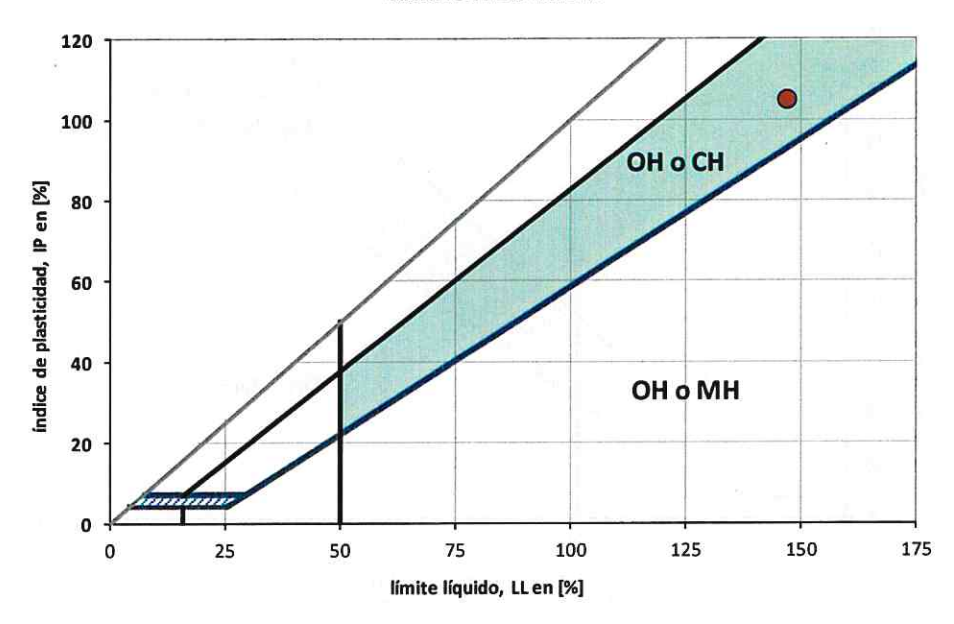
Fecha:

octubre 2021

#### **CURVA DE FLUIDEZ**



# **CARTA DE PLASTICIDAD**



Límite Líquido:

147.45 %

Límite Plástico:

42.90%

Indice de Plasticidad:

104.55 %

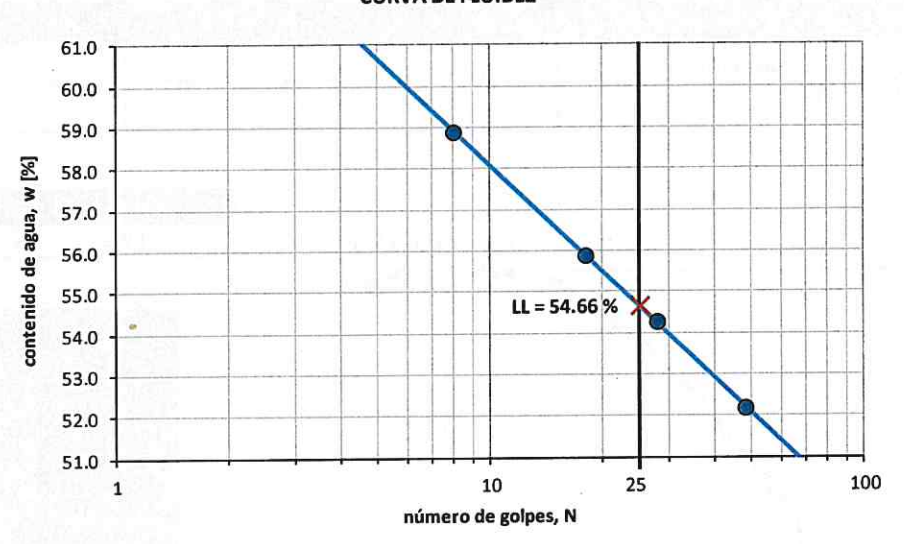
Clasificación SUCS

Descripción

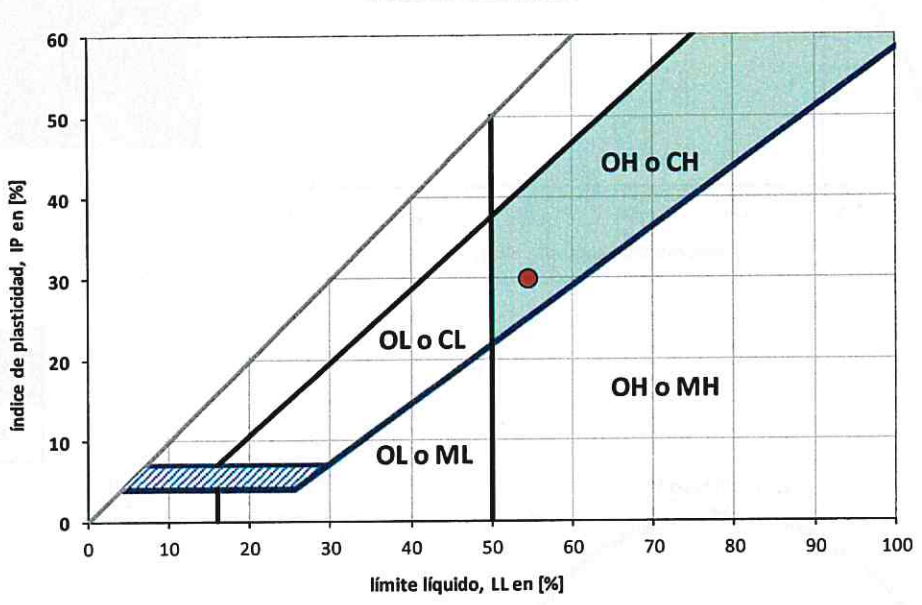
ARCILLA DE ALTA PLASTICIDAD COLOR GRIS VERDOSO

Proyecto: Morelia 10
Sondeo: SMS-1
Muestra: M-8
Profundidad: 50.5 m
Fecha: octubre 2021

#### **CURVA DE FLUIDEZ**



# CARTA DE PLASTICIDAD



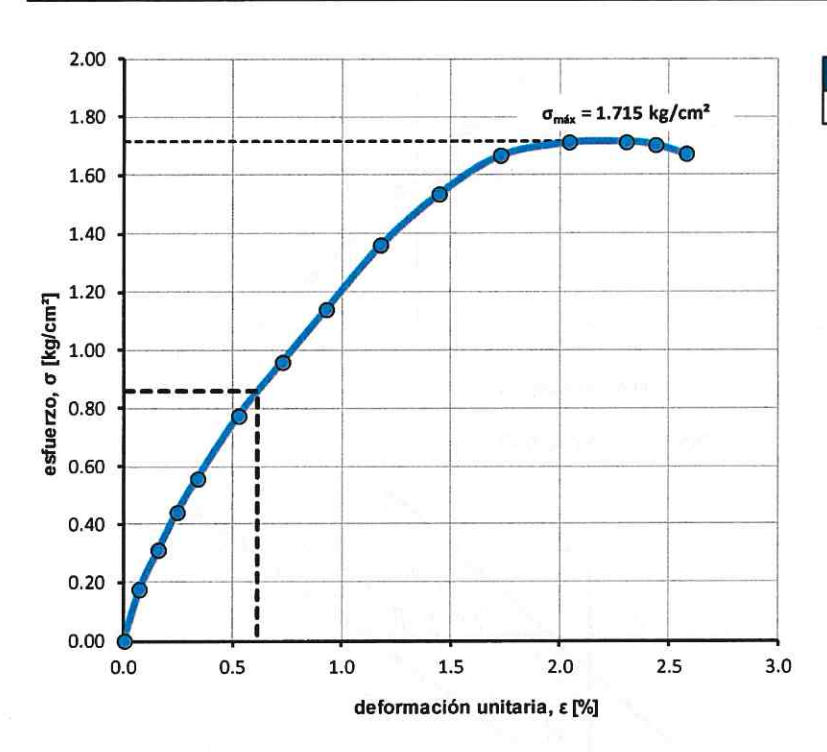
Límite Líquido:	54.66 %
Límite Plástico:	25.01 %
Indice de Plasticidad:	29.65 %

Clasificación SUCS	Descripción		
СН	ARCILLA DE ALTA PLASTICIDAD COLOR GRIS VERDOSO		

W

Proyecto: Morelia 10
Sondeo: SMS-1
Muestra: M-1
Profundidad: 3.5 m
Fecha: octubre 2021

Clasificación del material	W, [%]	W <sub>f</sub> [%]	eį	e <sub>f</sub>	G <sub>wi</sub> [%]	G <sub>wf</sub> [%]	$\gamma_{hi}$ [t/m³]	Ss
(MH) LIMO ARCILLOSO COLOR GRIS OBSCURO CON ARENA FINA Y CENIZA VOLCÁNICA	62.76	62.70	1.66	1.66	93.7	93.6	1.518	2.483



σ [kg/cm²]	E <sub>so</sub> [kg/cm²]			
1.715	92.230			

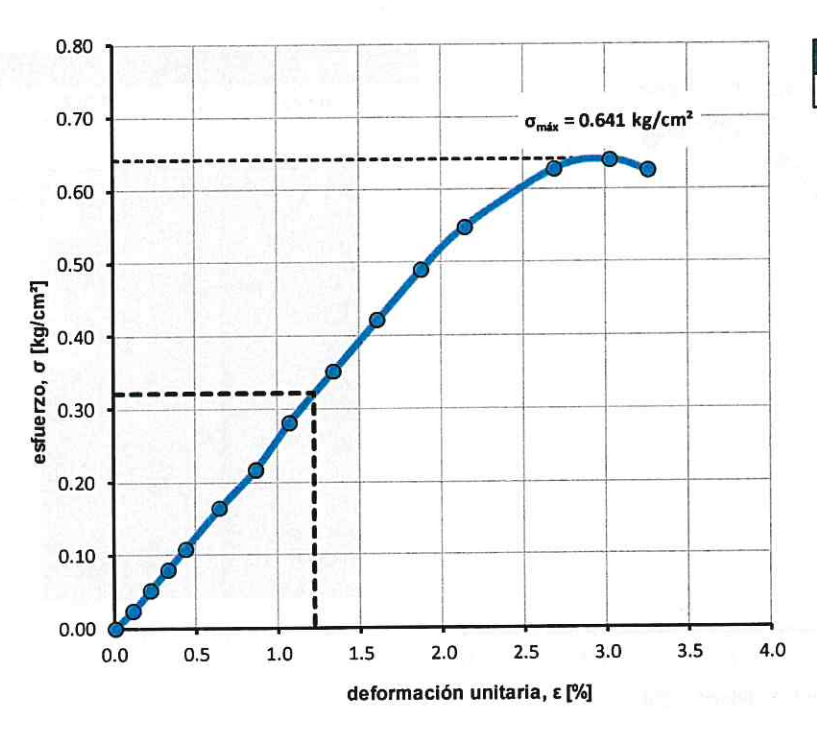


1.40				1.7-4	14		
1.20		1,1,41,11					
1.00	c = 0.8	358 kg/cm <sup>2</sup>					
0.80		X			n n		
0.60			1				
0.40				1			
0.20			1				-
0.00	0.40 0.			1.60 2. nal, en kg/cm		40	2.80

q <sub>u</sub>	c			
[t/m²]	[t/m²]			
17.15	8.58			

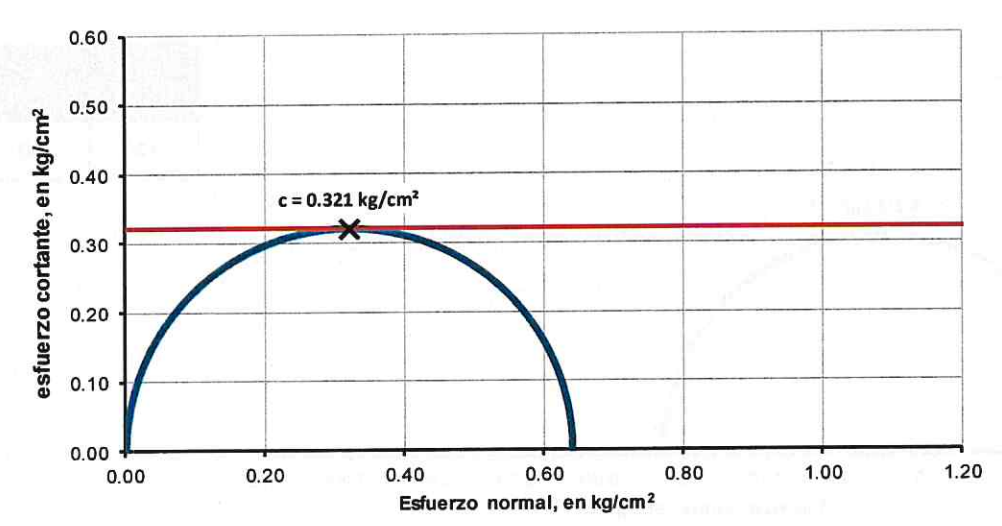
Proyecto: Morelia 10
Sondeo: SMS-1
Muestra: M-2
Profundidad: 9.0 m
Fecha: octubre 2021

Clasificación del material	W <sub>i</sub> [%]	W <sub>f</sub> [%]	e <sub>i</sub>	e <sub>f</sub>	G <sub>wi</sub> [%]	G <sub>wf</sub> [%]	γ <sub>hi</sub> [t/m³]	Ss
(CH) ARCILLA DE ALTA PLASTICIDAD COLOR CAFÉ CON ALGUNAS PEQUEÑAS BOLSAS DE CENIZA VOLCÁNICA	274.53	273.93	6.25	6.25	100.0	100.0	1.186	2.297



σ [kg/cm²]	E <sub>50</sub> [kg/cm <sup>2</sup> ]
0.641	26.055



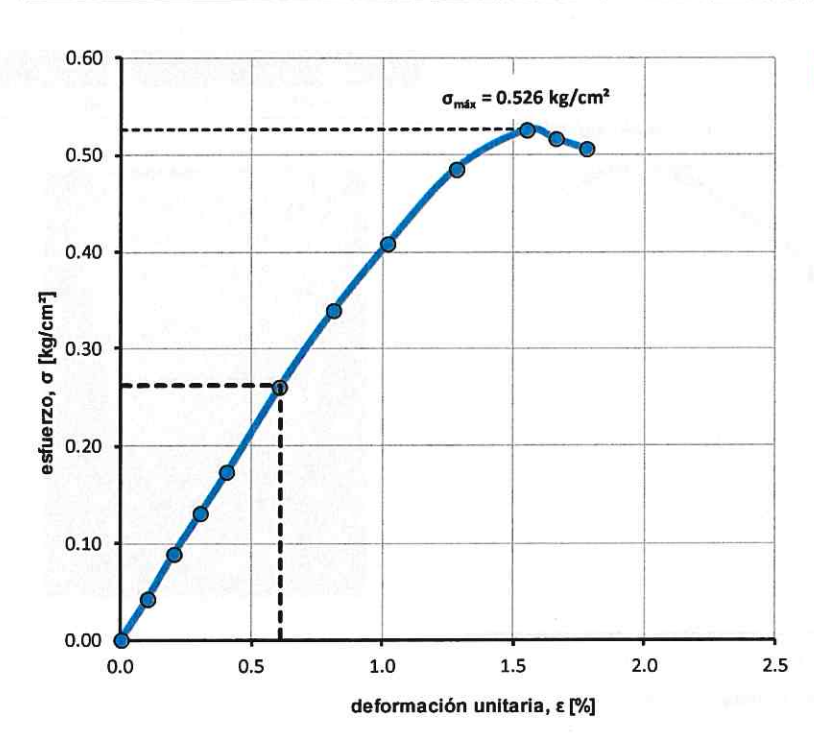


q <sub>u</sub>	c
[t/m²]	[t/m²]
6.41	3.21



Proyecto: Morelia 10
Sondeo: SMS-1
Muestra: M-3
Profundidad: 16.0 m
Fecha: octubre 2021

Clasificación del material	w <sub>i</sub> [%]	w <sub>f</sub> [%]	e <sub>i</sub>	e <sub>f</sub>	G <sub>wi</sub> [%]	G <sub>wf</sub> [%]	γ <sub>hi</sub> [t/m³]	Ss
(CH) ARCILLA DE ALTA PLASTICIDAD COLOR VERDE	377.64	377.21	8.89	8.89	99.6	99.5	1.133	2.346





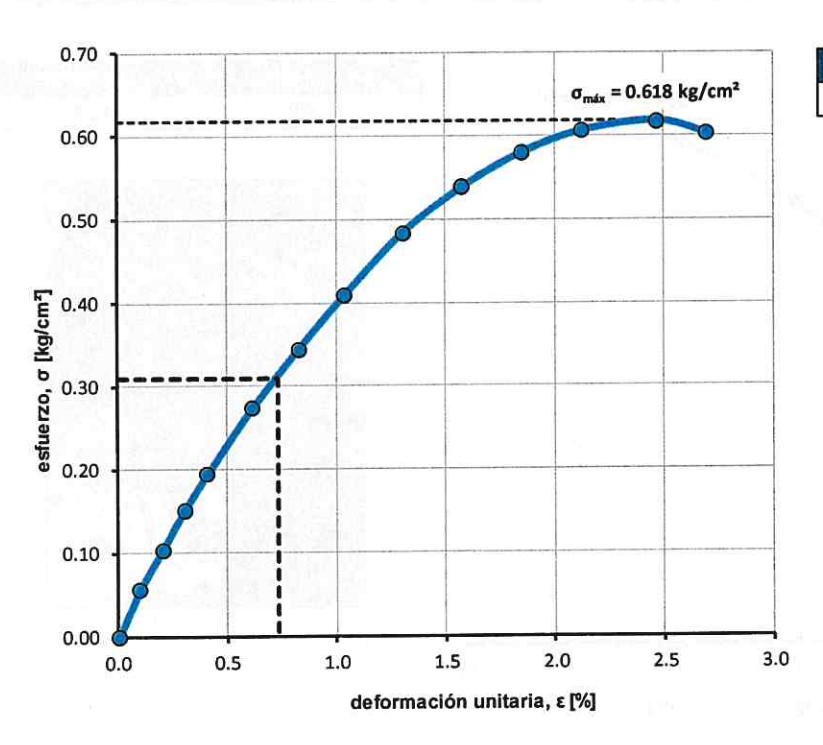


	0.50												
						li i							
0	.40		+-			<del> </del>	1		-				
0 0 0	.35		+-				-		+		-		
0	.30		-	- c = 0	.263 kg	g/cm² —	+			-	_		
0	.25				×				+				
0	.20			-			1						1
0	.15		+		1	ļ		1					
0	.10		-				-	1					
	.05 -		-				-				-		
0.	0.00	0	0.10	0.20	0	.30	0.40	0.50	0.60	0.70	0.80	0.9	90
	0.0		0.10	0.20	U.			mal, en k		0.70	5.00	0.0	

q <sub>u</sub>	c
[t/m²]	[t/m²]
5.26	2.63

Proyecto: Morelia 10
Sondeo: SMS-1
Muestra: M-4
Profundidad: 20.0 m
Fecha: octubre 2021

Clasificación del material	w <sub>i</sub> [%]	w <sub>f</sub> [%]	e <sub>i</sub>	e <sub>f</sub>	G <sub>wi</sub> [%]	G <sub>wf</sub> [%]	$\gamma_{hi} [t/m^3]$	Ss
(CH) ARCILLA DE ALTA PLASTICIDAD COLOR VERDE OSCURO	115.92	115.75	2.84	2.84	97.7	97.5	1.345	2.389



σ [kg/cm²]	E <sub>50</sub> [kg/cm <sup>2</sup> ]
0.618	33.446

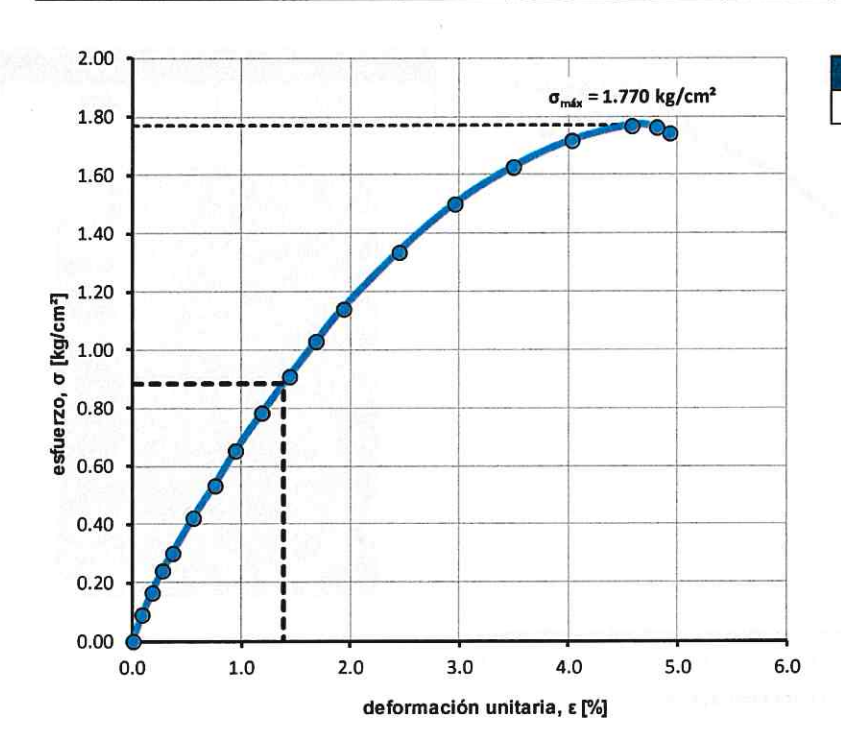


0.45			
0.40			
0.35	c = 0.309 kg/cm <sup>2</sup>	_	
0.30			
0.25			
0.20			
0.15			
0.10		1	
0.05			
0.00 0.10	0 0.20 0.30 0.40	0.50 0.60 0.	70 0.80 0.90

q <sub>u</sub>	c
[t/m²]	[t/m²]
6.18	3.09

Proyecto: Morelia 10
Sondeo: SMS-1
Muestra: M-5
Profundidad: 25.5 m
Fecha: octubre 2021

Clasificación del material	w <sub>i</sub> [%]	w <sub>f</sub> [%]	e <sub>i</sub>	e <sub>f</sub>	G <sub>wi</sub> [%]	G <sub>wf</sub> [%]	$\gamma_{hi} [t/m^3]$	Ss
(MH) LIMO DE ALTA PLASTICIDAD COLOR CAFÉ OSCURO	91.36	91.13	2.05	2.05	100.0	100.0	1.417	2.257



σ [kg/cm²]	E <sub>50</sub> [kg/cm <sup>2</sup> ]			
1.770	50.190			

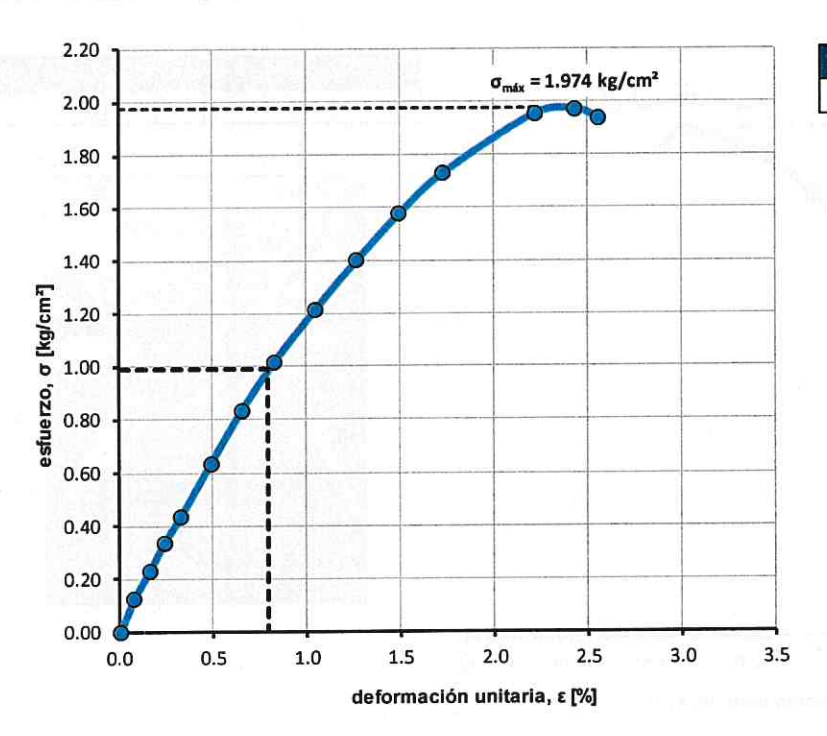


1.40							
1.20							
0.80		c = 0.885 kg/c	:m²				
0.80					- 120°		
0.60				1			
0.40							
0.20				1			
0.00	0.40	0.80	1.20	1.60 I, en kg/cm <sup>2</sup>	2.00	2.40	2

q <sub>u</sub>	c
[t/m²]	[t/m²]
17.70	8.85

Proyecto: Morelia 10
Sondeo: SMS-1
Muestra: M-6
Profundidad: 31.0 m
Fecha: octubre 2021

Clasificación del material	w <sub>i</sub> [%]	w <sub>f</sub> [%]	ei	e <sub>f</sub>	G <sub>wi</sub> [%]	G <sub>wf</sub> [%]	$\gamma_{hi} [t/m^3]$	Ss
(CH) ARCILLA DE ALTA PLASTICIDAD COLOR CAFÉ OSCURO	101.90	101.83	2.62	2.62	91.1	91.1	1.306	2.341



σ [kg/cm²]	E <sub>50</sub> [kg/cm <sup>2</sup> ]
1.974	104.438

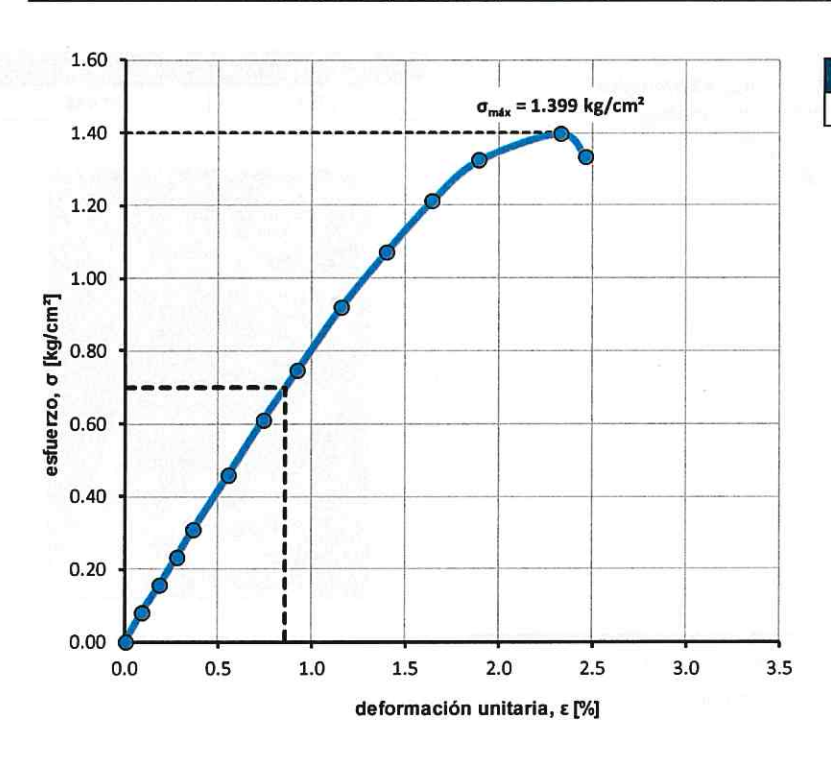


1.20	c = 0.987 kg	/cm²		
0.90	*			1-25 He
0.60			1	
0.30			1	

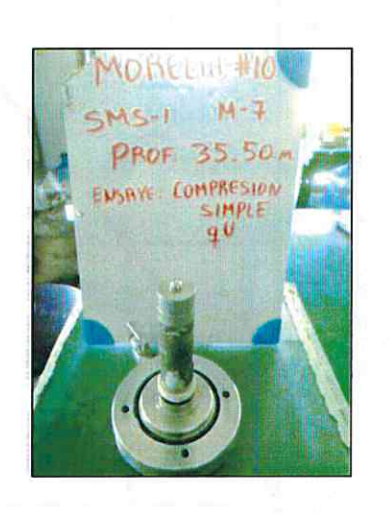
q <sub>u</sub>	c
[t/m²]	[t/m²]
19.74	9.87

Proyecto: Morelia 10
Sondeo: SMS-1
Muestra: M-7
Profundidad: 35.5 m
Fecha: octubre 2021

Clasificación del material	w <sub>i</sub> [%]	w <sub>f</sub> [%]	ei	e <sub>f</sub>	G <sub>wi</sub> [%]	G <sub>wf</sub> [%]	$\gamma_{hi} [t/m^3]$	Ss
(CH) ARCILLA DE ALTA PLASTICIDAD COLOR GRIS VERDOSO CON VETAS DE CENIZA Y VIDRIO VOLCÁNICO	62.03	61.90	1.72	1.72	86.9	86.7	1.436	2.411



σ [kg/cm²]	E <sub>50</sub> [kg/cm <sup>2</sup> ]			
1.399	73.837			



1.20						
0.80	c = 0.699 k	g/cm²		LLATE:		
0.60	*					
0.40						
0.20						
0.00	0.30 0.60	0.90 Esfuerzo norm	1.20 1.50 nal, en kg/cm²	1.80	2.10	

q <sub>u</sub>	c
[t/m²]	[t/m²]
13.99	6.99

Proyecto:

Morelia 10

Sondeo:

SMS-1 M-1

Muestra:

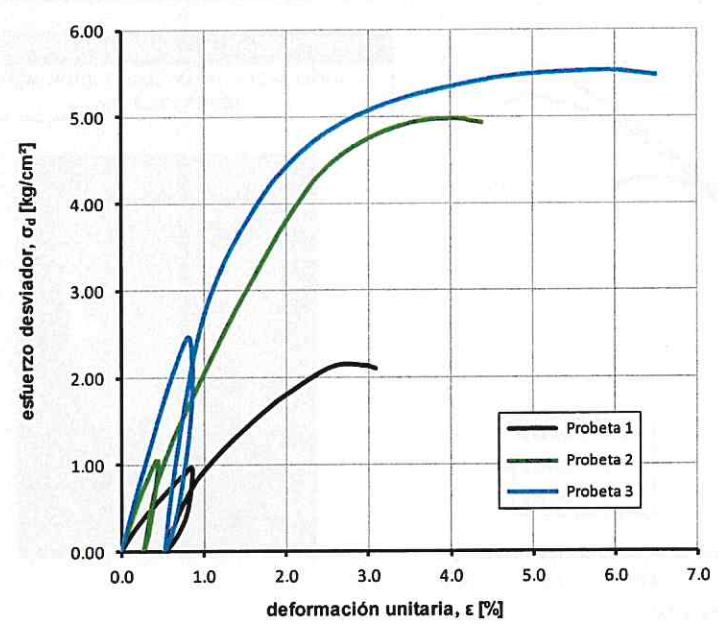
Profundidad: 3.5 m

Fecha:

octubre 2021

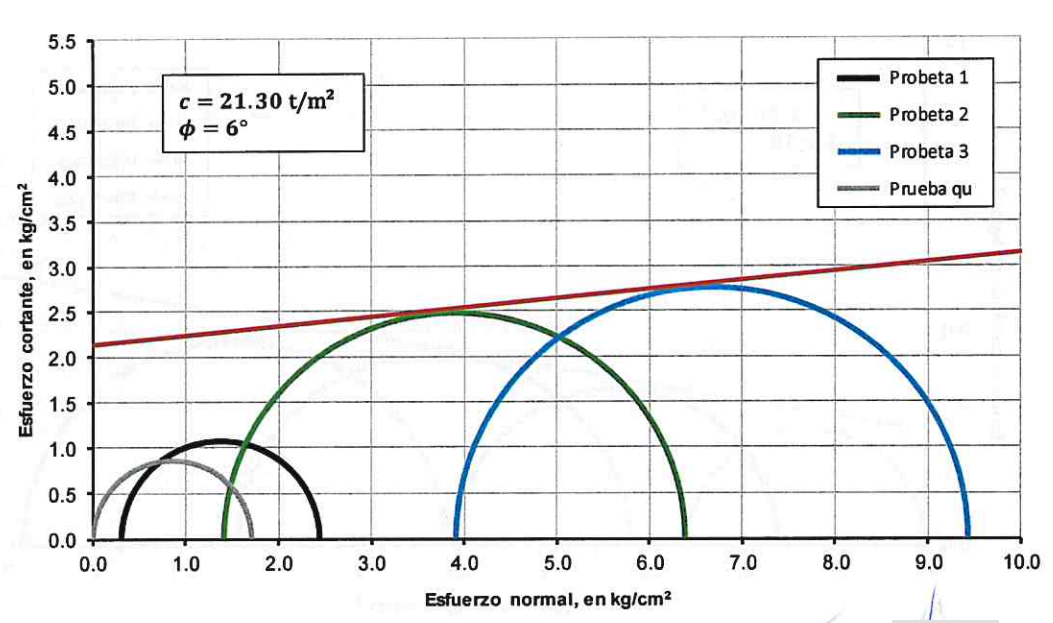
#### PRUEBA TRIAXIAL TX-UU

Probeta	σ <sub>1</sub> [kg/cm²]	σ <sub>3</sub> [kg/cm²]	σ <sub>d</sub> [kg/cm²]	w [%]	e [-]	G <sub>w</sub> [%]	γ [t/m³]	Ss	E <sub>so</sub> [kg/cm²]	E <sub>ur</sub> [kg/cm²]
1	2.44	0.30	2.14	70.96	1.82	97.0	1.507		93.27	286.58
2	6.38	1.40	4.98	70.26	1.81	96.3	1.503	2.483	202.55	637.25
3	9.43	3.90	5.53	71.54	1.83	96.8	1.503		265.58	888.47



# Clasificación del material (MH) LIMO ARCILLOSO COLOR GRIS OBSCURO CON ARENA FINA Y CENIZA VOLCÁNICA

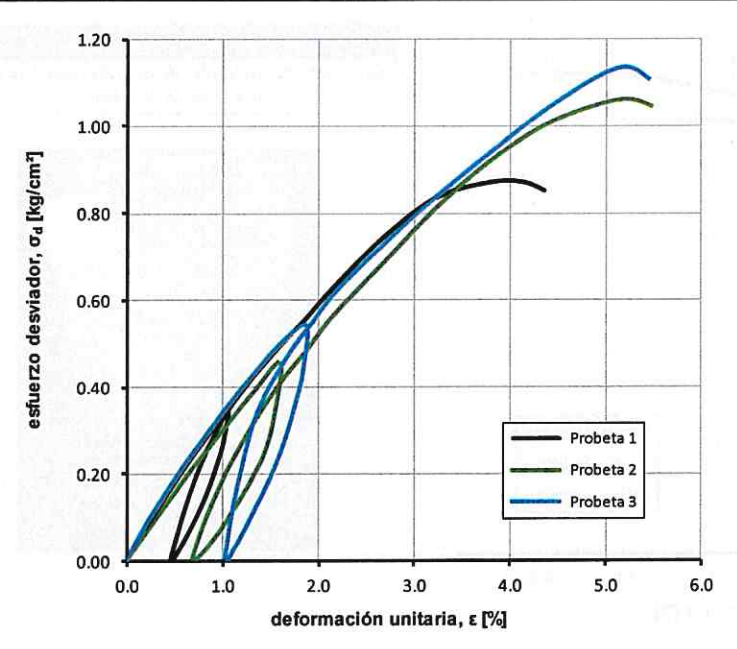




Proyecto: Morelia 10
Sondeo: SMS-1
Muestra: M-2
Profundidad: 9.0 m
Fecha: octubre 2021

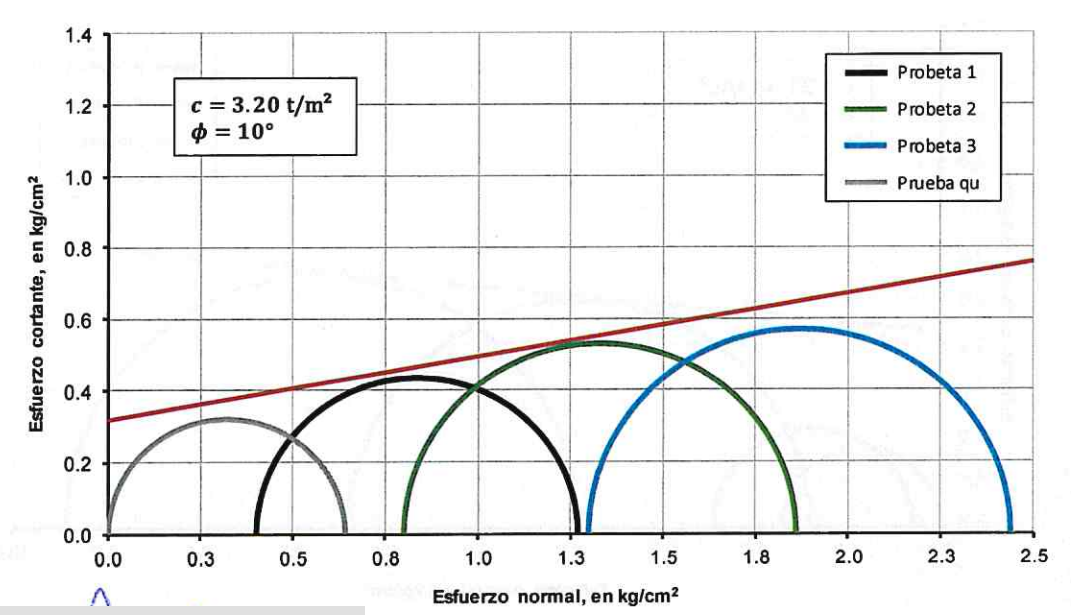
#### PRUEBA TRIAXIAL TX-UU

Probeta	σ <sub>1</sub> [kg/cm²]	σ₃ [kg/cm²]	σ <sub>d</sub> [kg/cm²]	w [%]	e [-]	G <sub>w</sub> [%]	γ [t/m³]	Ss	E <sub>50</sub> [kg/cm²]	E <sub>ur</sub> [kg/cm²]
1	1.27	0.40	0.87	267.95	5.90	100	1.178	2.207	31.44	58.71
2	1.86	0.80	1.06	267.57	5.86	100	1.182		25.95	49.42
3	2.44	1.30	1.14	265.17	5.75	100	1.194		28.36	64.48



#### Clasificación del material (CH) ARCILLA DE ALTA PLASTICIDAD COLOR CAFÉ CON CENIZA VOLCÁNICA

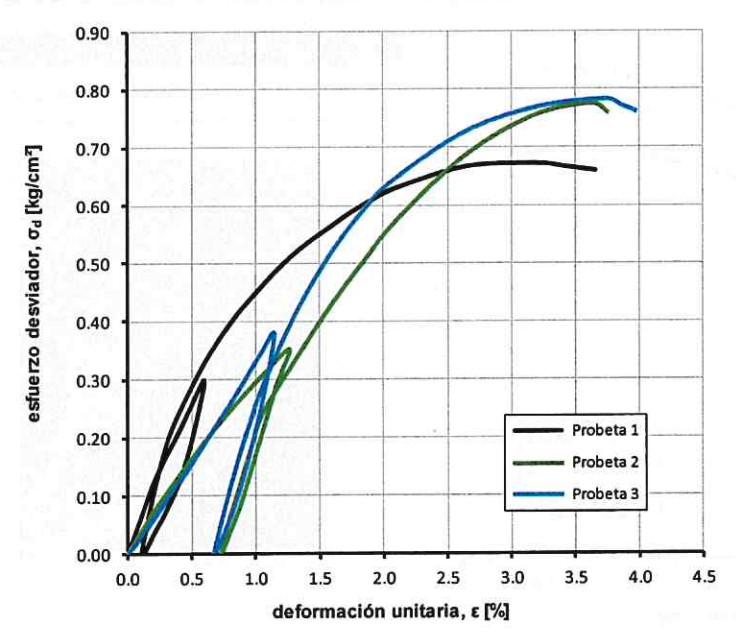




Proyecto: Morelia 10
Sondeo: SMS-1
Muestra: M-3
Profundidad: 16.0 m
Fecha: octubre 2021

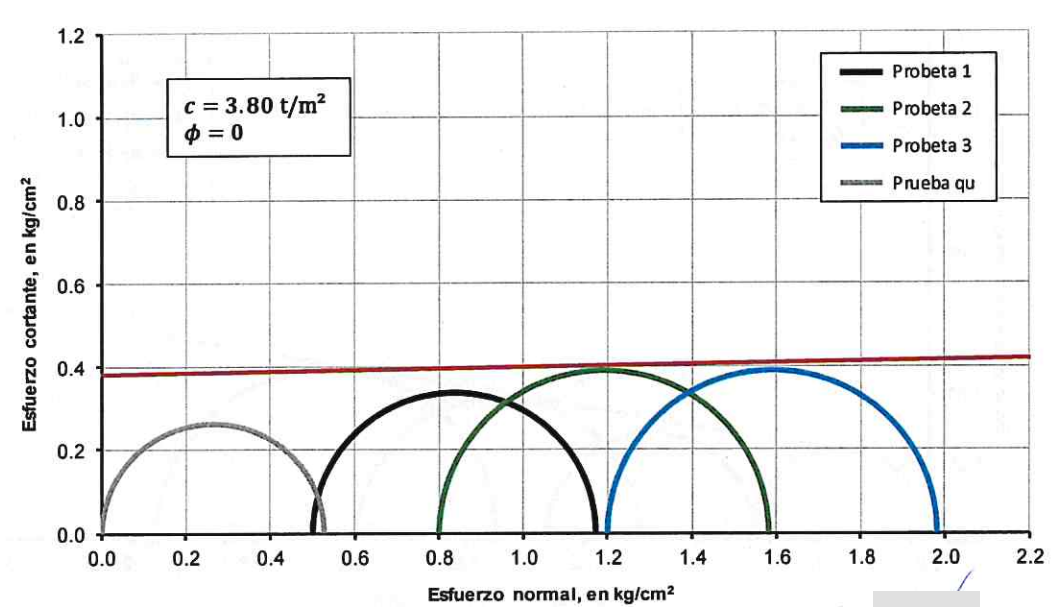
### PRUEBA TRIAXIAL TX-UU

Probeta	σ <sub>1</sub> [kg/cm²]	σ <sub>3</sub> [kg/cm²]	σ <sub>d</sub> [kg/cm²]	w [%]	e [-]	G <sub>w</sub> [%]	γ [t/m³]	Ss	E <sub>50</sub> [kg/cm²]	E <sub>ur</sub> [kg/cm²]
1	1.17	0.50	0.67	373.79	8.68	100	1.148	275	51.70	60.81
2	1.58	0.80	0.78	371.27	8.64	100	1.146	2.346	26.37	66.39
3	1.98	1.20	0.78	370.29	8.67	100	1.141		29.62	80.17



### Clasificación del material (CH) ARCILLA DE ALTA PLASTICIDAD COLOR VERDE

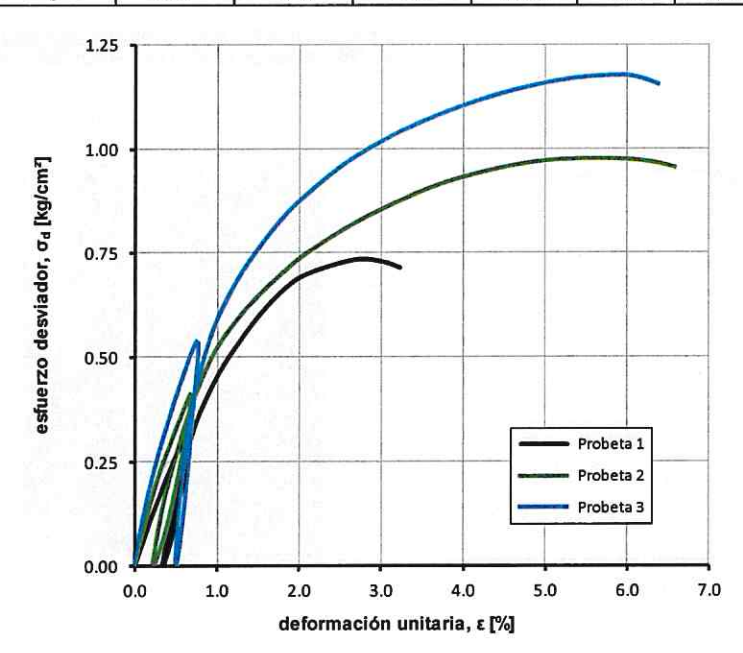




Proyecto: Morelia 10
Sondeo: SMS-1
Muestra: M-4
Profundidad: 20.0 m
Fecha: octubre 2021

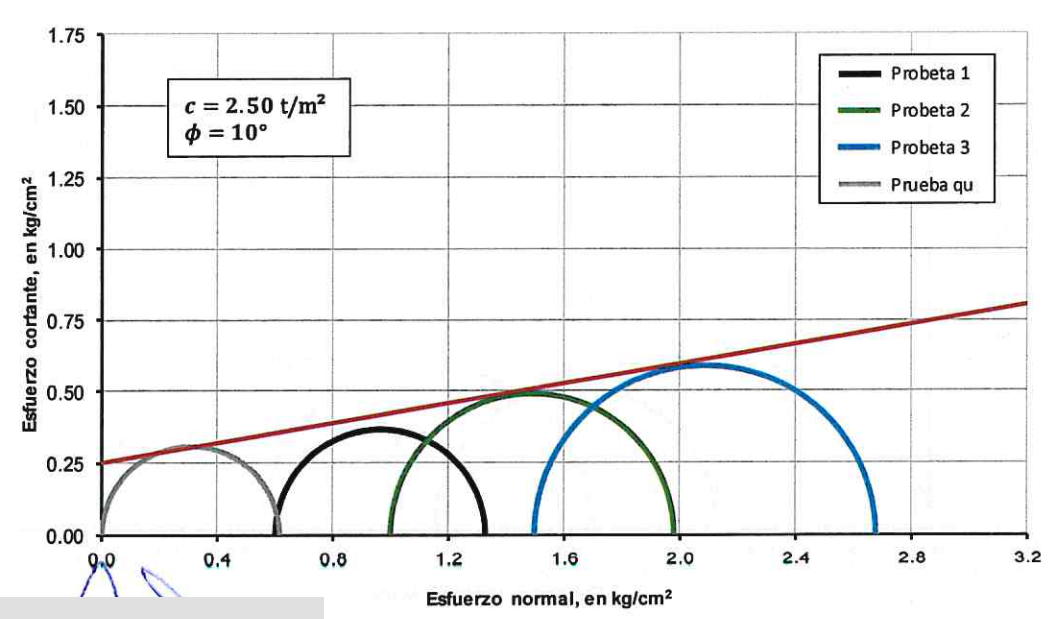
### PRUEBA TRIAXIAL TX-UU

Probeta	σ <sub>i</sub> [kg/cm²]	σ <sub>3</sub> [kg/cm²]	σ <sub>d</sub> [kg/cm²]	w [%]	e [-]	G <sub>w</sub> [%]	γ [t/m³]	Ss	E <sub>50</sub> [kg/cm²]	E <sub>ur</sub> [kg/cm²]
1	1.33	0.60	0.73	125.88	2.98	100	1.357	-1-	45.94	91.49
2	1.98	1.00	0.98	128.49	3.10	99.1	1.333	2.389	53.03	87.85
3	2.68	1.50	1.18	128.56	3.17	96.9	1.309		56.22	199.86



### Clasificación del material (CH) ARCILLA DE ALTA PLASTICIDAD COLOR VERDE OSCURO





Proyecto:

Morelia 10

Sondeo:

SMS-1 M-5

Muestra:

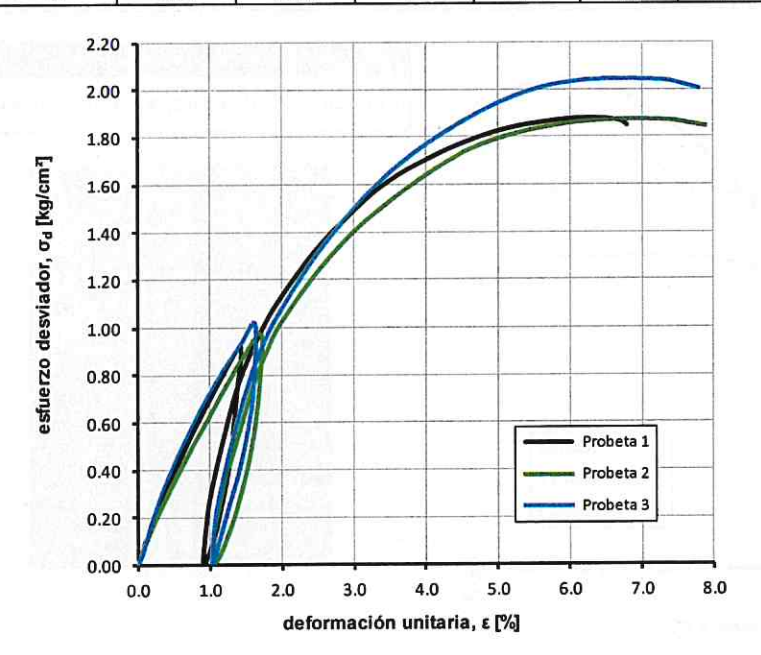
Profundidad: 25.5 m

Fecha:

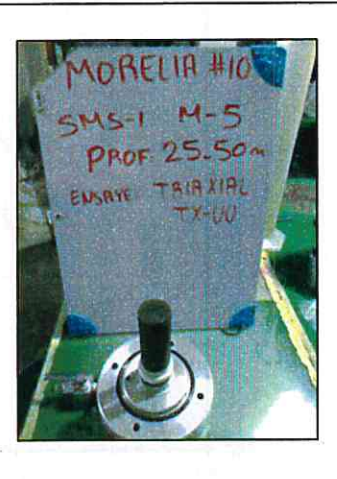
octubre 2021

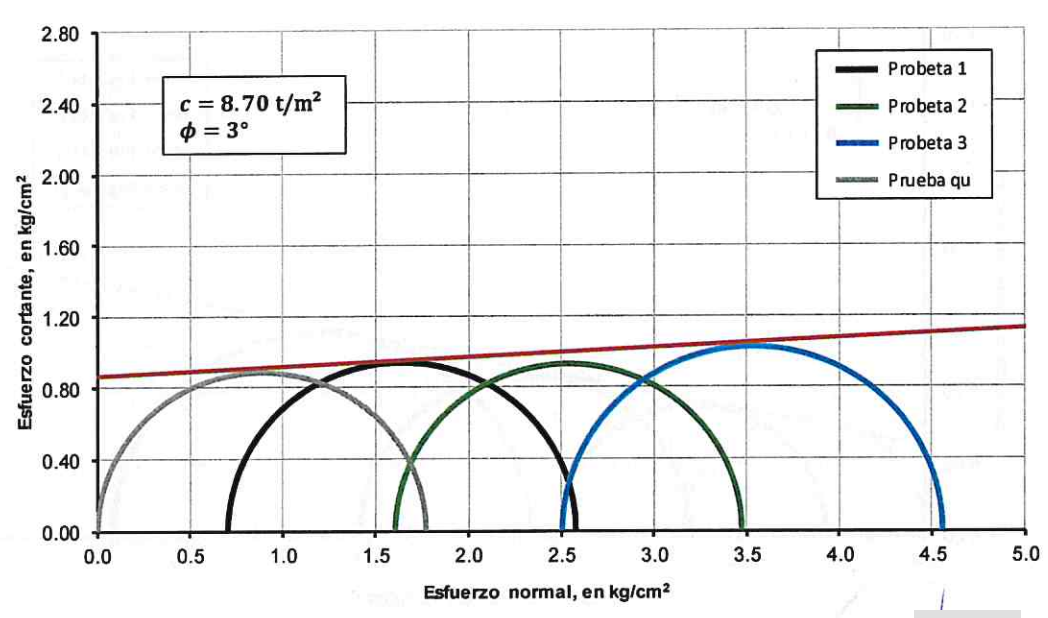
### PRUEBA TRIAXIAL TX-UU

Probeta	σ <sub>1</sub> [kg/cm²]	σ <sub>3</sub> [kg/cm²]	σ <sub>d</sub> [kg/cm²]	w [%]	e [-]	G <sub>w</sub> [%]	γ [t/m³]	Ss	E <sub>50</sub> [kg/cm²]	E <sub>ur</sub> [kg/cm²]
1	2.58	0.70	1.88	89.20	1.99	100	1.430		57.24	176.35
2	3.47	1.60	1.87	95.01	2.10	100	1.418	2.257	50.96	144.20
3	4.55	2.50	2.05	94.42	2.15	99.2	1.394		54.05	168.46



### Clasificación del material (MH) LIMO DE ALTA PLASTICIDAD COLOR CAFÉ OSCURO CON ARENA FINA



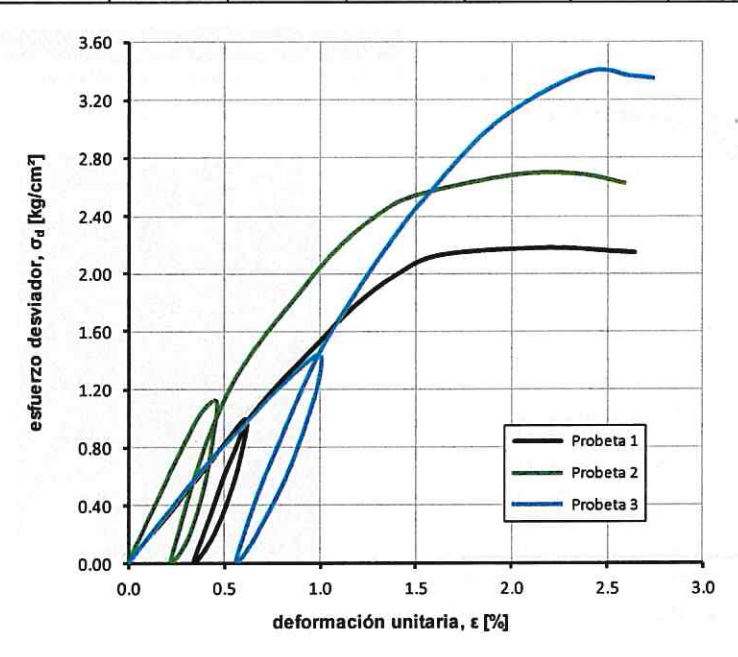


Proyecto: Morelia 10
Sondeo: SMS-1
Muestra: M-6
Profundidad: 31.0 m
Fecha: octubre 2021

M

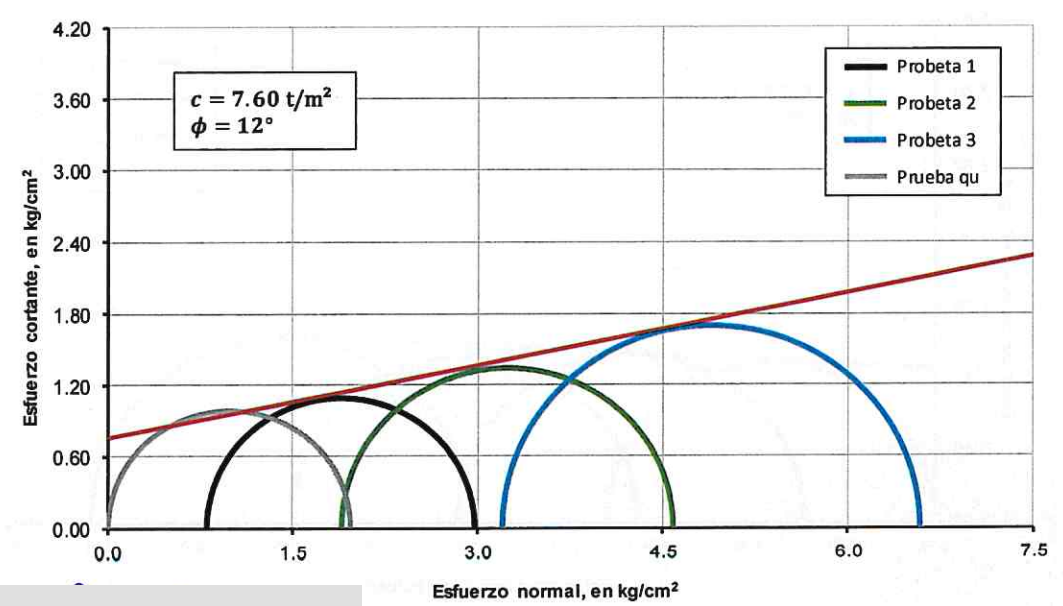
### PRUEBA TRIAXIAL TX-UU

Probeta	σ <sub>1</sub> [kg/cm²]	σ <sub>3</sub> [kg/cm²]	σ <sub>d</sub> [kg/cm²]	w [%]	e [-]	G <sub>w</sub> [%]	γ [t/m³]	Ss	E <sub>50</sub> [kg/cm²]	E <sub>ur</sub> [kg/cm²]
1	2.98	0.80	2.18	100.51	2.32	100	1.415	10 - 10	158.32	363.62
2	4.59	1.90	2.69	99.90	2.11	100	1.506	2.341	223.84	466.49
3	6.59	3.20	3.39	100.54	2.48	95.1	1.351		150.66	335.04



### Clasificación del material (CH) ARCILLA DE ALTA PLASTICIDAD COLOR CAFÉ OSCURO

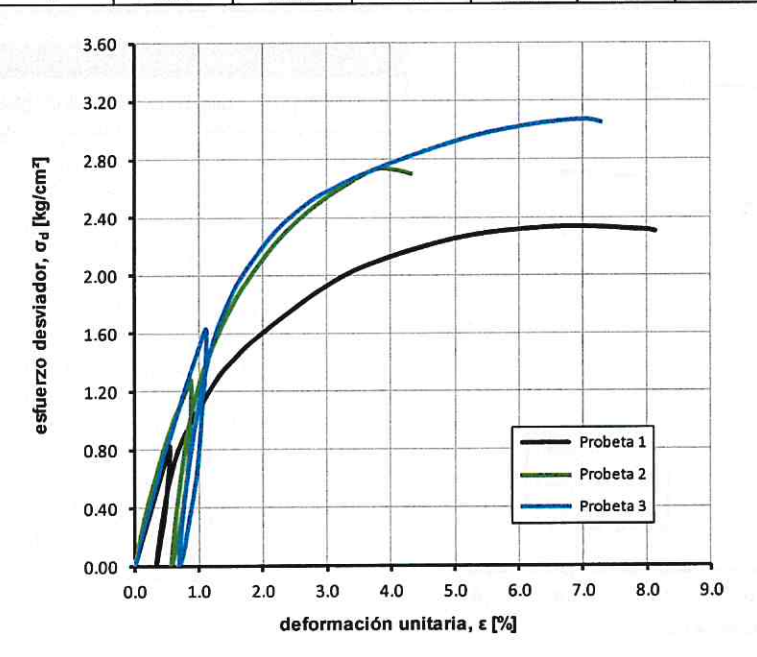




Proyecto: Morelia 10
Sondeo: SMS-1
Muestra: M-7
Profundidad: 35.5 m
Fecha: octubre 2021

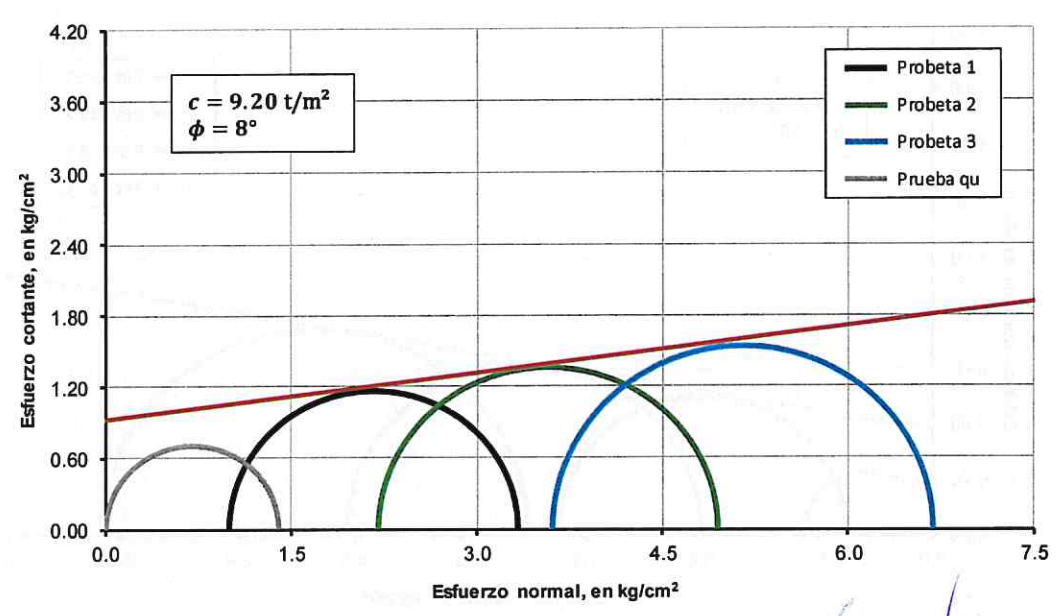
### PRUEBA TRIAXIAL TX-UU

Probeta	σ <sub>1</sub> [kg/cm²]	σ <sub>3</sub> [kg/cm²]	σ <sub>d</sub> [kg/cm²]	w [%]	e [-]	G <sub>w</sub> [%]	γ [t/m³]	Ss	E <sub>so</sub> [kg/cm²]	E <sub>ur</sub> [kg/cm²]
1	3.33	1.00	2.33	73.92	1.89	94.2	1.450		101.18	372.94
2	4.94	2.20	2.74	76.09	1.94	94.7	1.446	2.411	123.91	410.02
3	6.68	3.60	3.08	78.24	2.08	90.7	1.395		122.31	377.80



### Clasificación del material (CH) ARCILLA DE ALTA PLASTICIDAD COLOR GRIS VERDOSO CON VETAS DE CENIZA



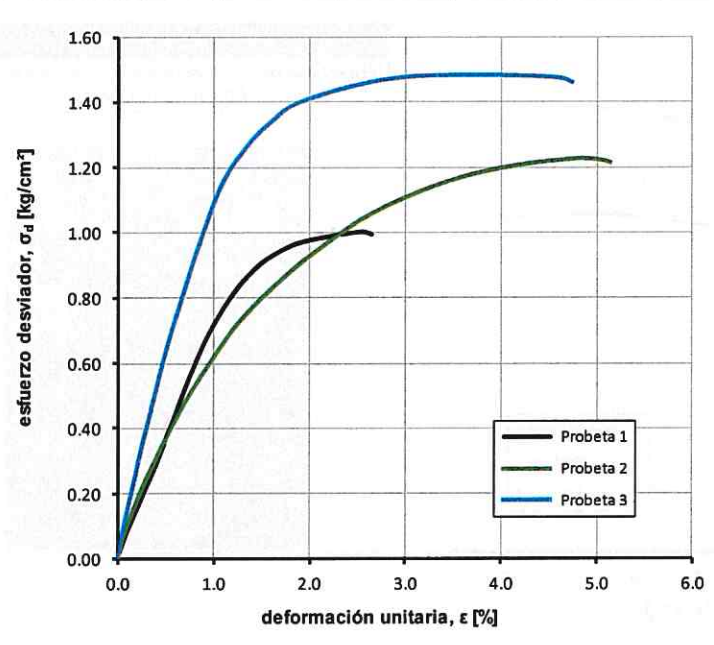


149-

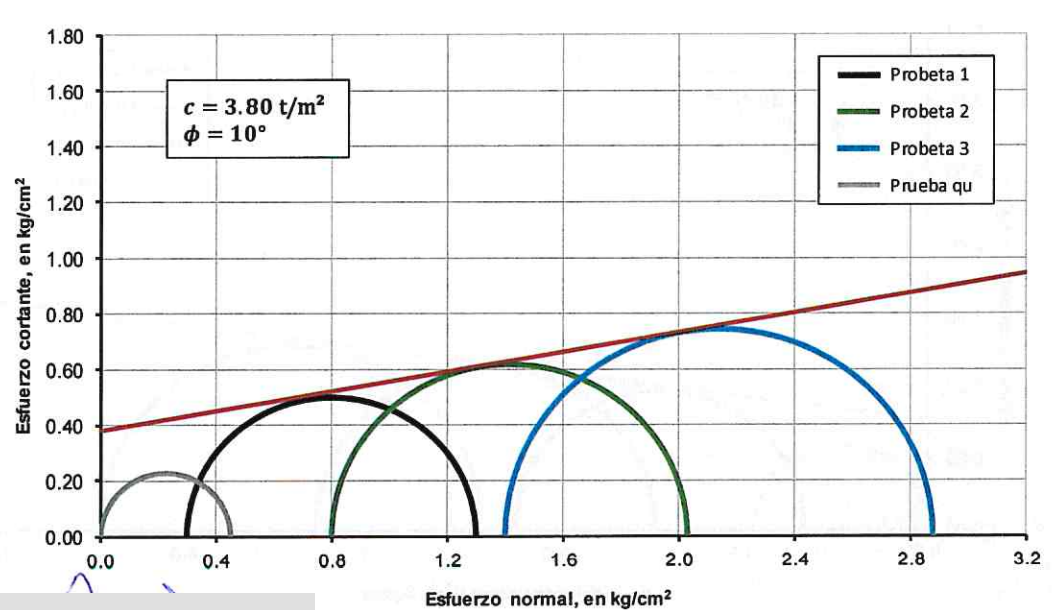
Proyecto: Morelia 10
Sondeo: SMS-2
Muestra: M-10
Profundidad: 3.0 m
Fecha: octubre 2021

### PRUEBA TRIAXIAL TX-UU

Probeta	σ <sub>1</sub> [kg/cm²]	σ <sub>3</sub> [kg/cm²]	σ <sub>d</sub> [kg/cm²]	w [%]	e [-]	G <sub>w</sub> [%]	γ [t/m³]	Ss	E <sub>so</sub> [kg/cm²]	E <sub>ur</sub> [kg/cm²]
1	1.30	0.30	1.00	66.27	1.83	92.3	1.499		73.61	Real I
2	2.03	0.80	1.23	67.69	1.91	90.6	1.472	2.555	59.84	
3	2.88	1.40	1.48	67.13	1.84	93.0	1.502		121.07	



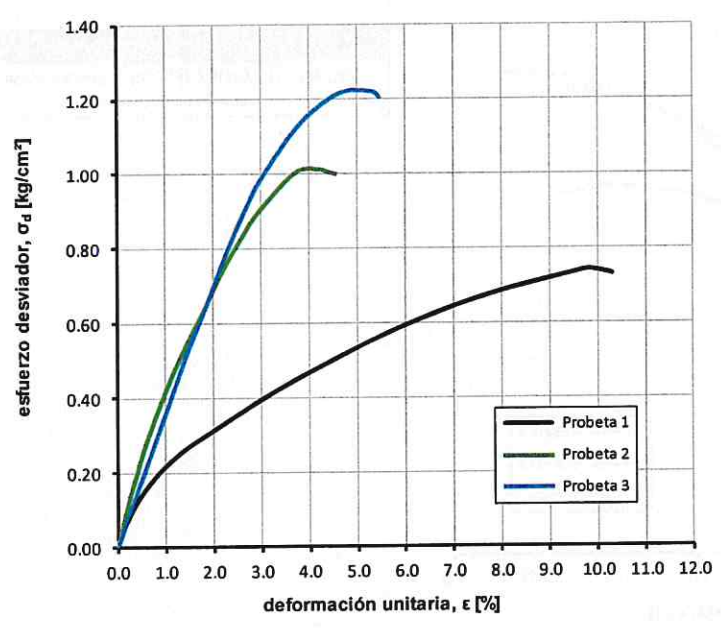
### Clasificación del material (CH) ARCILLA COLOR GRIS CON ARENA FINA VOLCÁNICA



Proyecto: Morelia 10
Sondeo: SMS-2
Muestra: M-11
Profundidad: 6.0 m
Fecha: octubre 2021

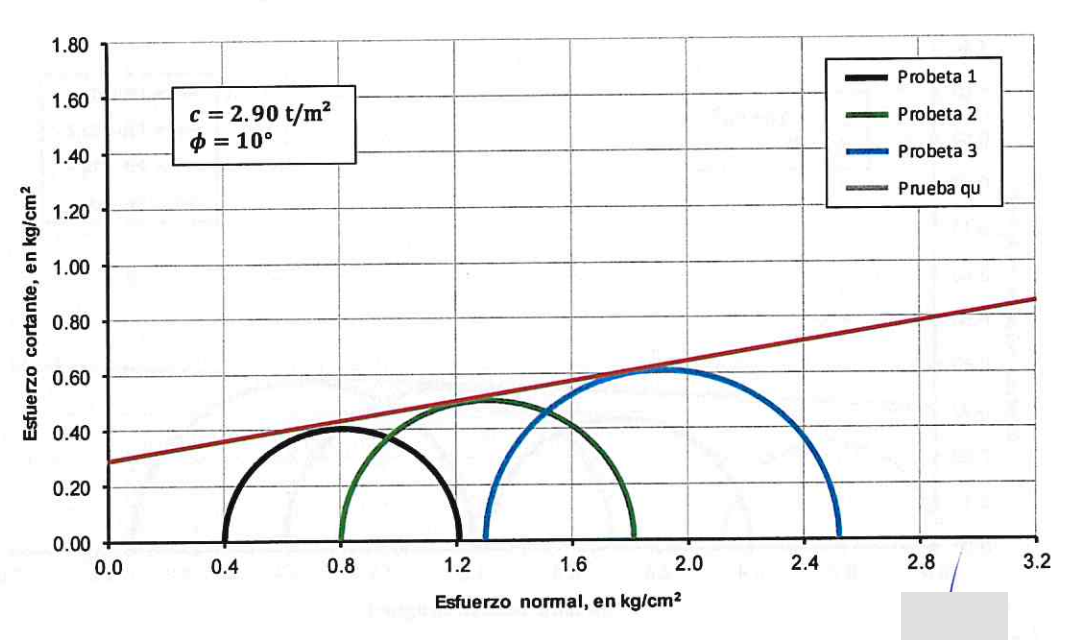
### PRUEBA TRIAXIAL TX-UU

Probeta	σ <sub>1</sub> [kg/cm²]	σ <sub>3</sub> [kg/cm²]	σ <sub>d</sub> [kg/cm²]	w [%]	e [-]	G <sub>w</sub> [%]	γ [t/m³]	Ss	E <sub>50</sub> [kg/cm²]	E <sub>ur</sub> [kg/cm²]
1	1.21	0.40	0.81	191.76	4.60	98.9	1.236		13.57	-
2	1.81	0.80	1.01	190.21	4.59	98.4	1.233	2.374	38.93	
3	2.52	1.30	1.22	191.75	4.63	98.4	1.231	п	35.23	



### Clasificación del material (CH) ARCILLA COLOR HETEREOGENEO CON POCA ARENA FINA VOLCANICA

151-

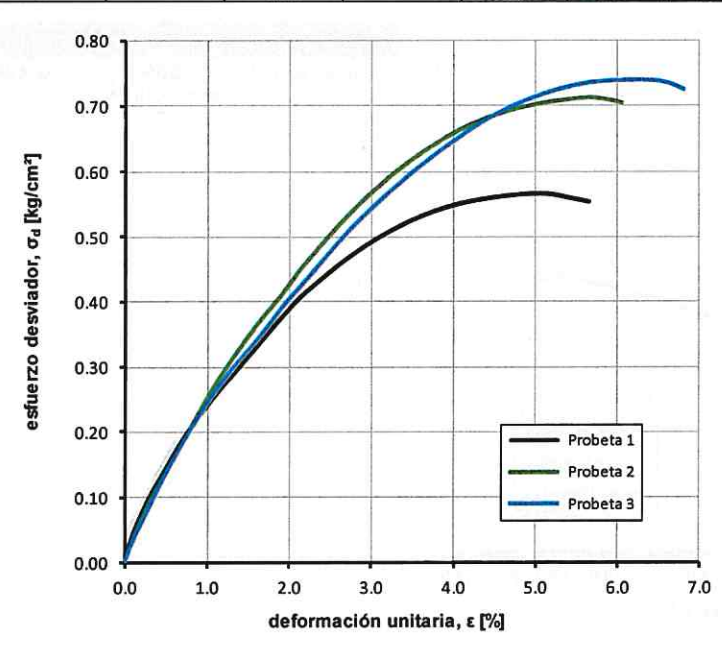


Proyecto: Morelia 10
Sondeo: SMS-2
Muestra: M-12
Profundidad: 9.0 m
Fecha: octubre 2021

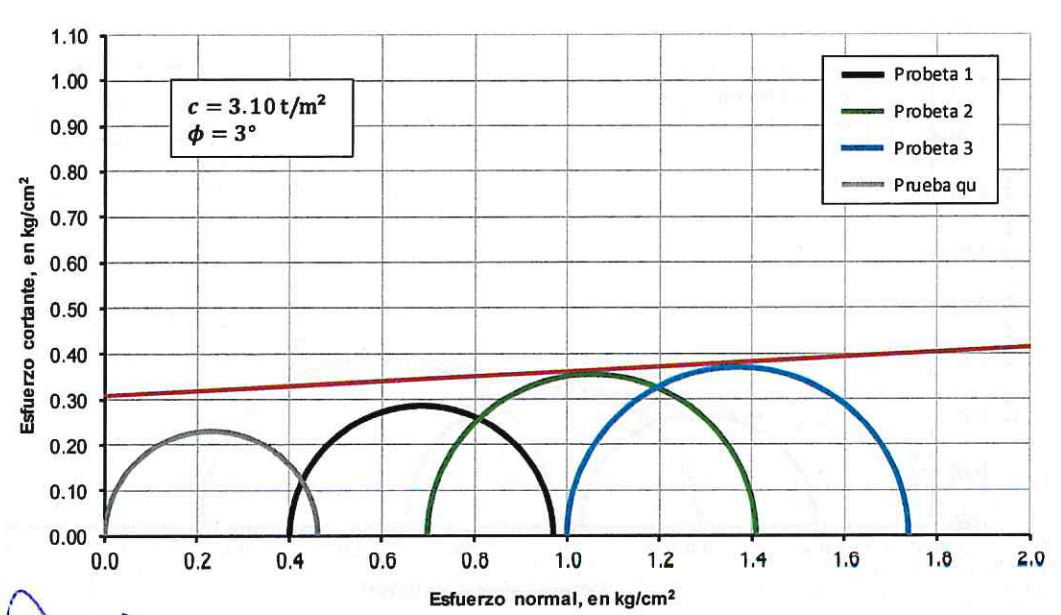
1

### PRUEBA TRIAXIAL TX-UU

Probeta	σ <sub>1</sub> [kg/cm²]	σ <sub>3</sub> [kg/cm²]	σ <sub>d</sub> [kg/cm²]	w [%]	e [-]	G <sub>w</sub> [%]	γ [t/m³]	Ss	E <sub>50</sub> [kg/cm²]	E <sub>ur</sub> [kg/cm²]
1	0.97	0.40	0.57	307.51	7.38	100	1.183	100	22.34	
2	1.41	0.70	0.71	309.28	7.55	99.6	1.164	2.432	22.93	
3	1.74	1.00	0.74	306.29	7.51	99.2	1.161	Same in	20.56	1



### Clasificación del material (CH) ARCILLA COLOR CAFÉ CON ALGUNAS BOLSAS DE ARENA FINA VOLCÁNICA



Morelia 10 Proyecto:

SMS-1 9.0 m M-2 Profundidad: Sondeo: Muestra:

octubre 2021 1 de 2 Fecha: Hoja:

Datos:

Œ, 5 Peso anillo (Wa) 217.98 g 50.39 1.980 8.01 Diámetro del anillo (Øa) Altura del anillo (Ha) Área del anillo (Aa) Anillo No.

Después de la prueba: 62

## ENSAYE DE CONSOLIDACIÓN

g/cm³ Peso suelo húmedo+anillo (Wsh+a) 334.49
Densidad de sólidos (Ss) 2.207 Peso volumétrico del agua (Yw) 1.0 Antes de la prueba:

(CH) ARCILLA DE ALTA PLASTICIDAD COLOR CAFÉ CON CENIZA VOLCÁNICA

Peso vidrio (Wv) 61.40 Vidrio No.

Peso vidrio+suelo húmedo+anillo (Wv+sh+a) 367.90 g
Peso vidrio+suelo seco+anillo (Wv+ss+a) 308.03 g
Deformación final corregida (dfc) 0.610 cm

Volumen de sólidos (Vs) 12.98
Volumen de vacíos (Vv) 86.79
Sl. de agus initial Color Vol. de agua inicial (Vwi) 87.86 Volumen inicial (Vi) Volumen de sólidos (Vs)

ê ê ê ê

306.7 6.69 101.2 Relación de vacíos inicial (ei) Grado de saturación (Gwi) Peso volumétrico inicial (yi) Humedad inicial (wi)

g/cm³ %

69.04 209.0 106.8 4.32 1.370 1.28 Altura final (Hf) Grado de saturación final (Gsf) Volumen final (Vf) Relación de vacíos final (ef) Peso volumétrico final (yf) Humedad final (wf)

Ē E

	1	
	١	
	١	
	١	
	١	
	١	
	١	
	١	
	١	
	١	

87.86 59.87

Peso del agua final (Wwf)

Peso húmedo final (Wshf) 88.52

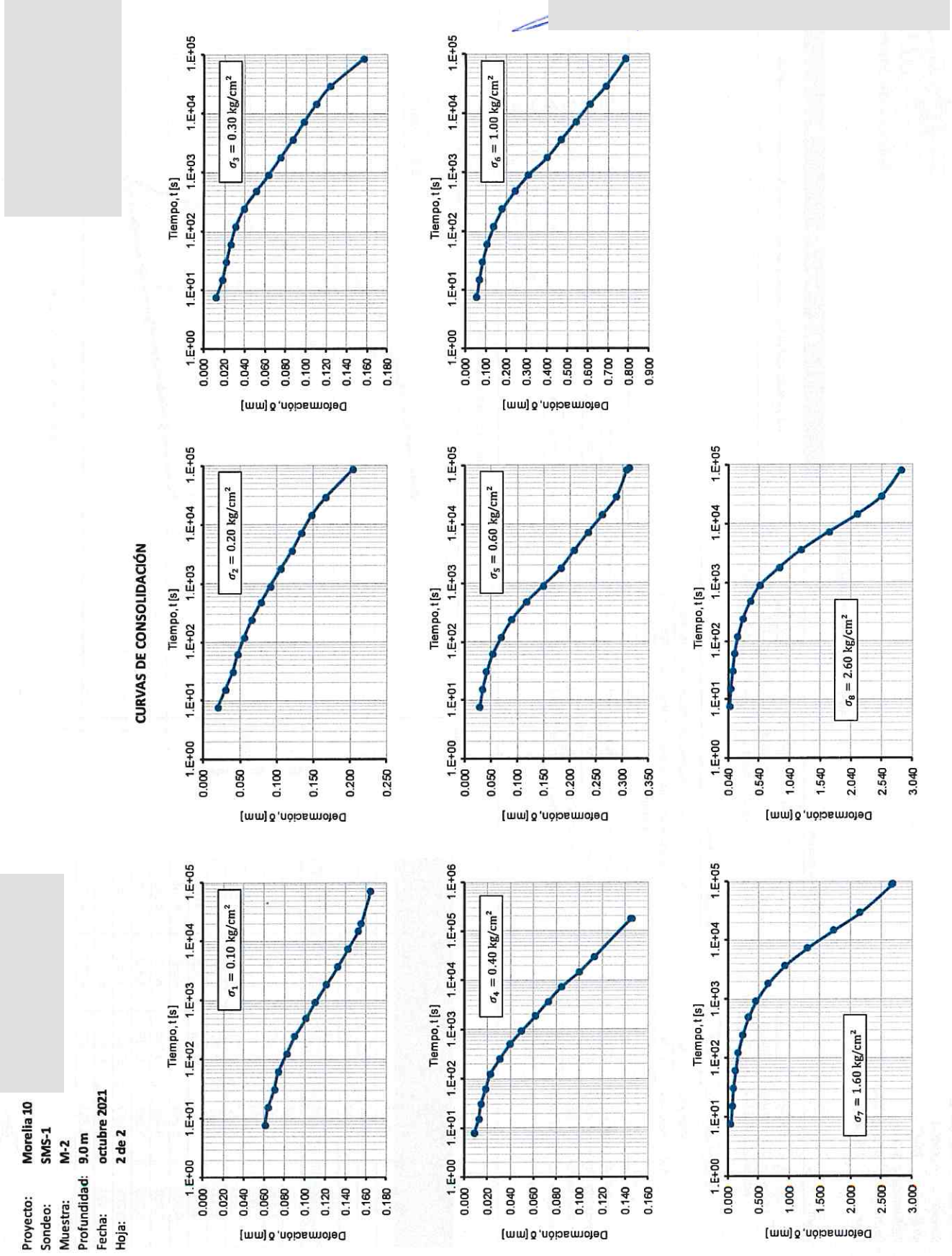
116.51

Peso húmedo inicial (Wshi) Peso del agua inicial (Wwi)

28.65

Peso de sólidos (Ws)

Esfuerzo aplicado (kg/cm²)	Lectura	Corrección de aparato (mm)	Deformación corregida (mm)	Relación de vacios	
	(mm)	000.0	0000	6 686	
010	16.258	0.00	0.00	6.674	
0.200	16.054	6000	0.359	6.546	
0,300	15.897	0.013	0.512	6.487	
0.400	15.751	0.017	0.654	6.432	saturación
0.600	15.438	0.024	0.960	6.313	
1.000	14.655	0.037	1.730	6.014	_
1,600	11.959	0.052	4.411	4.974	
2.600	9:096	0.071	7.255	3.870	
1.600	9.260	0.067	7.095	3.932	_
1.000	9.468	0.053	6.901	4.007	_
009.0	9.683	0.042	6.697	4.086	
0.400	9.829	0.034	6.559	4.140	
0.300	9.938	0.029	6.455	4.180	
0.200	10.047	0.023	6.352	4.220	_
0.100	10.217	0.016	6.189	4.283	
0000	10,315	0.004	6.103	4.317	



Morelia 10 SMS-1 Proyecto: Sondeo:

16.0 m Σ-3 Profundidad: Muestra:

octubre 2021 1 de 2 Fecha:

Datos:

### Antes de la prueba:

3 Peso suelo	.00 cm	000 cm Peso vo	S.08 g	0.27 cm² Después de la prueba:	Peso vidrio+suelo hi	3.37 g Peso vidrio+suel	
m	8.00	2.000	165.08	50.27	54	73.37	
Anillo No.	Diámetro del anillo (Øa)	Altura del anillo (Ha)	Peso anillo (Wa)	Área del anillo (Aa)	Vidrio No.	Peso vidrio (Wv)	

# o húmedo+anillo (Wsh+a) 278.62 g Densidad de sólidos (Ss) 2.346 volumétrico del agua (W) 1.0 g/cm³

**ENSAYE DE CONSOLIDACIÓN** 

(CH) ARCILLA DE ALTA PLASTICIDAD COLOR VERDE

Jespués de la prueba:		١
Peso vidrio+suelo húmedo+anillo (Wv+sh+a) 328.40	328.40	00
Peso vidrio+suelo seco+anillo (Wv+ss+a) 262.71	262.71	50
Deformación final corregida (dfc) 0.568	0.568	E

Peso volumétrico inicial (yi)	1.129	g/cm <sup>3</sup>
Humedad inicial (wi)	368.0	%
Relación de vacíos inicial (ei)	8.72	
Grado de saturación (Gwi)	0.66	%

8	cm3	g/cm³	%		%
1,432	71.98	1.25	270.8	5.96	106.6
Altura final (Hf)	Volumen final (Vf)	Peso volumétrico final (yf)	Humedad final (wf)	Relación de vacíos final (ef)	Grado de saturación final (Gsf)

	ı		
	ı		
	ı		
	ı		
	ı		
	ı		
	ı		
	ı		
	ı		
	ı		
	ı		
	ı		
	ı		
	ı		
	ı		
	ı		
	ı		
	ı		
	ı		
	ı		
	ı		
	ı		
	ı		
	ı		
	ı		
	ı		
	ı		
	ı		
	ı		
	ı		
	ı		
	ı		
	ı		
	ı		
	ı		
	ı		
	ı		
	ı		
	ı		
	ı		
	ı		
	ı		
	ı		
	ı		
	1		
	1		
	1		
	1		
	ı		
	1		
	1		
	1		

Peso del agua inicial (Wwi) 89.28 Peso del agua final (Wwf) 65.69

Peso húmedo final (Wshf) 89.95 Peso húmedo inicial (Wshi)

Corrección de aparato (mm) c

Lectura micrometro (mm)

Esfuerzo aplicado

(kg/cm²)

0.000

Volumen inicial (VI)	100.53	E E
olumen de sólidos (Vs)	10.34	E
Jolumen de vacios (VV)	90.19	E .
/ol. de agua inicial (Vwi)	89.28	E

113.54

Peso de sólidos (Ws)

A P	İ	I		İ	1		İ		1		
					f						
CURVA DE COMPRESIBILIDAD					1		I				
A D	t	H		Ť	+		t	-	1	-	-
8				I							
	1	4		L		Н	+	-	1	1	-
	F	H	-	-			-	-	-	-	
	ļ	H		ļ			1			F	
1	t	H		t			t	-		t	
	T	İ		T			T		Ī	T	ı
		İ	T	1			1	ŀ	Ī	t	
	1			1	1			-		1	
				İ				l			
	9.20	11	8.80	_	8.40			8.00		7.60	-

				saturación													
8.634	8.565	8.511	8.432	8.349	8.161	7.722	6.447	5.038	5.100	5.185	5.283	5.384	5.451	5.559	5.656	5.792	5.960
0.181	0.323	0.434	0.598	0.769	1.155	2.059	4.680	7.580	7.451	7.277	7.075	6.868	6.729	6.508	6.809	6.028	5,682
0.007	0.012	0.015	0.020	0.025	0.033	0.043	0.057	0.073	0.063	0.049	0.038	0:030	0.024	0.019	0.015	0.011	0.002
16.918	16.771	16.657	16.488	16,312	15.918	15.004	12.369	9.453	9.592	9.780	9.993	10.208	10.353	10.579	10.782	11.067	11.422
0.100	0.200	0.300	0.450	0.600	0.900	1.400	2.200	3.400	2.200	1.400	0.900	0.600	0.450	0.300	0.200	0.100	0.000

8.722 8.634 8.565 8.511

0.181 0.000

16.918 17.106

Deformación, ő (mm)

Deformación, ŏ (mm)

Morelia 10 SMS-1

Proyecto: Muestra: Sondeo:

M-3

Deformación, ŏ (mm)

Morella 10 SMS-1 Proyecto: Sondeo:

20.0 m Μ-4 Profundidad: Muestra:

octubre 2021 Fecha:

1 de 2 Hoja:

# ENSAYE DE CONSOLIDACIÓN

e de la princha.	one in pinena.	
Anto		
	I	

Datos:

ы	ı č	R/cm³			500	. 20	, E
298.45	2,389	1.0			342.86	284.20	0.391
Peso suelo húmedo+anillo (Wsh+a) 298.45 g	Densidad de sólidos (Ss)	Peso volumétrico del agua (Yw) 1.0 g/cm³		Después de la prueba:	Peso vidrio+suelo húmedo+anillo (Wv+sh+a) 342.86 g	Peso vidrio+suelo seco+anillo (Wv+ss+a)	Deformación final corregida (dfc) 0.391 cm
	E	5	<u>.</u>	cm <sup>2</sup>		8	
4	8.00	2.000	165.17	50.27	99	60.19	
Anillo No. 4	Diámetro del anillo (Øa) 8.00	Altura del anillo (Ha)	Peso anillo (Wa)	Área del anillo (Aa)	Vidrio No.	Peso vidrio (Wv) 60.19	

	OR VERDE OSCURO
Descripción del suelo	LA DE ALTA PLASTICIDAD COLO
	(CH) ARCILLA

Peso de sólidos (Ws)	58.84	ш
Peso húmedo inicial (Wshi)	133.28	80
Peso húmedo final (Wshf)	117.50	<u>س</u>
Peso del agua inicial (Wwi)	74.44	80
Peso del agua final (Wwf)	58.66	<u>س</u>

Volumen inicial (Vi)	100.53	E,
olumen de sólidos (Vs)	24.63	Ē
Jolumen de vacíos (VV)	75.90	E I
. de agua inicial (Vwi)	74.44	"E

g/cm³	<b>%</b>	n	%
1.326	126.5	3.08	98.1
Peso volumétrico inicial (yi)	Humedad inicial (wi)	Relación de vacíos inicial (ei)	Grado de saturación (Gwi)

E 6	8 cm³	i g/cm³	%		%
1.609	80.88	1.45	1.66	2.28	1043
Altura final (Hf)	Volumen final (Vf)	Peso volumétrico final (yf)	Humedad final (wf)	Relación de vacíos final (ef)	Grado de saturación final (Gsf)

## CURVA DE COMPRESIBILIDAD

Esfuerzo aplicado (kg/cm²)	Lectura micrometro (mm)	Corrección de aparato (mm)	Deformación corregida (mm)	Relación de vacios		
0	17.263	0.000	0000	3.082		
0.150	16.953	0.011	0.299	3.021		
0.300	16.763	0.021	0.479	2.984		
0.450	16.640	0.028	0.595	2.961		
0.700	16.418	0.038	0.807	2.917		θ'
1.100	16.128	0.050	1.085	2.861	saturación	soj
1.700	15.643	0.064	1.556	2.765		ЛЯC
2.500	14.671	0.080	2.512	2.569		өp
3.700	13.457	0.103	3.703	2.326		uol
5.700	12.206	0.121	4.936	2.075		ela
3.700	12.260	0.103	4.900	2.082		Я
2.500	12.332	0.084	4.847	2.093		
1.700	12.418	0.070	4.775	2.107		
1.100	12.533	0.058	4.672	2.129		
0.700	12.659	0.045	4.559	2.152		
0.450	12.779	9:000	4.448	2.174		
0.300	12.860	0.028	4.375	2.189		
0.150	13.023	0.019	4.221	2.221		
0.000	13,351	0.00	3 910	7 284		

|--|

Morelia 10 SMS-1 Proyecto: Sondeo:

25.5 m Z-S Profundidad: Muestra: Fecha:

octubre 2021 1 de 2

# ENSAYE DE CONSOLIDACIÓN

## Antes de la prueba:

g/cm³ Peso suelo húmedo+anillo (Wsh+a) 309.69
Densidad de sólidos (Ss) 2.257 Peso volumétrico del agua (Yw) 1.0

(MH) LIMO DE ALTA PLASTICIDAD COLOR CAFÉ OSCURO CON ARENA FINA

## Después de la prueba:

50.39 cm²

Área del anillo (Aa) Vidrio No. Peso vidrio (Wv) 60.53

25

Peso anillo (Wa) 166.04 g

5

2.000 8.01

Altura del anillo (Ha) Diámetro del anillo (Øa)

E

Anillo No.

Datos:

Peso vidrio+suelo húmedo+anillo (Wv+sh+a) 365.96 g
Peso vidrio+suelo seco+anillo (Wv+ss+a) 302.54 g
Deformación final corregida (dfc) 0.160 cm

Daro do rálidos (Me)	76 97	
Leso de solidos (ws)	12:21	1
Peso húmedo inicial (Wshi)	143.65	
Peso húmedo final (Wshf)	139.39	1
Peso del agua inicial (Wwi)	89'29	1
Peso del agua final (Wwf)	63.42	1

100.78 cm³	33,66 cm³	67.12 cm³	67.68 cm³
Volumen inicial (Vi)	Volumen de sólidos (Vs)	Volumen de vacios (Vv)	Vol. de agua inicial (Vwi)

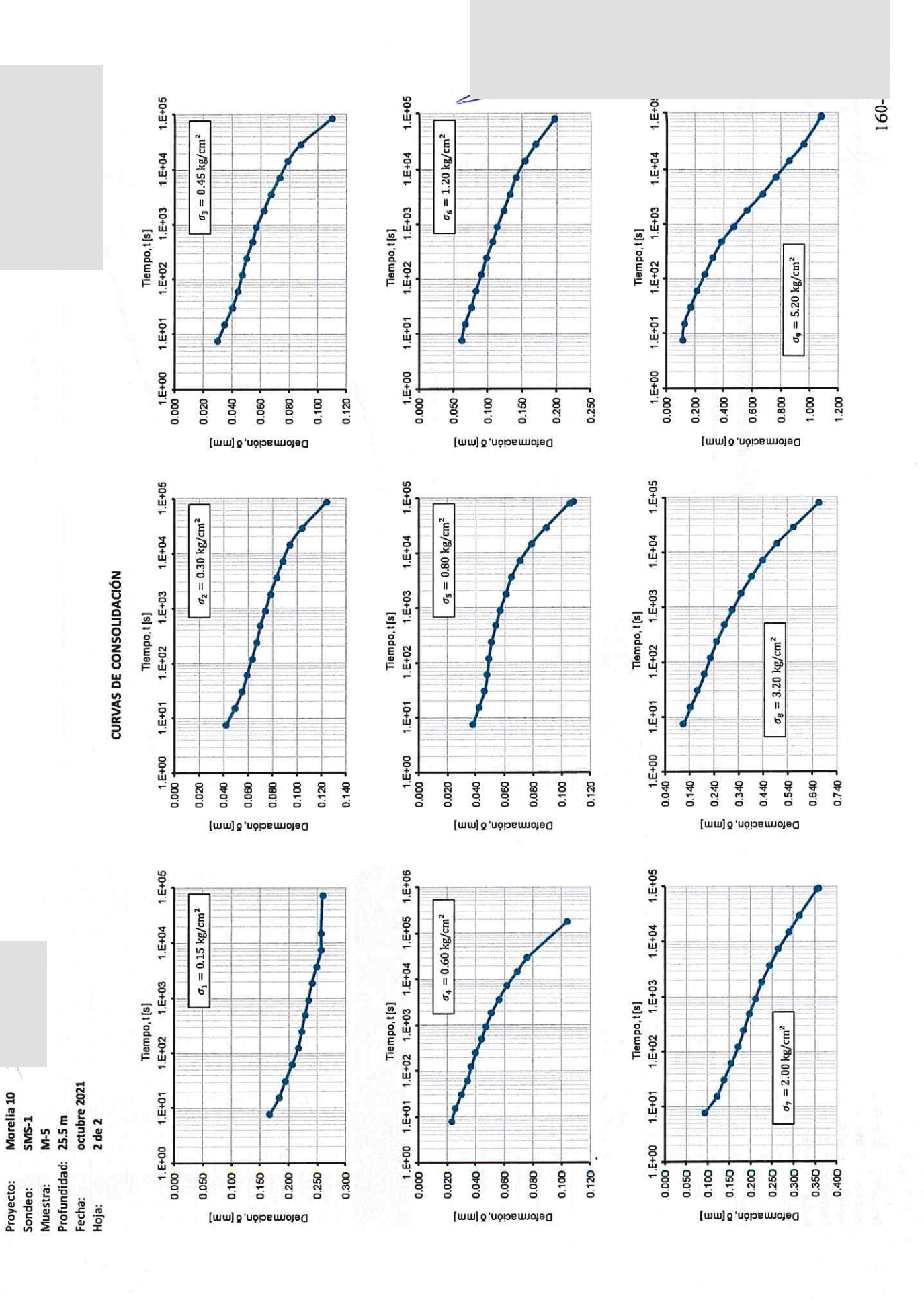
eso volumétrico inicial (yi)	1.425	g/cm³
Humedad inicial (wi)	89.1	%
lación de vacíos inicial (ei)	1.99	
Grado de saturación (Gwi)	100.8	*

Altura final (Hf)	1.840	٤
Volumen final (Vf)	92.72	E E
Peso volumétrico final (yf)	1.50	E/cm³
Humedad final (wf)	83.5	%
Relación de vacíos final (ef)	1.75	1
Grado de saturación final (Gsf)	107.4	%

## CURVA DE COMPRESIBILIDAD

Esfuerzo aplicado (kg/cm²)	Lectura micrometro (mm)	Corrección de aparato (mm)	Deformación corregida (mm)	Relación de vacios	
0	17.617	0000	0.000	1.994	
0.150	17.358	0.008	0.251	1.957	
0.300	17.234	0.013	0.370	1.939	
0.450	17.124	0.017	0.476	1.923	
0.600	17.020	0.021	0.576	1.908	
0.800	16.912	0.026	6/9'0	1.892	saturación
1.200	16.714	0.036	0.867	1.864	
2.000	16.355	0.053	1.209	1.813	
3.200	15.686	0.071	1.860	1.716	
5.200	14.604	0.094	2.919	1.557	
3.200	14.681	0.082	2.854	1.567	
2.000	14.784	0.062	2.771	1.579	
1.200	14.914	0.044	2.659	1.596	
0.800	15.027	0.035	2.555	1.612	
0.600	15.113	0:030	2.474	1.624	
0.450	15.204	0.025	2.388	1.637	
0.300	15.331	0.020	2.266	1.655	
0.150	15.534	0.014	2.069	1.684	
0000	16.014	0.004	1.599	1.755	

σ' <sub>c</sub> = 2.00 kg/cm <sup>2</sup>



Morelia 10 SMS-1 M-6 Proyecto: Sondeo:

Muestra: M-6 Profundidad: 31.0 m

octubre 2021 1 de 2 Fecha: Hoja:

### Datos:

Antes de la prueba:

8.00 1.980 166.77 50.27 65	Anillo No.	9	
1.980 166.77 50.27 65	Diámetro del anillo (Øa)	8.00	E
166.77 50.27 65	Altura del anillo (Ha)	1.980	E .
50.27	Peso anillo (Wa)	166.77	ь 1
	Área del anillo (Aa)	50.27	Ĕ,
	Vidrio No.	9	
	Peso vidrio (Wv)	60.85	<u> </u>

## **ENSAYE DE CONSOLIDACIÓN**

eso suelo húmedo+anillo (Wsh+a)	306.20	80
Densidad de sólidos (Ss)	2.341	
so volumétrico del agua (Yw)	1.0	g/cm³

(CH) ARCILLA DE ALTA PLASTICIDAD COLOR CAFÉ OSCURO

### Después de la prueba:

	۰,
Peso vidrio+suelo seco+anillo (Wv+ss+a) 297.53	90
Deformación final corregida (dfc) 0.212	E
2 6 1	12 23

Peso vidrio+suelo húmedo+anillo (Wv+sh+a) 360.49

Volumen inicial (Vi)	99.53	Ē	Peso volui
Volumen de sólidos (Vs)	29.86	Ē	Hur
Volumen de vacíos (Vv)	99'69	Ę.	Relación de
Vol. de agua inicial (Vwi)	69.52	£ E	Grado de

69.52 132.87

139.43

Peso de sólidos (Ws) Peso húmedo inicial (Wshi)

Peso húmedo final (Wshf) Peso del agua inicial (Wwi) Peso del agua final (Wwf)

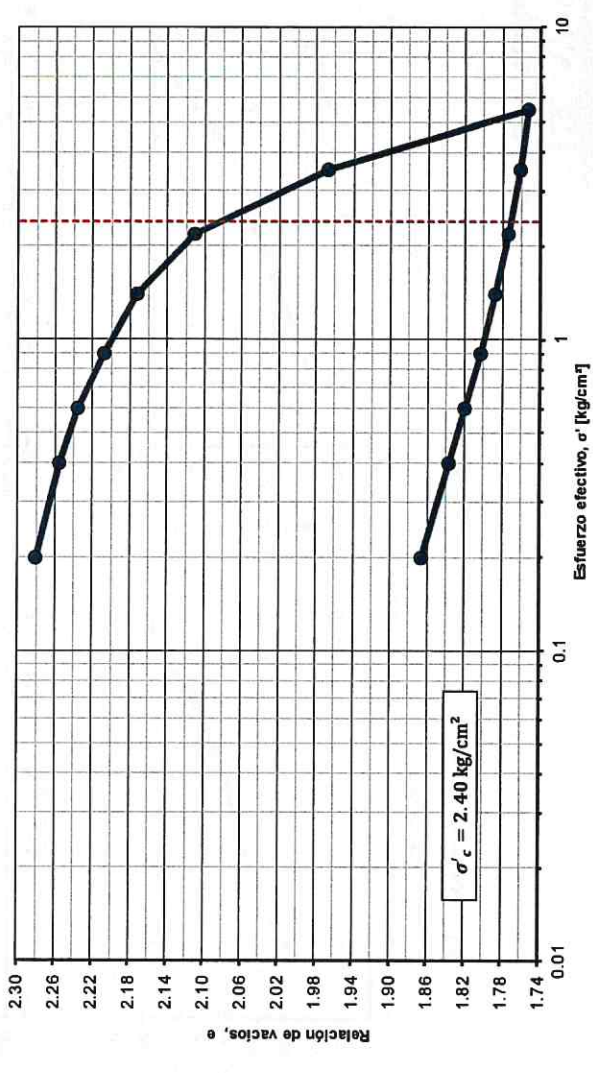
96'29

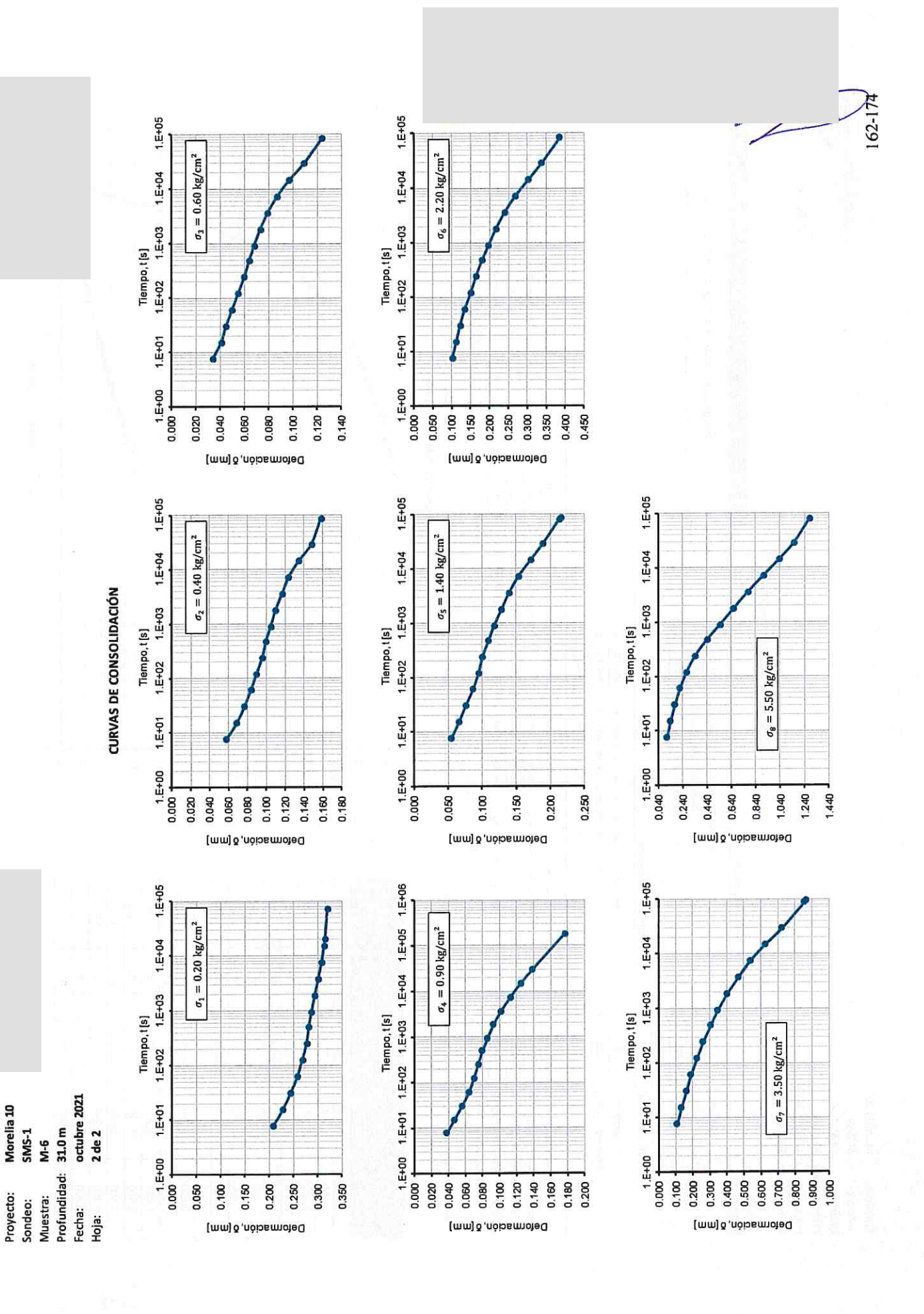
g/cm³	*	ĺ	8
1,401	99.4	2.33	8 00
Peso volumétrico inicial (yi)	Humedad inicial (wi)	Relación de vacíos inicial (ei)	Grado de caturación (Gwil)

	Volumen final (Vf) 88.87 cm <sup>3</sup>
Peso volumétrico final (yf) 1.50 g/cm³	1.50
	88.87

CURVA DE COMPRESIBILIDAD

					saturación												
Relación de vacios	2.333	2.281	2.256	2.236	2.208	2.173	2.110	1.967	1.753	1.761	1.773	1.787	1.804	1.820	1.837	1.867	1.977
Deformación corregida (mm)	0.000	0.309	0.458	0.576	0.744	0.950	1.323	2.172	3.444	3.398	3.325	3.241	3.145	3.047	2.945	2.77	2.117
Corrección de aparato (mm)	0.000	0.011	0.020	0.026	0.035	0.045	0.058	0.074	0.091	0.080	0.067	0.055	0.045	0.035	0.027	0.019	0.004
Lectura micrometro (mm)	16.568	16.248	16.090	15.966	15.789	15.573	15.187	14.322	13.033	13.090	13.176	13.272	13.378	13.486	13.596	13.778	14.447
Esfuerzo aplicado (kg/cm²)	0	0.200	0.400	0.600	0.900	1.400	2.200	3.500	5.500	3.500	2.200	1.400	0.900	0.600	0.400	0.200	0.000





Morelia 10 SMS-1

35.5 m N-7 Profundidad: Proyecto: Sondeo: Muestra: Fecha:

octubre 2021 1 de 2 Hoja:

Datos:

|--|

Después de la prueba:

I.	Poso suelo hímedo+apillo (Wsh+a)	315 64	•
The state of the state of the state of the state of the state of the state of the state of the state of the state of the state of the state of the state of the state of the state of the state of the state of the state of the state of the state of the state of the state of the state of the state of the state of the state of the state of the state of the state of the state of the state of the state of the state of the state of the state of the state of the state of the state of the state of the state of the state of the state of the state of the state of the state of the state of the state of the state of the state of the state of the state of the state of the state of the state of the state of the state of the state of the state of the state of the state of the state of the state of the state of the state of the state of the state of the state of the state of the state of the state of the state of the state of the state of the state of the state of the state of the state of the state of the state of the state of the state of the state of the state of the state of the state of the state of the state of the state of the state of the state of the state of the state of the state of the state of the state of the state of the state of the state of the state of the state of the state of the state of the state of the state of the state of the state of the state of the state of the state of the state of the state of the state of the state of the state of the state of the state of the state of the state of the state of the state of the state of the state of the state of the state of the state of the state of the state of the state of the state of the state of the state of the state of the state of the state of the state of the state of the state of the state of the state of the state of the state of the state of the state of the state of the state of the state of the state of the state of the state of the state of the state of the state of the state of the state of the state of the state of the state of the state of the s	Į,	2.411	۰,
	Peso volumétrico del agua (Yw)	1.0	R/cm3

ENSAYE DE CONSOLIDACIÓN

(CH) ARCILLA DE ALTA PLASTICIDAD COLOR GRIS VERDOSO CON VETAS DE CENIZA Y VIDRIO VOLCÁNICO

101.81
(Ws)
Peso de sólidos (Ws) o húmedo inicial (Wshi)

Peso vidrio+suelo húmedo+anillo (Wv+sh+a) 377.30 g	20.110
Peso vidrio+suelo seco+anillo (Wv+ss+a) 322.75 g	322.75
Deformación final corregida (dfc) 0.117 cm	0.117

Peso volumétrico inicial (yi)	1.539
Humedad Inicial (wi)	52.0
Relación de vacíos inicial (ei)	1.38
Grado de saturación (Gwi)	8.06

%	104.1	Grado de saturación final (Gsf)
	1.24	Relación de vacíos final (ef)
*	53.6	Humedad final (wf)
g/cm <sup>3</sup>	1.65	Peso volumétrico final (yf)
۳ ا	94.62	Volumen final (Vf)
٤,	1.873	Altura final (Hf)

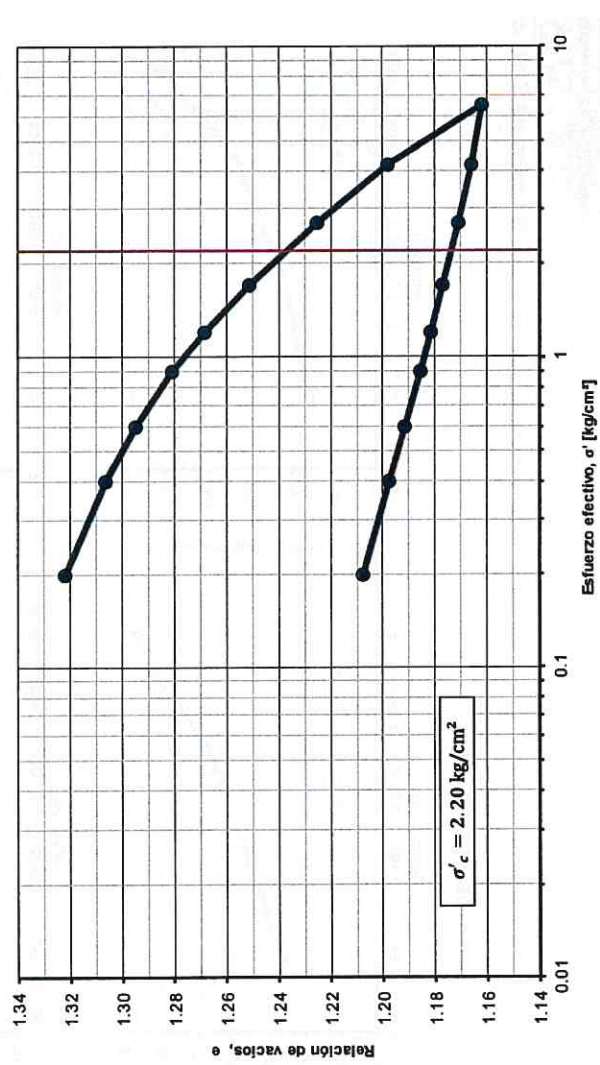
# Peso húmedo final (Wshf) 156.36 Peso del agua inicial (Wwf) 52.91 Peso del agua final (Wwf) 54.55

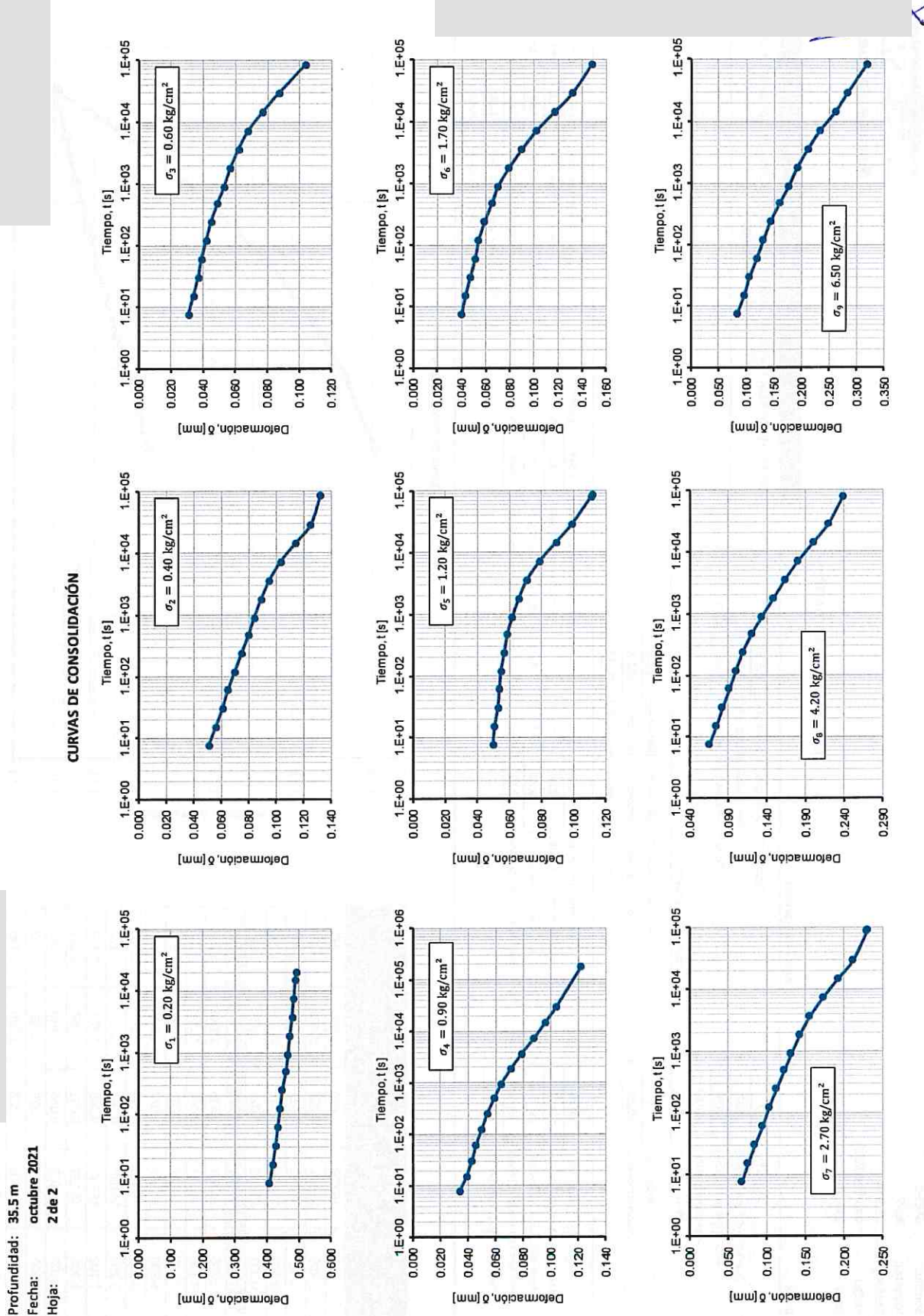
Volumen inicial (Vi) 100,53  Olumen de sólidos (Vs) 42,23  Volumen de vacios (Vv) 58,30  Ol. de agua inicial (Vwi) 52,91	<b>E</b>	<b>E</b>	ູເສ	E I
Volumen inicial (VI)  Volumen de sólidos (Vs)  Volumen de vacíos (Vv)  Ol. de agua inicial (Vwi)	100.53	42.23	58.30	52.91
	Volumen inicial (VI)	Volumen de sólidos (Vs)	Volumen de vacíos (Vv)	Vol. de agua inicial (Vwi)

Peso volumétrico inicial (yi)	1.539	g/cm
Humedad inicial (wi)	52.0	*
Relación de vacíos inicial (ei)	1.38	ı
Grado de saturación (Gwi)	806	8

220
Δ.
⋖
=
=
ш —
ᅈ
쁘
Œ
Δ.
~
€
0
0
ш
$\overline{a}$
-
⋖
2
œ
_

-			1	1	1	Ī	1		Ī				T	L	Ť			1		
1.34	1.32	1.30		1.28	1	1.26		1.24		1.22		1.20		1.18		1.16		1.14	0.01	
						ə 'ı	sojo	AS	əp ı	1010	6103	Ħ								
576							saturación													
	Relación de vacios	1.381	1.322	1.307	1.295	1.281	1.268	1.252	1.226	1.198	1.162	1.166	1.171	1.177	1.182	1.186	1.192	1.198	1.208	1.241
	Deformación corregida (mm)	0.000	0.492	0.619	0.718	0.834	0.940	1.080	1.298	1.524	1.829	1.795	1.752	1.701	1.664	1.630	1.580	1.930	1.446	1.169
	Corrección de aparato (mm)	0.000	900:0	0.011	0.016	0.022	0.028	0.036	0.049	0.062	0.077	0.075	0.061	0.049	0.041	0.036	0.029	0.022	0.014	0.002
	Lectura micrometro (mm)	15.868	15.370	15.238	15.134	15.012	14.900	14.752	14.521	14.282	13.962	13.998	14.055	14.118	14.163	14.202	14.259	14.316	14.408	14.697
	(kg/cm²)	0	0.200	0.400	0.600	0.900	1.200	1.700	2.700	4.200	6.500	4.200	2.700	1.700	1.200	0.900	0.600	0.400	0.200	0000





Morelia 10

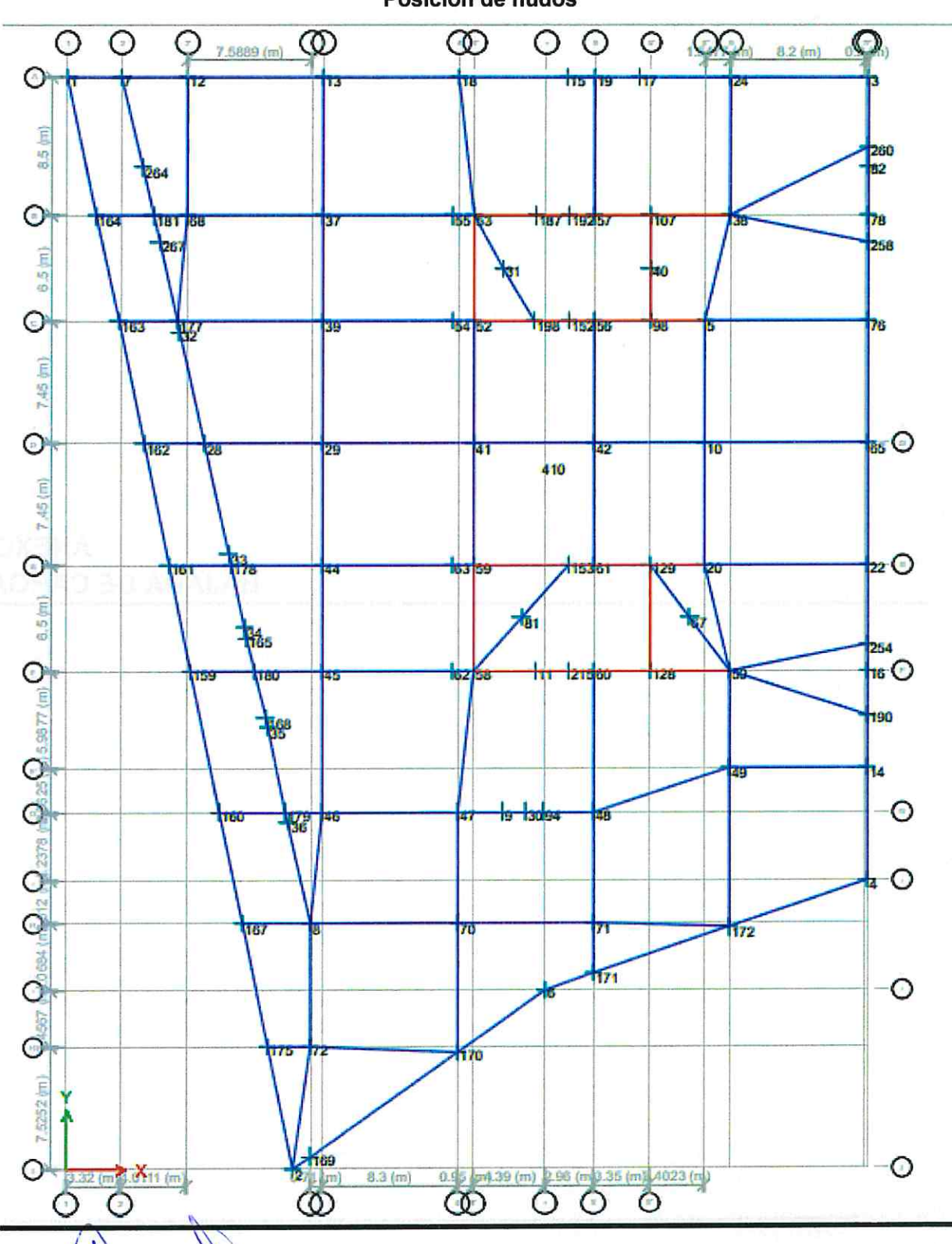
SMS-1

Proyecto: Sondeo: Muestra:

M-7

ANEXO 2 BAJADA DE CARGAS

### Posición de nudos



### Envolventes de carga (1/3)

Story	Label		TABLE: Joint Read	THE REST OF THE PARTY OF THE PARTY OF THE PARTY OF THE PARTY OF THE PARTY OF THE PARTY OF THE PARTY OF THE PARTY OF THE PARTY OF THE PARTY OF THE PARTY OF THE PARTY OF THE PARTY OF THE PARTY OF THE PARTY OF THE PARTY OF THE PARTY OF THE PARTY OF THE PARTY OF THE PARTY OF THE PARTY OF THE PARTY OF THE PARTY OF THE PARTY OF THE PARTY OF THE PARTY OF THE PARTY OF THE PARTY OF THE PARTY OF THE PARTY OF THE PARTY OF THE PARTY OF THE PARTY OF THE PARTY OF THE PARTY OF THE PARTY OF THE PARTY OF THE PARTY OF THE PARTY OF THE PARTY OF THE PARTY OF THE PARTY OF THE PARTY OF THE PARTY OF THE PARTY OF THE PARTY OF THE PARTY OF THE PARTY OF THE PARTY OF THE PARTY OF THE PARTY OF THE PARTY OF THE PARTY OF THE PARTY OF THE PARTY OF THE PARTY OF THE PARTY OF THE PARTY OF THE PARTY OF THE PARTY OF THE PARTY OF THE PARTY OF THE PARTY OF THE PARTY OF THE PARTY OF THE PARTY OF THE PARTY OF THE PARTY OF THE PARTY OF THE PARTY OF THE PARTY OF THE PARTY OF THE PARTY OF THE PARTY OF THE PARTY OF THE PARTY OF THE PARTY OF THE PARTY OF THE PARTY OF THE PARTY OF THE PARTY OF THE PARTY OF THE PARTY OF THE PARTY OF THE PARTY OF THE PARTY OF THE PARTY OF THE PARTY OF THE PARTY OF THE PARTY OF THE PARTY OF THE PARTY OF THE PARTY OF THE PARTY OF THE PARTY OF THE PARTY OF THE PARTY OF THE PARTY OF THE PARTY OF THE PARTY OF THE PARTY OF THE PARTY OF THE PARTY OF THE PARTY OF THE PARTY OF THE PARTY OF THE PARTY OF THE PARTY OF THE PARTY OF THE PARTY OF THE PARTY OF THE PARTY OF THE PARTY OF THE PARTY OF THE PARTY OF THE PARTY OF THE PARTY OF THE PARTY OF THE PARTY OF THE PARTY OF THE PARTY OF THE PARTY OF THE PARTY OF THE PARTY OF THE PARTY OF THE PARTY OF THE PARTY OF THE PARTY OF THE PARTY OF THE PARTY OF THE PARTY OF THE PARTY OF THE PARTY OF THE PARTY OF THE PARTY OF THE PARTY OF THE PARTY OF THE PARTY OF THE PARTY OF THE PARTY OF THE PARTY OF THE PARTY OF THE PARTY OF THE PARTY OF THE PARTY OF THE PARTY OF THE PARTY OF THE PARTY OF THE PARTY OF THE PARTY OF THE PARTY OF THE PARTY OF THE PARTY OF THE PARTY OF THE PARTY OF THE PARTY OF THE PA	THE REPORT OF			TO STATE OF THE PARTY OF THE PARTY OF THE PARTY OF THE PARTY OF THE PARTY OF THE PARTY OF THE PARTY OF THE PARTY OF THE PARTY OF THE PARTY OF THE PARTY OF THE PARTY OF THE PARTY OF THE PARTY OF THE PARTY OF THE PARTY OF THE PARTY OF THE PARTY OF THE PARTY OF THE PARTY OF THE PARTY OF THE PARTY OF THE PARTY OF THE PARTY OF THE PARTY OF THE PARTY OF THE PARTY OF THE PARTY OF THE PARTY OF THE PARTY OF THE PARTY OF THE PARTY OF THE PARTY OF THE PARTY OF THE PARTY OF THE PARTY OF THE PARTY OF THE PARTY OF THE PARTY OF THE PARTY OF THE PARTY OF THE PARTY OF THE PARTY OF THE PARTY OF THE PARTY OF THE PARTY OF THE PARTY OF THE PARTY OF THE PARTY OF THE PARTY OF THE PARTY OF THE PARTY OF THE PARTY OF THE PARTY OF THE PARTY OF THE PARTY OF THE PARTY OF THE PARTY OF THE PARTY OF THE PARTY OF THE PARTY OF THE PARTY OF THE PARTY OF THE PARTY OF THE PARTY OF THE PARTY OF THE PARTY OF THE PARTY OF THE PARTY OF THE PARTY OF THE PARTY OF THE PARTY OF THE PARTY OF THE PARTY OF THE PARTY OF THE PARTY OF THE PARTY OF THE PARTY OF THE PARTY OF THE PARTY OF THE PARTY OF THE PARTY OF THE PARTY OF THE PARTY OF THE PARTY OF THE PARTY OF THE PARTY OF THE PARTY OF THE PARTY OF THE PARTY OF THE PARTY OF THE PARTY OF THE PARTY OF THE PARTY OF THE PARTY OF THE PARTY OF THE PARTY OF THE PARTY OF THE PARTY OF THE PARTY OF THE PARTY OF THE PARTY OF THE PARTY OF THE PARTY OF THE PARTY OF THE PARTY OF THE PARTY OF THE PARTY OF THE PARTY OF THE PARTY OF THE PARTY OF THE PARTY OF THE PARTY OF THE PARTY OF THE PARTY OF THE PARTY OF THE PARTY OF THE PARTY OF THE PARTY OF THE PARTY OF THE PARTY OF THE PARTY OF THE PARTY OF THE PARTY OF THE PARTY OF THE PARTY OF THE PARTY OF THE PARTY OF THE PARTY OF THE PARTY OF THE PARTY OF THE PARTY OF THE PARTY OF THE PARTY OF THE PARTY OF THE PARTY OF THE PARTY OF THE PARTY OF THE PARTY OF THE PARTY OF THE PARTY OF THE PARTY OF THE PARTY OF THE PARTY OF THE PARTY OF THE PARTY OF THE PARTY OF THE PARTY OF THE PARTY OF THE PARTY OF THE PARTY OF THE PARTY OF THE PARTY OF THE PARTY OF THE PARTY OF THE PARTY OF THE PA
الكال الكائل وجحوالا		Unique Name	Output Case	Case Type	Step Type	FX	P	F2
BASE	1	3174	ENV LRFD	Combination	Max	126.4969	132.3295	1144.4
BASE	1	3174	ENV LRFD	Combination	Min	-57.18	-120.6732	The second second second
BASE	2	3181	ENV LRFD	Combination	Max	44.582	146.3401	243.66
BASE	2	3181	ENV LRFD	Combination	Min	-42.7597	-133.3777	-
BASE	3	3154	ENV LRFD	Combination	Max	189.9819	0.0497	2774.8
BASE	3	3154	ENV LRFD	Combination	Min	-291.4839	-107.2043	-412.9
BASE	4	3175	ENV LRFD	Combination	Max	193.2963	321.1146	807.73
BASE	4	3175	ENV LRFD	Combination	Min	-222.4421	-171.2377	-217.50
BASE	6	3178	ENV LRFD	Combination	Max	179,4416	103.362	148.95
BASE	6	3178	ENV LRFD	Combination	Min	-195.5595	-109.4535	31.49
BASE	7	3147	ENV LRFD	Combination	Max	216.7506	-33.9036	2143.5
BASE	7	3147	ENV LRFD	Combination	Min	-99.9102	-109.622	-311.1
BASE	8	3142	ENV LRFD	Combination	Max	11.1919	2.1366	102.13
BASE	8	3142	ENV LRFD	Combination	Min	3.1649	-1.3195	50.97
BASE	32	3256	ENV LRFD	Combination	Max	0	0	4.978
BASE	32	3256	ENV LRFD	Combination	Min	0	0	2.619
BASE	12	3118	ENV LRFD	Combination	Max	269.8271	-10.1229	1597.63
BASE	12	3118	ENV LRFD	Combination	Min	-266.0539	-21,7939	146.22
BASE	13	3167	ENV LRFD	Combination	Max	406,6853	-6.8604	1631.74
BASE	13	3167	ENV LRFD	Combination	Min	-410.6823	-14,4541	753.33
BASE	18	3168	ENV LRFD	Combination	Max	437,393	-5.2011	1570.76
BASE	18	3168	ENV LRFD	Combination	Min	-384.6336	-11,4535	602.86
BASE	19	3119	ENV LRFD	Combination	Max	86.6741	2.793	749.3
BASE	19	3119	ENV LRFD	Combination	Min	-64.1247	-0.8844	143.91
BASE	24	3120	ENV LRFD	Combination	Max	239,4288	-8.2837	2186.7
BASE	24	3120	ENV LRFD	Combination	Min	-331.8318	-17.5925	203.36
BASE	37	3121	ENV LRFD	Combination	Max	12.1137	2.0114	1912.80
BASE	37	3121	ENV LRFD	Combination	Min	4.71	-0.4681	1017.8
BASE	38	3122	ENV LRFD	Combination	Max	7.568	1.4371	
BASE	38	3122	ENV LRFD	Combination	Min	-1.3181		1719.73
BASE	39	3169	ENV LRFD	Combination	Max	10.53	-2.2582	757.29
BASE	39	3169	ENV LRFD	Combination			0.1994	1396.32
BASE	41	3132	ENV LRFD	Combination	Min	4.1358	-1.628	575.00
BASE	41	3132	ENV LRFD	Combination	Max	0.1867	1.4494	1339.15
BASE	42	3133	ENV LRFD	Combination	Min	-1.8589	-1.4484	539.81
BASE	42	3133	ENV LRFD	Company of the party of the party of the party of the party of the party of the party of the party of the party of the party of the party of the party of the party of the party of the party of the party of the party of the party of the party of the party of the party of the party of the party of the party of the party of the party of the party of the party of the party of the party of the party of the party of the party of the party of the party of the party of the party of the party of the party of the party of the party of the party of the party of the party of the party of the party of the party of the party of the party of the party of the party of the party of the party of the party of the party of the party of the party of the party of the party of the party of the party of the party of the party of the party of the party of the party of the party of the party of the party of the party of the party of the party of the party of the party of the party of the party of the party of the party of the party of the party of the party of the party of the party of the party of the party of the party of the party of the party of the party of the party of the party of the party of the party of the party of the party of the party of the party of the party of the party of the party of the party of the party of the party of the party of the party of the party of the party of the party of the party of the party of the party of the party of the party of the party of the party of the party of the party of the party of the party of the party of the party of the party of the party of the party of the party of the party of the party of the party of the party of the party of the party of the party of the party of the party of the party of the party of the party of the party of the party of the party of the party of the party of the party of the party of the party of the party of the party of the party of the party of the party of the party of the party of the party of the party of the party of the party of the party of the par	Max	0.8654	-1.6841	1706.15
BASE	44	3170	ENV LRFD	Combination	Min	-1.1263	-4.7374	956.68
BASE	44	3170	ENV LRFD	Combination	Max	10.2963	2.9651	1137.9
BASE	45	3135	ENV LRFD	Combination Combination	Min	5.4092	0.2543	311.27
BASE	45	3135	ENV LRFD	Combination		3.6747	0.8985	1222.36
BASE	45	3171	ENV LRFD	The state of the state of the state of the state of the state of the state of the state of the state of the state of the state of the state of the state of the state of the state of the state of the state of the state of the state of the state of the state of the state of the state of the state of the state of the state of the state of the state of the state of the state of the state of the state of the state of the state of the state of the state of the state of the state of the state of the state of the state of the state of the state of the state of the state of the state of the state of the state of the state of the state of the state of the state of the state of the state of the state of the state of the state of the state of the state of the state of the state of the state of the state of the state of the state of the state of the state of the state of the state of the state of the state of the state of the state of the state of the state of the state of the state of the state of the state of the state of the state of the state of the state of the state of the state of the state of the state of the state of the state of the state of the state of the state of the state of the state of the state of the state of the state of the state of the state of the state of the state of the state of the state of the state of the state of the state of the state of the state of the state of the state of the state of the state of the state of the state of the state of the state of the state of the state of the state of the state of the state of the state of the state of the state of the state of the state of the state of the state of the state of the state of the state of the state of the state of the state of the state of the state of the state of the state of the state of the state of the state of the state of the state of the state of the state of the state of the state of the state of the state of the state of the state of the state of the state of the state of the state of the state of the state of the state of the s	Min	-0.5323	-1.6608	560.60
BASE	46	3171	ENV LRFD	Combination	Max	7.0982	0.9778	1088.27
BASE	47	3136		Combination	Min	1.7274	-1.3285	385.42
BASE	47	3136	ENV LRFD	Combination	Max	130.5579	1.6697	1753.60
MASE	48	3137	The second second	Combination	Min	34.5124	-2.4147	-32.00
BASE	1000		ENV LRFD	Combination	Max	-30.0552	6.4221	2009.57
BASE	48 49	3137	ENV LRFD	Combination	Min	-140.5201	1.504	-86.528
ASE		3138	ENV LRFD	Combination	Max	1.1287	-1.4132	1606.55
ASE	49	3138	ENV LRFD	Combination	Min	0.1675	-13.2178	696 50
ASE	50 50	3139	ENV LRFD	Combination	Max	2.1948	1.6335	1404.69
ASE		3139	ENV LRFD	Combination	Min	0.0704	-0.3959	616.11
	52	3164	ENV LRFD	Combination	Max	185.4306	213.164	4212.01
ASE	52	3164	ENV LRFD	Combination	Min	1.7243	-4.4075	107.400
ASE	53	3163	ENV LRFD	Combination	Max	151.5861	8.9603	4163.30
ASE	53	3163	ENV LRFD	Combination	Min	-58.2323	-223.1088	-37.785
BASE	264	3161	ENV LRFD	Combination	Max	8.5588	50.3024	1101.18
ASE	264	3161	ENV LRFD	Combination	Min	-9.3963	-18.6216	321.124
ASE	267	3162	ENV LRFD	Combination	Max	41.3341	24.6545	1579.02
IASE	267	3162	ENV LRFD	Combination	Min	-5.1564	-178.7525	385.53
ASE	56	3203	ENV LRFD	Combination	Max	138.9361	1.0395	530.285
ASE	56	3203	ENV LRFD	Combination	Min	45.0075	-0.4595	134.559

### Envolventes de carga (2/3)

TABLE: Joint Reactions (CARGA VIVA MAXIMA)									
Story	Label	Unique Name	Output Case	Case Type	Step Type	FX	FY	FZ	
BASE	57	3191	ENV LRFD	Combination	Max	95.7627	2.2461	299.025	
BASE	57	3191	ENV LRFD	Combination	Min	18.5822	0.3723	-36.333	
BASE	58	3166	ENV LRFD	Combination	Max	196.868	210.7032	4308.529	
BASE	58	3166	ENV LRFD	Combination	Min	-4.901	-8.2962	-152.390	
BASE	59	3165	ENV LRFD	Combination	Max	172.6582	24.8235	4716.450	
BASE	59	3165	ENV LRFD	Combination	Min	8.8632	-242.1598	94.498	
BASE	70	3143	ENV LRFD	Combination	Max	1.2534	0.0277	129.189	
BASE	70	3143	ENV LRFD	Combination	Min	-3.45E+00	-4.3931	65.178	
BASE	71	3144	ENV LRFD	Combination	Max	2.1379	7.2031	97.556	
BASE	71	3144	ENV LRFD	Combination	Min	-3.0996	1.363	50,744	
BASE	72	3145	ENV LRFD	Combination	Max	8.6729	4.9161	76.566	
BASE	72	3145	ENV LRFD	Combination	Min	1.9041	1.0187	37.581	
BASE	14	3151	ENV LRFD	Combination	Max	-4.6307	302.4182	1726.64	
BASE	14	3151	ENV LRFD	Combination	Min	-10.1899	-143,4056	-148,54	
BASE	16	3195	ENV LRFD	Combination	Max	0	0	0	
BASE	16	3195	ENV LRFD	Combination	Min	0	0	0	
BASE	22	3152	ENV LRFD	Combination	Max	-3.5298	204,7021	1933.77	
BASE	22	3152	ENV LRFD	Combination	Min	-9.1937	-297.8607	-3.884	
BASE	28	3140	ENV LRFD	Combination	Max	4,4089	-0.455	293.680	
BASE	28	3140	ENV LRFD	Combination	Min	0.6095	-4.9432	138 021	
BASE	29	3141	ENV LRFD	Combination	Max	0.6141	0.8333	319.500	
BASE	29	3141	ENV LRFD	Combination	Min	-1.898	-1.9982	150.320	
BASE	65	3194	ENV LRFD	Combination	Max	-3.3677	426.6812	915.46	
BASE	65	3194	ENV LRFD	Combination	Min	-10.3836	-413.8336	479.690	
BASE	75	3153	ENV LRFD	Combination	Max	-2.7028	305.4668	2016.17	
BASE	76	3153	ENV LRFD	Combination	Min	-11.898	-205.1586	104.02	
BASE	78	402	ENV LRFD	Combination	Max	0	0	0	
BASE	78	402	ENV LRFD	Combination	Min	o	0	0	
BASE	159	3185	ENV LRFD	Combination	Max	60.772	284.3793	386.720	
BASE	159	3185	ENV LRFD	Combination	Min	-55.0927	-275.6775	-110.74	
BASE	160	3184	ENV LRFD	Combination	Max	69.137	325.7431	337.992	
BASE	160	3184	ENV LRFD	Combination	Min	-63.1259	-317.716	-68.41	
		3186	ENV LRFD	Combination	Max	53.1806	247.8209	203.571	
BASE	161		ENV LRFD	Combination	Min	-48.8841	-243.7537	51 166	
BASE	161	3186	ENV LRFD	Combination	Max	62.2626	288.7391	187.36	
BASE	162	3187	ENV LRFD	Combination	Min	-57.385	-286.9281	106.54	
BASE	162	3187	ENV LRFD	Combination	Max	53.9022	264.62		
BASE	163	3188 3188	ENV LRFD	Combination	Min	-53.4176	-252.1442	99 168	
BASE BASE	163 164	3189	ENV LRFD	Combination	Max	43.2727	235.1698	477.99	
	164	3169	ENV LRFD	Combination	Min	-46,4319	-198.5681	-84,939	
BASE BASE	167	3163	ENV LRFD	Combination	Max	64.0415	300.5311	147.15	
			and the Control of the Control of the Control of the Control of the Control of the Control of the Control of the Control of the Control of the Control of the Control of the Control of the Control of the Control of the Control of the Control of the Control of the Control of the Control of the Control of the Control of the Control of the Control of the Control of the Control of the Control of the Control of the Control of the Control of the Control of the Control of the Control of the Control of the Control of the Control of the Control of the Control of the Control of the Control of the Control of the Control of the Control of the Control of the Control of the Control of the Control of the Control of the Control of the Control of the Control of the Control of the Control of the Control of the Control of the Control of the Control of the Control of the Control of the Control of the Control of the Control of the Control of the Control of the Control of the Control of the Control of the Control of the Control of the Control of the Control of the Control of the Control of the Control of the Control of the Control of the Control of the Control of the Control of the Control of the Control of the Control of the Control of the Control of the Control of the Control of the Control of the Control of the Control of the Control of the Control of the Control of the Control of the Control of the Control of the Control of the Control of the Control of the Control of the Control of the Control of the Control of the Control of the Control of the Control of the Control of the Control of the Control of the Control of the Control of the Control of the Control of the Control of the Control of the Control of the Control of the Control of the Control of the Control of the Control of the Control of the Control of the Control of the Control of the Control of the Control of the Control of the Control of the Control of the Control of the Control of the Control of the Control of the Control of the Control of the Control of the Control of th	222200			-294.6477	-	
BASE	167	3183	ENV LRFD	Combination	Min	-59.2805 203.0344	146.9121	171.457	
BASE	169	632		Combination	Min	-209.6794	-144.0494	8.547	
BASE	169	632	ENV LRFD			293,4982	213.9816	204.90	
BASE	170	3179	ENV LRFD	Combination	Max	-315.9521	-214.0945	122.56	
BASE	170	3179	ENV LRFD	Combination		-0.3411	1.7437	932.818	
BASE	187	3202	ENV LRFD	Combination	Max	-89.7884	0.1778	102.94	
BASE	187	3202	ENV LRFD	Combination	Min	100 2011 200 100		781.212	
BASE	30	1149	ENV LRFD	Combination	Max	0	0		
BASE	30	1149	ENV LRFD	Combination	Min	0	0 0063	110.83	
BASE	171	3177	ENV LRFD	Combination	Max	262.2332	90.9063	132.103	
BASE	171	3177	ENV LRFD	Combination	Min	-275.8155 387.4129	-90.7455 142.5707	214.55	
BASE		3176	ENV LRFD	Combination	Max				

168-174

### Envolventes de carga (3/3)

			TABLE: Joint Reacti	THE RESERVE OF THE PERSON NAMED IN COLUMN TWO	WINDOWS OF THE PERSON NAMED IN COLUMN 2 IN COLUMN 2 IN COLUMN 2 IN COLUMN 2 IN COLUMN 2 IN COLUMN 2 IN COLUMN 2 IN COLUMN 2 IN COLUMN 2 IN COLUMN 2 IN COLUMN 2 IN COLUMN 2 IN COLUMN 2 IN COLUMN 2 IN COLUMN 2 IN COLUMN 2 IN COLUMN 2 IN COLUMN 2 IN COLUMN 2 IN COLUMN 2 IN COLUMN 2 IN COLUMN 2 IN COLUMN 2 IN COLUMN 2 IN COLUMN 2 IN COLUMN 2 IN COLUMN 2 IN COLUMN 2 IN COLUMN 2 IN COLUMN 2 IN COLUMN 2 IN COLUMN 2 IN COLUMN 2 IN COLUMN 2 IN COLUMN 2 IN COLUMN 2 IN COLUMN 2 IN COLUMN 2 IN COLUMN 2 IN COLUMN 2 IN COLUMN 2 IN COLUMN 2 IN COLUMN 2 IN COLUMN 2 IN COLUMN 2 IN COLUMN 2 IN COLUMN 2 IN COLUMN 2 IN COLUMN 2 IN COLUMN 2 IN COLUMN 2 IN COLUMN 2 IN COLUMN 2 IN COLUMN 2 IN COLUMN 2 IN COLUMN 2 IN COLUMN 2 IN COLUMN 2 IN COLUMN 2 IN COLUMN 2 IN COLUMN 2 IN COLUMN 2 IN COLUMN 2 IN COLUMN 2 IN COLUMN 2 IN COLUMN 2 IN COLUMN 2 IN COLUMN 2 IN COLUMN 2 IN COLUMN 2 IN COLUMN 2 IN COLUMN 2 IN COLUMN 2 IN COLUMN 2 IN COLUMN 2 IN COLUMN 2 IN COLUMN 2 IN COLUMN 2 IN COLUMN 2 IN COLUMN 2 IN COLUMN 2 IN COLUMN 2 IN COLUMN 2 IN COLUMN 2 IN COLUMN 2 IN COLUMN 2 IN COLUMN 2 IN COLUMN 2 IN COLUMN 2 IN COLUMN 2 IN COLUMN 2 IN COLUMN 2 IN COLUMN 2 IN COLUMN 2 IN COLUMN 2 IN COLUMN 2 IN COLUMN 2 IN COLUMN 2 IN COLUMN 2 IN COLUMN 2 IN COLUMN 2 IN COLUMN 2 IN COLUMN 2 IN COLUMN 2 IN COLUMN 2 IN COLUMN 2 IN COLUMN 2 IN COLUMN 2 IN COLUMN 2 IN COLUMN 2 IN COLUMN 2 IN COLUMN 2 IN COLUMN 2 IN COLUMN 2 IN COLUMN 2 IN COLUMN 2 IN COLUMN 2 IN COLUMN 2 IN COLUMN 2 IN COLUMN 2 IN COLUMN 2 IN COLUMN 2 IN COLUMN 2 IN COLUMN 2 IN COLUMN 2 IN COLUMN 2 IN COLUMN 2 IN COLUMN 2 IN COLUMN 2 IN COLUMN 2 IN COLUMN 2 IN COLUMN 2 IN COLUMN 2 IN COLUMN 2 IN COLUMN 2 IN COLUMN 2 IN COLUMN 2 IN COLUMN 2 IN COLUMN 2 IN COLUMN 2 IN COLUMN 2 IN COLUMN 2 IN COLUMN 2 IN COLUMN 2 IN COLUMN 2 IN COLUMN 2 IN COLUMN 2 IN COLUMN 2 IN COLUMN 2 IN COLUMN 2 IN COLUMN 2 IN COLUMN 2 IN COLUMN 2 IN COLUMN 2 IN COLUMN 2 IN COLUMN 2 IN COLUMN 2 IN COLUMN 2 IN COLUMN 2 IN COLUMN 2 IN COLUMN 2 IN COLUMN 2 IN COLUMN 2 IN COLUMN 2 IN COLUMN 2 IN COLUMN 2 IN COLUMN 2 IN COLUMN 2 IN	FX	FY	FZ
Story	Label	Unique Name	Output Case ENV LRFD	Case Type Combination	Step Type Max	0	0	15.8308
BASE	67	1861	A STATE OF THE PARTY OF THE PARTY OF THE PARTY OF THE PARTY OF THE PARTY OF THE PARTY OF THE PARTY OF THE PARTY OF THE PARTY OF THE PARTY OF THE PARTY OF THE PARTY OF THE PARTY OF THE PARTY OF THE PARTY OF THE PARTY OF THE PARTY OF THE PARTY OF THE PARTY OF THE PARTY OF THE PARTY OF THE PARTY OF THE PARTY OF THE PARTY OF THE PARTY OF THE PARTY OF THE PARTY OF THE PARTY OF THE PARTY OF THE PARTY OF THE PARTY OF THE PARTY OF THE PARTY OF THE PARTY OF THE PARTY OF THE PARTY OF THE PARTY OF THE PARTY OF THE PARTY OF THE PARTY OF THE PARTY OF THE PARTY OF THE PARTY OF THE PARTY OF THE PARTY OF THE PARTY OF THE PARTY OF THE PARTY OF THE PARTY OF THE PARTY OF THE PARTY OF THE PARTY OF THE PARTY OF THE PARTY OF THE PARTY OF THE PARTY OF THE PARTY OF THE PARTY OF THE PARTY OF THE PARTY OF THE PARTY OF THE PARTY OF THE PARTY OF THE PARTY OF THE PARTY OF THE PARTY OF THE PARTY OF THE PARTY OF THE PARTY OF THE PARTY OF THE PARTY OF THE PARTY OF THE PARTY OF THE PARTY OF THE PARTY OF THE PARTY OF THE PARTY OF THE PARTY OF THE PARTY OF THE PARTY OF THE PARTY OF THE PARTY OF THE PARTY OF THE PARTY OF THE PARTY OF THE PARTY OF THE PARTY OF THE PARTY OF THE PARTY OF THE PARTY OF THE PARTY OF THE PARTY OF THE PARTY OF THE PARTY OF THE PARTY OF THE PARTY OF THE PARTY OF THE PARTY OF THE PARTY OF THE PARTY OF THE PARTY OF THE PARTY OF THE PARTY OF THE PARTY OF THE PARTY OF THE PARTY OF THE PARTY OF THE PARTY OF THE PARTY OF THE PARTY OF THE PARTY OF THE PARTY OF THE PARTY OF THE PARTY OF THE PARTY OF THE PARTY OF THE PARTY OF THE PARTY OF THE PARTY OF THE PARTY OF THE PARTY OF THE PARTY OF THE PARTY OF THE PARTY OF THE PARTY OF THE PARTY OF THE PARTY OF THE PARTY OF THE PARTY OF THE PARTY OF THE PARTY OF THE PARTY OF THE PARTY OF THE PARTY OF THE PARTY OF THE PARTY OF THE PARTY OF THE PARTY OF THE PARTY OF THE PARTY OF THE PARTY OF THE PARTY OF THE PARTY OF THE PARTY OF THE PARTY OF THE PARTY OF THE PARTY OF THE PARTY OF THE PARTY OF THE PARTY OF THE PARTY OF THE PARTY OF THE PARTY OF THE PARTY OF THE PARTY OF THE PARTY OF THE PAR	Combination	Min	o	o	9.3553
BASE	67	1861 1862	ENV LRFD	Combination	Max	ŏ	0	10.3144
BASE	81		ENV LRFD	Combination	Min	ő	0	5.5512
BASE	81	1862	ENV LRFD	Combination		58.5242	283.1859	145.438
BASE	175	3182	ENV LRFD	A THE STATE OF THE STATE OF THE STATE OF THE STATE OF THE STATE OF THE STATE OF THE STATE OF THE STATE OF THE STATE OF THE STATE OF THE STATE OF THE STATE OF THE STATE OF THE STATE OF THE STATE OF THE STATE OF THE STATE OF THE STATE OF THE STATE OF THE STATE OF THE STATE OF THE STATE OF THE STATE OF THE STATE OF THE STATE OF THE STATE OF THE STATE OF THE STATE OF THE STATE OF THE STATE OF THE STATE OF THE STATE OF THE STATE OF THE STATE OF THE STATE OF THE STATE OF THE STATE OF THE STATE OF THE STATE OF THE STATE OF THE STATE OF THE STATE OF THE STATE OF THE STATE OF THE STATE OF THE STATE OF THE STATE OF THE STATE OF THE STATE OF THE STATE OF THE STATE OF THE STATE OF THE STATE OF THE STATE OF THE STATE OF THE STATE OF THE STATE OF THE STATE OF THE STATE OF THE STATE OF THE STATE OF THE STATE OF THE STATE OF THE STATE OF THE STATE OF THE STATE OF THE STATE OF THE STATE OF THE STATE OF THE STATE OF THE STATE OF THE STATE OF THE STATE OF THE STATE OF THE STATE OF THE STATE OF THE STATE OF THE STATE OF THE STATE OF THE STATE OF THE STATE OF THE STATE OF THE STATE OF THE STATE OF THE STATE OF THE STATE OF THE STATE OF THE STATE OF THE STATE OF THE STATE OF THE STATE OF THE STATE OF THE STATE OF THE STATE OF THE STATE OF THE STATE OF THE STATE OF THE STATE OF THE STATE OF THE STATE OF THE STATE OF THE STATE OF THE STATE OF THE STATE OF THE STATE OF THE STATE OF THE STATE OF THE STATE OF THE STATE OF THE STATE OF THE STATE OF THE STATE OF THE STATE OF THE STATE OF THE STATE OF THE STATE OF THE STATE OF THE STATE OF THE STATE OF THE STATE OF THE STATE OF THE STATE OF THE STATE OF THE STATE OF THE STATE OF THE STATE OF THE STATE OF THE STATE OF THE STATE OF THE STATE OF THE STATE OF THE STATE OF THE STATE OF THE STATE OF THE STATE OF THE STATE OF THE STATE OF THE STATE OF THE STATE OF THE STATE OF THE STATE OF THE STATE OF THE STATE OF THE STATE OF THE STATE OF THE STATE OF THE STATE OF THE STATE OF THE STATE OF THE STATE OF THE STATE OF THE STATE OF THE STATE OF THE STATE OF THE STATE OF THE STATE OF THE STATE OF THE	Min	-57.1758	-273.9106	67.8260
BASE	175	3182	ENV LRFD	Combination		1.0788	115.3041	2394,478
BASE	177	3148	ENV LRFD	Combination	Max	-22.3154	11.3045	-442 956
BASE	177	3148	ENV LRFD	Combination	Min	30.2681	-31.5123	2093.242
BASE	178	3149	ENV LRFD	Combination	Max	9.7284	-99.847	-161.033
BASE	178	3149	ENV LRFD	Combination		-5.7047	99.0344	2197.37
BASE	179	3150	ENV LRFD	Combination	Max	MANAGEMENT TO THE	30.3598	-351 119
BASE	179	3150	ENV LRFD	Combination	Min	-20.7311 -9.7331	-1.0134	111.574
BASE	215	3204	ENV LRFD	Combination	Max			- 1 1 1 1 1 1 1 1 1 1 1 1 1 1 1 1 1 1 1
BASE	215	3204	ENV LRFD	Combination	Min	-143.6069	-2.5562	-69.205 917.998
BASE	68	3146	ENV LRFD	Combination	Max	3.8805	7.0741 2.2694	425,830
BASE	68	3146	ENV LRFD	Combination	Min	-0.6866	- Contract Contract Contract Contract Contract Contract Contract Contract Contract Contract Contract Contract Contract Contract Contract Contract Contract Contract Contract Contract Contract Contract Contract Contract Contract Contract Contract Contract Contract Contract Contract Contract Contract Contract Contract Contract Contract Contract Contract Contract Contract Contract Contract Contract Contract Contract Contract Contract Contract Contract Contract Contract Contract Contract Contract Contract Contract Contract Contract Contract Contract Contract Contract Contract Contract Contract Contract Contract Contract Contract Contract Contract Contract Contract Contract Contract Contract Contract Contract Contract Contract Contract Contract Contract Contract Contract Contract Contract Contract Contract Contract Contract Contract Contract Contract Contract Contract Contract Contract Contract Contract Contract Contract Contract Contract Contract Contract Contract Contract Contract Contract Contract Contract Contract Contract Contract Contract Contract Contract Contract Contract Contract Contract Contract Contract Contract Contract Contract Contract Contract Contract Contract Contract Contract Contract Contract Contract Contract Contract Contract Contract Contract Contract Contract Contract Contract Contract Contract Contract Contract Contract Contract Contract Contract Contract Contract Contract Contract Contract Contract Contract Contract Contract Contract Contract Contract Contract Contract Contract Contract Contract Contract Contract Contract Contract Contract Contract Contract Contract Contract Contract Contract Contract Contract Contract Contract Contract Contract Contract Contract Contract Contract Contract Contract Contract Contract Contract Contract Contract Contract Contract Contract Contract Contract Contract Contract Contract Contract Contract Contract Contract Contract Contract Contract Contract Contract Contract Contract Contract Contract Contract Contract Contract Contract Contract Contract Contract C	1415.141
BASE	165	3159	ENV LRFD	Combination	Max	8.156	151.6486	The second second second
BASE	165	3159	ENV LRFD	Combination	Min	-36.5227	-13.8529	519.216
BASE	168	3160	ENV LRFD	Combination	Max	44.5388	41.7132	1496.514
BASE	168	3160	ENV LRFD	Combination	Min	-10.6872	-187.4629	562,443
BASE	82	455	ENV LRFD	Combination	Max	0	0	0
BASE	82	455	ENV LRFD	Combination	Min	0	0	0
BASE	128	3201	ENV LRFD	Combination	Max	5.0986	236.2409	2307.91
BASE	128	3201	ENV LRFD	Combination	Min	-174.1373	-17.6249	270.073
BASE	129	3200	ENV LRFD	Combination	Max	70.5166	-38.8073	3020.039
BASE	129	3200	ENV LRFD	Combination	Min	-59.4613	-188.2547	222.047
BASE	153	3206	ENV LRFD	Combination	Max	-25.7783	2.5341	1235.836
BASE	153	3206	ENV LRFD	Combination	Min	-152.5358	0.4056	261.691
BASE	5	3172	ENV LRFD	Combination	Max	14.3526	1.4163	2695.754
BASE	5	3172	ENV LRFD	Combination	Min	-205.8063	-2.5959	-309.979
BASE	10	3134	ENV LRFD	Combination	Max	0.2355	1.3092	1397.46
BASE	10	3134	ENV LRFD	Combination	Min	-2.0766	-1.2836	474.00
BASE	20	3173	ENV LRFD	Combination	Max	6.0263	2.304	2949.98
BASE	20	3173	ENV LRFD	Combination	Min	-192.7421	-0.9927	-510.729
BASE	198	3210	ENV LRFD	Combination	Max	7.4433	0.1511	914.745
BASE	198	3210	ENV LRFD	Combination	Min	-34.4752	-0.8641	102,200
BASE	15	3209	ENV LRFD	Combination	Max	0	0	0
BASE	15	3209	ENV LRFD	Combination	Min	0	0	0
BASE	17	1993	ENV LRFD	Combination	Max	0	0	0
BASE	17	1993	ENV LRFD	Combination	Min	0	0	5 O O
BASE	190	3158	ENV LRFD	Combination	Max	-4.1758	72.2001	1134.55
BASE	190	3158	ENV LRFD	Combination	Min	-10.7088	-37.5303	229.130
BASE	254	3157	ENV LRFD	Combination	Max	-2.0937	32.2292	936.902
BASE	254	3157	ENV LRFD	Combination	Min	-5.2872	-67.7033	375.069
BASE	258	3156	ENV LRFD	Combination	Max	-31.4903	78.0002	1090.824
BASE	258	3156	ENV LRFD	Combination	Min	-51.9764	-45.6273	489.181
BASE	260	3155	ENV LRFD	Combination	Max	-1.7032	0.6154	1331.420
BASE	260	3155	ENV LRFD	Combination	Min	-7.9513	-90.997	357.315
BASE	31	1779	ENV LRFD	Combination	Max	0	0	12.406
BASE	31	1779	ENV LRFD	Combination	Min	0	0	6,6463
BASE	40	1859	ENV LRFD	Combination	Max	0	0	178.78
BASE	40	1859	ENV LRFD	Combination	Min	0	0	68.8047

169-1

### Carga Muerta

Story	Label	Unique Name Output Car	e Case Type	FX	FY	FZ
ASE	1	3174 MUERTA T	UnStatic UnStatic	34.2643 0.8069	6.6063 7.0958	307.928 63.996
ASE ASE	2		LinStatic	-43.174	-50.6751	1108.446
ASE	4		LinStatic	-13.644	72.3215	288.138
ASE	6		LinStatic	-7.226	-2.6865	88.960
SE	7		LinStatic LinStatic	58.5544 5.7986	-69.2386 0.4267	894.123 58.748
ASE ASE	32		LinStatic	0	0.4207	3.380
SE	33		LinStatic	0	o	4.81
SE	34		LinStatic	0	0	5.98
SE	35		LinStatic	0	0	4.70 2.9
ASE ASE	36 12		LinStatic LinStatic	3.2322	-12.8282	B41.9
ASE	13		LinStatic	4.78E-01	-8.0797	1068.48
SE	18		LinStatic	9.5209	-6.3039	1020.25
SE	19		LinStatic	4.7223 -14.3222	1.2688 -11.4326	583.27 1127.48
ASE ASE	24 37	3120 MUERTA T 3121 MUERTA T	LinStatic LinStatic	0.8237	0.7769	1128.07
ASE	38		LinStatic	3.1185	-0.3954	1099.42
ASE	39		LinStatic	0.4557	-0.6481	847.83
ASE	41		LinStatic LinStatic	-0.7929 -0.0885	-0.0042 0.0225	856.22 1047.48
ASE ASE	42		LinStatic	1,5854	1.2024	657.96
ASE	45	3135 MUERTA T	LinStatic	2.9454	-0.3264	767.7
ASE	46		LinStatic	3.8288	-0.0658	705.68
ASE	47		LinStatic	79.225	-0.2449	793.50
ASE	49		LinStatic LinStatic	-80.7967 0.6195	-0.8778 -6.9427	864.21 1057.22
ASE ASE	49		LinStatic	1.0494	0.5797	893.08
ASE	52		LinStatic	91.416	100.1601	1987.48
SE	53		LinStatic	45.9321	-101.7862	1891.60
\SE	54	3263 MUERTA T	LinStatic	0	0	5.
SE	55		LinStatic	0 83.7875	O.2383	4.69 436.0
SE	56 57	3203 MUERTA T 3191 MUERTA T	LinStatic	41.9762	1.3189	524.25
SE	58		LinStatic	92.6807	97.6848	2003.77
SE	59		LinStatic	88.7063	-103.1538	2230.69
SE	60		LinStatic	73.4386	-0.6022	441.31
ASE	61		LinStatic	86.0422	-0.1561	440.32
SE	62 63		LinStatic LinStatic	0	0	4.83
ASE ASE	70		LinStatic	-0.9754	-2.0564	73.81
SE	71		LinStatic	-0.4502	3.8772	58.05
SE	72	3145 MUERTA T	LinStatic	4.5072	2.545	44.52
SE	14		LinStatic -	-5.618 -0.8658	76.2486 0.189	768.53 299.39
SE	16 22		LinStatic LinStatic	-4.6466	-44.4876	936.7
NSE NSE	28		LinStatic	1.6921	-0.0631	126.32
SE	29		LinStatic	-0.383	-0.3429	168.18
SE	65		LinStatic	-5.1244	5.0045	622.95
ASE	76		LinStatic	-6.4429	46.0551	1022.63 340.95
SE	78 159		LinStatic LinStatic	-2.4662 1.5584	-4.5492 5.3647	130.1
ASE ASE	160		LinStatic	2.5129	5.3067	123.4
SE	161	3186 MUERTA T	LinStatic	1.1937	3,1379	125.76
ASE	162		LinStatic	1.5246	2.1756	130.41
SE	163		LinStatic LinStatic	-0.0439 -2.4925	7,4545 1,93E+01	124.88
ASE ASE	164 167	3189 MUERTA T 3183 MUERTA T	LinStatic	1.9711	4.1864	107.74
SE	169		LinStatic	-2.6586	1.7113	89.79
SE	170	3179 MUERTA T	LinStatic	-9.9669	0.3973	144.63
SE	171		LinStatic	-5.9287	0.2414	95.31
SE	172		LinStatic LinStatic	-11.8222 0.3352	6.488 5.86E+00	148.74
SE	175 177	3182 MUERTA T 3148 MUERTA T	LinStatic	-10.3738	62.294	951.68
SE	178		LinStatic	19.6517	-66.3931	907.57
SE	179		LinStatic	-12.8899	62.929	896.63
SE	180	3215 MUERTA T	LinStatic	0	0	5.0
SE	181		LinStatic	14 7163	-1.704	4.77 377.86
SE SE	192 215		LinStatic LinStatic	14.7163 -71.6901	-0.1018	273.42
SE	68		LinStatic	2.4557	3.8348	589.25
SE	165	3159 MUERTA T	LinStatic	-13.8243	68.939	915.82
SE	168		LinStatic	16.4129	-70.7962 -4.2414	978.55 298.4
SE	82		LinStatic LinStatic	0.1951 4.283	0.5593	552.08
SE SE	94 98		LinStatic	10.4265	94.9026	1610.07
SE	107		LinStatic	-74.4776	-110.6827	1232.98
SE	128		LinStatic	-78.1549	105.2465	1255.53
SE	129		LinStatic	9.0352	-107.7559	1655.75 289.5
ASE	152		LinStatic	-73.0116 -84.2802	0.5576 0.7534	715.22
ASE	153		LinStatic LinStatic	-84.2802 -86.1107	-0.5598	1153.01
SE	10		LinStatic	-0.7823	0.0132	892.35
SE	20		LinStatic	-88.0163	0.6128	1165.56
SE	198	3210 MUERTA T	LinStatic	-13.1415	-0.4665	705.91
SE	9		LinStatic	-0.7631 11.2532	0.1978 -1.2357	504.46 491.33
SE	15		LinStatic LinStatic	11.2532	-1.2357 -22.8659	559.98
ASE ASE	17 190		LinStatic	-6.3012	11.9642	688.08
ASE.	254		LinStatic	-2.513	-14.5744	711.18
SE	258	3156 MUERTA T	LinStatic	-36.6274	11.1273	826.50
ASE	260	3155 MUERTA T	LinStatic	-4,6733	-17.6659	645.18
SE	264		LinStatic	-0.5008	16.2165 -74.1511	671.87 931.67
SE	267		LinStatic LinStatic	17.59 -44.7208	0.7803	612.06
ASE ASE	187		LinStatic	-44.7208	0.7803	11.66
NSE NSE	31		LinStatic	o	ō	8.56
	40		LinStatic	0	0	23.2
ASE					220	
ASE ASE	67	1861 MUERTA T 1862 MUERTA T	LinStatic LinStatic	0	0	10.4 5.49

1,

V/

### Carga Viva Media

				arga viva ivie				
Lab	el 1	Unique Name		Case Type	F	X 1.1077	6,1561	FZ 8.1862
	2	3181		LinStatic		0.0233	0.0377	0.0993
	3	3154		LinStatic		-2.1814	-1.2975	33.7329
	4	3175		LinStatic		-0.3498	2.1327	5.8582
	6	3178		LinStatic		-0.2692	-0.0625	0.9013 26.3756
	7	3147 3142		LinStatic LinStatic		2.4346 0.2805	-1.893 -0.0023	1.9893
	8 32	3256		LinStatic		0.2303	0	0.0825
	33	3257		LinStatic		0	0	0.7505
	34	3258	Wm	LinStatic		0	О	0.9583
	35	3259		LinStatic		0	0	0.1979
	36	3260		LinStatic		0 1.2131	-0,2803	0.0588 32.8343
	12	3118 3167		LinStatic LinStatic		5.93E-01	-0.0479	49.8818
	18	3168		LinStatic		-0.0262	-0.0158	46.9088
	19	3119	Wm	LinStatic		0.1076	0.0688	23.9321
	24	3120		LinStatic		-1.5964	-0.0516	43.1107
	37	3121		LinStatic		0.0145	-0.0309 -0.0529	80.719 59.4255
	38	3122 3169		LinStatic LinStatic		0.0649	0.0199	43.9051
	41	3132		LinStatic		0.0848	0.0117	43.4308
	42	3133		LinStatic		0.0051	-0.0013	65.4215
	44	3170	Wm	LinStatic		-1.0193	0.4325	37.1038
	45	3135		LinStatic		-0.2472	0.3882	43.6015
	46	3171		LinStatic		0.1598 3.1416	-0.1279 -0.1585	31.7193 31.4051
	47 48	3136 3137		LinStatic LinStatic		-3.2089	-0.1547	33.6625
	49	3138		LinStatic		0.0241	-0.267	48.5092
	50	3139	Wm	LinStatic		-0.017	0.0367	50.4024
	52	3164		LinStatic		4.1416	4.8653	90.3577
	53	3163		LinStatic		2.2077	-4.8632	86.9638
	54 55	3263 3261		LinStatic LinStatic		0	0	0.1495 0.1066
	56	3203		LinStatic		3.9148	0.0781	19.4288
	57	3191		LinStatic		1.9392	-0.0925	23.1205
	58	3166		LinStatic		4.2786	4.6961	91.3657
	59	3165		LinStatic		4.0633	-5.028	102.0915
	60	3205		LinStatic		3.3324	0.0623	19.377
	61 62	3207 3265		LinStatic LinStatic		3.9468 O	-0.0794 0	19.3597 0.0985
	63	3264		LinStatic		ŏ	o	0.1192
	70	3143		LinStatic		-0.0909	-0.0849	2.5685
	71	3144		LinStatic		-0.0161	0.1782	1.7123
	72	3145		LinStatic		0.2133	0.1223	1.4207
	14	3151		LinStatic LinStatic		-0.2111 -0.0215	2.2902 0.0313	20.9034 8.5072
	16 22	3195 3152		LinStatic		-0.0769	-1.2513	27.5111
	28	3140		LinStatic		0.7425	-0.6816	13.6588
	29	3141		LinStatic		-0.8595	-0.7651	17.9136
	65	3194		LinStatic		-0.1229	0.0456	18.5759
	76	3153		LinStatic		-0.1549 -0.0354	1.1496 -0.2173	29.7431 9.4733
	78 159	402 3185		LinStatic LinStatic		0.0519	0.1376	1.5847
	160	3184		LinStatic		0.1206	0.0667	0.9536
	161	3186		LinStatic		-0.0438	0.0063	2.3764
	162	3187		LinStatic		-0.0348	-0.0481	2.3542
	163	3188		LinStatic		-0.0004	0.1182	2.3594 4.1599
	164 167	3189 3183		LinStatic LinStatic		-0.0659 0.109	4.45E-01 0.0348	0.5522
	169	632		LinStatic		-0.1332	0.0487	0.4065
	170	3179		LinStatic		-0.3699	0.0608	1.2818
	171	3177		LinStatic		-0.1943	0.022	0.6157
	172	3176		LinStatic		-0.358	0.3006	1.3149
	175	3182		LinStatic		0.0603 -0.4522	3.76E-02 1.9309	0.3731 29.7038
	177 178	3148 3149		LinStatic LinStatic		1.8336	-1.4615	32.8378
	179	3150		LinStatic		-0.2835	1.4888	20.9618
	180	3215		LinStatic		0	0	0.1766
	181	3214		LinStatic		0	0	0.0305
	192	3190		LinStatic		0.757	-0.0367	16.8383
	215 68	3204 3146		LinStatic LinStatic		-3.3492 0.0267	0.034 0.1181	11.9246 26.79
	165	3159		LinStatic		0.1249	3.1505	32.9948
	168	3160	Wm	LinStatic		0.3422	-1.6923	23.1321
	82	455	Wm	LinStatic		-0.0085	-0.1916	8.297
	94	3196		LinStatic		0.1552	-0.0161 4.5294	21.4212
	98 107	3199 3198		LinStatic LinStatic		0.407 -3.5472	-5.3402	73.4203 52.4365
	128	3201		LinStatic		-3.6596	4.9288	56.04
	129	3200		LinStatic		0.3084	-5.1106	74.0858
	152	3211	Wm	LinStatic		-3.3996	0.0607	12.4859
	153	3206		LinStatic		-3.9214	-0.0204	31.9394
	5	3172		LinStatic		-4.0717 -0.1233	-0.0065 -0.0011	52.4155 43.081
	10	3134 3173		LinStatic LinStatic		-0.1233 -4.0883	0.0001	52.3402
	198	3210		LinStatic		-0.7084	0.0384	30.9921
	9	3208	Wm	LinStatic		-0.1054	-0.0243	19.7031
	15	3209		LinStatic		0.1444	-0.1299	21.089
	17	1993		LinStatic		-0.1921	-0.1683	22.1212
	190 254	3158 3157		LinStatic LinStatic		-0.148 -0.0733	0.3827 -0.3702	19.3006 20.4722
	254	3156		LinStatic		-0.0733	0.1399	20.4722
	260	3155		LinStatic		-0.0859	-0.5953	17.8497
	264	3161		LinStatic		-0.0153	0.5204	18.4621
	267	3162		LinStatic		0.5458	-2.4445	29.0226
	187	3202		LinStatic		-2.0346	0.0507	27.4953
	30 31	1149 1779		LinStatic LinStatic		0	0	0.3807 0.2218
	40	1859		LinStatic		0	0	0.109
	67	1861	Wm	LinStatic		0	0	0.1729
	81	1862		LinStatic		0	0	0.164
	11	153	wm	LinStatic		-0.6978	-0.0451	31.6432

### Carga Viva Máxima

			Carga	viva maxima			
BASE	Story	Label 1	Unique Name Output Co	ase Case Type	5.5305	FY 0.3123	FZ 25.3843
BASE		2	3181 VIVA	UnStatic	0.2935	0.7267	1.8554
BASE		3	3154 VIVA	UnStatic	-6.9239	-4.6677	103.739
BASE		4 6	3175 VIVA 3178 VIVA	LinStatic LinStatic	-2.2666 -1.4068	7.3632 0.0198	19.4514 7.7965
BASE		7	3147 VIVA	LinStatic	7.9422	-6.1245	79.7647
BASE		8	3142 VIVA	UnStatic	2.4416	-0.1254	17.1792
BASE		32	3256 VIVA 3257 VIVA	LinStatic	0	0	0.6642 1.578
BASE		33 34	3258 VIVA	LinStatic LinStatic	o	ŏ	2.2788
BASE		35	3259 VIVA	LinStatic	0	О	0.8542
BASE		36	3260 VIVA	LinStatic	0	0	0.5089
BASE		12 13	3118 VIVA 3167 VIVA	LinStatic LinStatic	4.4023 2.32E+00	-3.4651 -2.5087	102.9368 153.77
BASE		18	3168 VIVA	LinStatic	-0.0866	-2.0185	144.9641
BASE		19	3119 VIVA	LinStatic	0.4281	-0.2292	73.4848
BASE		24 37	3120 VIVA	LinStatic LinStatic	-4.7077 0.1628	-1.7873 0.2226	133.6349 253.052
BASE		38	3121 VIVA 3122 VIVA	LinStatic	0.8189	0.1244	192,7145
BASE		39	3169 VIVA	LinStatic	0.2067	-0.2352	148.0686
BASE		41	3132 VIVA	LinStatic	-0.2249	0.0006	150.4165 196.3488
BASE		42 44	3133 VIVA 3170 VIVA	LinStatic LinStatic	-0.1041 -0.7368	0.0016	109.86
BASE		45	3135 VIVA	LinStatic	0.5374	0.3942	134.0383
BASE		46	3171 VIVA	LinStatic	1.4275	-0.3006	98.2682
BASE		47 48	3136 VIVA 3137 VIVA	LinStatic LinStatic	8.8957 -9.0991	-0.3674 -0.4864	97.5916 105.1
BASE		49	3137 VIVA	LinStatic	0.2352	-2.4242	154.7391
BASE		50	3139 VIVA	LinStatic	0.59	0.2131	162.4349
BASE		52	3164 VIVA	LinStatic	13.0898 6.3928	15.6165 -15.0997	293.7117 281.4017
BASE		53 54	3163 VIVA 3263 VIVA	LinStatic LinStatic	0.3928	-13.0997	1.288
BASE		55	3261 VIVA	LinStatic	0	0	0.9402
BASE		56	3203 VIVA	LinStatic	12.4492	0.0997	64.3736
BASE		57 58	3191 VIVA 3166 VIVA	LinStatic LinStatic	6.1433 14.1102	-0.0315 15.5846	75.8824 314.3272
BASE		59	3165 VIVA	LinStatic	13.3659	-16.7088	350.1105
BASE		60	3205 VIVA	LinStatic	11.3897	-0.1913	67.9539
BASE		61 62	3207 VIVA 3265 VIVA	LinStatic LinStatic	13.1897 0	-0.0876 O	66.8567 0.8419
BASE		63	3264 VIVA	UnStatic	o	ő	1.0141
BASE		70	3143 VIVA	LinStatic	-0.7861	-0.932	22.1452
BASE		71	3144 VIVA	UnStatic	-0.1422 1.879	1.4016	14.5738 12.4475
BASE		72 14	3145 VIVA 3151 VIVA	LinStatic LinStatic	-1.9151	7.4252	67.0464
BASE		16	3195 VIVA	LinStatic	-0.2488	0.2872	27.3538
BASE		22	3152 VIVA	LinStatic	-2.0868	-2.8233	93.6415 47.5266
BASE		28 29	3140 VIVA 3141 VIVA	LinStatic LinStatic	1.3721 -0.9133	-0.846 -1.0261	67.5182
BASE		65	3194 VIVA	LinStatic	-2.4695	0.4156	67.3775
BASE		76	3153 VIVA	LinStatic	-2.3208	3.0304	100.1919
BASE		78 159	402 VIVA 3185 VIVA	LinStatic LinStatic	-0.3659 0.537	-0.7242 1.232	30.7537 9.6572
BASE		160	3184 VIVA	LinStatic	0.9274	0.8927	6.8522
BASE		161	3186 VIVA	UnStatic	0.2957	0.5018	11.8114
BASE		162	3187 VIVA 3188 VIVA	LinStatic LinStatic	0.3639 0.2586	0.4182 0.7857	12.5829 11.8018
BASE		163 164	3189 VIVA	UnStatic	0.1659	1.38E+00	16.3862
BASE		167	AVIV EBIE	LinStatic	0.8238	0.8584	4.7158
BASE		169	632 VIVA	LinStatic	-0.0749 -1.6102	1.2029 1.7008	3.9427 11.309
BASE		170 171	3179 VIVA 3177 VIVA	LinStatic LinStatic	-0.3623	0.6294	5.4896
BASE		172	3176 VIVA	LinStatic	-1.7638	2.942	11.078
BASE		175	3182 VIVA	LinStatic	0.4209 -0.5451	9.06E-01 5.351	3.5141 95.4331
BASE		177 178	3148 VIVA 3149 VIVA	LinStatic LinStatic	3.612	-4.6354	87.0516
BASE		179	3150 VIVA	LinStatic	-0.977	4.5338	61.7685
BASE		180	3215 VIVA	LinStatic	0	0	0.5036 0.2667
BASE		181 192	3214 VIVA 3190 VIVA	LinStatic LinStatic	0 2.6975	-0.047	55.0168
BASE		215	3204 VIVA	LinStatic	-11.269	-0.0836	41.7415
BASE		68	3146 VIVA	LinStatic	0.794	1.351	92,9108 88,3498
BASE		165 168	3159 VIVA 3160 VIVA	LinStatic LinStatic	-0.4843 0.9917	7.941 -5.0553	88.3498 67.7259
BASE		82	455 VIVA	LinStatic	-0.1397	-0.6685	26.6593
BASE		94	3196 VIVA	LinStatic	1.3445	0.1334	67.7519
BASE		98	3199 VIVA	LinStatic	2.2476 -11.5658	14.7543 -16.6518	240.6938 170.9828
BASE		107 128	3198 VIVA 3201 VIVA	LinStatic	-12.9109	16.4285	193.5963
BASE		129	3200 VIVA	LinStatic	1.9917	-17.3315	254.8255
BASE		152	3211 VIVA	LinStatic	-10.7991 -13.5005	0.2793 0.364	40.8377 109.9583
BASE		153 5	3206 VIVA 3172 VIVA	LinStatic LinStatic	-12.3011	-0.3254	171.0206
BASE		10	3134 VIVA	LinStatic	0.1587	-0.0015	150.0605
BASE		20	3173 VIVA	LinStatic	-13.0039	0.2808	179.3917
BASE		198 9	3210 VIVA 3208 VIVA	UnStatic UnStatic	-2.5933 -1.1227	0.0702 0.0391	100.974 61.2295
BASE		15	3209 VIVA	LinStatic	0.4201	-1.4575	65.1463
BASE		17	1993 VIVA	LinStatic	-0.1741	-1.7239	68.7525
BASE		190	3158 VIVA	LinStatic	-1.5582	1.4077	62.908 67.1582
BASE		254 258	3157 VIVA 3156 VIVA	LinStatic	-1.1022 -2.7036	-0.544 0.2911	73.9548
BASE		260	3155 VIVA	LinStatic	-0.9511	-2.0822	57.0613
BASE		264	3161 VIVA	LinStatic	0.2998	1.6659	58.4439
BASE		267	3162 VIVA 3202 VIVA	LinStatic LinStatic	1.7004 -6.225	-8.4856 0.6942	90.241 90.5478
BASE		187 30	1149 VIVA	UnStatic	-6.223	0.6542	3.4757
BASE		31	1779 VIVA	LinStatic	0	0	1.963
BASE		40	1859 VIVA	LinStatic	0	0	1.4156 1.5157
BASE		67 81	1861 VIVA 1862 VIVA	LinStatic LinStatic	0	9	1.4533
BASE		11	153 VIVA	LinStatic	-2.931	-0.6352	110.9336
1	5						

### Carga Viva Accidental

BASE	Story Lat	bei U	nique Name Output 3174 VA	Case Case Type LinStatic	1.8131	0.2484	FZ 13.2587
BASE		2	3181 VA	LinStatic	0.0639	0.2059	0.4521
BASE		3 4	3154 VA 3175 VA	LinStatic LinStatic	-3.5778 -0.7436	-2.1889 3.5622	54.5518 9.64
BASE		6	3178 VA	LinStatic	-0.5138	-0.0603	2.2202
BASE		7	3147 VA	LinStatic	4.0833	-3.0763	42.2687
BASE		8 32	3142 VA 3256 VA	LinStatic LinStatic	0.6994	-0.02	4.9399 0.1861
BASE		33	3257 VA	LinStatic	o	0	0.0285
BASE		34	3258 VA	LinStatic	0	0	0.2262
BASE		35 36	3259 VA 3260 VA	LinStatic LinStatic	0	0	0.0777 0.1455
BASE		12	3118 VA	LinStatic	2.1931	-0.8466	54.0078
BASE		13	3167 VA	LinStatic	1.12E+00	-0.4059	81.8813
BASE		18 19	3168 VA 3119 VA	LinStatic LinStatic	-0.0033 0.195	-0.299 0.0524	77.0786 39.1658
BASE		24	3120 VA	LinStatic	-2.577	-0.3137	70.3548
BASE		37	3121 VA	LinStatic	0.0463	0.0149	134.3485
BASE		38 39	3122 VA 3169 VA	LinStatic LinStatic	0.143 0.0486	-0.0373 -0.0838	100.478 75.4019
BASE		41	3132 VA	LinStatic	0.0233	-0.0082	78.1515
BASE		42	3133 VA	LinStatic	-0.0046	0.0002	108.9275
BASE		44 45	3170 VA 3135 VA	UnStatic UnStatic	0.4331 0.2162	0.0105 -0.0708	48.0162 69.1343
BASE		46	3171 VA	UnStatic	0.4331	-0.174	56.7589
BASE		47	3136 VA	LinStatic	7.5827	-0.2233	76.1943
BASE		48 49	3137 VA 3138 VA	LinStatic LinStatic	-7.7076 0.0519	-0.225 -0.6882	80.9615 80.5062
BASE		50	3139 VA	LinStatic	0.0858	0.0809	85.0702
BASE		52	3164 VA	LinStatic	7.039	8.3162	154.5611
BASE		53 54	3163 VA 3263 VA	LinStatic LinStatic	3.7289 0	-8.1111 O	148.4274 0.368
BASE		55	3261 VA	UnStatic	0	Ö	0.2668
BASE		56	3203 VA	LinStatic	6.692	0.1257	33.5738
BASE		57 58	3191 VA 3166 VA	LinStatic LinStatic	3.3121 7.4437	-0.1328 8.1271	39.7127 160.4857
BASE		59	3165 VA	LinStatic	6.9737	-8.6874	178.4652
BASE		60	3205 VA	LinStatic	5.8771	0.0616	34.3779
BASE BASE		61 62	3207 VA 3265 VA	LinStatic LinStatic	6.8979 0	-0.1277 O	34.1394 0.2403
BASE		63	3264 VA	LinStatic	0	0	0.2894
BASE		70	3143 VA	LinStatic	-0.2228	-0.2191	6.4026
BASE		71 72	3144 VA 3145 VA	LinStatic LinStatic	-0.042 0.5349	0.4401 0.3071	4.259 3.5536
BASE		14	3151 VA	LinStatic	-0.5352	3.7756	33.8637
BASE BASE		16 22	3195 VA 3152 VA	LinStatic LinStatic	-0.0622 -0.3652	0.1263	13.9181
BASE		28	3140 VA	LinStatic	-0.2398	-1.7617 0.1292	46.3967 15.5861
BASE		29	3141 VA	LinStatic	0.1445	0.1694	23.3276
BASE		65 76	3194 VA	LinStatic	-0.4573	0.1146	32.1998
BASE		78	3153 VA 402 VA	LinStatic LinStatic	-0.494 -0.0947	1.7352 -0.3217	49.3279 15.5087
BASE		159	3185 VA	UnStatic	0.1041	0.4956	3.8229
BASE BASE		160 161	3184 VA 3186 VA	LinStatic LinStatic	0.2478 0.0681	0.3707 0.2285	2.2967
BASE		162	3187 VA	LinStatic	0.1071	0.0952	4.8537 5.394
BASE		163	3188 VA	LinStatic	0.0203	0.2798	5.036
BASE		164 167	3189 VA 3183 VA	LinStatic LinStatic	-0.067	7.74E-01	7.5675
BASE		169	632 VA	LinStatic	0.2312 -0.1469	0.2723 0.2545	1.355 1.0985
BASE		170	3179 VA	LinStatic	-0.6462	0.3516	3.2174
BASE BASE		171 172	3177 VA 3176 VA	LinStatic LinStatic	-0.2665 -0.6678	0.1268 0.8066	1.543 3.2292
BASE		175	3182 VA	LinStatic	0.1161	2.72E-01	0.9744
BASE		177	3148 VA	LinStatic	-0.5702	2.9747	49.0498
BASE BASE		178 179	3149 VA 3150 VA	LinStatic LinStatic	0.6981	-3.1888	41.1773
BASE		180	3215 VA	LinStatic	-0.4721 0	2.4685 O	33.8972 0.0554
BASE		181	3214 VA	LinStatic	0	0	0.0763
BASE BASE		192 215	3190 VA 3204 VA	LinStatic LinStatic	1.3659 -5.8486	-0.055 0.0368	28.9102 21.0558
BASE		68	3146 VA	LinStatic	0.1518	0.3592	46.9786
BASE		165	3159 VA	LinStatic	-0.802	3.1628	41.166
BASE		168 82	3160 VA 455 VA	LinStatic LinStatic	0.6177 -0.0292	-2.7766 -0.29	37.5111 13.575
BASE		94	3196 VA	LinStatic	0.3665	-0.0072	51.6664
BASE		98	3199 VA	LinStatic	0.8342	7.7805	126.4186
BASE BASE		107 128	3198 VA 3201 VA	LinStatic LinStatic	-6.0732 -6.4956	-9.0575 8.6419	89.9113 98.9688
BASE		129	3200 VA	LinStatic	0.6822	-8.9461	130.5006
BASE		152 153	3211 VA 3206 VA	LinStatic	-5.7773	0.1215	21.3755
BASE		153 5	3206 VA 3172 VA	LinStatic LinStatic	-6.8818 -6.8585	0.0081 -0.0507	55.8698 90.1184
BASE		10	3134 VA	LinStatic	-0.1842	-0.0012	77.9795
BASE		20 198	3173 VA	LinStatic	-7.0424	0.035	92.0668
BASE		198	3210 VA 3208 VA	LinStatic LinStatic	-1.2358 -0.3038	0.0607 -0.0296	53.033 47.6616
BASE		15	3209 VA	LinStatic	0.2482	-0.3696	34.6156
BASE		17 190	1993 VA 3158 VA	LinStatic	-0.251	-0.4547	36.2648
BASE		254	3158 VA 3157 VA	LinStatic LinStatic	-0.4064 -0.246	0.7113 -0.4295	31.5662 33.8575
BASE		258	3156 VA	LinStatic	-0.7252	0.2259	36.501
BASE		260 264	3155 VA 3161 VA	LinStatic	-0.2365	-0.9787	29.2037
BASE		267	3161 VA 3162 VA	LinStatic LinStatic	0.0204 0.8883	0.8526 -4.1707	30.2078 47.0653
BASE		187	3202 VA	LinStatic	-3.3434	0.1609	47.2501
BASE		30 31	1149 VA 1779 VA	LinStatic	0	0	0.9574
BASE		40	1779 VA 1859 VA	LinStatic LinStatic	0	0	0.5575 0.3379
BASE		67	1861 VA	LinStatic	0	0	0.4325
BASE		81	1862 VA	LinStatic	1 2963	0 1468	0.4123
BASE		11	153 VA	LinStatic	-1.2863	-0.1468	55.9156

173-174

### **MOMENTOS**

	TABLE: S	tory Respon	se	
Story	Elevation	Location	X-Dir	Y-Dir
	m		tonf-m	tonf-m
NIVEL 18	65.5	Тор	0.21	0.34
NIVEL 17	62	Тор	342.46	305.64
NIVEL 16	58.5	Тор	2,304.91	2,218.43
NIVEL 15	55	Тор	5,318.19	5,181.19
NIVEL 14	51.5	Тор	9,235.41	9,055.15
NIVEL 13	48	Тор	13,954.55	13,742.33
NIVEL 12	44.5	Тор	19,401.52	19,174.11
NIVEL 11	41	Тор	25,516.37	25,295.54
NIVEL 10	37.5	Тор	32,235.89	32,046.01
NIVEL 9	34	Тор	39,498.38	39,363.70
NIVEL 8	30.5	Тор	47,247.79	47,191.07
NIVEL 7	27	Тор	55,428.90	55,470.94
NIVEL 6	23.5	Тор	63,988.70	64,148.50
NIVEL 5	20	Тор	72,876.72	73,170.72
NIVEL 4	16.5	Тор	82,045.14	82,485.69
NIVEL 3	13	Тор	91,446.68	92,039.06
NIVEL 2	9.5	Тор	101,033.08	101,774.15
NIVEL 1	5	Тор	113,580.72	114,501.28
PB	0.5	Тор	126,299.38	127,402.66
SOTANO 1	-4	Тор	139,057.95	140,321.02
BASE	-8.35	Тор	151,418.28	152,793.90